

Ministerstvo školství ČSR  
Vysoká škola strojní a textilní v Liberci  
nositelka Řádu práce

Fakulta strojní

Ing. Robert Kvasík

KONSTRUKČNÍ A TECHNOLOGICKÉ PARAMETRY ODVALOVACÍCH PRÉZ

Kandidátská dizertace

Vědní obor: 23-07-9a - strojírenská technologie

Školitel: Prof. Ing. Jaroslav Draský CSc.

Liberec, únor 1979

## ANOTACE

D.T 621.9.025.11  
621.9.02  
681.3.06

Autor: Robert KVAPIL

### KONSTRUKČNÍ A TECHNOLOGICKÉ PARAMETRY ODVALOVACÍCH FRÉZ

Práce uvádí teorii výpočtu výchozích povrchů, profilů ostří, geometrie břitu, hlavních konstrukčních rozměrů, záběrových poměrů, pracovních rozsahů, průřezu třísek a optimálních řezných podmínek odvalovacích fréz různých profilů a konstrukcí včetně technologického postupu jejich výroby. Je určena jako podklad pro použití číslicového počítače při návrhu konstrukčních, výrobních i provozních parametrů odvalovacích fréz pro automatizovanou technickou přípravu výroby. K matematickému zpracování je použito vektorového a tenzorového počtu, diferenciální geometrie a matematického programování. Na základě předložené teorie byly sestaveny algoritmy výpočtu, jejich vývojové diagramy a matematicko-logické modely.

Práce byla vypracována  
na katedře obrábění  
a ekonomiky Vysoké školy  
strojní a textilní  
v Liberci

Počet stran: 150  
Počet tabulek: 47  
Počet diagramů: 16  
Počet obrázků: 77

Školitel: Prof.Ing. Jaroslav Drásky CSc.

## SEZNAM SYMBOLŮ

$A_a^c, A_a^t, A_a^{pt}, A_h^z, A_h^{\vartheta}, A_h^\sigma$	- tenzory otočení
$(A_a^t)^{-1}$	- tenzor reciproký
$(A_a^t)^*$	- tenzor transponovaný
$A_s^t, (A_n^{pt})$	- tenzor otočení kolem osy součásti $\sigma_s$ (nástroje $\sigma_n$ ) o úhel $t$ (o úhel $pt$ )
$A_1, A_2, \dots, A_6$	- matice proměnných
$A_\alpha, (A_\gamma)$	- hřbet (čelo)
$\vec{a}$	- jednotkový vektor v ose rotace
$a_1, a_2, a_p$	- vektory
$a_1^\circ, a_2^\circ$	- jednotkové vektory
$a_1, a_2, a_3$	- složky vektoru
$a_e$	- délka vedlejší poloosy elipsy
$a_f$	- vzdálenost působiště síly
$a_i$	- matice
$a_{ij}$	- tenzor
$B_h, (B_s)$	- vektor pohybu bodu $M$ kolem osy $\sigma_h$ ( $\sigma_s$ )
$B_{ij}$	- transformační matice
$b_1, b_-,$	- vektory bodu na válcové ploše
$b$	- šířka frézovaného kola
$b_1, b_2, \dots, b_q$	- konstanty omezujících podmínek
$b_e$	- délka hlavní poloosy elipsy
$C$	- parametr šroubové plochy
$C$	- úhel otočení
$C_e$	- vedlejší poloosa elipsy
$C_g$	- konstanta počtu chodů frézy
$C_T, C_V$	- konstanty charakterizující podmínky obrábění

$C_w$	- konstanta materiálu obrobku
$D_{fr} (R_{fr})$	- průměr (poloměr) frézy
$D_h (R_h)$	- průměr (poloměr) hlavové kružnice frézy
$D_{h1}, D_{h2}$	- průměry - malý a velký - kuželové odvalovací frézy
$D_k, (R_k)$	- průměr (poloměr) brusného kotouče
$D_{k1}, D_{k2}$	- průměry nákružků kuželové frézy
$D_n$	- průměr upínacího otvoru
$D_{n1}$	- průměr odlehčené části otvoru
$D_{om}$	- průměr polotovaru monolitní frézy
$D_p (R_p)$	- průměr (poloměr) paty podélných drážek
$D_r (R_r)$	- průměr (poloměr) roztečného válce frézy
$D_x (D_z)$	- vzdálenost roviny (radiálního řezu) od počátku
$d$	- průměr vřetene frézy
$d_e$	- hlavní poloosa elipsy
$d_h (r_h)$	- hlavový průměr (poloměr) součásti (kola)
$d_p (r_p)$	- patní průměr (poloměr) součásti (kola)
$d_{rs} (r_{rs})$	- střední průměr (poloměr) profilu součásti
$d_v (r_v)$	- valící průměr (poloměr) součásti (kola)
$d_r (r_r)$	- roztečný průměr (poloměr) součásti (kola)
$E$	- jednotkový tensor
$E$	- modul pružnosti
$e$	- vektor bodu elipsy
$F_v$	- složka řezné síly ve směru řezné rychlosti
$F_r$	- radiální složka řezné síly
$f(x)$	- vektorová funkce vektorového argumentu
$\tilde{f}^o$	- jednotkový vektor ve směru osy $y$
$\tilde{f}$	- matici derivace vektorové funkce

$G, H, L$	- úhly seřízení
$G_{om}$	- hmotnost polotovaru monolitní frézy
$g_{ij}$	- první základní tenzor plochy
$H_d$	- stoupání šroubovice drážek
$H_f$	- vyklonění středu frézy
$H_{pm}$	- výška paty zuba k počátku modifikace
$H_z$	- stoupání šroubovice zubu základního šneku
$h_a$	- délka rovinné části profilu drážky
$h_h$	- výška hlavy zuba kola
$h_{ij}$	- druhý základní tenzor plochy
$h_n$	- výška zuba hřebene frézy
$h_p$	- výška paty zuba kola
$h_z$	- výška zuba kola
$I$	- moment setrvačnosti
$i, j, k$	- jednotkové vektory
$i$	- první hodnota kroku , imaginární jednotka
$i_h$	- počet chodů frézy
$i_p$	- pořadové číslo plochy n-hranu
$i_s$	- počet ploch n-hranu
$j$	- počet úseků mezi řezovými rovinami
$K, K_1, K_2$	- vektory bodu na ploše
$K_i, K_{1i}, K_{2i}$	- parciální derivace podle parametrů $u, v, t$
$K_1, K_2$	- konstanty dané způsobem obrábění a podmínkami
$k$	- vektor kružnice kola
$k$	- zdvih vačky
$k_a$	- axiální zdvih vačky

$k_b$	- poloha počátku souřadnicových soustav frézy a kola podél jeho osy
$k_F$	- koeficient rozdělení složek síly
$k_j$	- pořadové číslo zuba
$k_{kk}$	- posuv vačky kolmo na podtáčený kužel
$k_p (k_i)$	- délka přechodového povrchu (v libovolném řezu)
$k_t$	- násobek strojního času (celé číslo)
$k_v$	- výsledný posuv vačky
$L_a, (L_{ax})$	- délka frézování (s radiálním příslušenstvím)
$L_v$	- vzdálenost vrcholu kuželevé frézy od středu stroje
$l$	- délka ozubené části čepu
$l_c$	- celková délka pracovního rozsahu odvalovací frézy
$l_f$	- délka frézy
$l_k$	- délka kuželevé frézy
$l_{kn}$	- délka nákrúžku frézy
$l_n$	- délka náběhu frézy
$l_{nb}$	- bezpečná délka při náběhu frézy
$l_{om}$	- délka polotovaru frézy
$l_p$	- délka přeběhu frézy
$l_{pb}$	- bezpečná délka při přeběhu frézy
$l_t$	- vzdálenost ložisek upínacího trnu
$l_v$	- délka záběru odchodné části frézy
$l_z$	- délka náběhové části frézy
$l_{zf}$	- délka závitů frézy
$l_{zp}$	- délka záběrového pole

$M$	- matica soustavy rovnic
$M_s, (M_o)$	- mzdový hodinový tarif dělníka v obrobně (v ostřírně)
$M_{TKK}$	- mzdový hodinový tarif druhu operace dle TKK
$m$	- polohový vektor bodu
$m^o$	- jednotkový vektor polohového vektoru
$m$	- modul
$m_n$	- modul normální
$1/m$	- exponent obrábění
$N$	- plocha nástroje
$N_{cj}$	- vlastní náklady na jednici výroby
$N_{G_1}, (N_{G_1})$	- celková (jednotková) cena materiálu poletovaru frézy
$N_h$	- cena nástroje
$N_u$	- cena úkonu
$n_i^o, (n^o)$	- vektor (jednotkový) normály
$n_i^o$	- parciální derivace vektoru normály dle parametru
$n_{\alpha}, (n_y)$	- normála hřbetu (čela) nástroje
$n_k (n_n)$	- otáčky kola (nástroje)
$n_{maxf}, (n_{minf})$	- maximální (minimální) otáčky dosažitelné na frézce
$n_o$	- počet přeostření
$n_{op}$	- optimální otáčky frézy
$OB, OB_1, OB_2$	- vektory popisující bod na obalové ploše
$\sigma_n (\sigma_\sigma)$	- vektor ostří v nástrojové (ortogonální) soustavě
$\sigma_n^o (\sigma_s^o)$	- jednotkový vektor v ose nástroje (součásti)

$\sigma_n$ ( $\sigma_s$ )	- osa nástroje (součásti)
$P$	- vektor
$P$	- příkon motoru obráběcího stroje
$P_n$ ( $P_{ne}$ )	- nástrojová (pracovní) rovina normálová
$P_o$ ( $P_{oe}$ )	- nástrojová (pracovní) rovina ortogonální
$P_f$ ( $P_{fe}$ )	- nástrojová (pracovní) rovina boční
$P_p$ ( $P_{pe}$ )	- nástrojová (pracovní) rovina zadní
$P_r$ ( $P_{re}$ )	- nástrojová (pracovní) rovina základní
$p_n$	- vektor průsečnice $A_\gamma - P_n$
$p_o$	- vektor průsečnice $A_\gamma - P_o$
$p$	- převodový poměr
$p_i$	- vzdálenost středu elipsy od počátku souřadné soustavy ve směru osy Z
$Q, q$	- vektory
$R$	- vektor
$R(a^\circ), R(\sigma_n^\circ), R(\sigma_s^\circ)$	- antisymetrické tenzory
$R_o$ ( $R_s$ )	- režie ostřírny (obrotny)
$r, r(u,v), r_1(u,v), r_2(u,v)$	- polohové vektory bodu plochy
$r_u, r_v$	- parciální derivace vektoru $r(u,v)$ podle parametrů $u, v$
$r_{fd}$	- poloměr zaobljení paty drážek
$r_i$	- poloměr libovolného bodu profilu
$\Delta r_i$	- přírůstek poloměru
$r_{vmax}, r_{vmin}$	- maximální a minimální výpočetní hodnota poloměru valícího válce
$r_{pd}$	- poloměr pomocné kontrolní kružnice
$SP$	- vektor šroubové plochy

$S$	- plocha součásti
$S_c$	- vzdálenost středu kružnice a elipsy
$s, z, u, v$	- parametry plochy
$s_d$	- diagonální posuv
$s_{minf}$	- minimální posuv dosažitelný na frézce
$s_o$	- posuv na otáčku kola
$s_p$	- šířka zuba hřebene u paty
$s_{op}$	- optimální posuv
$s_{Ra}$	- posuv z hlediska drsnosti povrchu
$s_t$	- posuv tangenciální
$s_z$	- posuv na zub frézy
$s_x$	- posuv radiální
$s_y$	- posuv axiální
$T_1(t), T_2(t)$	- substituce
$T_1(T_{op})$	- trvanlivost nástroje (optimální)
$T_v$	- volitelná trvanlivost nástroje
$T(\lambda_s), (T(-\lambda_s))$ , ..	- transformační maticce pro převod úhlů (inverzní)
$t$	- tečný vektor elipsy
$t$	- parametr plochy
$t_c$	- celkový čas na úkon
$t_{ce}$	- osová rozteč zubů frézy
$t_{ch}$	- osová rozteč na roztečné přímce před kalením
$t_h(t_v)$	- čas hlavní (vedlejší)
$t_o$	- čas na ostření nástrojů
$t_{pz}$	- čas na výměnu a seřízení nástroje
$t_s$	- strojní čas
$t_u$	- hloubka úběru

$t_z$	- rozteč zubů drážkového profilu
$t_x$	- čas oddechu a obaluhy
$u_v, v_v$	- pomocné parametry
$v$	- rychlosť hlavného řezného pohybu (řezná rychlosť)
$v_{op}$	- optimální řezná rychlosť
$v_s$	- substituce
$w$	- parametr současti ve směru její osy
$z_f$	- počet zubových hřebenů frézy
$z_k$	- počet zubů kola
$z_{nP}, z_{nS}$	- souřadnice základních bodů záběrového pole odvalovací frézy
$z_u, z_v$	- parciální derivace podle parametrů $u, v$
$X$	- vektor bodu na ploše
$X_a$	- vektor v ose $a$
$X_b$	- vektor kolmý na $X_k$
$X_k$	- vektor kolmý na osu $a$
$X(t)$	- vektor posunutý o úhel $t$
$X_1, X_2$	- tečné vektory
$X_u, X_v, X_t$	- parciální derivace vektoru $X$ podle parametrů $u, v, t$
$x, y, z$	- proměnné
$X_f$	- korekce profilu
$X_{ij}$	- vektorová funkce
$X_1, X_2, X_3$	- složky vektoru
$X_{11}, X_{12}, X_{21}, X_{22}$	- složky 2. základního tenzoru plochy
$xyz$	- pravohlá souřadnicová soustava

$x_f \ y_f \ z_f$ ( $x_{fe} \ y_{fe} \ z_{fe}$ )	- nástrojová (pracovní) pravouhlá souřadnicová soustava
$x_m \ y_m \ z_m$	- strojová souřadnicová soustava
$x_n \ y_n \ z_n$ ( $x_{ne} \ y_{ne} \ z_{ne}$ )	- nástrojová (pracovní) pravouhlá souřadnicová soustava normálová
$x_n \ y_n \ z_n$	- souřadnicová soustava nástroje
$x_o \ y_o \ z_o$ ( $x_{oe} \ y_{oe} \ z_{oe}$ )	- nástrojová (pracovní) pravouhlá souřadnicová soustava ortogonální
$x_s \ y_s \ z_s$	- souřadnicová soustava součásti
$Y, Y(n), Y(s, z), Y(\sigma), Y(\vartheta)$	- roviny řezu obálkou
$y_A, y_B, y_C$	- souřadnice bodů profilu
$y_{fr}$	- průhyb vřetene odvalovací frézy
$y_u, y_v$	- parciální derivace složek vektoru podle parametrů $u, v$
$\alpha$	- úhel záběru
$\alpha_c$	- úhel profilu evolventního šneku
$\alpha_{CA}$	- úhel profilu Archimedova šneku
$\alpha_f (\alpha_{fe})$	- nástrojový (pracovní) boční úhel hřbetu
$\alpha_L (\alpha_p)$	- úhly profilu na levé (pravé) straně zuba
$\alpha_n (\alpha_{ne})$	- nástrojový (pracovní) úhel hřbetu normálový
$\alpha_o (\alpha_{oe})$	- nástrojový (pracovní) ortogonální úhel hřbetu
$\alpha_p (\alpha_{pe})$	- nástrojový (pracovní) zadní úhel hřbetu
$\alpha_r$	- úhel hřbetu v radiálním směru
$\alpha_t$	- úhel záběru čelní
$\alpha_v$	- úhel profilu zuba
$\beta_{dn}$	- úhel stoupání šroubovice drážky
$\beta_{hn} (\beta'_{hn})$	- úhel stoupání šroubovice frézy na hlavovém průměru frézy (axiálně podtočených fréz)

$\beta_{zn}, (\beta_{zs})$	- úhel stoupání šroubovice frézy (zubů kola)
$\beta_v$	- úhel profilu drážky
$\gamma$	- úhel výseče zakřiveného profilu
$\gamma_f (\gamma_{fe})$	- nástrojový (pracovní) boční úhel čela
$\gamma_n (\gamma_{ne})$	- nástrojový (pracovní) normálový úhel čela
$\gamma_o (\gamma_{oe})$	- nástrojový (pracovní) ortogonální úhel čela
$\gamma_p (\gamma_{pe})$	- nástrojový (pracovní) zadní úhel čela
$\sigma$	- úhel nastavení frézy
$\delta_s$	- tolerance tloušťky zuba na roztečné kružnici
$\delta_1, \dots, \delta_n$	- pomocné úhly
$\varepsilon$	- požadovaná přesnost výpočtu
$\eta$	- účinnost převodů stroje
$\vartheta$	- úhel otočení roviny čela
$\vartheta_d$	- úhel drážky frézy
$\bar{x}$	- normální křivost křivky na ploše
$\chi_r (\chi_{re})$	- nástrojový (pracovní) úhel nastavení
$\lambda_s, (\lambda_{se})$	- nástrojový (pracovní) úhel sklonu ostří
$\mathbf{g}$	- radiusvektor
$\rho_c$	- poloměr středů kružnic válcové plochy
$\rho_k$	- poloměr zaoblení válcové části
$\rho_v$	- poloměr křivosti v uvažovaném bodě
$\rho_1, \dots, \rho_n$	- roviny řezu
$\delta$	- úhel otočení roviny čela
$\varphi$	- úhel připadající na jeden zub s mezerou
$\varphi_{ij}$	- úhly pootočení ze soustavy $i$ do soustavy $j$
$\varphi_k, (\varphi_n)$	- úhel pootočení kola(nástroje) úměrný úhlové rychlosti

- $\varphi_z$  - úhel pootočení hřebenů zubů
- $\varphi_1, (\varphi_2)$  - první (druhá) základní forma plochy
- $\psi_r, (\psi_{re})$  - nástrojový (pracovní) úhel nastavení doplnkový
- $\omega_k$  - úhel kužele kuželové části frézy
- $\omega_n, (\omega_s)$  - úhlová rychlosť nástroja (současti)

## ÚVOD

Ozubená kola jsou v současné době jedny z nejpoužívanějších součástí tam, kde je požadována transformace rychlosti nebo výkonu. Významné místo zaujímají čelní ozubená kola. Nejproduktivnější a nejrozšířenější metodou výroby čelních ozubních kol je výroba frézováním odvalovacím způsobem. Je tak rozšířena proto, že nástroj, tj. odvalovací fréz s obrobkem si lze zjednodušeně při obrábění představit jako záběr evolventního šneku s kolem, takže zuby kola jsou v záběru nepřetřízitelná obrábění probíhá plynule bez reverzačních časů. Jednou frézou lze vyrobit ozubená kola stejněho modulu s libovolným počtem zubů korigovaná i nekorigovaná.

Odvalovací frézy lze s výhodou použít i pro výrobu jiných druhů součástí. Jsou to zejména hřídele s drážkovým profilem různého provedení, řetězová kola, rohatková kola i součásti s plochou šroubovou.

Přesto, že odvalovací frézy se používají již jedno století (poprvé firma Pfauter v Německu), nebyly zatím plně vyřešeny všechny problémy této progresivní technologie. Je to dáno také tím, že s přibývajícími poznatkami v různých oblastech vědy je nutno revidovat i dosavadní principy konstruování i technologií výroby. Během této doby vznikly rozmanité konstrukce odvalovacích fréz a jejich tvárci neustále zvyšovali jejich výkonnost. Zvyšování výkonu obrábění probíhalo v několika směrech. Jedním ze změrů je používání kvalitnějších vysokovýkonného řezných materiálů. Od uhlíkových a legovaných ocelí se přes oceli rychlořezné přešlo k slinutým karbidům. V současné době se dokonce používají i syntetické velmi tvrdé materiály na bázi kubického nitridu boru, které jsou schopny obrábět i zakalená ozubená kola. Použití nových materiálů podmínuje i změnu konstrukce odvalovacích fréz. Od celistvých fréz se z úsporných důvodů přešlo na frézy skládané, kde těleso frézy je z levnější konstrukční oceli a břity z vysokokvalitní oceli rychlořezné nebo ze slinutých karbidů. Změna konstrukce vedla též ke změně vlastností těchto fréz.

Druhý směr, kterým se ubírá vývoj, vycházel ze snahy o zlepšení záběrových poměrů při frézování. Za tím účelem byly vyvinuty frézy s kladným úhlem čela, frézy s rovnoměrnějším rozdělením třísky na jednotlivé břity odvalovacích fréz tzv. Progress

frézy v SSSR /73/, nebo frézy Fette z NSR, frézy PWS z NDR, kuželové frézy ze SSSR /9/ nebo frézy s náběhovým kuželem.

Vyšších výkonů frézování ozubení lze dosáhnout i například použitím vícechodých fréz, frézováním diagonálním, krokováním odvalovacích fréz, a dále konstrukčními úpravami jako jsou zvětšení průměru nebo délky odvalovací frézy.

V dialektické jednotě s vývojem odvalovacích fréz se vyvíjely i odvalovací frézky. Výkonnější nástroje vyžadují tužší a výkonnější stroje a pokud nejsou k dispozici výkonné stroje není možné použít výkonných řezných nástrojů.

V současné době, kdy je hospodárná pouze výroba velko-sériová nebo hromadná nebo dobré organizovaná výroba malo-sériová nebo kusová, která předpokládá použití NC obráběcích strojů, obráběcích center, nebo integrovaných výrob, se v konstrukci řezných nástrojů a tedy i odvalovacích fréz uplatní pouze metody, které včas reagují na požadavky výrobce a výroby. Dalším požadavkem je volba nejhospodárnější technologie výroby. Splnění těchto požadavků předpokládá teoretické zvládnutí řešené problematiky a ověření v praxi. Na základě teoretických a praktických podkladů a s využitím výpočetní techniky je možné provést optimální návrh odvalovacích fréz včetně technologických podkladů pro výrobu ozubení. Odvalovací fréza je jedním z nejsložitějších a nejdražších řezných nástrojů. Například cena speciální odvalovací frézy s předem rozdělenou třískou pro hrubování ozubení s hodnotou modulu 30 mm výrobce firma Fette (NSR) se pohybuje kolem 35 tisíc marek. Je proto nutné snižovat náklady na konstrukci a výrobu, ale také věnovat pozornost ekonomickému využití takových nástrojů.

Na druhé straně by bylo ekonomicky výhodné, už vzhledem k velmi dobré hutní základně (Poldi) takovéto nástroje vyrábět ve specializovaném závodě. Potřeba řešení této problematiky vycházela z požadavku vývojového oddělení technologie ZTS v Dubnici nad Váhom navrhnout tzv. optimální konstrukci odvalovací frézy a sestavit výpočetní vztahy pro možnost použití na číslicovém počítači. Při výpočtu vycházet z tvaru součásti a vypočítat výchozí povrch odvalovací frézy, geometrické rozměry řezné a upínací části a provést pevnostní kontrolu nástroje. Autor k této problematice přistoupil z poměrně širokého hlediska, vycházejí z obdobné praxe některých zahraničních

firem, které provádí komplexní řešení konstrukce řezného nástroje, ale i souvisejících problémů.

Firma Renault /61/ využívá například komplexní program pro navrhování ozubených kol převodovek a řezných nástrojů na výrobu ozubení s cílem optimalizace požadavků zejména provozních (vysoká životnost, nehlubčina, tuhostní parametry, nízká cena). Příprava výroby ozubených kol probíhá současně a za spolupráce oddělení konstrukce převodovek a oddělení konstrukce nástrojů na ozubení.

Cílem tohoto oddělení je ve spolupráci s konstrukcí převodovek připravit takové ozubení, které by zabezpečovalo nejekonomičtější technologické toky jejich výroby, maximální výrobnost a minimální deformace kol cestou volby materiálu, způsobu kování, tepelného zpracování i hrubování zubů.

Při správně navržených profilech zubů odvalovací frézy může být výrobnost hrubování zvýšena cestou použití vyšších posuvů za předpokladu použití tuhých strojů. Výzkumy ukazují, že tvar zubů odvalovací frézy má vliv na životnost převodovek. Při komplexním navrhování kol i řezného nástroje se provádí analýza několika variant ozubení: záběr soukeli; záběr každého kola s hrubovací odvalovací frézou s novým i přeostřeným profilem; záběr s ševingovacím nástrojem novým i přeostřeným. Po odzkoušení převodovek ve zkušebně i na silnici se stanoví profil, který slouží jako základní pro konstrukci řezných nástrojů. Při společných prácích obou konstrukčních oddělení na složitých i opakováných výpočtech i zpracování informací se používají číslicové počítače. Pro sestrovování křivek kreslicí zařízení a pro porovnávání sestrojených křivek katodové obrazovky. Sestavení takových programů optimalizace vyžaduje kvalifikovaný personál, pravidelné informace o trendu rozvoje obráběcích strojů, metod výroby nástrojů apod.

Program výpočtu ozubených kol a nástrojů na ozubení pomocí počítače u firmy Renault s cílem optimalizace tvaru zuba kol sestává z těchto kroků.

1. Výpočet geometrických parametrů ozubených kol.
2. Určení profilu zubů ozubených kol.
3. Výpočet ohýbových napětí zubů kol.
4. Výpočet nástrojů na ozubení pro obrábění kol s přídavkem pod ševingu.

5. Výpočet seřízení obráběcího stroje.
6. Výpočet hrubovacího pracovního cyklu.
7. Výpočet ševingovacích nástrojů na ozubení.
8. Analýza záběru novým a přebroušeným nástrojem.
9. Výpočet nástrojů pro srážení třísek se zubů kol.
10. Analýza křivek opsaných vrcholy sdružených kol a výpočet přechodových křivek vytvořených při hrubování.
11. Výpočet druh vrcholů zubů nového i přeostřeného nástroje.
12. Optimalizace výpočtů s cílem obdržení optimálního tvaru přechodu u paty zuba.
13. Výpočet ceny operace výroby ozubení.

Obdobný program výpočtu nástrojů pro výrobu ozubených kol byl zpracován rovněž na ČVUT Praha doc. Švecem /85/. Zahrnoval prakticky předchozích sedm bodů. Po pevnostním a geometrickém výpočtu byly provedeny ekonomické propočty, řezné podmínky, normy času, náklady na obrábění pro obrábění ozubení obrážecími hřebenovými noži Maag, kruhovými obrážecími noži a odvalovacími frézami. Pak byla provedena optimalizace výrobního způsobu v závislosti na minimálních výrobních nákladech. Pro vybraný optimální nástroj byly provedeny jeho geometrické výpočty a pak výpočty výmenných kol - tedy částečně výpočty seřízení strojů. Výpočet pokračoval návrhem dokončovacího nástroje (ševingovacího kola), dále obdobně norem času, výmenných kol a nákladů na ševingování. V závěru byly vypočítávány celkové náklady na výrobu ozubení. Na tento program navazoval program kreslení nástrojů; odladěno bylo kreslení odvalovací frézy na kreslicím zařízení.

Metodicky se jevil tento program velmi dobrý, avšak byl sestaven na základě "klasické" teorie, která je méně přesná a dovoluje řešit nástroje pouze jednotlivě. Optimalizace mezi technologiemi výroby ozubení není vhodná, protože první dvě jsou málo produktivní a hodí se jen pro zvláštní případy obrábění ozubení, kde naopak najde použití odvalovacích fréz.

Cílem této práce je komplexnější pohled na navrhování odvalovacích fréz s uvažováním vlivu podmínek obrábění součásti včetně návrhu výroby frézy a návrhu optimálních řezných podmínek, při kterých by byla ekonomicky využita. Konstrukci např. ovlivňuje i velikost záběrového pole, velikost odebírané třísky

a další vlivy. Dokud se tyto vlivy nebudou při konstrukci fréz brát v úvahu, frézy nebudou hospodárně využívány. Optimální řezné podmínky jsou závislé i na ceně nástroje. Cenu je nutné předkalkulovat předem, je tedy nutné ji vypočítat. To je možné jenom při navrhování technologického postupu výroby frézy pomocí počítače.

Podrobněji je možno cíl práce specifikovat následovně. Pro splnění vytčených úkolů je nutné vypracovat obecnou teorii navrhování, podle které by bylo možné navrhnout výchozí povrch pro součást libovolného profilu. Dosavadní způsoby výpočtu se liší pro evolventní profily (ozubení) a neevolventní profily. Přitom pro evolventní ozubení je podrobně vypracována teorie /72/, /52/ a veliká pozornost je věnována i otázkám přesnosti, kdežto pro neevolventní profily se frézy navrhojí převážně podle náhradních křivek /13/, /89/.

Dalším úkolem je provést přeměnu výchozího povrchu v řezný nástroj a tím získat ostří. Ostří nástroje vznikne jako průsečnice čela a obálky. To představuje řešení rovnic vyšších řádů, které lze s úspěchem řešit pouze pomocí číslicového počítače. Po získání ostří je nutné z výrobních důvodů u fréz provést náhradu vypočítaného profilu.

Konstrukční část a část pojednávající o geometrii břitu je společná pro evolventní i neevolventní profily. Zde je nutno tedy sjednotit ještě některé odlišnosti, aby těleso frézy mohlo být rovněž navrženo pomocí počítače. Při určování řezných úhlů nástroje vycházet z pracovní (technologické) geometrie, tj. s přihlédnutím na řezné podmínky zejména v některých extrémních případech.

Po navržení frézy je nutné stanovit technologický postup ekonomické výroby. Při jeho sestavování je nutné využít zkušeností předních výrobců těchto fréz (obdobně je možné postupovat i u jiných nástrojů) a sestavit předpis, který by bylo možno použít i u menších výrobců. To opět umožnuje číslicový počítač, který je "schopen" kromě výrobního postupu stanovit parametry výroby, přiřadit stroje, nástroje, vypočítat technologické časy a provést poměrně přesnou předkalkulaci ceny nástroje. Tato hodnota může být použita jako pomůcka při plánování výroby.

Po navržení nástroje a jeho vyrobení je vhodné tento vybavit doprovodnými údaji - za jakých podmínek má pracovat příp.

pro jaké podmínky je určen. Je tedy potřeba zjistit záběrové  
poměry, tj. rozměry záběrového pole, nastavení frézy vzhledem  
k frézované součásti, stanovit optimální řezné podmínky, opti-  
mální trvanlivost, příp. optimální krokování odvalemací frézy,  
prevést rozbor odebírané třísky, tj. její tloušťku a délku.  
Tyto údaje mohou zpětně ovlivnit vlastní konstrukci frézy.

Ke splnění a plnému a úspěšnému zavedení těchto cílů do  
praxe je nutné mít k dispozici potřebné technické prostředky,  
které mohou přispět k zvýšení produktivity práce v technické  
přípravě výroby, úspoře pracovních sil v této oblasti, ke kva-  
litativně vyššímu stupni řízení výroby, k lepšímu využití ná-  
strojů a strojů a tedy i k nižším nákladům na výrobu.

## 1. STANOVENÍ VÝCHOZÍHO POVRCHU ODVALOVACÍCH FRÉZ

Požadovaný tvar i velikost určité plochy součásti je při obrábění závislý na tvaru a rozměrech profilující části ostří nástroje a na relativním pohybu nástroje vůči obráběné součásti. Profilující části ostří nástroje musí ležet na povrchu, jež se při obrábění stýká s danou plochou součásti. Takovému povrchu se říká výchozí povrch řezného nástroje /62/, /67/. Prvním krokem při návrhu libovolného řezného nástroje je stanovení výchozího povrchu nástroje jako povrchu sdruženého s povrchem součásti. Sdružené povrchy jsou v podstatě vzájemně se obalující plochy, vznikající při relativním pohybu nástroje a součásti při obrábění. Zákonitosti vytváření obalových ploch, kterých se bude využívat při navrhování odvalovacích fréz jsou uvedeny v této kapitole.

### 1.1 Teorie výchozího povrchu

#### 1.1.1 Obecná teorie obalových ploch

Pro stanovení výchozího povrchu odvalovacích fréz bude důsledně použito teorie obalových ploch i s nutnými předpoklady /6/, /12/, /44/. Nebude zde v plném znění prováděna, bude pouze uvedena přímá aplikace na plochy řezných nástrojů. Rovněž aplikace tenzorů otočení bude provedena bez bližšího vyšvětlení, protože již byla uvedena v publikacích autora /46/, /48/ i dalších /47/.

Mějme danou plochu součásti (dále jen  $S$ ) a plochu nástroje (dále  $N$ ). Za určitých předpokladů /6/ platí, že  $S$  a  $N$  jsou regulérní plochy.

Nechť plocha součásti (nástroje) má rovnici

$$X = X(u, v, t) \quad (1.1)$$

a pro každé  $t$  má spojité parciální derivace podle tohoto parametru až do druhého řádu. Potom množinu všech ploch určených rovnicí (1.1) nazýváme jednoparametrickou soustavou ploch.

Předpokládejme, že dvě soumezné plochy  $S$  a  $N$  z jednoparametrické soustavy se protínají v nějaké průsečnici.

Libovolný bod na této průsečnici nechť má souřadnice  $(u, v, t)$  na ploše součásti  $S$  a nechť je současně bodem plochy nástroje  $N$ . Potom tento bod má vzhledem k ploše nástroje  $N$  souřadnice  $(u+du, v+dv, t+dt)$ , kde  $N$  je plocha určená rovnici

$$\mathbf{x} = \mathbf{x}(u, v, t+dt) \quad (1.2)$$

Podmínka, aby bod ležel současně v souvisejících plochách součásti  $S$  a nástroje  $N$

$$\mathbf{x}(u, v, t) = \mathbf{x}(u+du, v+dv, t+dt) \quad (1.3)$$

Nebo též z Tayloreova rozvoje vyplývá, když se zanedbají vyšší mocniny

$$\mathbf{x}_u du + \mathbf{x}_v dv + \mathbf{x}_t dt = 0 \quad (1.4)$$

kde

$$\mathbf{x}_u = \frac{\partial \mathbf{x}}{\partial u}; \quad \mathbf{x}_v = \frac{\partial \mathbf{x}}{\partial v}; \quad \mathbf{x}_t = \frac{\partial \mathbf{x}}{\partial t} \quad (1.5)$$

Odtud vyplývá, že tři vektory  $\mathbf{x}_u$ ,  $\mathbf{x}_v$ ,  $\mathbf{x}_t$  jsou komplanární a proto smíšený součin (determinant tří vektorů) bude roven nule.

$$\mathbf{x}_u \cdot (\mathbf{x}_v \times \mathbf{x}_t) - \det |\mathbf{x}_u \mathbf{x}_v \mathbf{x}_t| = 0 \quad (1.6)$$

( $\mathbf{x}_u$ ,  $\mathbf{x}_v$  tvoří tečnou rovinu ve které leží vektor rychlosti  $\mathbf{x}_t$ ).

Je-li  $(u, v, t)$  řešením rovnice (1.6) lze z této rovnice vyjádřit jednu ze tří proměnných

$$t = t(u, v) \quad (1.7)$$

Dosazením rovnice (1.7) do rovnice (1.1) dostaneme rovnici nástroje  $N$  ze známé plochy součásti  $S$  nebo i naopak.

### Rovnice obalové plochy

$$\mathbf{x} = \mathbf{x}(u, v, t(u, v)) \quad (1.8)$$

K této rovnici lze dospět i jiným postupem /12/.

### Charakteristika

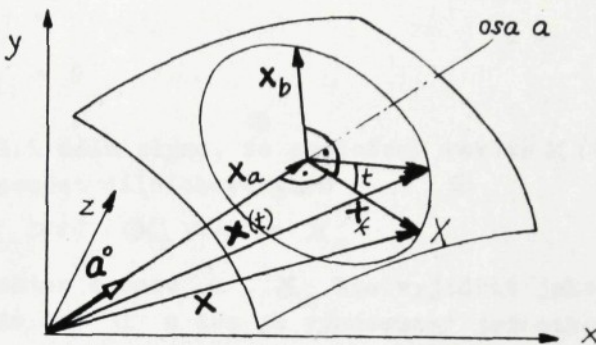
Pro  $t = t_0 = \text{konstanta}$  lze napsat

$$q(u, v) = 0 \Rightarrow u = u(v, t_0) \quad (1.9), (1.10)$$

$$\mathbf{x} = \mathbf{x}(u(v, t_0), v, t_0) \quad (1.11)$$

### 1.1.2 Tenzer otočení

Budíž dáma plocha součásti nebo nástroje  $S$  (obr. 1.1) na níž je libovolný bod  $X$ . Radiusvektor  $\mathbf{X}$  tohoto bodu nechť se otáčí v souřadnicové soustavě  $xyz$  kolem osy  $a$ .



Obr. 1.1

Úhel pečeření vektoru v rovině kolmé na osu otáčení nechť je  $t$ . Jednotkový vektor ve směru osy otáčení nechť je  $\alpha^\circ$ . Pooteřený vektor  $\mathbf{X}$  označíme  $\mathbf{X}(t)$ . Vektor  $\mathbf{X}$  lze rozložit do dvou směrů. Do osy  $a$  - vektor  $\mathbf{X}_a$  a do směru kolmého na osu  $a$  - vektor  $\mathbf{X}_k$ . Dále předpokládejme, že vektor  $\mathbf{X}_b$  leží v rovině rotace koncevého bodu radiusvektoru  $\mathbf{X}$  a je současně kolmý na vektor  $\mathbf{X}_k$ . Pak lze napsat

$$\mathbf{X} = \mathbf{X}_a + \mathbf{X}_k \quad (1.12)$$

$$\mathbf{X}_b = \alpha^\circ \times \mathbf{X} = \alpha^\circ \times \mathbf{X}_k \quad (1.13)$$

$$\mathbf{X} = \mathbf{X}(x_1, x_2, x_3)$$

$$\alpha^\circ = \alpha^\circ(a_1, a_2, a_3)$$

$$\mathbf{X}_b = \alpha^\circ \times \mathbf{X} = \begin{vmatrix} i & j & k \\ a_1 & a_2 & a_3 \\ x_1 & x_2 & x_3 \end{vmatrix} = \begin{vmatrix} 0 & -a_3 & a_2 \\ a_3 & 0 & -a_1 \\ -a_2 & a_1 & 0 \end{vmatrix} \cdot \begin{vmatrix} x_1 \\ x_2 \\ x_3 \end{vmatrix} \quad (1.14)$$

$$\mathbf{X}_b = \mathbf{R}(\boldsymbol{\alpha}^o) \mathbf{X} \quad (1.15)$$

$$\mathbf{R}(\boldsymbol{\alpha}^o) = \begin{vmatrix} 0 & -\alpha_3 & \alpha_2 \\ \alpha_3 & 0 & -\alpha_1 \\ -\alpha_2 & \alpha_1 & 0 \end{vmatrix} \quad (1.16)$$

$\mathbf{R}(\boldsymbol{\alpha}^o)$  je antisymetrický tenzor splňující tyto podmínky

$$1) \quad \alpha_{ij} = -\alpha_{ji}$$

$$2) \quad \alpha_{ii} = 0$$

Z obr. 1.1 dále plyne, že pečetěný vektor  $\mathbf{X}(t)$  lze zapsat jako součet dílčích vektorů

$$\mathbf{X}(t) = \mathbf{X}_k \cos t + \mathbf{X}_b \sin t + \mathbf{X}_a \quad (1.17)$$

Rovnoběžný vektor s osou  $a$ ,  $\mathbf{X}_a$  lze vyjádřit jako průmět vektoru  $\mathbf{X}$  do osy  $a$  a ten je vynásobený jednotkovým vektorem  $\boldsymbol{\alpha}^o$

$$\mathbf{X}_a = \boldsymbol{\alpha}^o \otimes \boldsymbol{\alpha}^o \cdot \mathbf{X} \quad (1.18)$$

kde  $\boldsymbol{\alpha}^o \otimes \boldsymbol{\alpha}^o$  je diadičký součin vektoru  $\boldsymbol{\alpha}^o$  (platí  $\boldsymbol{\alpha}^o \otimes \boldsymbol{\alpha}^o = \boldsymbol{\alpha}^o \otimes \boldsymbol{\alpha}^{o*}$ , kde  $\boldsymbol{\alpha}^{o*}$  je transponovaný tenzor sloupcový).

$$\mathbf{X}_k = \mathbf{X} - \mathbf{X}_a = \mathbf{X} - \boldsymbol{\alpha}^o \otimes \boldsymbol{\alpha}^o \cdot \mathbf{X} = (\mathbf{E} - \boldsymbol{\alpha}^o \otimes \boldsymbol{\alpha}^o) \cdot \mathbf{X} \quad (1.19)$$

kde  $\mathbf{E}$  je jednotkový tenzor (tenzer identity)

$$\mathbf{E}_{ij} = \begin{cases} 1, & \text{jde-li } i = j \\ 0, & \text{jde-li } i \neq j \end{cases}$$

Rozepsaný vztah (1.18) má tvar

$$\begin{aligned} \mathbf{X}_a &= \begin{vmatrix} \alpha_1 \\ \alpha_2 \\ \alpha_3 \end{vmatrix} \cdot \begin{vmatrix} \alpha_1 \alpha_2 \alpha_3 \end{vmatrix} \cdot \begin{vmatrix} X_1 \\ X_2 \\ X_3 \end{vmatrix} = \\ &= \begin{vmatrix} \alpha_1 \alpha_2, & \alpha_1 \alpha_3, & \alpha_2 \alpha_3 \\ \alpha_2 \alpha_1, & \alpha_2 \alpha_3, & \alpha_1 \alpha_3 \\ \alpha_3 \alpha_1, & \alpha_3 \alpha_2, & \alpha_1 \alpha_2 \end{vmatrix} \cdot \begin{vmatrix} X_1 \\ X_2 \\ X_3 \end{vmatrix} \end{aligned} \quad (1.20)$$

Dosazením (1.19)(1.15) (1.18) do (1.17) dostaneme

$$\mathbf{x}(t) = [(E - \mathbf{a}^{\circ} \otimes \mathbf{a}^{\circ}) \cos t + \mathbf{R}(\mathbf{a}^{\circ}) \sin t + \mathbf{a}^{\circ} \otimes \mathbf{a}^{\circ}] \mathbf{x} = \mathbf{A}_a^t \mathbf{x} \quad (1.21)$$

$$\mathbf{x}(t) = \mathbf{A}_a^t \cdot \mathbf{x} \quad (1.22)$$

$\mathbf{A}_a^t$  je tenzer otočení, tímto se vektor  $\mathbf{x}$  otečí o konstantní úhel  $t$  aniž se změní velikost vektoru. Celá soustava se stáčí ale nedeformuje.

Vlastnosti tenzoru otočení

$$\mathbf{A}_a^t = (E - \mathbf{a}^{\circ} \otimes \mathbf{a}^{\circ}) \cos t + \mathbf{R}(\mathbf{a}^{\circ}) \sin t + \mathbf{a}^{\circ} \otimes \mathbf{a}^{\circ} \quad (1.23)$$

První derivace (1.23) podle  $t$

$$\frac{d\mathbf{A}_a^t}{dt} \Big|_{t=0} = \mathbf{R}(\mathbf{a}^{\circ}) \quad (1.24)$$

$$\frac{d\mathbf{A}_a^t}{dt} = \mathbf{R}(\mathbf{a}^{\circ}) \cdot \mathbf{A}_a^t \quad (1.25)$$

Derivace pechočeného vektoru (1.22)

$$\frac{d}{dt} (\mathbf{A}_a^t \cdot \mathbf{x}) = \mathbf{R}(\mathbf{a}^{\circ}) \mathbf{A}_a^t \mathbf{x} = \mathbf{R}(\mathbf{a}^{\circ}) \mathbf{x}(t) = \mathbf{a}^{\circ} \times \mathbf{x}(t) \quad (1.26)$$

Řešení této rovnice je obdobné jako v jednorozměrném případě

$$\mathbf{x}(t) = e^{\mathbf{R}(\mathbf{a}^{\circ})t} \mathbf{x} \quad (1.27)$$

Srovnáním (1.22) a (1.27) plyne

$$\mathbf{A}_a^t = e^{\mathbf{R}(\mathbf{a}^{\circ})t}, \text{ kde obecně} \quad (1.28)$$

$$e^B = E + \frac{B}{1!} + \frac{B^2}{2!} + \dots$$

Odtud také

$$\frac{d}{dt} (e^{\mathbf{R}(\mathbf{a}^{\circ})t}) = \mathbf{R}(\mathbf{a}^{\circ}) \cdot e^{\mathbf{R}(\mathbf{a}^{\circ})t} = \mathbf{R}(\mathbf{a}^{\circ}) \cdot \mathbf{A}_a^t$$

Zřejmě platí, že tenzory reciproké a transponované jsou si rovny

$$(\mathbf{A}_a^t)^{-1} = (\mathbf{A}_a^t)^* \quad (1.29)$$

a pro otáčení kolem téže osy lze psát

$$\mathbf{A}_a^c \mathbf{A}_a^{pt} = \mathbf{A}_a^{c+pt} \quad (1.30)$$

pak derivace (1.30)

$$\frac{d}{dt} \left( \mathbf{A}_a^{c+pt} \right) = p \mathbf{R}(\alpha^o) \mathbf{A}_a^{c+pt} \quad (1.31)$$

Z obr. 1.1 rovněž plyne

$$|\mathbf{A}_a^t \mathbf{x}| = |\mathbf{A}_a^t \mathbf{x}(t)| = |\mathbf{x}| - |\mathbf{x}(t)| \quad (1.32)$$

Zkrácené uvedení teorie tenzoru otočení umožní řešení úloh vyšetřování výchozího povrchu odvalovacích fréz.

**1.1.3 Zavedení tenzoru otočení pro obalové plochy vzniklé při rotačních pohybech kolem dvou mimoběžných os**

Požadavky na valení Převodový poměr

$$p = \frac{\omega_n}{\omega_s} \quad (1.33)$$

Z obr. 1.2 vyplývá

$$\mathbf{r} = \mathbf{m} - \mathbf{q} \quad (1.34)$$

Trajektorie bodu  $M$  při rotaci kolem osy  $\sigma_n$

$$b) \mathbf{B}_n = \mathbf{A}_n^{pt} \cdot \mathbf{r} = \mathbf{A}_n^{pt} (\mathbf{m} - \mathbf{q}) \quad (1.35)$$

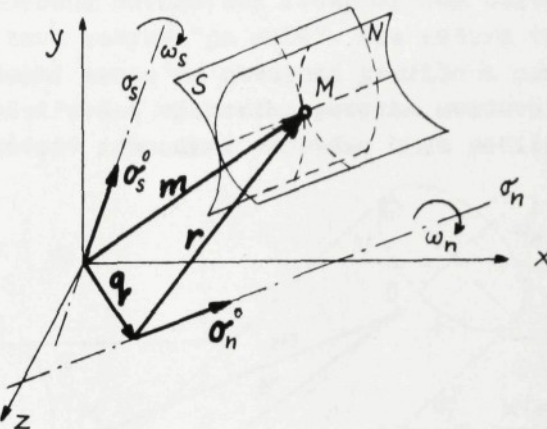
Trajektorie bodu  $M$  při rotaci kolem osy  $\sigma_s$

$$b) \mathbf{B}_s = \mathbf{A}_s^t (\mathbf{q} + \mathbf{A}_n^{pt} (\mathbf{m} - \mathbf{q})) \quad (1.36)$$

Derivace součinu tenzorů otočení

$$\frac{d}{dt} \left( \mathbf{A}_s^t \mathbf{A}_n^{pt} \right) = (\mathbf{A}_s^t)' \mathbf{A}_n^{pt} + \mathbf{A}_s^t (\mathbf{A}_n^{pt})' \quad$$

$$\begin{aligned} \frac{d}{dt} (\mathbf{A}_s^t \mathbf{A}_n^{pt}) &= R(\sigma_s^\circ) \mathbf{A}_s^t \cdot \mathbf{A}_n^{pt} + p \mathbf{A}_s^t R(\sigma_n^\circ) \mathbf{A}_n^{pt} = \\ &= [R(\sigma_s^\circ) + p R(\mathbf{A}_s^t \sigma_n^\circ)] \mathbf{A}_s^t \mathbf{A}_n^{pt} \quad (1.37) \end{aligned}$$



Obr. 1.2

#### 1.1.4 Formulace úlohy pro odvalovací frézování

Proces frézování odvalovacími frézami lze studovat jako vzájemně závislý pohyb dvou členů, které se po sobě odvalují (viz obr. 1.3). Přitom oba členy (v našem případě válce) se otáčejí kolem svých os  $\sigma_s$  a  $\sigma_n$ , jež jsou mimooběžné.

Zvolme vektor  $m$  jako polohový vektor bodu  $M$ , ležícího na osi válce součásti, vzhledem k pevně zvolenému bodu  $O$  na osi válce nástroje.

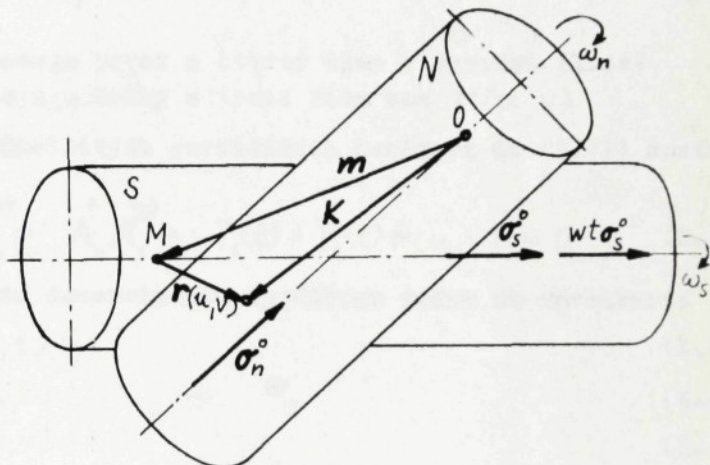
Zastavme pohyb nástroje a nechme pohybovat součást vzhledem k nehybnému nástroji s tím, že součást přejímá všechny pohyby dosud vykonávané nástrojem. Označme plochu povrchu součásti symbolem  $K$ . Nyní napišme vztah, který bude vyjadřovat celou soustavu těchto povrchů při vykonávání příslušných pohybů vzhledem k bodu  $O$ .

$$K = \mathbf{A}_n^t (m + \mathbf{A}_s^{pt} r(u, v) + w t \sigma_s^\circ) \quad (1.38)$$

Povrch součásti pro nulovou hodnotu parametrů  $t$  a  $w$  je možné popsat ve tvaru

$$K = M + r(u, v) \quad (1.39)$$

Člen  $wt\sigma_s^o$ , který se vyskytuje ve vztahu (1.38) a uplatňuje se při modelování výchozího povrchu odvalovací frézy, dourčuje ve skutečnosti celé schéma obrábění a zaručuje vytvoření celého povrchu součásti, nikoliv jeho profilu. Při vyšetřování výchozího povrchu odvalovací frézy bychom tento člen mohli zařadit k tzv. pohybu "po sobě". Dle autora tohoto pojmu [63], nepůsobí tento na utváření profilu a není tedy nutno jej pro vyšetřování výchozího povrchu uvažovat. V této teorii s ním z důvodů zobecnění problému bude počítáno.



Obr. 1.3

Upravená rovnice (1.38) má tvar

$$K = A_n^t m + A_n^t A_s^{pt} r(u, v) + A_n^t wt\sigma_s^o \quad (1.40)$$

Aby byla splněna podmínka valení povrchu součásti po nástroji musí platit vztah (1.6), čili

$$\det |K_u, K_v, K_t| = 0 \quad (1.41)$$

Parciální derivace

$$K_u = \frac{\partial K}{\partial u} ; \quad K_v = \frac{\partial K}{\partial v} ; \quad K_t = \frac{\partial K}{\partial t}$$

z rovnice (1.40) pak

$$K_u = A_n^t A_s^{pt} \frac{\partial r(u,v)}{\partial u} = A_n^t A_s^{pt} r_u \quad (1.42)$$

$$K_v = A_n^t A_s^{pt} \frac{\partial r(u,v)}{\partial v} = A_n^t A_s^{pt} r_v \quad (1.43)$$

$$\begin{aligned} K_t = & R(\sigma_n^o) A_n^t m + R(\sigma_n^o) A_n^t A_s^{pt} r_{(u,v)} + \\ & + A_n^t R(\sigma_s^o) p A_s^{pt} r_{(u,v)} + (R(\sigma_n^o) t + E) A_n^t w \sigma_s^o \end{aligned} \quad (1.44)$$

$$K_t = T_1(t) + T_2(t) r_{(u,v)} \quad (1.45)$$

$T_1(t)$  představuje první a čtvrtý člen v rovnici (1.44)

$T_2(t)$  představuje druhý a třetí člen bez  $r_{(u,v)}$

Dosazením jednotlivých parciálních derivací do (1.41) dostaneme

$$\det [A_n^t A_s^{pt}, A_n^t A_s^{pt}, T_1(t) + T_2(t) r_{(u,v)}] = 0 \quad (1.46)$$

Řešením této determinantu vyjádříme jednu ze závislostí

$$u = u(v, t) \quad (1.47)$$

$$v = v(u, t) \quad (1.48)$$

$$t = t(u, v) \quad (1.49)$$

Jestliže dosadíme závislost (1.47) do rovnice (1.38)  
pak rovnice obálky bude mít vyjádření

$$K = A_n^t (m + A_s^{pt} r_{(u(v,t), v)} + w t \sigma_s^o) \quad (1.50)$$

#### 1.1.4.1 Charakteristika

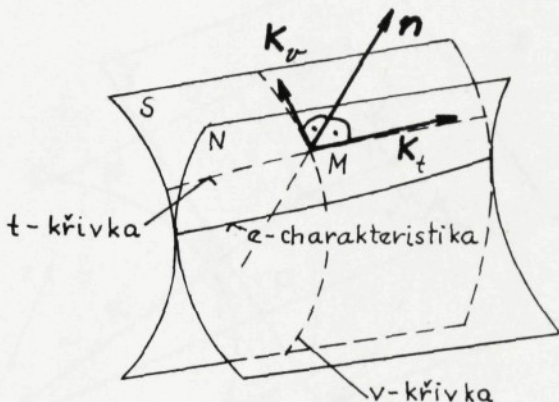
Charakteristikou nazýváme čáru styku vzájemně se po sobě  
valicích obalových ploch součásti a nástroje /63/. Ze vztahu  
pro stanovení výchozího povrchu odvalovací frézy (1.50) je  
zřejmé, že  $K$  je funkci parametrů  $v$  a  $t$ . Jestliže se zvolí  
jeden z nich konstantní, druhý zůstane proměnný, získá se tím  
charakteristika (parametrická křivka). Při konstantním  $v$

dostaneme parametrickou  $t$ -křivku, při konstantním  $t$  parametrickou  $v$ -křivku (viz obr. 1.4).

Těsné vektory k parametrickým křivkám dostaneme jako parciální derivace rovnice obalové plochy podle příslušných parametrů

$$K_v = \frac{\partial K}{\partial v} = A_n^t A_s^{pt} \frac{\partial r(u(v,t), v)}{\partial v} \quad (1.51)$$

$$\begin{aligned} K_t = \frac{\partial K}{\partial t} &= \frac{\partial A_n^t}{\partial t} m + \frac{\partial A_n^t}{\partial t} A_s^{pt} r(u(v,t), v) + \frac{\partial}{\partial t} (A_n^t w t \sigma_s) + \\ &+ A_n^t \frac{\partial A_s^{pt}}{\partial t} r(u(v,t), v) + A_n^t A_s^{pt} \frac{\partial r(u(v,t), v)}{\partial t} \end{aligned} \quad (1.52)$$



Obr. 1.4

#### 1.1.4.2 Normála k obalové ploše

Jestliže jeme si vyjádřili tečné vektory k parametrické  $v$ -křivce a  $t$ -křivce, pak vektorový součin těchto vektorů vyjadřuje vektor normály

$$n = \frac{\partial K}{\partial v} \times \frac{\partial K}{\partial t} \quad (1.53)$$

Dosazením vztahů (1.51) a (1.52) do (1.53) získáme rovnici normály k obalové ploše ve tvaru

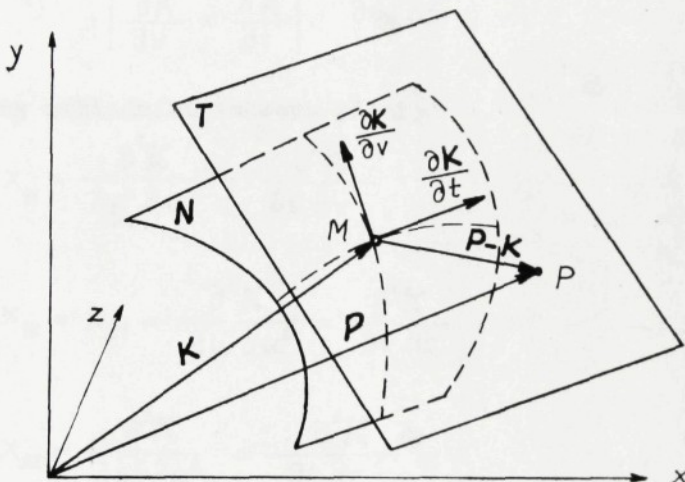
$$n = \begin{vmatrix} i & j & k \\ \frac{\partial K^x}{\partial v} & \frac{\partial K^y}{\partial v} & \frac{\partial K^z}{\partial v} \\ \frac{\partial K^x}{\partial t} & \frac{\partial K^y}{\partial t} & \frac{\partial K^z}{\partial t} \end{vmatrix} \quad (1.54)$$

#### 1.1.4.3 Tečná rovina obalové plochy

Předpokládejme, že je dán regulérní bod  $M$  plochy  $N$  (obr. 1.5). V takovém bodě existuje jediná tečná rovina. Jestliže si v této rovině zvolíme bod  $P$  s radiusvektorem  $\mathbf{P}$  vzhledem k počátku, pak můžeme rovnici roviny napsat ve tvaru /27/.

$$(\mathbf{P} - \mathbf{K}) \cdot \left( \frac{\partial \mathbf{K}}{\partial v} \times \frac{\partial \mathbf{K}}{\partial t} \right) = 0 \quad (1.55)$$

Vektor  $(\mathbf{P} - \mathbf{K})$  musí být komplanárni s tečnými vektory  $\mathbf{K}_v$  a  $\mathbf{K}_t$ .



Obr. 1.5

#### 1.1.4.4 Křivost křivky na povrchu nástroje

Při vyjádření křivosti vyjdeme z předpokladů uvedených v /6/. Buď  $\mathbf{x} = \mathbf{x}(u^1, u^2)$  vektorová rovnice regulérní plochy  $N$ . V bodě  $\mathbf{x}(u^1, u^2)$  si určíme jednotkový vektor normály  $\mathbf{n}^\circ$  a dva tečné vektory  $\mathbf{x}_1$  a  $\mathbf{x}_2$ .

$$\mathbf{n}_i^\circ = \frac{\partial \mathbf{n}^\circ}{\partial u^i} \quad (1.56)$$

$$\mathbf{x}_{ij} = \frac{\partial^2 \mathbf{x}}{\partial u^i \partial u^j} = \frac{\partial \mathbf{x}_i}{\partial u^j} \quad (1.57)$$

pak druhý základní tenzor plochy (tenzor v kovariantních souřadnicích)

$$h_{ij} = \eta^o x_j = \eta^o x_{ij} \quad (1.58)$$

Pro plochu popsanou rovnicií (1.50) je  $u^1 = v$ ,  $u^2 = t$

$$x_{ij} = \frac{\partial^2 K}{\partial u^i \partial u^j} = \frac{\partial^2}{\partial u^i \partial u^j} [A_n^t (m + A_s^{pt} r(u(v, t), v) + w t \sigma_s^o)] \quad (1.59)$$

$$h_{ij} = \frac{\frac{\partial K}{\partial v} \times \frac{\partial K}{\partial t}}{\left| \frac{\partial K}{\partial v} \times \frac{\partial K}{\partial t} \right|} \cdot \frac{\partial^2 K}{\partial v \partial t} \quad (1.60)$$

Sležky základního tenzoru plochy

$$x_{11} = \frac{\partial^2 K}{\partial u^1 \partial u^1} = \frac{\partial^2 K}{\partial v \partial v} \quad (1.61)$$

$$x_{12} = x_{21} = \frac{\partial^2 K}{\partial u^1 \partial u^2} = \frac{\partial^2 K}{\partial v \partial t} \quad (1.62)$$

$$x_{22} = \frac{\partial^2 K}{\partial u^2 \partial u^2} = \frac{\partial^2 K}{\partial t \partial t} \quad (1.63)$$

Proložme v libovolném bodě  $X(u^1, u^2)$  plochy  $N$  krivku  $k$ , která bude mít rovnici

$$u^i = u^i(t) \quad (1.64)$$

Označme  $du^i$  diferenciální funkce  $u^i(t)$

$$du^i = u^i dt \quad (1.65)$$

pak při určitém postupu /6/ lze odvodit vztah

$$\varphi_i = g_{ij} du^i du^j \quad (1.66)$$

což představuje tzv. první základní formu plochy.

## Tensor

$$g_{ij} = \mathbf{x}_i \cdot \mathbf{x}_j \quad (1.67)$$

Podle /6/, /27/ lze normální křivost křivky k vyjádřit vztahem

$$\bar{\chi} = \frac{h_{ij} du^i du^j}{g_{ij} du^i du^j} = \frac{\varphi_2}{\varphi_1} \quad (1.68)$$

Hodnotu  $\varphi_2$  nazýváme druhou základní formou plochy.

### 1.2 Výchozí povrch a tvar osy obráběcích fréz pro danou rovinou plochu součásti

Na základě teorie uvedené v předchozích kapitolách bude zde provedena aplikace na několika typech povrchů. Podle /62/, /63/ plocha součásti nabývá v zásadě těch tvarů. Budě je to plocha válcová, rotační nebo šroubová. Pro tyto plochy součásti by se měl vyštírovat výchozí povrch nástroje. Protože tyto monony soujmí vzhledem k osám rotace různé polohy, a povrch součásti je obvykle složen z více tváří, vzniká veliké množství konfigurací, jejich řešení není možné v této práci pestihnout. Zaměříme se pouze na ty nejpoužívanější.

#### 1.2.1 Stanovení výchozího povrchu

Rovinná plocha jako zvláštní případ válcové je jednou z ploch vyskytujících se u součásti vyráběných odvrtovacími frézami. Provedeme aplikaci vyštírování výchozího povrchu nástroje pro obrábění této plochy.

Budět plocha součásti  $S$  (obr. 1.6) určena parametry  $u$ ,  $v$ .

Bod  $M$  na ploše  $S$  je popsán dvěma hodnotami  $u$ ,  $v$  vzhledem k nějakému pevně zvolenému bodu  $Q$  na osě součásti.

Vyjádření plochy

$$\mathbf{r}(u, v) = \mathbf{p} + u \mathbf{q} + v \boldsymbol{\sigma}_s^\circ \quad (1.69)$$

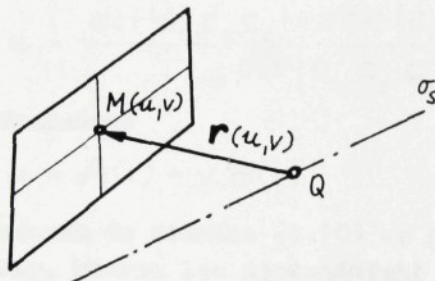
Dosadíme do rovnice (1.38)

$$\mathbf{K} = \mathbf{A}_n^t \left( \mathbf{m} + \mathbf{A}_s^{pt} (\mathbf{p} + u \mathbf{q} + v \boldsymbol{\sigma}_s^\circ) + w.t \boldsymbol{\sigma}_s^\circ \right) \quad (1.70)$$

Rovnice (1.70) vyjadřuje plochu povrchu součásti při libovolném jejím posunutí kolem os  $\sigma_h$ ,  $\sigma_s$  a posunutí kolem osy  $\sigma_s^o$ . Obálku parametrické soustavy ploch (1.70) představuje teoreticky výchozí povrch odvalovací frézy. Budeme vycházet z podmínky odvalení (1.6). Vyjádříme jednotlivé partiální derivace výrazu (1.70) podle proměnných  $u$ ,  $v$ ,  $t$ .

$$K_u = A_n^t A_s^{pt} q = c_1 \quad (1.71)$$

$$K_v = A_n^t A_s^{pt} \sigma_s^o = A_n^t \sigma_s^o = c_2 \quad (1.72)$$



Obr. 1.6

Přepíšeme rovnici (1.70)

$$K = A_n^t m + A_n^t A_s^{pt} (\rho + uq + vr_s^o) + A_n^t w \cdot t \sigma_s^o$$

pak derivace podle  $t$

$$K_t = R(\sigma_n^o) A_n^t m + R(\sigma_n^o) + p R(A_n^t \sigma_s^o) A_n^t A_s^{pt} (\rho + uq + vr_s^o) + \\ + (R(\sigma_n^o) t + E) A_n^t w \sigma_s^o \quad (1.73)$$

Substituce

$$a = A_n^t A_s^{pt}$$

$$b = R(\sigma_n^o) + p R(A_n^t \sigma_s^o)$$

$$c_3 = R(\sigma_n^o) A_n^t m + (R(\sigma_n^o) t + E) A_n^t w \sigma_s^o + bap \quad (1.74)$$

$$C_4 = \alpha \cdot q \quad (1.75)$$

$$C_5 = \alpha \cdot \sigma_s \quad (1.76)$$

$$K_t = C_3 + u C_4 + v C_5 \quad (1.77)$$

dosadíme do rovnice (1.6)

$$\det |C_1, C_2, C_3 + u C_4 + v C_5| = 0$$

po rozepsání (smíšený součin)

$$\det |C_1, C_2, C_3| + u \det |C_1, C_2, C_4| + v \det |C_1, C_2, C_5| = 0 \quad (1.78)$$

Pak závislost parametru  $u$  na  $v$

$$u = \frac{\det |C_1, C_2, C_3| + v \det |C_1, C_2, C_5|}{\det |C_1, C_2, C_4|} \quad (1.79)$$

z jednodušeně

$$u = A(t) + v B(t) \quad (1.80)$$

dosazením do rovnice (1.70) za parametr  $u$ , obdržíme rovnici obálky, kterou lze zjednodušeně napsat

$$0B - KA(t) + v KB(t) \quad (1.81)$$

nebo zněnou vyjádření závislosti parametru  $v$  na  $u$  z rovnice (1.48)

$$0B = U(t) + u V(t) \quad (1.82)$$

Pro pevně zvolené  $t$  dostáváme přímkou, jež je charakteristikou hledané obalové plochy (která je nutně plochou rovinutelnou).

### 1.2.2 Vyjádření tvaru ostří odvalovací frézy

Průsečnice čela a výchozího povrchu řezného nástroje tvoří profil ostří odvalovací frézy. Ten je závislý na tom, jaká plocha byla zvolena pro čelo nástroje, tj. jaký tvar má drážka. U odvalovacích fréz se mohou vyskytovat drážky přímé nebo šroubovitě. U přímých drážek je čelo břítu rovinou plochou

zaujímající různou polohu vzhledem k ose frézy, a to podle velikosti úhlu čela. U drážek šroubovitých je čelo plochou šroubovou. Rovinné čelo se zpravidla vyskytuje u skládaných fréz, šroubovitě u fréz celistvých.

### Řez obálky obecnou plochou

Parametrické vyjádření plochy

$$Y = Y(s, z) \quad (1.83)$$

Hledáme-li průsečík obálky (1.82) s plochou (1.83), pak platí

$$U(t) + u V(t) = Y(s, z) \quad (1.84)$$

#### 1.2.2.1 Řez obálky rovinnou plochou

$$Y = Q + P_s + R_z \quad (1.85)$$

$$U(t) + u V(t) = Q + P_s + R_z \cdot z \quad (1.86)$$

Dostaváme soustavu tří lineárních rovnic pro tři neznámé  $u, s, z$ .

$$P_s + R_z - u V(t) = U(t) - Q \quad (1.87)$$

Označme matici

$$M = \|P, R, -V(t)\| \quad (1.88)$$

po úpravě

$$\begin{vmatrix} s \\ z \\ u \end{vmatrix} = M^{-1}(U(t) - Q) \quad (1.89)$$

kde  $s, z, u$  jsou hledané parametry. Dosazením do rovnice obálky (1.82) nebo (1.85) získáme průsečík roviny s  $t$ -charakteristikou obálky.

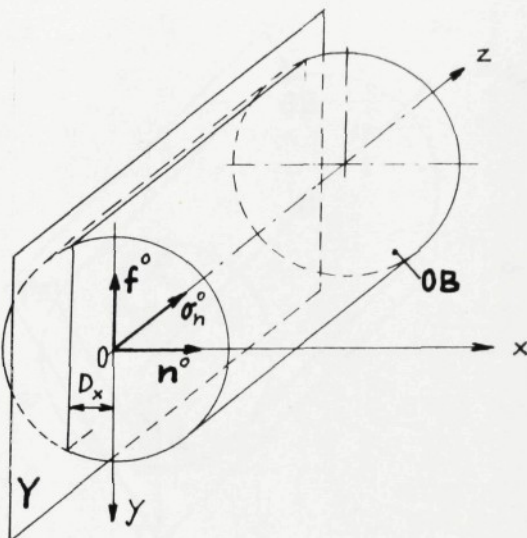
### Vektorové vyjádření roviny řezu v normálovém tvaru

Je-li rovina (obr. 1.7) daná rovnicí

$$Y \cdot n^\circ = D_x \quad (1.90)$$

vektor normály

$$n^\circ = \sigma_n^\circ \times f^\circ \quad (1.91)$$



Obr. 1.7

Hledáme-li průsečík s  $t$ -charakteristikou obálky, pak dosadíme do vztahu (1.90) a (1.82)

$$Y = OB$$

$$(U(t) + u V(t)) \cdot n^\circ = D_x$$

Odkud

$$U(t)n^\circ + u V(t)n^\circ = D_x$$

$$u = \frac{D_x - U(t) \cdot n^\circ}{V(t) n^\circ} \quad (1.92)$$

Dosazením do rovnice obálky (1.82) získáme hledaný průsečík s  $t$ -charakteristikou.

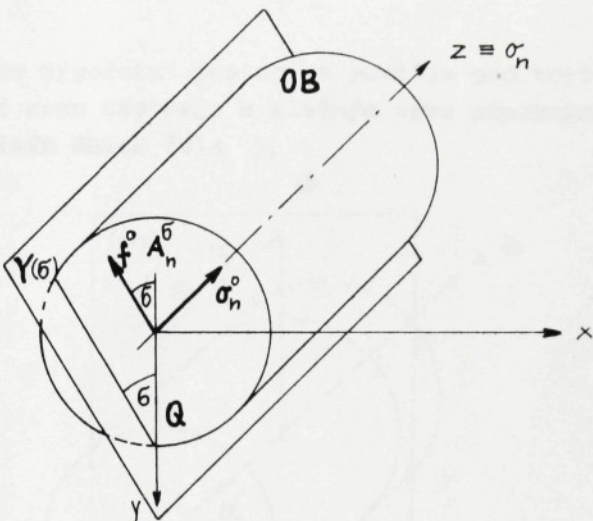
Řez obálky rovinou rovnoběžnou s osou  $\sigma_n$  a jdoucí mimo počátek bodem Q (obr. 1.8).

Vyjdeme z obecné rovnice roviny (1.85)

$$Y(\vartheta) = Q + s \sigma_n^{\circ} + z A_n^{\delta} f^{\circ} \quad (1.93)$$

Po úpravě

$$s \sigma_n^{\circ} + z A_n^{\delta} f^{\circ} - u V(t) = U(t) - Q \quad (1.94)$$



Obr. 1.8

**Matice**

$$M = \begin{vmatrix} s & A_n^{\delta} f^{\circ} & -V(t) \end{vmatrix} \quad (1.95)$$

$$\begin{vmatrix} s \\ z \\ u \end{vmatrix} = M^{-1} (U(t) - Q) \quad (1.96)$$

Pokud bude rovina řezu a tedy i bod Q v jiné poloze o úhel  $\vartheta$ , rovnici (1.93) násobíme tenzorem otocení  $A_u^{\vartheta}$ . Rovnice se pak změní

$$Y(\vartheta) = A_n^{\vartheta} (Q + s \sigma_n^{\circ} + z A_n^{\delta} f^{\circ}) \quad (1.93.1)$$

Po úpravě

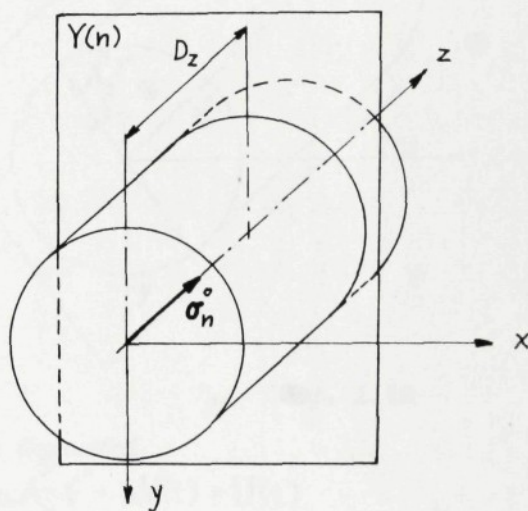
$$Y(\vartheta) = A_n^{\vartheta} Q + s A_n^{\vartheta} \sigma_n^{\circ} + z A_n^{\vartheta} A_n^{\delta} f^{\circ}$$

$$\mathbf{U}(t) + u \mathbf{V}(t) = \mathbf{A}_n^{\vartheta} \mathbf{Q} + s \mathbf{A}_n^{\vartheta} \boldsymbol{\sigma}_n^{\circ} + z \mathbf{A}_n^{\vartheta} \mathbf{A}_n^{\theta} \mathbf{f}^{\circ} \quad (1.94.1)$$

$$M = \| \boldsymbol{\sigma}_n^{\circ}, \mathbf{A}_n^{\vartheta+\delta} \mathbf{f}^{\circ}, -\mathbf{V}(t) \| \quad (1.95.1)$$

$$\begin{vmatrix} s \\ z \\ v \end{vmatrix} = M^{-1} (\mathbf{U}(t) - \mathbf{A}_n^{\vartheta} \mathbf{Q}) \quad (1.96.1)$$

Tento výpočetní postup se použije pro rovinné čelo procházející osou nástroje s kladným nebo záporným nástrojovým ortogonálním úhlem čela  $\gamma_0$ .



Obr. 1.9

#### Řez obálky rovinou kolmou k ose nástroje (obr. 1.9)

$$Y(n) \boldsymbol{\sigma}_n^{\circ} = D_z \quad (1.97)$$

průsečnice obálky s rovinou

$$(\mathbf{U}(t) + u \mathbf{V}(t)) \boldsymbol{\sigma}_n^{\circ} = D_z$$

$$\mathbf{U}(t) \boldsymbol{\sigma}_n^{\circ} + u \mathbf{V}(t) \boldsymbol{\sigma}_n^{\circ} = D_z$$

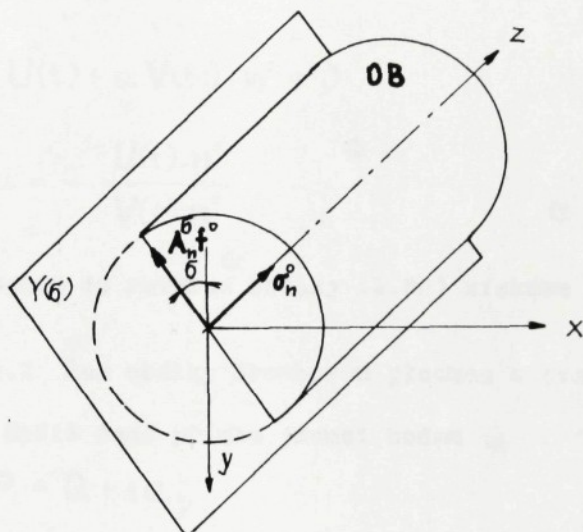
$$u = \frac{D_z - \mathbf{U}(t) \boldsymbol{\sigma}_n^{\circ}}{\mathbf{V}(t) \boldsymbol{\sigma}_n^{\circ}} \quad (1.98)$$

Dosazením do rovnice obálky získáme průsečníci s normálovou rovinou.

### Řez obálky rovinou jdoucí osou nástroje (obr. 1.10)

$$Y(\delta) = P_s + R_z \quad (1.99)$$

$$Y(\delta) = s \sigma_n^{\delta} + z A_n^{\delta} f^{\delta} \quad (1.100)$$



Obr. 1.10

Po úpravě a dosazení

$$s \sigma_n^{\delta} + z A_n^{\delta} f^{\delta} - u V(t) = U(t) \quad (1.101)$$

matice koeficientů

$$M = \| \sigma_n^{\delta}, A_n^{\delta} f^{\delta}, -V(t) \| \quad (1.102)$$

Řešení tří lineárních rovnic

$$\begin{vmatrix} s \\ z \\ u \end{vmatrix} = M^{-1} U(t) \quad (1.103)$$

Dosazením do rovnice obálky nebo roviny získáme průsečníci roviny s obálkou.

### Jiná varianta pomocí vektoru normály roviny

$$\mathbf{n}^\circ = \boldsymbol{\sigma}_n^\circ \times \mathbf{f}^\circ \quad (1.104)$$

v obecné poloze

$$\mathbf{A}_n^\delta (\boldsymbol{\sigma}_n^\circ \times \mathbf{f}^\circ) = \boldsymbol{\sigma}_n^\circ \times \mathbf{A}_n^\delta \mathbf{f}^\circ = \mathbf{n}^\circ \quad (1.105)$$

rovnice roviny

$$\mathbf{Y}(6) \cdot \mathbf{n}^\circ = 0 \quad (1.106)$$

$$(\mathbf{U}(t) + u \mathbf{V}(t)) \cdot \mathbf{n}^\circ = 0 \quad (1.107)$$

$$u = - \frac{\mathbf{U}(t) \cdot \mathbf{n}^\circ}{\mathbf{V}(t) \cdot \mathbf{n}^\circ} \quad (1.108)$$

Dosazením do rovnice obálky (1.82) získáme průsečníci.

#### 1.2.2.2 Řez obálky šroubovou plochou s tvořící přímkou

Budíž daná přímka jdoucí bodem Q

$$\mathbf{P} = \mathbf{Q} + s \mathbf{a}_p \quad (1.109)$$

Směrnici přímky lze vyjádřit  $\mathbf{a}_p = \mathbf{A}_n^z \mathbf{Q}$ .

Šroubová plocha vznikne pohybem tvořící přímky, jejím posuvem a rotací kolem osy  $\boldsymbol{\sigma}_n^\circ$  ve vzdálenosti Q od počátku.

$$\mathbf{SP} = \mathbf{A}_n^z \mathbf{P} + C_z \boldsymbol{\sigma}_n^\circ = \mathbf{A}_n^z (\mathbf{Q} + s \mathbf{a}_p) + C_z \boldsymbol{\sigma}_n^\circ \quad (1.110)$$

$$C = \frac{h}{2\pi} \quad (1.111)$$

Plocha v obecné poloze bude mít tvar (při otáčení kolem osy  $\boldsymbol{\sigma}_n^\circ$  o úhel  $\vartheta$ )

$$\mathbf{SP} = \mathbf{A}_n^z \mathbf{A}_n^z (\mathbf{Q} + s \mathbf{a}_p) + C_z \boldsymbol{\sigma}_n^\circ = \mathbf{A}_n^z (\mathbf{Q} + s \mathbf{a}_p) + C_z \boldsymbol{\sigma}_n^\circ \quad (1.112)$$

Průsečnice obálky se šroubovou plochou

$$\mathbf{U}(t) + u \mathbf{V}(t) = \mathbf{SP} \quad (1.113)$$

$$U(t) + u V(t) = A_n^{\vartheta+z} (Q + s \alpha_p) + C z \sigma_n^o \quad (1.113a)$$

Dostaneme rovnici o třech neznámých  $u, s, z$ .

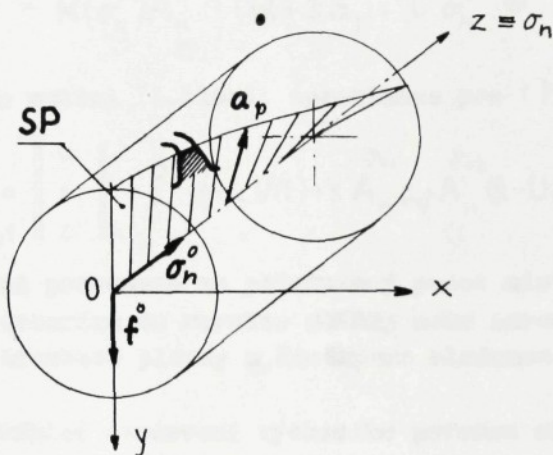
Rovnici lze řešit Newtonovou metodou /55/.

Aproximace pro  $k+1$  krok

$$x_{k+1} = x_k - \tilde{f}^{-1}(x_k) f(x_k) \quad (1.114)$$

V našem případě je  $f(x_k)$  vektorová funkce vektorového argumentu

$$f(x_k) = \begin{vmatrix} f_1(x_1, x_2, x_3) \\ f_2(x_1, x_2, x_3) \\ f_3(x_1, x_2, x_3) \end{vmatrix} = \begin{vmatrix} f_1(u, s, z) \\ f_2(u, s, z) \\ f_3(u, s, z) \end{vmatrix} \quad (1.115)$$



Obr. 1.11

její derivaci

$$f_{ij} = \frac{\partial f_i}{\partial x_j}$$

vznikne matica

$$\tilde{f} = \begin{vmatrix} f_{11}, f_{12}, f_{13} \\ f_{21}, f_{22}, f_{23} \\ f_{31}, f_{32}, f_{33} \end{vmatrix} - \begin{vmatrix} f_{1u}, f_{1s}, f_{1z} \\ f_{2u}, f_{2s}, f_{2z} \\ f_{3u}, f_{3s}, f_{3z} \end{vmatrix} \quad (1.116)$$

$$\tilde{f} = \left\| \frac{\partial f}{\partial u}, \frac{\partial f}{\partial s}, \frac{\partial f}{\partial z} \right\| \quad (1.117)$$

Pro řešení je důležitý odhad prvního kroku, aby funkce konvergovala. Položme rovnici (1.113a) rovnou nule a provedme její parciální derivace podle  $u$ ,  $s$ ,  $z$ .

$$\frac{\partial f}{\partial u} = -V(t) \quad (1.118)$$

Rovnici (1.118) lze řešit numericky, kde můžeme použít přibližného vztahu

$$\frac{\partial f}{\partial u} \doteq \frac{f(u + \Delta u) - f(u)}{\Delta u} \quad (1.118a)$$

$$\frac{\partial f}{\partial s} = A_n^{\vartheta+z} a_p \quad (1.119)$$

$$\frac{\partial f}{\partial z} = R(\sigma_n^o) A_n^{\vartheta+z} (Q + s a_p) + C \sigma_n^o \quad (1.120)$$

sestavíme matici (1.116a); approximace pro  $(k+1)$  krok

$$\begin{vmatrix} u \\ s \\ z \end{vmatrix}_{k+1} = \begin{vmatrix} u \\ s \\ z \end{vmatrix}_k - \tilde{f}^{-1} \left( -u V(t) + s A_n^{\vartheta+z} a_p + A_n^{\vartheta+z} Q - U(t) + C z \sigma_n^o \right) \quad (1.121)$$

Approximaci provedeme na požadovaný počet míst. Výsledný parametr  $u$  dosadíme do rovnice obálky nebo parametry  $s$ ,  $z$  do rovnice šroubové plochy a dostaneme hledanou průsečnicí.

### 1.2.3 Příklad stanovení výchozího povrchu odvalovací frézy pro frézování součásti tvaru n-hranu

Stanovíme zadávací parametry součásti, tj. rovnici povrchu, intervaly parametrů  $u$ ,  $v$ ,  $t$ , tenzory otocení a dosadíme do odvozených vztahů pro stanovení výchozího povrchu. Dále zvolíme poloměr valjícího válce (kružnice). Pro tento případ je vhodné volit střední poloměr  $r_{VS}$ , jak je uvedeno v kap. 1.3.3.

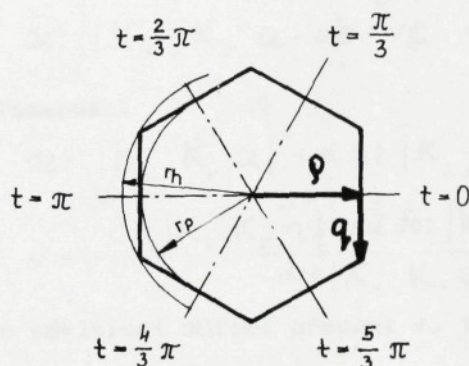
Aplikace parametrického vyjádření ploch na šestihranu (obr. 1.12)

- plocha  $t = 0$  :  $Q + u q + v \sigma_s^o$
- plocha  $t = \frac{\pi}{3}$  :  $A_s^{\frac{\pi}{3}} (Q + u q + v \sigma_s^o)$

- plocha  $t = \frac{2}{3}\pi$  :  $A_s^{\frac{2}{3}\pi} (\rho + uq + v\sigma_s^\circ)$
- plocha  $t = \pi$  :  $A_s^\pi (\rho + uq + v\sigma_s^\circ)$
- plocha  $t = \frac{4}{3}\pi$  :  $A_s^{\frac{4}{3}\pi} (\rho + uq + v\sigma_s^\circ)$
- plocha  $t = \frac{5}{3}\pi$  :  $A_s^{\frac{5}{3}\pi} (\rho + uq + v\sigma_s^\circ)$

Parametr  $t$  pro n-hran

$$t = \frac{2\pi}{i_s} \cdot i_p , \quad \text{kde } i_p = 0, 1, 2, \dots, i_s - 1 \quad (1.122)$$



Obr. 1.12

Podmínky:

$$-1 \leq u \leq 1$$

$$0 \leq v \leq l$$

$$|\rho| = \rho$$

V dalším bude vynechán z rovnice (1.70) člen vyjadřující posuvný pohyb ve směru osy  $\sigma_s^\circ$ , protože na tvar obálky nemá vliv [63]. Rovnice pak bude mít tvar

$$K(u, v, t) = A_n^t m + A_n^t A_s^{pt} (\rho + uq + v\sigma_s^\circ) \quad (1.123)$$

$$K_u = A_n^t A_s^{pt} q \quad (1.124)$$

$$K_v = A_n^t \sigma_s^\circ \quad (1.125)$$

$$K_t = R(\sigma_n^\circ) A_n^t m + (R(\sigma_n^\circ) + p R(A_n^t \sigma_s^\circ)) A_n^t A_s^{pt} (\rho + uq + v\sigma_s^\circ) \quad (1.126)$$

Zavedením substituce a dosazením do rovnice (1.126) dostaneme rovnici (1.131)

$$c(t) = R(\sigma_s^o) + pR(A_n^t \sigma_s^o) \quad (1.127)$$

$$a = R(\sigma_s^o) A_n^t m + c(t) A_n^t A_s^{pt} q \quad (1.128)$$

$$b = c(t) A_n^t A_s^{pt} q \quad (1.129)$$

$$c = c(t) A_n^t \sigma_s^o \quad (1.130)$$

$$K_t = a + u b + v c \quad (1.131)$$

**Podmínka valení (1.6) po dosazení (1.131)**

$$\det |K_u, K_v, a + ub + vc| = 0 \quad (1.132)$$

**po rozepsání**

$$\det |K_u, K_v, a| + u \det |K_u, K_v, b| + v \det |K_u, K_v, c| = 0 \quad (1.132)$$

**pak**

$$v = \frac{\det |K_u, K_v, a| + u \det |K_u, K_v, b|}{\det |K_u, K_v, c|} \quad (1.133)$$

Tuto závislost můžeme přepsat do tvaru

$$v = \alpha(t) + \beta(t) u \quad (1.134)$$

Dosazením rovnice (1.134) do (1.123) dostaneme rovnici obálky

$$OB = A_n^t m + A_n^t A_s^{pt} (q + \alpha(t) \sigma_s^o + u(q + \beta(t) \sigma_s^o)) \quad (1.135)$$

nebo

$$OB = A_n^t m + A_n^t A_s^{pt} (q + \alpha(t) \sigma_s^o) + u A_n^t A_s^{pt} (q + \beta(t) \sigma_s^o) \quad (1.136)$$

nebo zjednodušeně

$$OB = U(t) + uV(t) \quad (1.137)$$

$$U(t) = A_n^t + A_n^t A_s^{pt} (q + \alpha(t) \sigma_s^o) \quad (1.138)$$

$$V(t) = A_n^t A_s^{pt} (q + \beta(t) \sigma_s^o) \quad (1.139)$$

Tím je určen výchozí povrch, který je obálkou daného povrchu součásti. Profil zubů odvalovací frézy stanovíme tak,

že provedeme řez obálky plochou čela. Pro přímou drážku zubů s úhlem čela  $\gamma$  použijeme vztahů (1.93.1) a (1.96.1). Provedeme pouze záměnu  $\gamma$  za  $\beta$ . Úhel  $\beta$  vyjadřuje polohu břitu zubu na obvodu obálky a nepřímo počet břitů. Najdeme průsečnice obálky s rovinou čela a to zpětným dosazením  $u$  do vztahu (1.137). Pro sklon drážek zubů ve šroubovici použijeme vztahu (1.121).

Průsečnice obálky s rovinou

$$U(t) + uV(t) = \overset{\circ}{A_n} Q + s \overset{\circ}{A_n} \sigma_n^o + z \overset{\circ}{A_n} A_n^{\gamma} f^o \quad (1.140)$$

$$M = \| \overset{\circ}{\sigma_n}, \overset{\beta+\gamma}{A_n}, -V(t) \| \quad (1.141)$$

$$\begin{vmatrix} s \\ z \\ v \end{vmatrix} = M^{-1} | U(t) - \overset{\circ}{A_n} Q | \quad (1.142)$$

### 1.3 Výchozí povrch a tvar ostří pro zakřivenou válcovou plochu

Válcová plocha součásti se u součástí vyráběných odvalovacím způsobem vyskytuje buď jako plocha funkční, např. u řetězových kola obloukového ozubení, nebo jako přechodová plocha, např. u drážkových, rohatkových profilů nebo profilů drážek nástrojů.

#### 1.3.1 Stanovení výchozího povrchu

Aplikace bude provedena na válcové ploše s určitým daným poloměrem křivosti. Budík dána soustava válcových ploch navinutých na válcové ploše (obr. 1.13).

Bod B na ploše součásti popíšeme pomocí parametrů ( $u, v$ ) vzhledem k pevně zvolenému bodu M na ose součásti (obr. 1.14)

$$r_i(u, v) = -m^o_{fc} + A_s^u \beta_k m^o + v \sigma_s^o \quad (1.143)$$

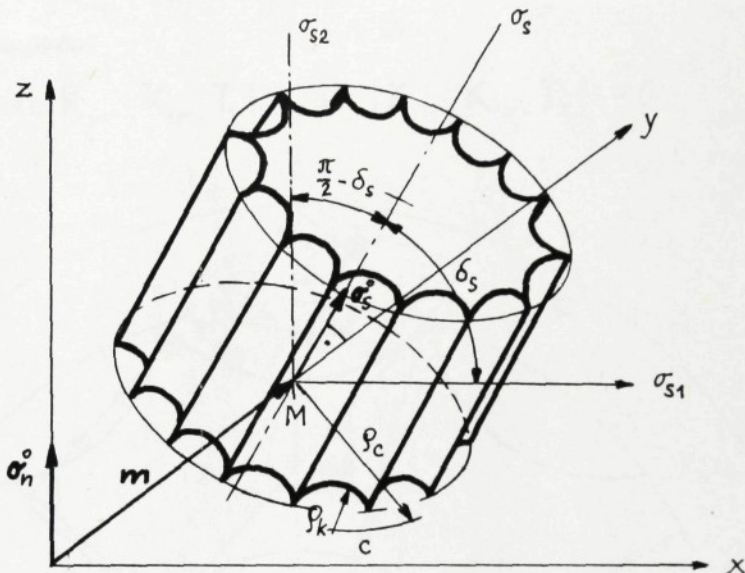
Parametry

$$u \in < -\gamma, \gamma >$$

$$v \in < 0, l >$$

Dosazením do rovnice (1.38) při zanedbání složky pohybu "po sobě"

$$K_1 = A_n^t (m + A_s^{pt} r_1(u, v)) \quad (1.144)$$



Obr. 1.13

Po dosazení (1.143)

$$K_1 = A_n^t m + A_n^t A_s^{pt} (-g_c m^o + A_s^u g_k m^o + v \sigma_s^o) \quad (1.145)$$

Parciální derivace podle parametrů  $u, v, t$

$$K_{1u} = A_n^t R(\sigma_s^o) A_s^{pt+u} g_k m^o \quad (1.146)$$

$$K_{1v} = A_n^t A_s^{pt} \sigma_s^o \quad (1.147)$$

$$K_{1t} = R(\sigma_n^o) A_n^t m + [R(\sigma_n^o) + p R(A_n \sigma_s^o)] A_n^t A_s^{pt} (-g_c m^o + A_s^u g_k m^o + v \sigma_s^o) \quad (1.148)$$

Substituce

$$T_1 = [R(\sigma_n^o) + p R(A_n \sigma_s^o)] A_n^t A_s^{pt} \sigma_s^o \quad (1.149)$$

$$T_2 = R(\sigma_n^o) A_n^t m + [R(\sigma_n^o) + p R(A_n \sigma_s^o)] A_n^t A_s^{pt} u (A_s^u g_k m^o - g_c m^o) \quad (1.150)$$

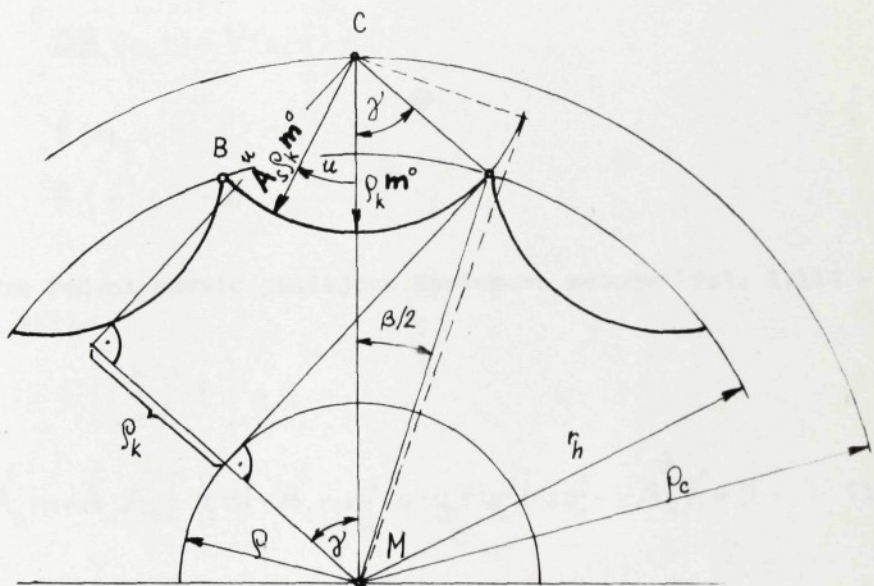
Pak  $K_{1t} = \nu T_1 + T_2$  (1.151)

Dosadíme do rovnice (1.6)

$$\det |K_{1u}, K_{1v}, \nu T_1 + T_2| = 0 \quad (1.152)$$

po rozepsání

$$\nu \det |K_{1u}, K_{1v}, T_1| + \det |K_{1u}, K_{1v}, T_2| = 0 \quad (1.152.1)$$



Obr. 1.14

Závislost parametru  $\nu$  na  $u, t$

$$\nu = -\frac{\det |K_{1u}, K_{1v}, T_2|}{\det |K_{1u}, K_{1v}, T_1|} = -\frac{\det 1}{\det 2} \quad (1.153)$$

Obálka

$$OB_1 = A_n^t [m + A_s^{pt} (A_s^u \varphi_k m^\circ - \varphi_c m^\circ) - \frac{\det 1}{\det 2} \sigma_s^\circ] \quad (1.154)$$

### 1.3.2 Vyjádření tvaru ostří edvalovací frézy

#### 1.3.2.1 Řez obálky rovinnou plochou

a) Čelo procházející osou nástroje

Použijeme rovnice roviny procházející osou v obecné poloze (pro  $\gamma_0 = 0$ ) (1.100) a rovnice obálky (1.154), jinak postupujeme stejně, tj. vyjádříme si matici (1.102) a hledáme řešení (1.103)

$$OB_1(u, t) = Y(s, z)$$

$$OB_1(u, t) - Y(s, z) = 0$$

$$f(u, s, z, t) = 0$$

$$f(r, t) = 0$$

Pro řešení rovnic použijeme Newtonovu metodu (vzt. 1.114 - 1.117).

$$f \left[ \begin{pmatrix} u \\ s \\ z \end{pmatrix}, t \right] = 0$$

$$\overset{t}{A}_n \overset{t}{m} + \overset{t}{A}_n \overset{pt}{A}_s \left[ -\overset{t}{\rho}_c \overset{t}{m} + \overset{u}{A}_s \overset{t}{\rho}_k \overset{t}{m} - v(u, t) \overset{o}{\sigma}_s \right] - s \overset{o}{\sigma}_n - z \overset{\vartheta}{A}_n f^o = 0 \quad (1.155)$$

$$\frac{\partial f}{\partial u} = \overset{t}{A}_n \overset{pt}{A}_s \left( R(\overset{o}{\sigma}_s) \overset{u}{A}_s \overset{t}{\rho}_k \overset{t}{m} - \frac{\partial v(u, t)}{\partial u} \cdot \overset{o}{\sigma}_s \right) \quad (1.156)$$

$$\frac{\partial f}{\partial s} = - \overset{o}{\sigma}_n \quad (1.157)$$

$$\frac{\partial f}{\partial z} = - \overset{\vartheta}{A}_n \cdot f^o \quad (1.158)$$

další postup je stejný jako v kap. 1.2.

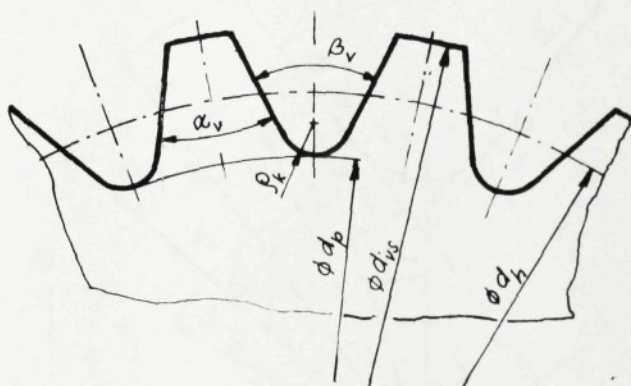
b) Čelo procházející mimo osu nástroje ( $\gamma_0 > 0$ , nebo  $\gamma_0 < 0$ ).

Pro tento případ použijeme při vyšetřování profilu ostří postupu podle vztahů (1.93.1) - (1.196.1), tj. budeme řešit rovnici roviny procházející mimo osu nástroje pod úhlem čela

ortogonálním s rovnicií obálky (1.154). Další postup bude stejný jako v případě a).

### 1.3.2.2 Řez obálky šroubovou plochou s tvořící přímkou

Pro šroubovou plochu použijeme vztahy (1.110, 1.112). Průsečnici obálky  $OB$ , (1.154) se šroubovou plochou (1.112) vyjádříme podle vztahu (1.113) a (1.114). Dostaneme rovnici o třech neznámých parametrech  $u, s, z$ . Rovnicí řešíme opět Newtonovou metodou dle postupu z kap. 1.2.2.2. Tím získáme hledanou průsečnici, tj. profil ostří.



Obr. 1.15

### 1.3.3 Příklad stanovení výchozího povrchu pro frézování drážkového profilu

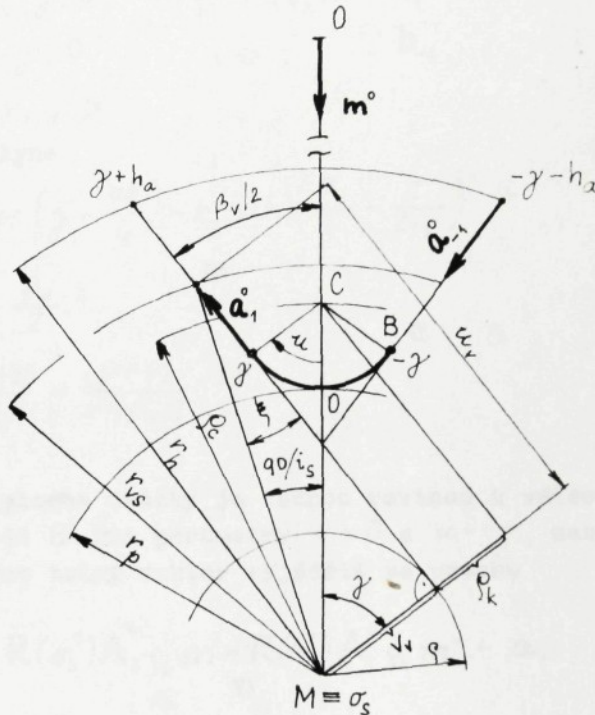
Pro řešení výchozího povrchu odvalovací frézy pro válcový povrch součásti zvolíme profil tzv. jemného drážkování dle ČSN 01 4943, kde se tato plocha vyskytuje (obr. 1.15).

Povrch drážky se skládá ze dvou roviných ploch, které plynule (tečně) navazují na válcovou plochu dna drážky. Vyjádření povrchu součásti provedeme z obr. 1.16 a vyjdeme ze zadaných parametrů v obr. 1.15.

Obdobně jako v příkladě v kap. 1.2.3 je také nutné stanovení dalšího zadávacího parametru, tj. poloměru valící kružnice  $r_v$ . Toto vyplývá z podmínek výrobiteľnosti součásti odvalovacím spůsobem /67/, /34/, /39/. Podle /13/ je

doporučována volba poloměru  $r_v$  buď mezi patním  $r_p$  a středním poloměrem  $r_{vs}$ , kde  $r_{vs} = (r_p + r_h)/2$ , nebo na středním poloměru.

Lašněv /39/ však tvrdí, že poloměr  $r_v$  je závislý i na



Obr. 1.16

úhlu profilu drážky  $\beta_v$  a doporučuje volbu  $r_v$  provést v rozmezí  $r_{vmax}$  a  $r_{vmin}$ , tj. největšího a nejmenšího poloměru, který se získá ze vztahu

$$r_v = \sqrt{u_v + (\varrho_v + v_v \pm \sqrt{\varrho_v(\varrho_v - v_v)})^2} \quad (1.159)$$

kde

$$u_v = r_i \cos \xi$$

$$v_v = r_i \sin \xi$$

$$\varrho_v = \varrho_k$$

Vztah je obecně platný a podle něj lze stanovit racionální parametry poloměru valicího válce.

### Rovnice povrchu součásti

Válcovou plochu vyjádříme ze vztahu (1.143). Jednotlivé větve oblouku pak budou

$$MB = r_1(-\gamma, 0) = m^{\circ} \varphi_c + A_s \varphi_k m^{\circ} = b_1 \quad (1.160)$$

$$r_1(\gamma, 0) = b_1$$

$$u \in \langle -\gamma, \gamma \rangle$$

Z obr. 1.16 plyne

$$\varphi = r_{vs} \cos \left( \gamma + \frac{\vartheta}{i_s} \right) = r_{vs} \sin \left( \frac{\beta_v}{2} + \frac{\pi}{2i_s} \right)$$

$$\gamma = 90 - \frac{\beta_v}{2}$$

$$\varphi_c = \frac{\varphi + \varphi_k}{\cos \gamma} = \frac{\varphi + \varphi_k}{\sin \beta_v / 2}$$

Rovinná plocha drážky je tečnou rovinou k válcovému povrchu. V bodě B pro parametry  $v=0$  a  $u=-\gamma$ , nebo  $u=\gamma$  je možno tečný vektor vyjádřit ze vztahu

$$\frac{\partial r_1}{\partial u} \Big|_{\begin{subarray}{l} u=-\gamma \\ v=0 \end{subarray}} = R(\sigma_s^{\circ}) A_s^u \varphi_k m^{\circ} = R(\sigma_s^{\circ}) A_s^{-\gamma} \varphi_k m^{\circ} = a, \quad (1.161)$$

$$a_1^{\circ} = \frac{a_1}{|a_1|} = R(\sigma_s^{\circ}) A_s^{-\gamma} m^{\circ} \quad (1.162)$$

$$a_{-1} = R(\sigma_s^{\circ}) A_s^{\gamma} \varphi_k m^{\circ} \quad (1.163)$$

$$a_{-1}^{\circ} = R(\sigma_s^{\circ}) A_s^{\gamma} m^{\circ} \quad (1.164)$$

Rovina (boční plocha zuba)

$$r_2(u, v) = b_1 + u a_1^{\circ} + v \sigma_s^{\circ} \quad (1.165)$$

$$r_2(u, v) = b_{-1} + u a_{-1}^{\circ} + v \sigma_s^{\circ} \quad (1.166)$$

$$u \in \langle -\gamma, \gamma + h_a \rangle, \quad \langle -\gamma, -\gamma - h_a \rangle$$

Povrch válcové části vyjádříme dle vztahu (1.145), obálku dle vztahů (1.154) a ostří dle vztahů z kap. 1.3.2. Bod na rovinatých plochách vyjádříme dle vztahu (1.38) při zanedbání pohybu "po sobě".

$$K_2 = A_n^t (m + A_s^{pt} r_2(u, v)) \quad (1.167)$$

Po dosazení

$$K_2 = A_n^t m + A_n^t A_s^{pt} (b_1 + u a_1^\circ + v \sigma_s^\circ) \quad (1.168)$$

$$K_{-2} = A_n^t m + A_n^t A_s^{pt} (b_{-1} + u a_{-1}^\circ + v \sigma_s^\circ) \quad (1.169)$$

Parciální derivace

$$K_{2u} = A_n^t A_s^{pt} a_1^\circ \quad (1.170)$$

$$K_{2v} = A_n^t \sigma_s^\circ \quad (1.171)$$

$$K_{2t} = R(\sigma_s^\circ) A_n^t m + [R(\sigma_n^\circ) + p R(A_n^t \sigma_s^\circ)] A_n^t A_s^{pt} (b_1 + u a_1^\circ + v \sigma_s^\circ) \quad (1.172)$$

Substituce

$$T_1 = [R(\sigma_n^\circ) + p R(A_n^t \sigma_s^\circ)] A_n^t \sigma_s^\circ \quad (1.173)$$

$$T_2 = R(\sigma_n^\circ) A_n^t m + [R(\sigma_n^\circ) + p R(A_n^t \sigma_s^\circ)] A_n^t A_s^{pt} \cdot b_1 \quad (1.174)$$

$$T_3 = R(\sigma_n^\circ) + p R(A_n^t \sigma_s^\circ) A_n^t A_s^{pt} a_1^\circ \quad (1.175)$$

Pak

$$K_{2t} = v T_1 + T_2 + u T_3 \quad (1.176)$$

$$\det |K_{2u}, K_{2v}, K_{2t}| = 0 \quad (1.177)$$

$$\det |K_{2u}, K_{2v}, v T_1 + T_2 + u T_3| = 0$$

$$v \det |K_{2u}, K_{2v}, T_1| + \det |K_{2u}, K_{2v}, T_2| + u \det |K_{2u}, K_{2v}, T_3| = 0$$

$$\nu = \frac{\det |K_{2u}, K_{2v}, T_2| + u \det |K_{2u}, K_{2v}, T_3|}{\det |K_{2u}, K_{2v}, T_1|} = \\ = \frac{\det 3 + u \det 4}{\det 5} \quad (1.178)$$

Rovnice obálky roviných ploch

$$OB_2 = A_n^t (m + A_s^{pt} (b_1 + u a_1^\circ - \frac{\det 3 + u \det 4}{\det 5} \sigma_s^\circ)) = OB_2(u, t) \quad (1.179)$$

$$OB_{-2} = A_n^t (m + A_s^{pt} (b_{-1} + u a_{-1}^\circ - \left( \frac{\det 3 + u \det 4}{\det 5} \right) \sigma_s^\circ)) \quad (1.180)$$

Ostří pro rovinné čelo:

Řez obálkami  $OB_1$ , jako i  $OB_2$ ,  $OB_{-2}$  provedeme stejným postupem jak již bylo uvedeno v kap. 1.2.2 nebo 1.3.2.

Upravená rovnice obálky

$$OB_2 = u U(t) + V(t) \quad (1.181)$$

Pak ostří frézy představuje řešení rovnic

$$OB_2(u, t) = Y(s, z) \quad (1.182)$$

$$s \sigma_n^\circ + z A_n^{\vartheta} f^\circ = u U(t) + V(t)$$

$$s \sigma_n^\circ + z A_n^{\vartheta} f^\circ - u U(t) = V(t)$$

$$M = |\sigma_n^\circ, A_n^{\vartheta} f^\circ, -U(t)| \quad (1.183)$$

$$\begin{vmatrix} s \\ z \\ u \end{vmatrix} = M^{-1} V(t) \quad (1.184)$$

Dosadíme do rovnice obálky nebo rovnice roviny a obdržíme ostří odvalovací frézy. Pro obálku  $OB_{-2}$  postupujeme obdobně.

## Ostří pro šroubové čelo

Řez obálkami  $OB_1$ , jako i  $OB_2$ ,  $OB_{-2}$  provedeme obdobně jako ty předchozí řezy.

$$OB_2(u, t) = SP(s, z) \quad (1.185)$$

$$OB_2(u, t) - SP(s, z) = 0$$

Rovnice řežeme Newtonovou metodou až ke ( $k+1$ ) approximaci. Dosazením  $s, z$  do rovnice šroubové plochy dostaneme ostří frézy na šroubově ploše čela.

### 1.4 Výchozí povrch a tvar ostří pro evolventní plochu

Evolventní plocha je nejčastěji se vyskytující plochou u součástí vyráběných odvalovacími frézami. Je to bud u evolventního ozubení s přímými zuby nebo se šroubovými zuby. Evolventní plocha se zuby přímými bude zde rozvedena.

#### 1.4.1 Výchozí povrch odvalovacích fréz

Ozubené kolo s přímými zuby a evolventním profilem boku zuba vezmeme za plochu součásti a pro ni vyšetříme obálku. Vyjdeme z obr. 1.17 a obr. 1.18. Nebudeme zatím uvažovat zaoblenou patu zuba.

Z obr. 1.18 si nejdříve vyjádříme rovnici evolventy nebo radiusvektoru bodu na evolventě

$$r(u, v) = A_s^u r_0 y^\circ + A_s^{u-\frac{\pi}{2}} r_0^u u y^\circ + v \sigma_s^\circ \quad (1.186)$$

$$r(u, v) = r_0 A_s^u (E + u A_s^{-\frac{\pi}{2}}) y^\circ + v \sigma_s^\circ \quad (1.187)$$

Dosazením do (1.38) a při zanedbání složky  $w t \sigma_s^\circ$  vektor libovolného bodu plochy

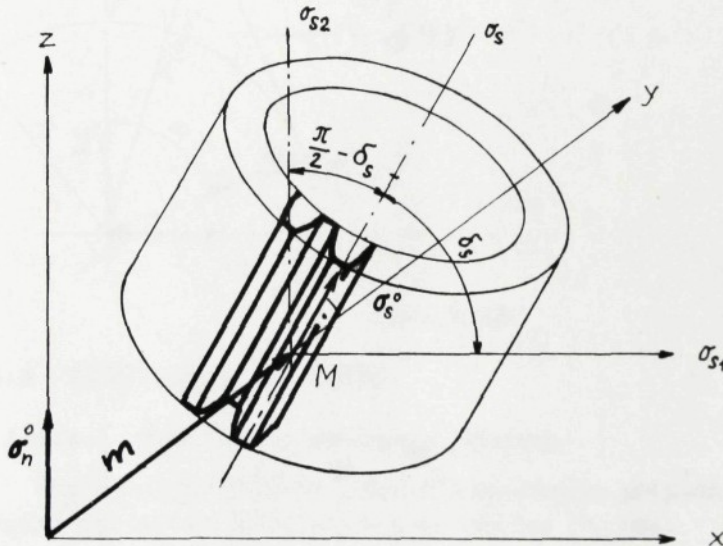
$$K = A_n^t (m + A_s^{pt} (r_0 A_s^u (E + u A_s^{-\frac{\pi}{2}}) y^\circ + v \sigma_s^\circ)) \quad (1.188)$$

### Počítační derivace

$$K_u = A_n^t A_s^{pt} (r_o R(\sigma_s^\circ) A_s^u (E + u A_s^{-\frac{\pi}{2}}) y^\circ + r_o A_s^u A_s^{-\frac{\pi}{2}} y^\circ) \quad (1.189)$$

$$K_v = A_n^t A_s^{pt} \sigma_s^\circ \quad (1.190)$$

$$K_t = R(\sigma_s^\circ) A_n^t m + R(\sigma_h^\circ) A_n^t A_s^{pt} [r_o A_s^u (E + u A_s^{-\frac{\pi}{2}}) y^\circ + v \sigma_s^\circ] + A_n^t R(\sigma_s^\circ) p A_s^{pt} [r_o A_s^u (E + u A_s^{-\frac{\pi}{2}}) y^\circ + v \sigma_s^\circ] \quad (1.191)$$



Obr. 1.17

### Substituce

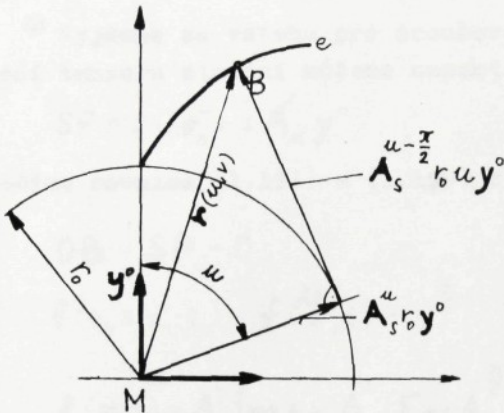
$$K_t = v T_1 + T_2 \quad (1.192)$$

$$\det |K_u, K_v, v T_1 + T_2| = v \det |K_u, K_v, T_1| + \det |K_u, K_v, T_2| = 0$$

$$v = - \frac{\det |K_u, K_v, T_2|}{\det |K_u, K_v, T_1|} = - \frac{\det 1}{\det 2} \quad (1.193)$$

### Rovnice obálky

$$OB = A_n^t [m + r_0 A_s^u (E + u A_s^{-\frac{\pi}{2}}) \vec{y} - \frac{\det 1}{\det 2} \sigma_s^\circ] \quad (1.194)$$



Obr. 1.18

### 1.4.2 Vyjádření tvaru ostří

#### 1.4.2.1 Řez obálky rovinou plochou

Postupujeme obdobně jako v předchozím případě. Použijeme rovnici roviny (1.100) a rovnici obálky (1.194)

$$OB(u, t) - Y(s, z) = 0$$

$$f(r, s, z, t) = f(r, t) = 0$$

Pro řešení rovnic použijeme Newtonovu iterativní metodu obdobně jako v předchozích případech (vzt. 1.114-1.117)

$$f(r, t) = A_n^t [m + r_0 A_s^u (E + u A_s^{-\frac{\pi}{2}}) \vec{y} - \frac{\det 1}{\det 2} \sigma_s^\circ] - s A_n^5 - z \sigma_n^\circ = 0 \quad (1.195)$$

$$\frac{\partial f}{\partial u} = \frac{f(u + \Delta u) - f(u)}{\Delta u} \quad \text{numericky dle zvolené hodnoty} \quad (1.196)$$

$$\frac{\partial \mathbf{f}}{\partial s} = - \overset{\circ}{\mathbf{A}_n} \mathbf{y}^o \quad (1.197)$$

$$\frac{\partial \mathbf{f}}{\partial z} = - \overset{\circ}{\sigma_n} \quad (1.198)$$

Další postup je obdobný jako v kap. 1.2.

#### 1.4.2.2 Řez obálky šroubovou plochou

Vyjdeme ze vztahu pro šroubovou plochu (1.110) nebo pomocí tensoru otočení můžeme napsat

$$SP = z C \overset{\circ}{\sigma_n} + s \overset{\circ}{\mathbf{A}_n} \mathbf{y}^o \quad (1.199)$$

Řešíme rovnice (1.194) a (1.199), čímž získáme ostří nástroje.

$$0B - SP = 0$$

$$\mathbf{f}(u, s, z, t) = \mathbf{f}(\mathbf{r}, t) = 0$$

$$\mathbf{f}(\mathbf{r}, t) = \overset{\circ}{\mathbf{A}_n}^t [ \mathbf{m} + r_0 \overset{\circ}{\mathbf{A}_s}^u (\mathbf{E} + u \overset{-\frac{\pi}{2}}{\mathbf{A}_s}) \mathbf{y}^o - \frac{\det 1}{\det 2} \overset{\circ}{\sigma_s} ] -$$

$$- z C \overset{\circ}{\sigma_n} - s \overset{\circ}{\mathbf{A}_n} \mathbf{y}^o \quad (1.200)$$

Řešíme opět Newtonovou iterační metodou

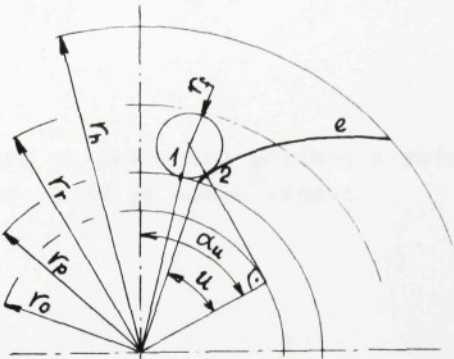
$$\frac{\partial \mathbf{f}}{\partial u} \doteq \frac{\mathbf{f}(u + \Delta u) - \mathbf{f}(u)}{\Delta u} \quad (1.201)$$

$$\frac{\partial \mathbf{f}}{\partial s} = - \overset{\circ}{\mathbf{A}_n} \mathbf{y}^o \quad (1.202)$$

$$\frac{\partial \mathbf{f}}{\partial z} = - C \overset{\circ}{\sigma_n} \quad (1.203)$$

#### 1.4.3 Příklad stanovení výchozího povrchu

Příklad bude uveden na profilu evolventního zuba se zábleným přechodem do paty zuba o daném poloměru záblení. Přechodová kružnice se dotýká patní kružnice v bodě 1 a evolventy v bodě 2. Vyhledejme nejprve bod dotyku kružnice záblení paty s evolventou.



Obr. 1.19

Vyjdeme z rovnice evolventy vyjádřené pomocí funkce komplexní proměnné. Z obr. 1.19 plyne

$$\mathbf{r}(u, v) = r_0 e^{iu} + (-i)r_f u e^{iu}$$

Po úpravě

$$\mathbf{r}(u, v) = r_0 e^{iu} (1 - iu) \quad (1.204)$$

Normála

$$\mathbf{n} = -ie^{iu} \quad (1.205)$$

Bod dotyku 2 získáme z podmínky, že kružnice se při dotyku s evolventou bude dotýkat patní kružnice, pak bude platit

$$[r_0 e^{iu} (1 - iu) - r_f i e^{iu}]^2 = (r_p + r_f)^2 \quad (1.206)$$

(Obecně platí  $|z|^2 = z \cdot z^*$ , kde  $z = a + bi$ ;  $z^* = a - bi$ ).

Pak můžeme vztah (1.206) přepsat

$$[r_0 e^{iu} (1 - iu) - r_f i e^{iu}] [r_0^{-iu} (1 + iu) + r_f e^{-iu}] = (r_p + r_f)^2$$

Po úpravě

$$r_0^2 u^2 + 2r_0 r_f u + r_0^2 - 2r_p r_f - r_p^2 = 0 \quad (1.207)$$

Diskriminant

$$D = 4r_0^2(r_f^2 - r_0^2 + 2r_p r_f + r_p^2) \quad (1.208)$$

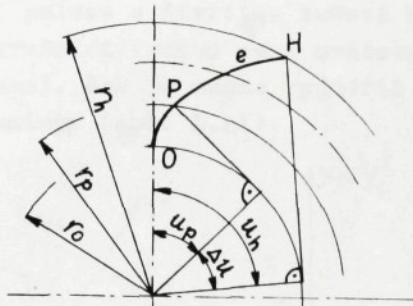
### Řešení rovnice (1.207)

$$u_{1,2} = -\frac{r_f}{r_o} \pm \frac{\sqrt{DI}}{2r_o^2} \quad (1.209)$$

Položme

$$u_1 = \alpha$$

Omezení parametru  $u$  pro ostrý přechod z patní kružnice na evolventu. Z obr. 1.20 je možno napsat



Obr. 1.20

$$(\mathbf{e}(u))_P^2 = r_p^2 \quad (1.210)$$

$$(\mathbf{e}(u))_H^2 = r_h^2 \quad (1.211)$$

$$(\mathbf{e}(u))_O^2 = r_o^2 (1 + u^2) \quad (1.212)$$

Parametr  $u$  pro patní kružnici kola

$$\begin{aligned} r_o^2 (1 + u^2) &= r_p^2 \\ (u_{1,2})_p &= \pm \frac{\sqrt{r_p^2 - r_o^2}}{r_o} \end{aligned} \quad (1.213)$$

Parametr  $u$  pro hlavovou kružnici kola

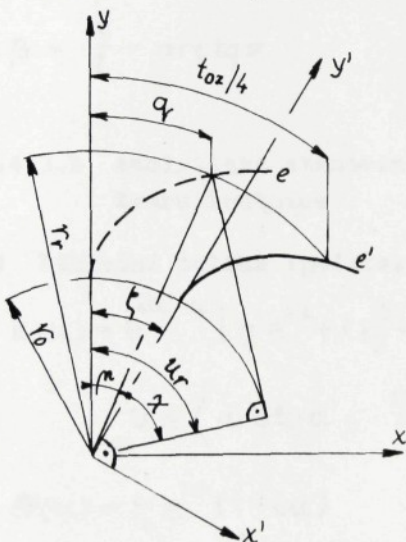
$$(u_{r1,2})_h = \pm \frac{\sqrt{r_h^2 - r_o^2}}{r_o} \quad (1.214)$$

Rozdíl  $\Delta u = u_h - u_p$

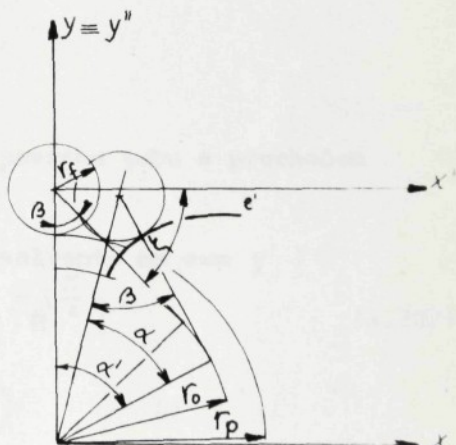
$$\Delta u = \frac{1}{r_o} \left( \sqrt{r_h^2 - r_o^2} - \sqrt{r_p^2 - r_o^2} \right) \quad (1.215)$$

Poznámka: Bod P může být pro zaoblenou patu nahrazen bodem dotyku 2 evolventy s kružnicí (obr. 1.19).

Jestliže je uvažováno, že osa y souřadnicové soustavy je totožná s osou zubové mezery, pak je evolventa pootočena vůči základní poloze o čtvrtinu zubové rozteče kola, měřeno na roztečné kružnici (pokud není uvažována žádná korekce ani modifikace zuba). Pak je možno vyjádřit úhel pootočení souřadnicové soustavy (obr. 1.21)



Obr. 1.21



Obr. 1.22

$$u_{r1,2} = \pm \frac{\sqrt{r_f^2 - r_o^2}}{r_o} \quad (1.216)$$

$$\operatorname{tg} X = \frac{r_o u_r}{r_o} = u_r \quad (1.217)$$

$$\mu = u_r - \operatorname{arctg} u_r = \operatorname{inv} X \quad (1.218)$$

$$q = r_f \operatorname{inv} X$$

**Úhel pootočení soustavy**

$$\zeta = \frac{t_{oz} \cdot \operatorname{inv} X}{4r_f \operatorname{inv} X} = \frac{\pi}{2z_k} \quad (1.219)$$

Přechodovou kruhovou část vyjádříme z obr. 1.22.

V soustavě  $x''y''$  je možno napsat

$$\hat{12} = r_f e^{i\zeta} ; \quad \text{kde} \quad \zeta \in \left( -\frac{\pi}{2} ; \beta - \frac{\pi}{2} \right) \quad (1.220)$$

V soustavě  $xy$

$$\hat{12} = r_f e^{i\zeta} + (r_p + r_f) e^{i\frac{\pi}{2}} \quad (1.221)$$

$$\zeta = u ; \quad \operatorname{tg} \alpha = \frac{r_p \alpha' + r_f}{r_p}$$

$$\beta = \frac{\pi}{2} - \operatorname{arctg} \alpha$$

#### 1.4.3.1 Analytické stanovení povrchu zuba s přechodem tvaru kružnice

a) Základní poloha (počátek evolventy na osy  $y'$ )

$$\mathbf{k}(u) = e^{i\alpha' - \alpha} [r_f e^{iu} + (r_p + r_f) e^{i\frac{\pi}{2}}] \quad (1.222)$$

$$u \in \left( \operatorname{arctg} \alpha' ; \frac{\pi}{2} \right)$$

$$\mathbf{e}(u) = r_0 e^{iu} (1 - iu) \quad (1.223)$$

$$u \in \langle \alpha, u_2 \rangle$$

b) Pootočená poloha o  $t/4$  od osy  $y$

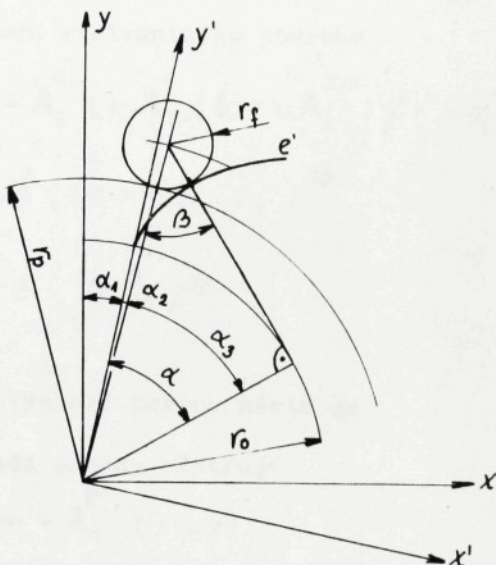
$$\mathbf{k}(u) = e^{i(\alpha' - \operatorname{arctg} \alpha' + \frac{t}{4r_f})} [r_f e^{iu} (r_p + r_f) e^{i\frac{\pi}{2}}] \quad (1.224)$$

$$u \in \left( -\operatorname{arctg} \alpha' ; -\frac{\pi}{2} \right)$$

$$\mathbf{e}(u) = r_0 e^{i(\frac{t}{4r_r} + u_r)} (1 - iu) \quad (1.225)$$

$$u \in \langle \alpha, u_2 \rangle$$

Vztahy (1.222 - 1.225) převedeme do tensorového tvaru.  
Z obr. 1.23 stanovíme nejdříve potřebné úhly:



Obr. 1.23

$$\alpha_1 = \frac{t}{4r_r} \quad (1.226)$$

$$\alpha_2 = \alpha - \alpha_3 \quad (1.227)$$

$$\alpha_3 = \operatorname{arctg} \frac{r_0 \alpha + r_f}{r_0} \quad (1.228)$$

$$\alpha = -\frac{r_f}{r_0} + \frac{\sqrt{Dl}}{2r_0^2} = u_1 \quad (1.229)$$

$$\beta = \frac{\pi}{2} - \alpha_3 \quad (1.230)$$

$$u_{h2} = \frac{\sqrt{r_h^2 - r_0^2}}{r_0} \quad (1.231)$$

Pak vektor bodu přechodového povrchu

$$\mathbf{r}(u, v)_k = \mathbf{A}_s^{(\alpha_1 + \alpha_2)} [(r_f \mathbf{A}_s^u + r_p + r_f) \mathbf{y}^\circ + v \sigma_s^\circ] \quad (1.232)$$

$$u \in \left\langle -\left(\frac{\pi}{2} - \beta + \alpha_1 + \alpha_2\right); -\frac{\pi}{2} + \alpha_1 + \alpha_2 \right\rangle$$

$$v \in \langle 0, b \rangle$$

Vektor bodu evolventního povrchu

$$\mathbf{r}(u, v)_e = \mathbf{A}_s^{\alpha_1} [r_o \mathbf{A}_s^u (\mathbf{E} + u \mathbf{A}_s^{\pi/2}) \mathbf{y}^\circ + v \sigma_s^\circ] \quad (1.233)$$

$$u \in \langle (\alpha + \alpha_1); \alpha_i \rangle$$

$$v \in \langle 0, b \rangle$$

#### 1.4.3.2 Výchozí povrch nástroje

Vektor bodu plochy nástroje

$$\mathbf{K} = \mathbf{A}_n^t (\mathbf{m} + \mathbf{A}_s^{pt} \mathbf{r}(u, v))$$

Bod pro přechodový oblouk

$$\mathbf{K}_1 = \mathbf{A}_n^t [\mathbf{m} + \mathbf{A}_s^{\frac{t+z_k(\alpha_1+\alpha_2)}{z_k}} (r_f \mathbf{A}_s^u + r_p + r_f) \mathbf{y}^\circ + v_1 \sigma_s^\circ] \quad (1.234)$$

Bod pro evolventní část

$$\mathbf{K}_2 = \mathbf{A}_n^t [\mathbf{m} + \mathbf{A}_s^{\frac{t+z_k \cdot \alpha}{z_k}} (r_o \mathbf{A}_s^u (\mathbf{E} + u \mathbf{A}_s^{\pi/2}) \mathbf{y}^\circ + v_2 \sigma_s^\circ)] \quad (1.235)$$

Parciální derivace

$$\mathbf{K}_{1u} = R(\sigma_s^\circ) \mathbf{A}_n^t \mathbf{A}_s^{\frac{t+z_k(\alpha_1+\alpha_2)+z_k \cdot u}{z_k}} r_f \mathbf{y}^\circ \quad (1.236)$$

$$\mathbf{K}_{2u} = r_o u \mathbf{A}_s^u \mathbf{y}^\circ \quad (1.237)$$

$$\mathbf{K}_{1v} = \mathbf{K}_{2v} = \mathbf{A}_n^t \mathbf{A}_s^{\frac{t}{z_k}} \sigma_s^\circ \quad (1.238)$$

$$K_{1t} = R(\sigma_n^o) A_n^t m + R(\sigma_n^o) A_n^t \frac{A_s}{z_k} \frac{t+z_k(\alpha_1+\alpha_2)}{z_k} [(r_f A_s^u + r_p + r_f) y^o + v_1 \sigma_s^o] + R(\sigma_s^o) A_n^t \frac{1}{z_k} A_s \frac{t+z_k(\alpha_1+\alpha_2)}{z_k} [(r_f A_s^u - r_p + r_f) y^o + v \sigma_s^o] \quad (1.239)$$

$$K_{2t} = R(\sigma_n^o) A_n^t m + R(\sigma_n^o) A_n^t \frac{A_s}{z_k} \frac{t+z_k \alpha}{z_k} [r_o A_s^u (E + u A_s^{\pi/2}) y^o + v \sigma_s^o] + R(\sigma_s^o) A_n^t \frac{1}{z_k} A_s \frac{t+z_k \alpha}{z_k} [r_o A_s^u (E + u A_s^{\pi/2}) y^o + v_2 \sigma_s^o] \quad (1.240)$$

Po provedení substitucí

$$K_{1u} = c_1^k ; \quad K_{1v} = c_2^k ; \quad K_{1t} = v T_1^k + T_2^k$$

$$K_{2u} = c_1^e ; \quad K_{2v} = c_2^e ; \quad K_{2t} = v T_1^e + T_2^e$$

Chceme-li vyjádřit  $v = f(u, t)$  pak

$$v_1 = - \frac{\det(c_1^k, c_2^k, T_2^k)}{\det(c_1^k, c_2^k, T_1^k)} = - \frac{1 \det 1}{1 \det 2} \quad (1.241)$$

$$v_2 = - \frac{\det(c_1^e, c_2^e, T_2^e)}{\det(c_1^e, c_2^e, T_1^e)} = - \frac{2 \det 1}{2 \det 2} \quad (1.242)$$

Rovnice obálek

$$KOB = A_n^t \left\{ m + A_s \frac{t+z_k(\alpha_1+\alpha_2)}{z_k} [(r_f (A_s^u + 1) y^o + r_p y^o - \frac{1 \det 1}{1 \det 2} \sigma_s^o)] \right\} \quad (1.243)$$

$$EOB = A_n^t \left\{ m + A_s \frac{t+z_k \alpha}{z_k} [r_o A_s^u (E + u A_s^{\pi/2}) y^o - \frac{2 \det 1}{2 \det 2} \sigma_s^o] \right\} \quad (1.244)$$

## Řez obálky rovinnou a šroubovou plochou

Postupujeme obdobně jako v předchozích řešených případech, tj. vycházíme z rovnice obálek (1.243) a (1.244) a rovnice osové roviny (1.100) a pro případ šroubové plochy čela z rovnice (1.110) nebo (1.112).

Řešení spočívá v tom, že pro postupné volené  $t$  hledáme průsečíky plochy čela s  $t$ -křivkami obálky. Výslednou rovnici průsečnice získáme dosazením parametrů ploch do rovnice těchto ploch nebo do rovnice obálky (což je složitější).

## 2. PŘEMĚNA VÝCHOZÍHO POVRCHU ODVALOVACÍ FRÉZY V ŘEZNÝ NÁSTROJ A JEHO KONSTRUKČNÍ PARAMETRY

Přeměnu výchozího povrchu odvalovací frézy uskutečníme tak, že tento povrch opatříme břity a udělíme mu řezné vlastnosti. V praxi se to provede tak, že výchozí povrch odvalovací frézy, zjednodušeně řečeno, profrézujeme drážkami pro odvod třísek a tím současně vytvoříme čelo nástroje. Hřbetní plochy vytvoříme tak, že ostří udělíme pohyb po nějaké křivce (Archimedova, logaritmická spirála, kružnice, přímka či obecná křivka). Dále vytvoříme na nástroji upínací, kontrolní, ustavovací či jiné plochy.

### 2.1 Vytvoření čela zubů odvalovací frézy

Jak již bylo uvedeno v předchozí kapitole může být čelo odvalovací frézy povrchem rovinným a šroubovým. Rovinná plocha může zaujmout několik poloh. Pro úhel čela nulový prochází osou nástroje, pro kladný a záporný úhel čela prochází mimo osu. Obdobně to může být provedeno u odvalovacích fréz se šroubovým povrchem čela. Šroubovice drážky je klemá na šroubovici zubů frézy. Technologicky je nejjednodušší vyrobít čelo ve tvaru rovinné plochy. Pro případ čela rovnoběžného s osou frézy je úhel na jednom běžním břitu kladný, na druhém záporný, proto lze rovinné čelo volit pouze pro malé úhly stoupání šroubovice.

Matematické vyjádření povrchu čela bylo provedeno v předchozí kapitole současně se stanovením ostří jednotlivých druhů profilů odvalovacích fréz dle základních vztahů (1.100) a (1.110) nebo (1.199).

### 2.2 Vytvoření hřbetních ploch zubů odvalovací frézy

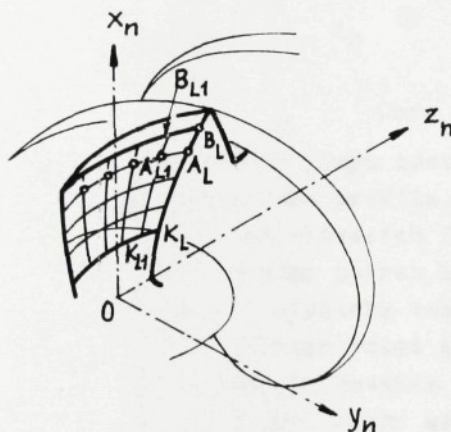
Obecně vytvoříme hřbetní plochy nástroje tak, že jeho ostří udělíme určitý pohyb /62/. Ostří přitom opíše v prostoru povrch hřbetu jehož tvar musí vyhovovat následujícím požadavkům /39/:

- a) ve všech bězech ostří musí být vytvořeny pro práci nutné úhly hřbetu
- b) všechna ostří frézy musí ležet na výchozím povrchu, nebo též na povrchu základního šneku

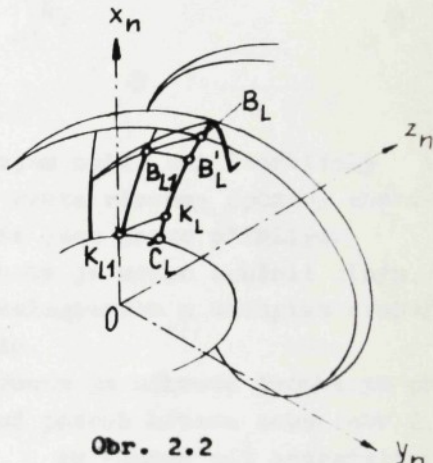
c) musí být splněny technologické požadavky.

K navrhování tvaru hřbetu edvalevací frézy se přistupuje podle toho, jestli existuje možnost nastavení pelehy ostří po přeostření zubů nebo ne. Pro první možnost musí být povrch zubů takový, aby po přeostření zůstal tvar drážky zuba beze změny. Pro splnění této požadavky stačí, aby povrch hřbetu byl tvořen povrchem dovolujícím pohyb po sebě. Ve většině případu však konstrukce frézy nedovoluje regulaci pelehy zubů a proto po každém přeostření se vnější a tím i valivý válec zmenšuje.

Změna poloměru valivého válce frézy je závislá na tom, jaké pedtácecí křivky jsou zvoleny. Zmenšení rádiusu valivého

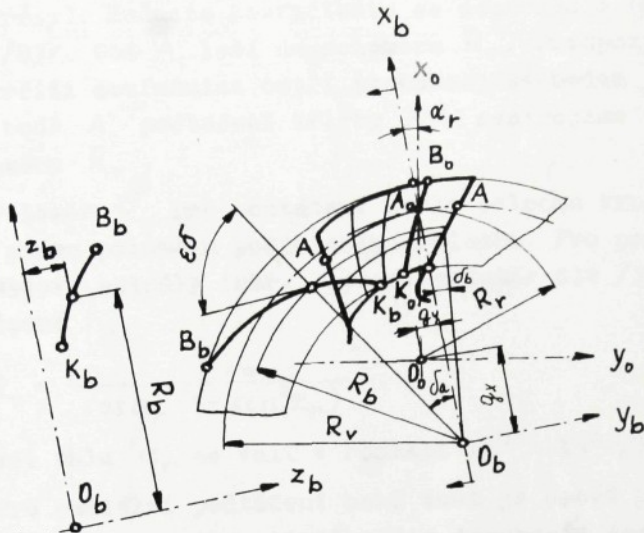


Obr. 2.1



Obr. 2.2

válce frézy způsobuje, že se po přeostření mění tvar základního šneků a pro šroubovitý čela i tvar čelní plachy. V důsledku toho pro získání daného tvaru ozubené součásti by mělo mít každé ostří jako průsečnice čela a hřbetu po každém přeostření různý tvar (obr. 2.1). Jestliže se stejné body těchto ostří spojí čarami, pak hřbetní povrch frézy je určen sítí souřadnicových čar, které sestávají z ostří a čar spojujících stejné body ostří (jejich tvar je různý). Tento povrch lze vyrobit pedtácečním nástrojem, který by měl s ním bodový styk. Teho lze dosáhnout jen tak, že nástroj při výrobě bude mít pohyby vypočítané v závislosti na tvaru jeho souřadnicových čar. Tento požadavek prakticky lze splnit pouze speciálním zařízením. Na obvyklých pedtácečích strojích tyto pohyby nelze uskutečnit, protože supert pedtácečího stroje ovládá pouze jediná vačka.

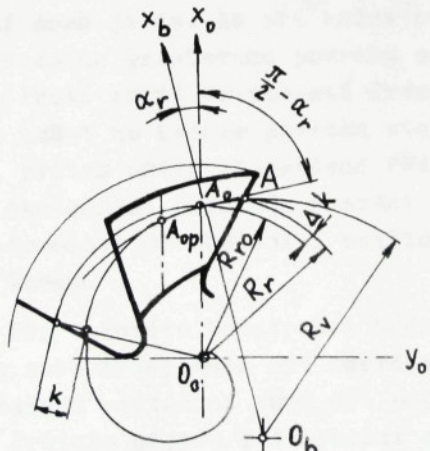


Obr. 2.3

Získat takový povrch jiným nástrojem nelze ani teoreticky (s výjimkou přímkového profilu). Proto všechny způsoby zhotovení hřbetů zubů odvalemacích fréz jsou jenom přibližné.

Teoreticky přesný povrch hřbetu je možno zaměnit jiným, který je schůdný z hlediska technologického a odchylka tvaru se od přesného odlišuje velmi málo.

Takovým meziným nahrazením hřbetu je nahrada šroubovým povrchem. Na teoreticky přesný boční povrch hřbetu zuba (obr. 2.3)



Obr. 2.4

se nanese síť souřadnic drážek frézy a čar spojujících stejné body drážek. Jedna z těchto čar je podtáecí křivka. Na podtáecí křivce zvolíme bod  $A_0$ , ve kterém se bude dotýkat šroubový povrch povrchu teoretického hřbetu. Poloha bodu  $A_0$  na podtáecí křivce se obvykle volí tak, aby tento bod ležel přibližně ve středu mezi bodem  $A$  (odpovídá poloze povrchu

čela nové frézy) a bodem  $A_{op}$  (odpovídá povrchu čela opotřebené frézy). Hodnota koeficientu se doporučuje (0,1 - 0,25) k /72/, /83/. Bod  $A_0$  leží na poloměru  $R_{ro}$ . Předpokládejme, že jsme určili souřadnice ostří procházející bodem  $A_0$  (kap.1). Pak v bodě  $A_0$  podtáčecí křivky AA sestrojíme kružnici o poloměru  $R_v$ .

Poloměr  $R_v$  pro podtáčení podle oblouku kružnice je roven přímo poloměru podtáčecího oblouku. Pro podtáčení podle Archimedovy spirály (obr. 2.4) se poloměr dle /39/ určí následovně :

$$R_v = \frac{R_{ro}}{\cos \alpha_r (1 + \sin^2 \alpha_r)} \quad (2.1)$$

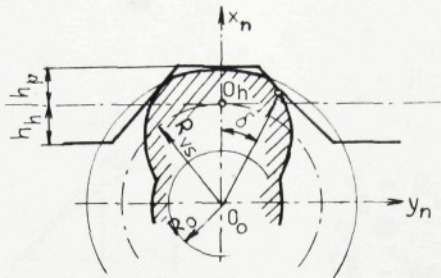
Velikost úhlu  $\alpha_r$  se volí v rozmezí  $10^\circ - 15^\circ$  /72/.

Pro radiální podtáčení boků zubů je osové posunutí podtáčecího nástroje charakterizováno šroubovým parametrem C výchozího šneku.

### 2.2.1 Zvláštnosti tvaru hřbetu odvalovacích fréz pro evolventní ozubená kola

Základní šnek evolventní odvalovací frézy pro evolventní ozubená kola je evolventní šroubové ozubené kolo s počtem zubů rovným počtu chodů šneku /39/. Jeho profil v čelní rovině je evolventa (obr. 2.5). Charakteristické pro tento tzv. evolventní šnek je to, že při změně poloměru valicího válce záběr jeho bočního šroubového povrchu se s přímkovým hřebenem nemění. Proto ostří odvalovací frézy pro novou i přeostřenou frézu bude ležet na bočním povrchu stejného evolventního šneku (obr. 2.2), přitom ostří přeostřené frézy bude částí ostří nové frézy. Tato skutečnost dovoluje provést boční hřbetní povrch jako povrch šroubový, procházející ostřím  $B_L C_L$  s osou v ose základního šneku.

Při takovéto konstrukci bočních povrchů, podtáčení bočních stran zubů frézy musí být osové a podtáčení hlav radiální. Při osovém podtáčení musí mít podtáčecí nástroj křivkový profil. Protože nejsou k dispozici stroje na osové podtáčení, provádí se pouze radiální podtáčení. Teoreticky přesný povrch



Obr. 2.5

boku zuba se nahrauje zpravidla Archimedovým šroubovým povrchem /39/, /83/, /68/, který dovoluje radiální podtáčení odvalovacích fréz. Avšak při použití takových metod vznikají chyby při výrobě Archimedových šroubových povrchů a jsou ohrazeny možnosti racionálního výběru geometrických parametrů odvalovacích fréz (úhlů čela a stoupání šroubovice šneku). Z tohoto důvodu podal Lašněv /39/ novou metodu profilování odvalovacích fréz.

#### 2.2.1.1 Nahrazení teoreticky přesného povrchu boku zuba Archimedovou šroubovou plochou

Náhrada se provádí tak, že v osovém řezu vypočtený tvar evolventního šneku nahradíme přímkovým profilem šneku Archimedova (obr. 2.6). Úhel profilu šneku  $\alpha'_{CA} = \alpha_C$

$$\operatorname{tg} \alpha_C = \frac{\operatorname{tg} \alpha}{\cos \beta_{zn}} \quad (2.2)$$

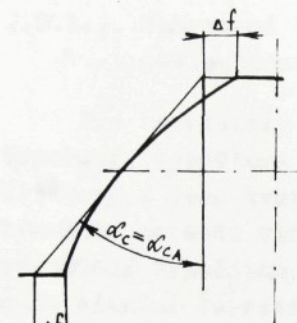
Z obr. 2.6 plyne, že na hlavách a patách vzniknou tlustší zuby. Úchytky je možno zanedbat pouze u fréz s úhlem stoupání  $\beta_{zn} \leq 3^\circ - 4^\circ$ . Úchytky je možno snížit úhlovou korekci podle obr. 2.7. Přímkové osatří se vede koncovými body A, B aktivního profilu. Vznikne nový úhel profilu  $\alpha'_{CA}$  /83/

$$\operatorname{tg} \alpha'_{CA} = \frac{i_n m (\operatorname{inv} \alpha_A - \operatorname{inv} \alpha_B)}{2 \cos \beta_{zn} (m + H_{pm} + 0,5 k)} \quad (2.3)$$

Úhly záběru v bodech A, B -  $\alpha_A$ ,  $\alpha_B$  lze vyjádřit ze vztahů

$$\cos \alpha_A = \frac{R_o}{y_A}; \quad \cos \alpha_B = \frac{R_o}{y_B} \quad (2.4)$$

souřadnice bodu A, B



Obr. 2.6

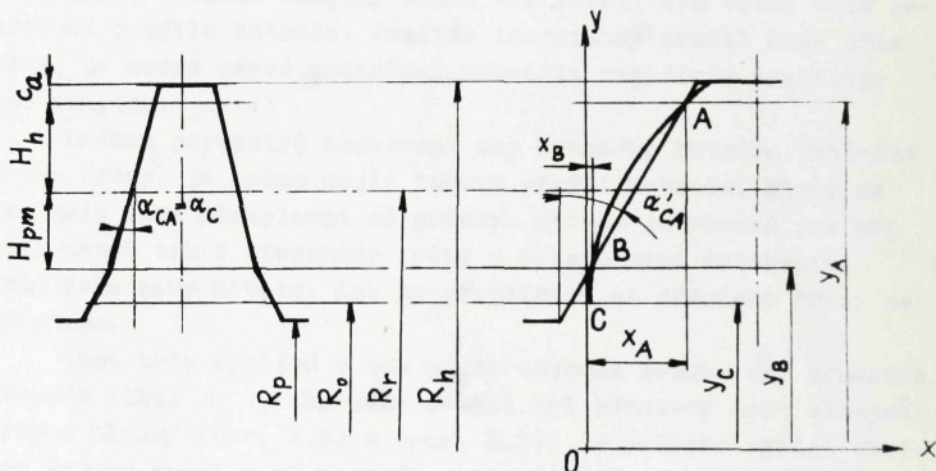
$$y_A = R_r + \frac{f \cdot m}{\cos \omega_k} \quad (2.5)$$

$$y_B = R_r - \frac{H_{pm} + 0,5k}{\cos \omega_k}$$

$f$  - součinitel hlavy zuba ozubeného kola

$R_o$  - poloměr zákl. kružnice frézy

$H_{pm}$  - výška k počátku modifikace



Obr. 2.7

$$H_{pm} = 0,55m \quad (2.6)$$

Poloměr základní kružnice

$$R_o = R_r \cos \alpha_c \quad (2.7)$$

Úhly profilu v osovém řezu budou nebýt odlišných hodnot jak pro levý tak pro pravý bok zuba (při pohledu proti zuba)

$$\cotg \alpha_{np} = \cotg \alpha_{CA} \mp \frac{k \cdot z_f}{H_d} \quad (2.8)$$

$$\cotg \alpha_{nl} = \cotg \alpha_{CA} \pm \frac{k \cdot z_f}{H_d} \quad (2.9)$$

Horní znaménko platí pro pravochodé a dolní pro levochodé frézy.

#### 2.2.1.2 Nahrazení teoreticky přesného povrchu boku zuba podle Lešněva /39/

Pro teoreticky přesný povrch boku zuba, jako pro povrch šroubový, vypočteme profil brusného kotouče. Tento profil bude kříkový a jeho tvar bude závislý na parametrech nastavení osy brusného kotouče vzhledem k broušenému povrchu. Při osovém podtáčení vypočítaný kříkový profil brusného kotouče umožňuje získání teoretického tvaru bočního povrchu bez úchylek. Při radiálním podtáčení brusný kotouč nevyrobí požadovaný tvar boku zuba, přičemž úchylky budou tím větší, čím větší bude zakřivení profilu kotouče. Jesliže teoretický profil bude přímkový, je možno osové podtáčení nahradit radiálním prakticky bez úchylek.

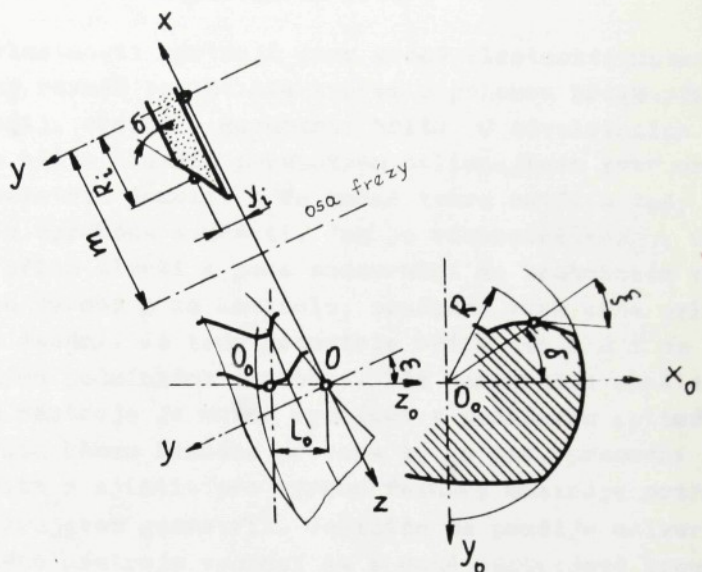
Změnou parametrů nastavení osy brusného kotouče vzhledem k ose frézy, je možno najít takový profil kotouče, který se jen málo bude odchylovat od přímky. Metoda je vhodná jak pro jednochodé tak i vícechodé frézy s libovolnými velikostmi úhlů čela nebo hřbetu. Ani po přestření se přesnost frézy neshorší.

Úkol tedy spočívá v tom najít takovou polohu osy brusného kotouče ( $\angle \text{hel } \varepsilon_k$ ), aby jeho profil byl přímkový nebo alespoň přiměře blízký (obr. 2.8) a (obr. 2.9). Je potřeba zvolit vhodnou osovou vzdálenost brusného kotouče a frézy a vzdálenost křížení jejich os ( $l_0$ ) k pevně zvolenému bodu (počátku) na ose frézy. Pak je potřeba nalézt takový úhel  $\varepsilon_k$ , kde odchylky profilů rezů šroubovým povrchem boků zubů se pohybovaly v pořadovaných mezích

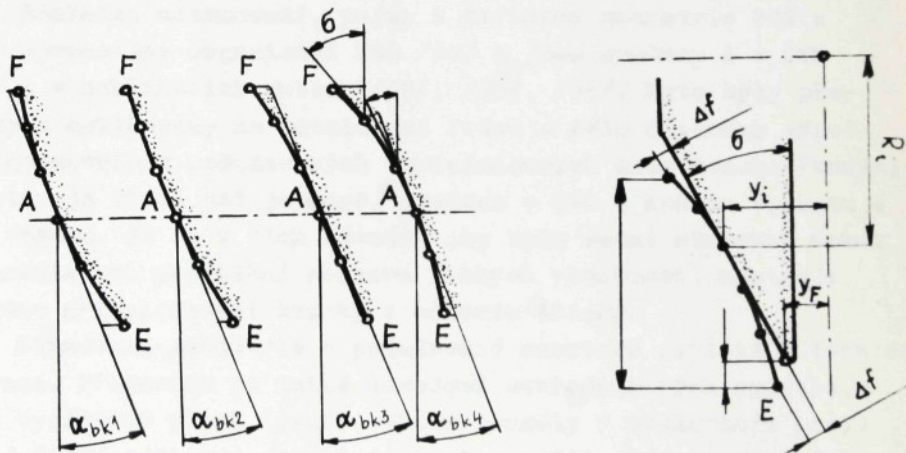
$$|\Delta f| \leq \Delta f_{\text{zad}} \quad (2.10)$$

Chyba nahrazení se může snížit také tak, že profil frézy budeme brousit po částech. Nejdříve patu a pak hlavu zuba. Vhodné je to zejména u odvalovacích fréz pro velké moduly, vícechodé frézy a frézy s kladným nebo záporným úhlem čela.

Úlohu je možno pro její pracnost řešit pouze pomocí číselcového počítače.



Obr. 2.8



Obr. 2.9

## 2.3 Geometrie břitu odvalovacích fréz

Řezné vlastnosti nástrojů jsou kromě vlastnosti materiálu nástroje dány rovněž optimálním tvarem a polohou břitu při úběru třísky, tj. obecně - geometrii břitu. U odvalovacích fréz je geometrie břitu hlavním parametrem ovlivňujícím tvar ostří. Při změně geometrie dochází i ke změně tvaru ostří a tedy i změně tvaru vyráběné součásti. Jak je všeobecně známo, údaje o geometrii břitu slouží k jeho znázornění na technickém výkresu, k jeho výrobě a ke kontrole, současně však může ovlivnit i proces řezání. Je tedy geometrie břitu závislá i na technologických podmínkách obrábění. Při konstrukci speciálního řezného nástroje je možné vycházet z požadavku optimální geometrie břitu během řezného procesu tj. s tzv. pracovní geometrie břitu a zjistit pro výrobu řezného nástroje potřebnou tzv. nástrojovou geometrii. Jestliže se použije univerzálního řezného nástroje vychází se z dané nástrojové geometrie břitu a provádí se pouze kontrola geometrie pracovní.

Základní ustanovení, pojmy a definice geometrie břitu byly zpracovány organizací ISO /94/ a jsou uvedeny i v ČSN /95/ i v publikacích autora /29/, /35/, /36/. Tyto byly převedeny a aplikovány na odvalovací frézu a dále doplněny výpočtem geometrie v požadovaných souřadnicových soustavách. Použití soustav je širší, než je např. uvedeno v ISO a než se vyskytuje při výrobě. Je to z těch důvodů, aby bylo možné sledovat změnu geometrie při provádění rozboru řezných vlastností nástroje zejména při sledování tvarby a odchodu třísky.

Stanovení geometrie v požadované soustavě sestává z těchto operací. Především je nutné zavedení souřadnicových soustav, dále vyjádření ploch (stačí vektor normály v uvažovaném bodě) řezné části nástroje pomocí vektorů, vyjádření transformačních vztahů pro převedení vektoru normály z dané do požadované soustavy a nakonec vyjádření požadovaných řezných úhlů.

Plochy řezné části nástroje. Geometrii řezné části nástroje můžeme stanovit buď v nástrojové soustavě ( $x_f, y_f, z_f$ ) nebo v nástrojové normálné soustavě ( $x_n, y_n, z_n$ ), v nástrojové ortogonální soustavě ( $x_o, y_o, z_o$ ) - obr. 2.10, dále v pracovní

soustavě ( $x_{fe}$   $y_{fe}$   $z_{fe}$ ), v pracovní ortogonální ( $x_{oe}$   $y_{oe}$   $z_{oe}$ ) v pracovní normálné ( $x_{ne}$   $y_{ne}$   $z_{ne}$ ) - obr. 2.11. Jako pomocná soustava slouží soustava strojová ( $x_m$   $y_m$   $z_m$ ). Souřadnicové soustavy jsou pravoúhlé. Vztah mezi nástrojovými soustavami a soustavou strojovou určuje nastavení nástroje na stroji a vzájemná poloha pracovních soustav a strojové soustavy je určena pohybem nástroje vzhledem k obráběné součásti.

Čelo i hřbet odvalovacích fréz může být plochou libovolného tvaru. Tento plochám lze určit vektory normál. Normála představuje vektorový součin dvou libovolných vektorů ležících v tečné rovině k rovině čela nebo hřbetu. Geometrie řezné části se stanoví tak, že se určí úhly mezi normálovou a jejími složkami v požadované souřadnicové soustavě.

Budíž dán povrch čela nebo hřbetu rovnici

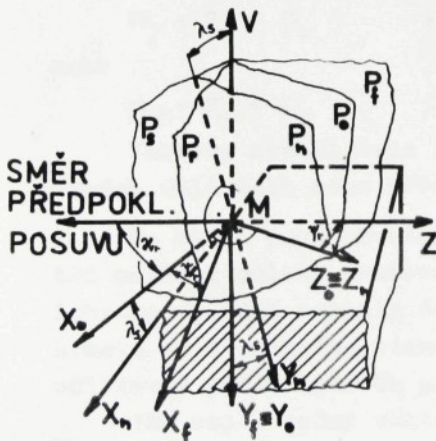
$$\mathbf{r} = \mathbf{r}(u, v) \quad (2.11)$$

pak vektory tečných rovin budou

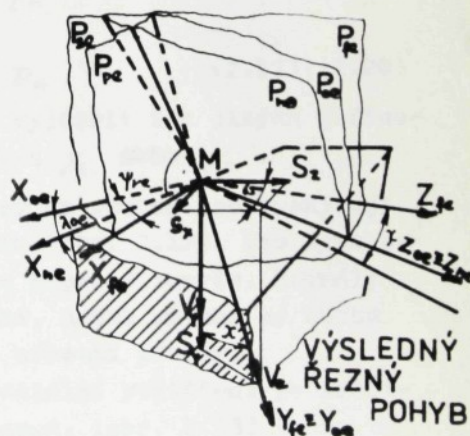
$$\begin{aligned} \mathbf{r}_u &= i x_u + j y_u + k z_u \\ \mathbf{r}_v &= i x_v + j y_v + k z_v \end{aligned} \quad (2.12)$$

normála k povrchu

$$\mathbf{n} = \mathbf{r}_u \times \mathbf{r}_v \quad (2.13)$$



Obr. 2.10



Obr. 2.11

Volba vektorů se provede tak, že za první vektor se zvolí vektor tečný k ostří, za druhý pak vektor tečný k nějaké křivce povrchu. Např. u šroubových ploch ke šroubovici. Pro případ rovinného čela nebo hřbetu je vyjádření tečných vektorů jednoduché, protože tečná rovina je totičná s rovinou čela nebo hřbetu. V tomto případě se postupuje podobně.

Vektory je výhodné vyjádřit pomocí směrových kosínů úhlů  $\cos \alpha_i = n_i / |n|$ . Jestliže vektor  $n(n_1, n_2, n_3)$  je libovolný vektor, pak směrové kosiny jsou přímo rovny souřadnicím  $n_i$ .

Vektor ostří v ortogonální soustavě

$$\sigma_o = \sigma_o (\cos \lambda_s, \sin \lambda_s, 0) \quad (2.14.1)$$

Vektor ostří v nástrojové soustavě

$$\sigma_n = \sigma_n (\cos \lambda_s \sin \chi_r, \sin \lambda_s, -\cos \lambda_s \cos \chi_r) \quad (2.14.2)$$

Vektor průsečnice roviny čela  $A_y$  a nástrojové roviny ortogonální  $P_o$  v ortogonální soustavě

$$p_o = p_o (0, \sin \gamma_o, \cos \gamma_o) \quad (2.15)$$

Vektor průsečnice roviny čela  $A_y$  a normální roviny  $P_n$  v ortogonální soustavě.

$$p_n = p_n (-\sin \gamma_n \sin \lambda_s, \sin \chi_r \cos \lambda_s, \cos \gamma_n) \quad (2.16)$$

Obdobně se postupuje při vyjádření dalších vektorů průsečnic.

Potom vektory normál rovin čela

$$n_y = \sigma_o \times p_o ; \quad r_y = \sigma_o \times p_n \quad (2.17), (2.18)$$

nebo

$$n_y = \sigma_n \times p_o ; \quad n_y = \sigma_n \times p_n \quad (2.19), (2.20)$$

Vektory normál čela je možno vyjádřit i z jiných definovaných úhlů čela nebo hřbetu např. z  $\gamma_s$  nebo  $\gamma_p$ .

Na ostří zubu odvalovací frézy na ozubení se vyskytuje tři odlišné polohy uvažovaného bodu (obr. 2.12). Pro tyto polohy se vyjádří normály čela podle popsané teorie. Normály hřbetu se v principu stanoví stejně, avšak vztahy se budou odlišovat podle způsobu podtáčení hřbetní plochy.

Tak např. tečný vektor pro radiální podtáčení po Archimedově nebo logaritmické spirále apod. (obr. 2.13)

$$q = q (\operatorname{tg} \alpha_r, 1, -\operatorname{tg} \beta_{hn}) \quad (2.21)$$

kde úhel  $\alpha_r$  se vypočte ze vztahu /83/

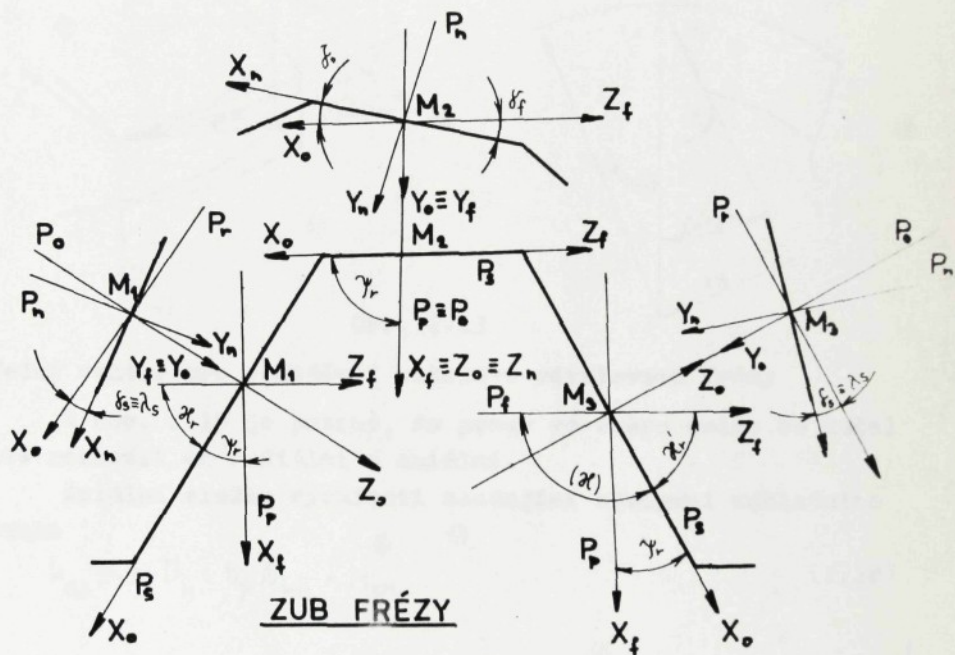
$$\operatorname{tg} \alpha_r = \frac{k z_f}{\pi D_h} \quad (2.22)$$

Tečný vektor pro kružnici u sítě odvalovacích fréz

$$q = q (\operatorname{tg} \alpha_r, 1, -\operatorname{tg} \beta_{hn}) \quad (2.23)$$

kde úhel  $\alpha_r$  (obr. 2.13) se vypočte ze vztahu

$$\sin(\alpha_r + \gamma_r) = \frac{2H_f}{D_h} \quad (2.24)$$



Obr. 2.12

Tečný vektor pro axiální podtáčení

Při axiálním podtáčení se úhel stoupání šroubovice buď zmenšuje nebo zvětšuje podle toho, o který bok zuba jde. Úhel se vyjádří z obr. 2.14. Ze známého úhlu stoupání na roztečné kružnici základního čneku se vyjádří úhel stoupání na vrcholové nebo jiné kružnici

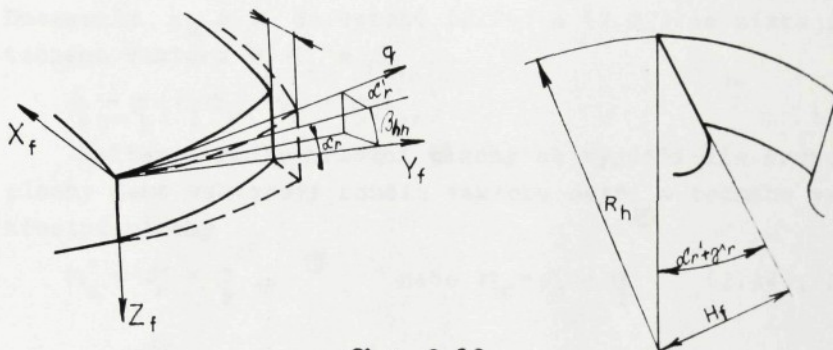
$$\operatorname{tg} \beta_{hn} = \frac{D_r}{D_h} \operatorname{tg} \beta_{zn} \quad (2.25)$$

$$\operatorname{tg} \beta'_{hn} = \operatorname{tg} \beta_{hn} + \frac{k_a}{H_{zn}} \operatorname{tg} \beta_{hn} \quad (2.26)$$

Znaménko — platí pro zmenšený úhel stoupání a + pro zvětšený úhel.

**Tecný vektor k této ploše pak bude**

$$q = q (0, \cos \beta'_{hn}, -\sin \beta'_{hn}) \quad (2.27)$$



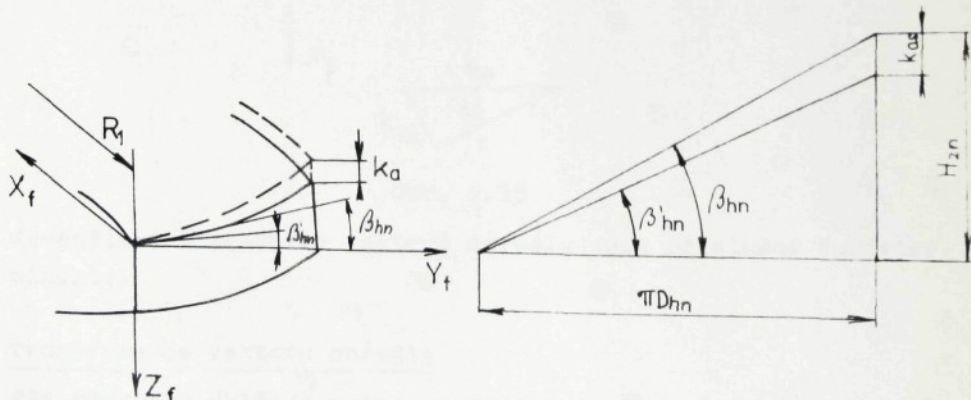
Obr. 2.13

**Tecný vektor pro podtáčení kuželové odvalovací frézy**

Z obr. 2.15 je patrné, že posuv ve směru kolmo na kužel lze rozložit na radiální a axiální.

Axiální složka rychlosti sledující stoupání základního šneku

$$k_{as} = -\pi D_h \cdot \operatorname{tg} \beta_{hn} + H_{zn} \quad (2.28)$$



Obr. 2.14

**Přídavný posuv kolmo na kužel**

$$k_{kk} = \pi D_h \cdot \operatorname{tg} \beta_{hn} \cdot \sin \omega_k \quad (2.29)$$

**Výsledný posuv**

$$k_v = k_{kk} + k_{as} \quad (2.30)$$

**pak**

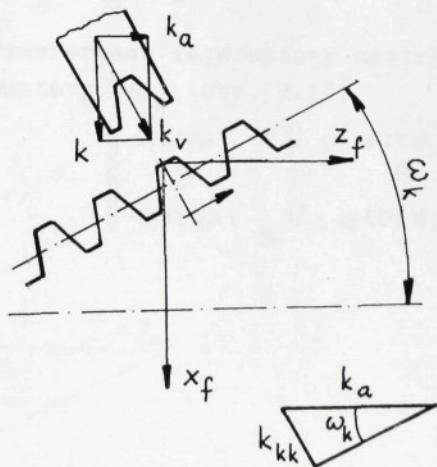
$$k_a = k_v \cdot \sin \omega_k \quad ; \quad k = k_v \cdot \cos \omega_k \quad (2.31), (2.32)$$

Dosazením  $k_a$  a  $k$  do vztahů (2.26) a (2.22) se získají složky tečného vektoru  $\operatorname{tg} \alpha_r$  a  $\beta'_{hn}$ .

$$\mathbf{q} = \mathbf{q} (\operatorname{tg} \alpha_r, 1, -\operatorname{tg} \beta'_{hn}). \quad (2.33)$$

Vektor normály hřbetní plochy se vyjádří dle druhu použité plochy jako vektorový součin vektoru ostří a tečného vektoru hřbetní plochy

$$\mathbf{n}_\alpha = \sigma_\alpha \times \mathbf{q}, \quad \text{nebo} \quad \mathbf{n}_\alpha = \sigma_n \times \mathbf{q} \quad (2.34), (2.35)$$



Obr. 2.15

Jednotlivé souřadnice vektoru normály jsou příslušné subdeterminanty.

Transformace vektoru normály

Při přepočtu úhlů je možno provést tyto transformace:

- a) přímou - přechod některé nástrojové soustavy do požadované pracovní. V tomto případě se zjišťují

pracovní úhly z dané geometrie a nastavení nástroje.

b) inverzní - přechod z některé pracovní soustavy do požadované nástrojové. V tomto případě se z daných pracovních úhlů zjišťuje potřebná geometrie a nastavení nástroje.

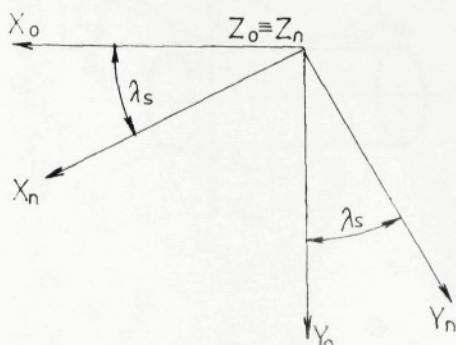
Ad a) Při této transformaci se vychází z nástrojové normálové soustavy a postupně se provedou transformace do nástrojové ortogonální  $T(\lambda_s)$ , nástrojové  $T(\psi_r)$ , pracovní  $T(-\tau), T(-\chi)$ , pracovní ortogonální  $T(\psi_{re})$  a pracovní normálové  $T(-\lambda_{se})$ . Transformace provedeme pomocí matic (2.36) až (2.39) a (2.46) a (2.47).

Transformace ze soustavy nástrojové normálové do nástrojové ortogonální soustavy  $T(\lambda_s)$  (obr. 2.16)

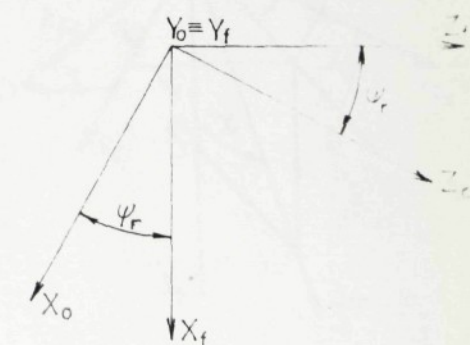
$$T(\lambda_s) = \begin{vmatrix} \cos \lambda_s & -\sin \lambda_s & 0 \\ \sin \lambda_s & \cos \lambda_s & 0 \\ 0 & 0 & 1 \end{vmatrix} \quad (2.36)$$

Transformace ze soustavy nástrojové ortogonální do nástrojové soustavy  $T(\psi_r)$  (obr. 2.17)

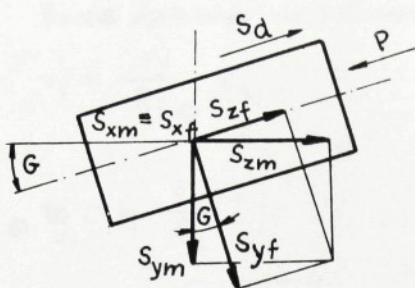
$$T(\psi_r) = \begin{vmatrix} \cos \psi_r & 0 & \sin \psi_r \\ 0 & 1 & 0 \\ -\sin \psi_r & 0 & \cos \psi_r \end{vmatrix} \quad (2.37)$$



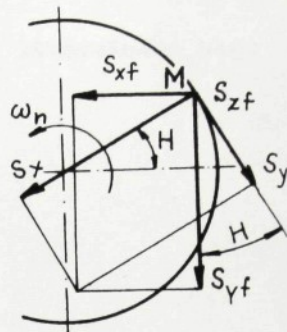
Obr. 2.16



Obr. 2.17



Obr. 2.19

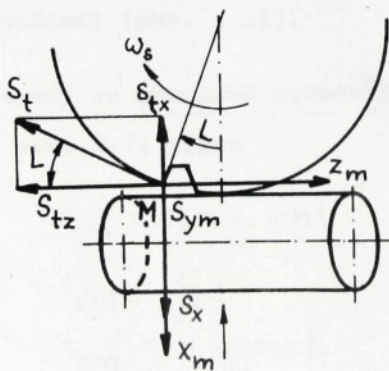


Obr. 2.20

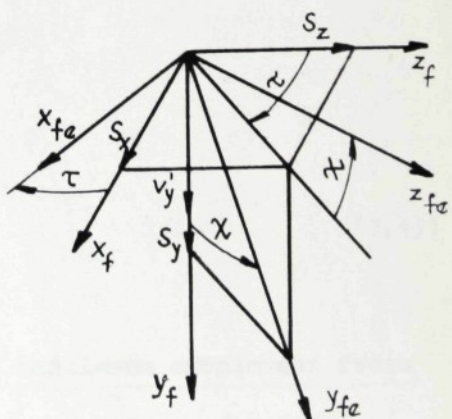
**Transformace ze soustavy nástrojové do soustavy pracovní - obr. 2.18.**

$$T(\tau) = \begin{vmatrix} \cos \tau & 0 & \sin \tau \\ 0 & 1 & 0 \\ -\sin \tau & 0 & \cos \tau \end{vmatrix} \quad (2.38)$$

$$T(x) = \begin{vmatrix} 1 & 0 & 0 \\ 0 & \cos x & -\sin x \\ 0 & \sin x & \cos x \end{vmatrix} \quad (2.39)$$



Obr. 2.21



Obr. 2.18

## Výpočet úhlů $\tau$ a $\chi$ ze známých posuvů

Řezná rychlosť na polomere  $R_i$  libovolného bodu

$$v_y' = \frac{v_y}{R_{fr}} \cdot R_i \quad (2.40)$$

$$\operatorname{tg} \tau = \frac{s_x}{s_z} \quad (2.41)$$

$$\operatorname{tg} \chi = \frac{\sqrt{s_x^2 + s_z^2}}{v_y' + s_y} \quad (2.42)$$

Pro  $s_z < 0$  je polarita úhlu  $\chi$  záporná.

Složky posuvu  $s_x$ ,  $s_y$ ,  $s_z$  jsou závislé na směru posuvu odvalovací frézy vůči obrobku a je nutné je transformovat ze soustavy strojové do nástrojové. U odvalovacího frézování se mohou vyskytovat tyto posuvy obr. 2.19; 2.20; 2.21 radiální ( $s_x$ ), axiální ( $s_y$ ), tečný ( $s_t$ ), diagonální ( $s_d$ ). Poloha nástrojové soustavy ( $x_f$   $y_f$   $z_f$ ) vůči strojové souřadnicové soustavě ( $x_m$   $y_m$   $z_m$ ) je dána úhly nastavení  $G$ ,  $H$ ,  $L$ . Úhel  $G$  určuje výklonění osy frézy (obr. 2.19), úhel  $H$  polohu bodu na obvodu frézy (obr. 2.20), úhel  $L$  polohu bodu  $M$  na obvodu součásti (obr. 2.21).

## Posuvy ve strojové soustavě

z obr. 2.21 plyne :

$$\begin{aligned} s_{xm} &= s_x - s_t \sin L \\ s_{ym} &= s_y \\ s_{zm} &= - s_t \cos L \end{aligned} \quad (2.43)$$

## Posuvy ve strojové soustavě pro kuželovou odvalovací frézu

Vzhledem k tomu, že úhel  $L$  se uvažuje od kolmice na kuželovou plochu bude rozklad tečného posuvu

$$s_{xm} = s_x - s_t \sin(L - \omega_k) \quad (2.43a)$$

$$s_{ym} = s_y$$

$$s_{zm} = -s_t \cos(L - \omega_k)$$

Z obr. 2.19 plyne

$$s_{xt} = s_{xm}$$

$$s_{yt} = s_{ym} \cos G + s_{zm} \sin G \quad (2.44)$$

$$s_{zt} = -s_{ym} \sin G + s_{zm} \cos G$$

Posuvy v nástrojové soustavě (obr. 2.20)

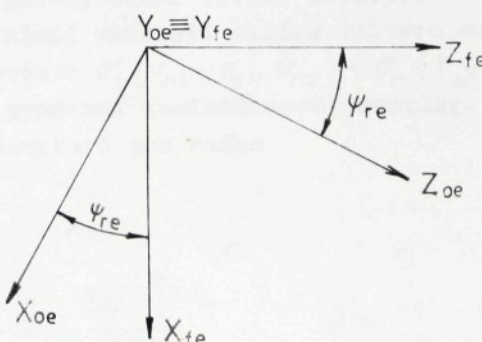
$$s_x = s_{xf} \cos H + s_{yf} \sin H$$

$$s_y = s_{xf} \sin H + s_{yf} \cos H \quad (2.45)$$

$$s_z = s_{zf} + s_d$$

Dosazením za  $s_x$ ,  $s_y$  a  $s_z$  do vztahů (2.41) a (2.42) můžeme vyčítat úhly  $\tau$ ,  $\chi$  a pak transformační matice (2.38), (2.39).

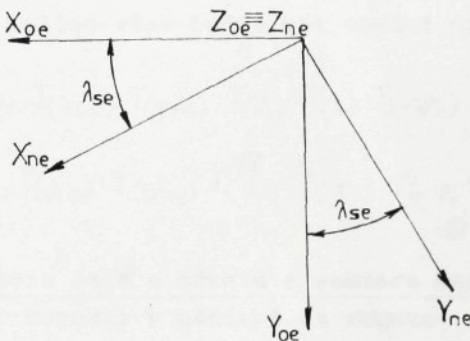
Transformace ze soustavy pracovní do pracovní ortogonální  $T(-\psi_{re})$  - obr. 2.22



Obr. 2.22

$$T_{(\psi_{re})} = \begin{vmatrix} \cos \psi_{re}, & 0, & \sin \psi_{re} \\ 0, & 1, & 0 \\ -\sin \psi_{re}, & 0, & \cos \psi_{re} \end{vmatrix} \quad (2.46)$$

Transformace ze soustavy pracovní ortogonální do soustavy pracovní normálové  $T(-\lambda_{se})$  - obr. 2.23



Obr. 2.23

$$T_{(\lambda_{se})} = \begin{vmatrix} \cos \lambda_{se}, & -\sin \lambda_{se}, & 0 \\ \sin \lambda_{se}, & \cos \lambda_{se}, & 0 \\ 0, & 0, & 1 \end{vmatrix} \quad (2.47)$$

Dopočet úhlů polohy ostří (2.48) a (2.49) v transformacích se provede na základě znalosti složek vektoru ostří. V nástrojové normálové soustavě  $\sigma_n(\sigma_{nx}, \sigma_{ny}, \sigma_{nz}) = \sigma_n(1, 0, 0)$ . Tento transformujeme do pracovní souřadnicové soustavy.

Úhly v této soustavě pak budou

$$\operatorname{tg} \psi_{re} = -\frac{\sigma_{nz}}{\sigma_{nx}} \quad (2.48)$$

$$\operatorname{tg} \lambda_{se} = \frac{\sigma_{ny}}{\sqrt{\sigma_{nx}^2 + \sigma_{nz}^2}} \quad (2.49)$$

Celková transformace vektoru normály čela (hřbetu) ze soustavy nástrojové normálové do pracovní normálové

$$n_{\gamma e} = n_{\gamma} \cdot T(\lambda_s) \cdot T(\psi_r) \cdot T(-\tau) \cdot T(-\chi) \cdot T(-\psi_{re}) \cdot T(-\lambda_{se}) \quad (2.50)$$

$$n_{\alpha e} = n_{\alpha} \cdot T(\lambda_s) \cdot T(\psi_r) \cdot T(-\tau) \cdot T(-\chi) \cdot T(-\psi_{re}) \cdot T(-\lambda_{se}) \quad (2.51)$$

**Ad b)** Při zpětném způsobu transformace se postupuje stejně, transformační maticy však budou mít opačné znaménko

$$n_y = n_{\gamma e} \cdot T(\lambda_{se}) \cdot T(\psi_{re}) \cdot T(\chi) \cdot T(\tau) \cdot T(-\psi_r) \cdot T(-\lambda_s) \quad (2.50.1)$$

$$n_{\alpha} = n_{\alpha e} \cdot T(\lambda_{se}) \cdot T(\psi_{re}) \cdot T(\chi) \cdot T(\tau) \cdot T(-\psi_r) \cdot T(-\lambda_s) \quad (2.51.1)$$

Určení úhlu rovin čela a hřbetu z vektoru normály. Jestliže je znám vektor normály v některé ze soustav např. pro čelo  $n_{\gamma}$  ( $n_{xc}, n_{yc}, n_{zc}$ ), provede se výpočet úhlu spádu roviny ve směrech souřadných os.

Pro čelo platí

$$\operatorname{tg} \gamma_x = - \frac{n_{xc}}{n_{yc}} ; \quad \operatorname{tg} \gamma_z = - \frac{n_{zc}}{n_{yc}} ; \quad (2.52)$$

Pro hřbet platí

$$\operatorname{tg} \alpha_x = - \frac{n_{yh}}{n_{xh}} ; \quad \operatorname{tg} \alpha_z = - \frac{n_{yh}}{n_{zh}} . \quad (2.53)$$

K výpočtu úhlů čela, nebo hřbetu v požadované soustavě použijeme transformovaného vektoru normály do této soustavy.

## 2.4 Hlavní konstrukční rozměry tělesa frézy

Mezi hlavní konstrukční rozměry odvalovacích fréz počítáme vnější průměr frézy, průměr upínacího otvoru a počet hřebenů (drážek). Pokud to poměry dovolují je výhodné volit tyto parametry co největší.

#### 2.4.1 Válcová odvalovací fréza (obr. 2.24)

##### 1. Průměr frézy

Průměr frézy je výhodné volit co největší protože to vede k zvýšení přesnosti ozubení, trvanlivosti břitu. Větší průměr frézy dovoluje zvětšení upínacího otvoru a tedy i upínacího trnu, čím se zvýší tuhost upnutí a sníží chvění. Zvětšením průměru je možné zvýšit počet zubových hřebenů, klesá tím posuv na zub a zvyšuje se trvanlivost břitu.

Tyto výhody je potřeba srovnat s určitými zápornými, jako je zvýšení ceny, zvýšení spotřeby kvalitní rychlořezné oceli (pekud se nepoužijí skládané frézy), zhoršení podmínek tepelného zpracování. Velkých průměrů tedy používáme v zásadě pro přesné a dokončovací a hlavně skládané odvalovací frézy.

Průměr vypočteme ze vztahu

$$D_h = D_p + 2(h_n + k + r_{fd}) \quad (2.54)$$

Průměr paty podélných drážek  $D_p$  volíme v závislosti na obráběcím stroji a průměru upínacího trnu.

$$D_p = (1,4 \text{ až } 2,0) D_n \quad (2.55)$$

Poloměr zaoblení paty podélných hřebenů zubů se volí v rozmezí

$$r_{fd} = (1,5 \text{ až } 3,5) \text{ mm} \quad (2.56)$$

nebo ze vztahu

$$r_{fd} = \frac{\pi(D_h - 2h_n)}{10z_f} \quad (2.57)$$

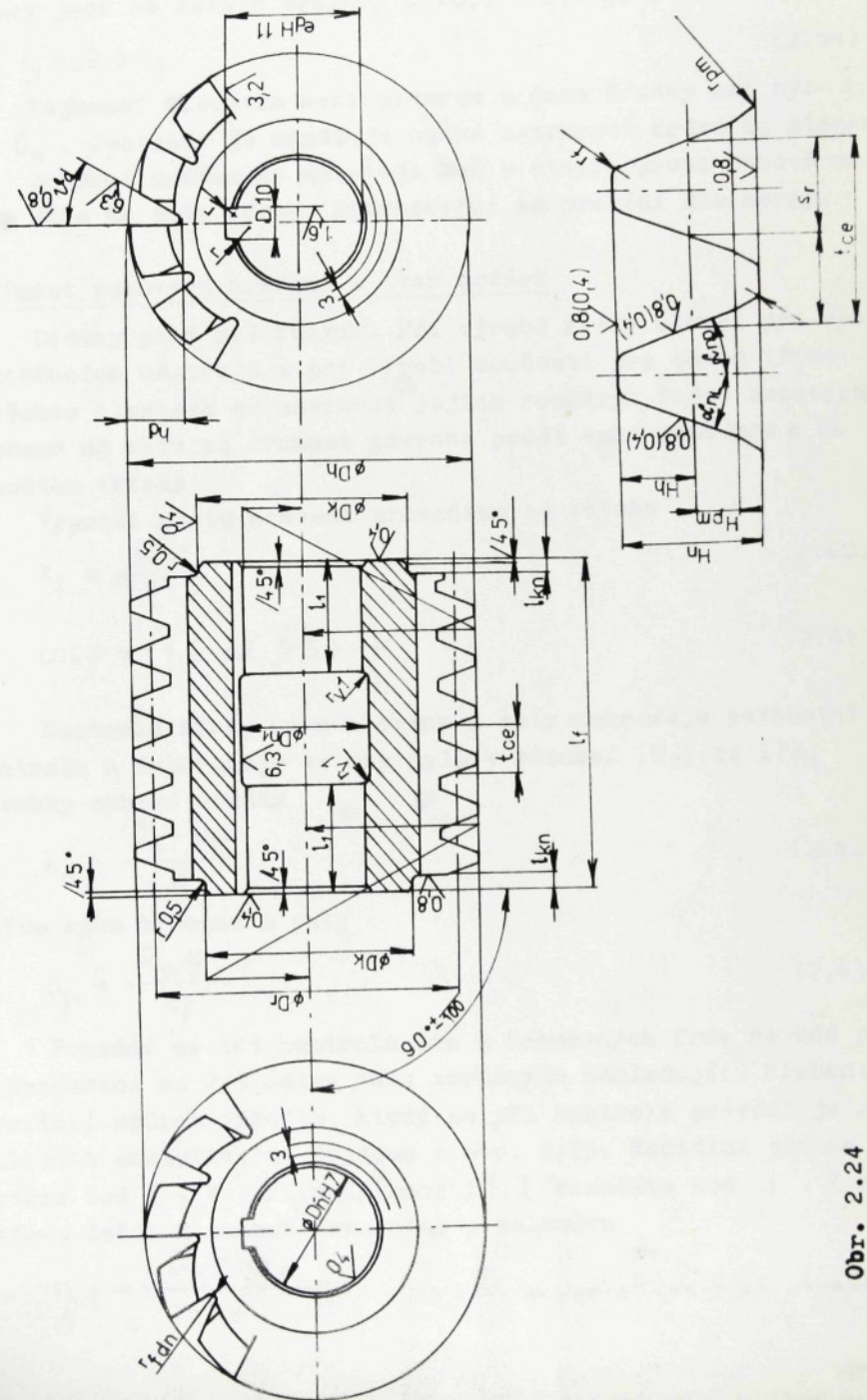
Zdvihi vačky k vypočteme ze vztahu (2.22) dle zvoleného úhlu  $\alpha_r$  a zaokrouhlíme na hodnotu zdvihu vačky ze sady vaček dodávaných ke stroji (hodnoty uvádí příloha 2).

##### 2. Průměr upínacího otvoru

Otvor slouží k upnutí frézy na trnu. Orientační hodnota pro dimenzování je

$$D_n = (0,20 \text{ až } 0,45) D_h \quad (2.58)$$

Jinak jsou otvory normalizované v řadě to 16, 22, 27, 32, 40, 50 mm. Pro lepší slícování s trnem se dosedací plocha



Obř. 2.24

otvoru přerušuje vybráním v délce jedné třetiny celkové délky frézy o 1 až 2 mm s poloměrem zaoblení 0,5 až 1,5 mm. Otvory jsou na čelech sraženy o  $(0,5 - 2) \times 45^\circ$ .

$$l_1 = 0,3 l_f \quad (2.59)$$

Nejmenší tloušťka mezi otvorem a dnem drážky smí být  $0,3 D_h$ . Jestliže je menší, je nutné navrhnut frézu se stopkou.

Unášecí drážka se umísťuje buď v otvoru proti zubové měře nebo na čele frézy. Dimenzování se provádí dle normy.

### 3. Počet zubových hřebenů a tvar drážek

Drážky plní dvě funkce. Při výrobě frézy slouží pro výběh podtáčecích nástrojů a při výrobě součásti pro odvod třísek. Z těchto hledisek se navrhují jejich rozměry. Počet zubových hřebenů má vliv na drsnost povrchu podél zuba součásti a na tloušťku třísky.

Výpočet počtu hřebenů provedeme ze vztahu

$$z_f = \frac{360^\circ}{\varphi} \quad (2.60)$$

$$\cos \varphi = (1,0 \text{ až } 4,5) \frac{D_p}{D_h} \quad (2.61)$$

Kontrola šířky zuba hřebene u paty nahrazuje pevnostní kontrolu a doporučuje se, aby byla v rozmezí  $(0,5 \text{ až } 1) h_d$  hloubky zubové drážky

$$h_d = \frac{D_h - D_p}{2} \quad (2.62)$$

### Šířka zuba hřebene u paty

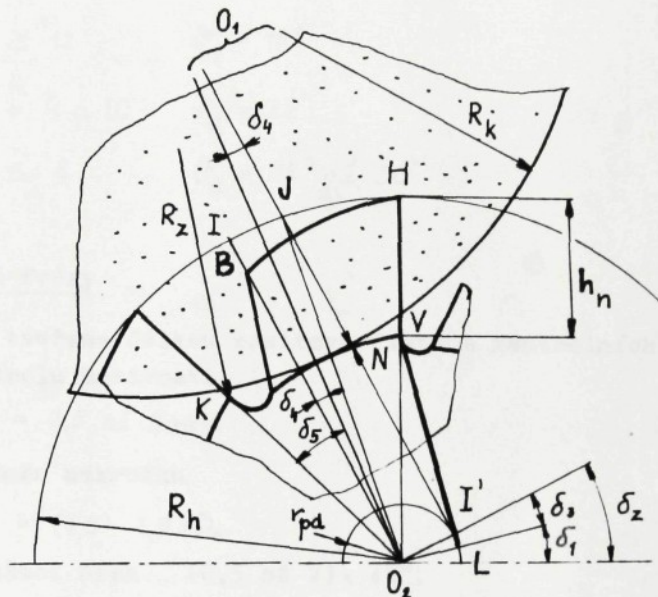
$$s_p = \frac{R_p \varphi}{z_f} \quad (2.63)$$

Provádí se též kontrola, zda u broušených fréz nebude při podbroušení na 2/3 délky zuba zbrušován následující hřeben. Grafický způsob výpočtu, který se při kontrole provádí je nutné nahradit analytickým. Vyjdeme z obr. 2.25. Radiální přímka vytkne bod I. Ve 2/3 vzdálenosti H I označíme bod J. Z něho vede tečnu k pomocné kružnici o poloměru

$$r_{pd} = \frac{D_h \sin \alpha_r}{2} \quad (2.64)$$

Na této tečně leží střed brusného kotouče o průměru  $D_k$ . Prochází-li tato kružnice nad bodem K, je podmínka splněna. Průměr brusného kotouče nesmí být menší než 40 mm. Podmínu lze vyjádřit vztahem

$$R_z \geq R_k \quad (2.65)$$



Obr. 2.25

$$R_z = \sqrt{(\overline{O_2V})^2 + (\overline{O_2O_1})^2 - 2 \cdot \overline{O_2V} \cdot \overline{O_2O_1} \cos \delta_5} \quad (2.66)$$

$$\overline{O_2O_1} = \sqrt{r_{pd}^2 + (\overline{I'O_1})^2}$$

$$\delta_5 = \frac{1}{4} \cdot \frac{2\pi}{z_f} + \delta_4 \quad ; \quad \delta_4 = \arctg \frac{r_{pd}}{\overline{I'O_1}}$$

$$\overline{I'O_1} = R_k + \overline{NI'} \quad ; \quad \overline{IN} = \overline{VL} - \overline{IL}$$

$$\overline{VL} = \sqrt{(\overline{O_2V})^2 - r_{pd}^2} \quad ; \quad \overline{IL} = r_{pd} \cdot \delta_3$$

$$\delta_3 = \delta_2 - \delta_1 \quad ; \quad \delta_2 = \frac{3}{4} \cdot \frac{2\pi}{z_f}$$

$$\delta_1 = \arcsin \frac{r_{pd}}{O_2 V} \quad ; \quad O_2 V = \frac{D_h}{2} - h_n$$

**Úhel rozevření drážky  $\vartheta_d$**  je závislý na přesnosti vyráběné frézy. Pro broušené nástroje a počet hřebenů

$$z_f \geq 12 \quad \vartheta_d = 18^\circ$$

$$z_f = 9 \text{ a } 10 \quad \vartheta_d = 22^\circ \quad (2.67)$$

$$z_f \leq 8 \quad \vartheta_d = 25^\circ \text{ až } 30^\circ$$

#### 4. Délka frézy

Je tvořena délkou závitové části a kontrolních nákrúžků pro kontrolu házivosti.

$$l_{kn} = 2,5 \text{ až } 5 \text{ mm} \quad (2.68)$$

Průměr nákrúžku

$$D_{k1} = (1,5 - 1,7) D_0 \quad (2.69)$$

Sražení hran  $(0,5 \text{ až } 2) \times 45^\circ$ .

Délka závitů by měla odpovídat délce celkového pracovního rozsahu frézy  $l_c$  (viz kap. 3.1.3 vzt. 3.71). Je nutné však přidat několik závitů pro možnost krokování. Pak celková délka frézy

$$l_f = l_{zh} + 2l_{kn} \quad (2.70)$$

kde

$$l_{zh} = (4 \text{ až } 5)\pi \cdot m + (10 \text{ až } 15) \text{ mm} \quad (2.71)$$

Doperučována je délka dvojnásobná délce závitů /52/. Prodlouženou frézou je možno dosáhnout trojnásobného výkonu obrábění při nepatrnně zvýšených nákladech. Dosáhne se toho krokováním.

Pro příliš velké průměry kol vychází i délka pracovního rozsahu veliká a fréza by byla příliš dlouhá. Pak je možno

frézu skrátit a přilišné zatížení na první zuby rozdělit. To se provádí pomocí náběhového kuželeta. Stejný případ nastane i při kolech se šikmými zuby o velikém sklonu  $\beta_z \geq 20^\circ$ . Pak se doporučuje zhotovit kužel o úhlu  $\omega_k = 18^\circ - 30^\circ$  na délce  $l_k /72/, /83/$

$$l_k = (4 \text{ až } 5) m_h \quad (2.72)$$

Velikost kuželeta pro jednotlivé případy je možné upravit dle získaných hodnot průřezu třísek (z kap. 3.1.4.1).

### 5. Roztečný průměr frézy

Je základním výpočetním průměrem frézy a k němu se vztažují další parametry jako jsou úhly stoupání závitů i drážek. K němu je vztahován základní vypočtený profil apod.

$$D_r = D_h - 2 H_h - 2 \frac{k}{4} \quad (2.73)$$

$H_h$  - výška hlavy zuba frézy

Se změnou roztečné kružnice se mění i úhel stoupání šroubovice  $\beta_{zn}$ .

$$\sin \beta'_{zn} = \frac{m}{D'_r} \quad (2.74)$$

Roztečný průměr nové frézy

$$D'_r = D_h - 2 H_h \quad (2.75)$$

### 6. Úhel stoupání šroubovice zubů a sklonu drážek na roztečném válci

Normálná rozteč

$$t_n = \pi \cdot m \quad (2.76)$$

Osová rozteč

$$t_{ce} = \frac{t_n}{\cos \beta_{dn}} \quad (2.77)$$

Osová rozteč před kalením u fréz z rychlořezné oceli

$$t_{cn} = 0,9993 t_{ce} \quad (2.78)$$

**Úhel stoupání šroubovice na roztečném válci**

$$\sin \beta_{zn} = \frac{i_n \cdot m}{D_r} = \frac{i_n t_n}{\pi D_r} \quad (2.79)$$

Lze snadno odvodit

$$\operatorname{tg} \beta_{dn} = \frac{\pi D_r}{H_d} \quad (2.80)$$

Pak

$$\beta_{zn} = \beta_{dn} \quad (2.81)$$

#### 2.4.2 Kuželová odvalovací fréza (obr. 2.26)

Vztahy pro stanovení rozměrů kuželové odvalovací frézy jsou obdobné, některé totožné se vztahy pro frézu válcovou.

##### 1. Průměr frézy

$$D_h = D_p + \frac{2(h_n + k + r_{fd})}{\cos \omega_k} \quad (2.82)$$

$D_p$  - vypočteme ze vztahu (2.55),  $r_{fd}$  ze vztahu (2.56) nebo (2.57),  $h_n$  závisí na použitém profilu frézy.

Malý průměr kužele frézy

$$D_{h1} = D_h - l_{zn} \sin \omega_k \quad (2.83)$$

Velký průměr frézy

$$D_{h2} = D_h + l_{zn} \sin \omega_k \quad (2.84)$$

##### 2. Délka frézy

$$l_f = l_{zn} \cos \omega_k + 2 l_{kn} \quad (2.85)$$

$l_{kn}$  vypočteme ze vztahu (2.68),  $l_{zn}$  ze vztahu (2.71).

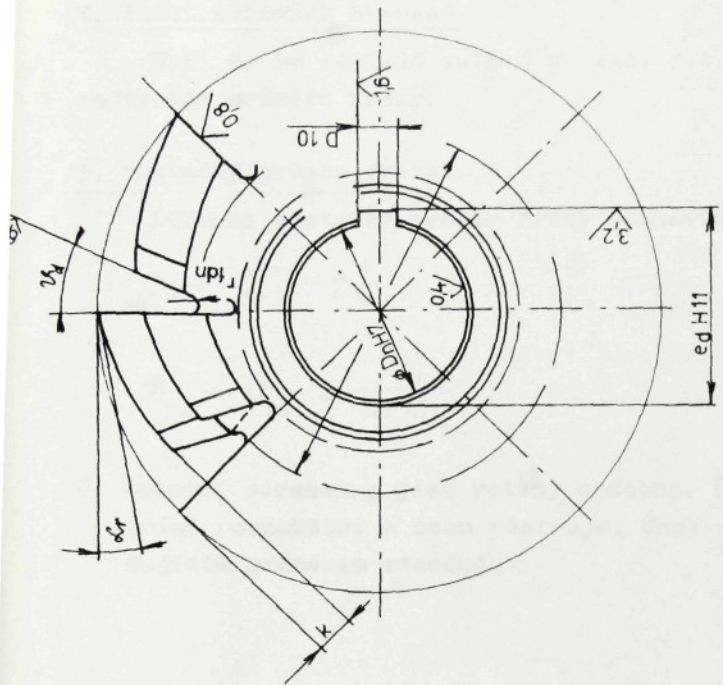
Průměry nákrúžků

$$D_{k1} = (1,5 \text{ až } 1,8) D_h \quad (2.86)$$

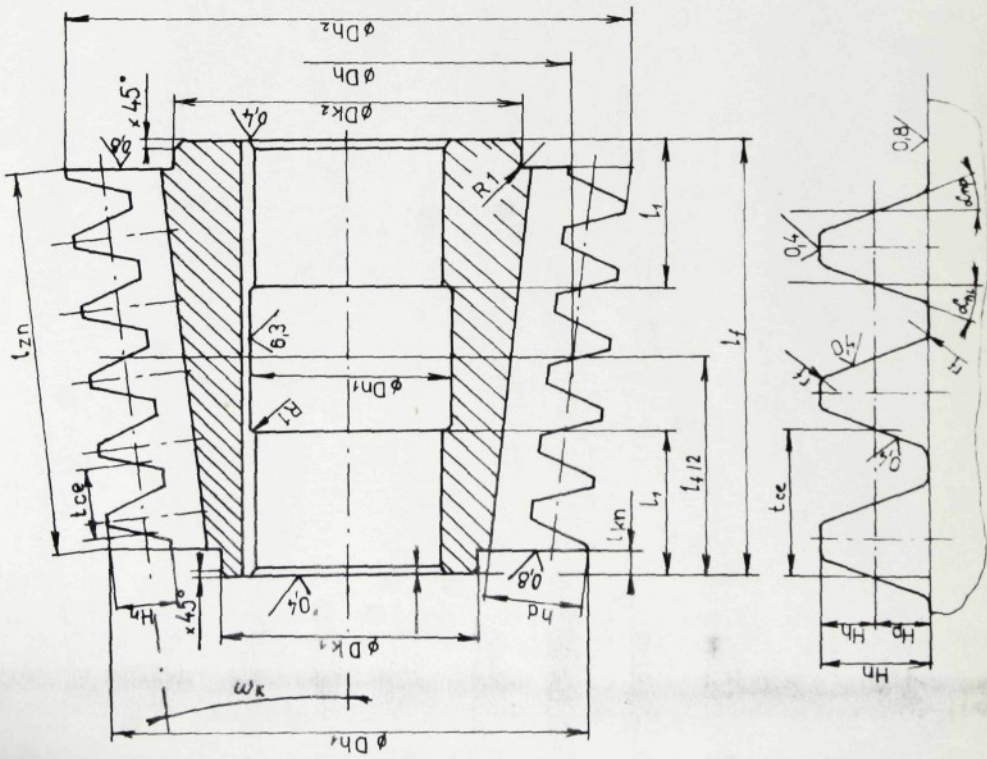
$$D_{k2} = D_{k1} + 2 l_{zn} \sin \omega_k \quad (2.87)$$

##### 3. Průměr upínacího otvoru se stanovi dle zákonu z kap. 2.4.1

b. 2.



Obit. 2.26



#### 4. Počet zubových hřebenů

Určí se na základě vztahů z kap. 2.4.1 a kontroly na nejmenším průměru frézy.

#### 5. Roztečný průměr frézy

Střední roztečný průměr frézy stanovíme ze vztahu

$$D_r = D_{rk}' - 2 \frac{k}{4} \quad (2.88)$$

$$D_{rk}' = D_h - 2 \frac{H_h}{\cos \omega_k} \quad (2.89)$$

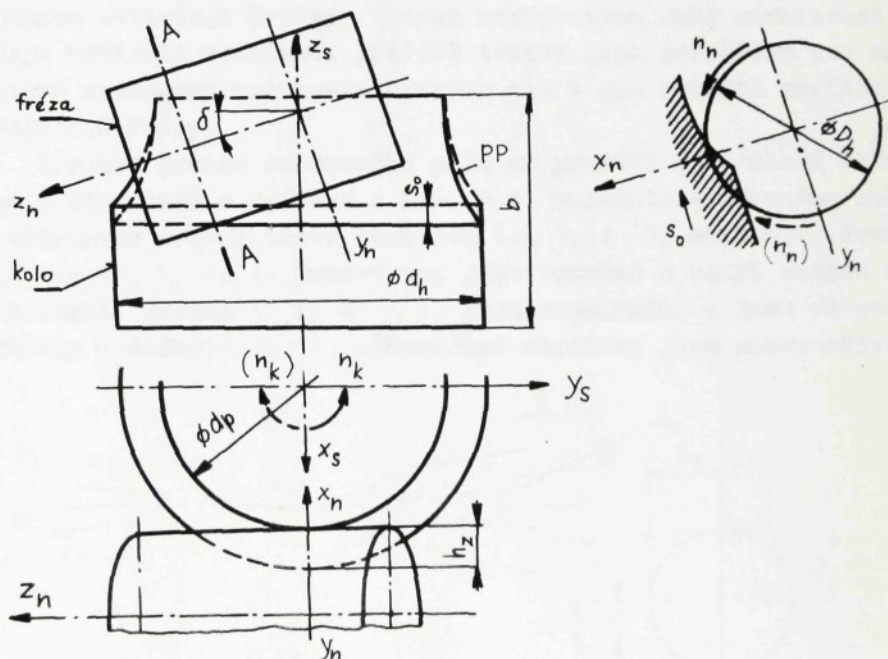
6. Ostatní parametry jsou voleny obdobně. Čelo hřebenů je přímé rovnoběžné s osou nástroje. Úhel stoupání se se zvětšujícím průměrem zmenšuje.

### 3. TECHNOLOGICKÉ PARAMETRY ODVALOVACÍHO FRÉZOVÁNÍ

#### 3.1. Záběrové poměry při frézování osubení odvalovacím způsobem

##### 3.1.1 Záběrové pole odvalovací frézy

Při frézování osubených součástí odvalovacím způsobem dochází k vnitřnímu pronikání dvou těles a obrábění probíhá v určité oblasti, které se říká záběrové pole odvalovací frézy. Záběrové pole je prostorová křivá plocha ohrazená pronikem válcové nebo kuželevé plochy frézy (určené hlavními břity frézy) a válcovou plochou ohraničenou obrobku nebo osubení (určenou průměrem hlavové kružnice), přičemž válcová plocha obrobku na tzv. odchodné straně, kde obrobek vychází ze záběru, je zmenšena na poloměru o houbku frézované zubové mezery. Jde tedy o plochu ohrazenou pronikem buď tří válcových ploch nebo plochy kuželevé a dvou válcových, jejich osy jsou tetožné. Plocha frézy



Obr. 3.1

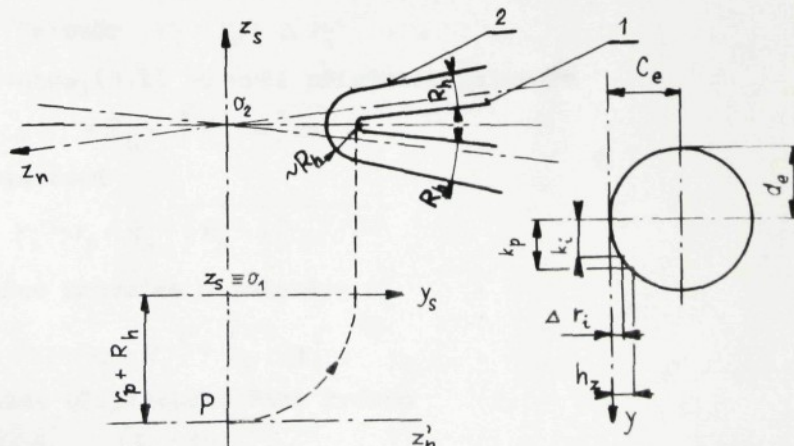
s námeběžnou osou k nuc obrobku je tečná k válcové ploše na odchodné straně /31/.

Záběrové pole ohrazené tří křivky. Spodní je pronikem dvou válců, nebo kuželeva a válce s osami námeběžnými.

Druhé dvě křivky vzniknou dotykem povrchu válce nebo kužele s tvarovou rotační plochou na otáčejícím se válci o poloměru  $R_h$  přesazenou na vřezávací straně o velikost posuvu na otáčku kola oproti straně odchodné. Velikost a tvar záběrového pole závisí na způsobu frézování (současně, nesoučasně), houbes frézování, posuvu frézy, úhlu nastavení frézy, průměru obráběného kola, smyslu otáčení obrubku, smyslu stoupání šroubovic kola i frézy, sde fréza má násběrový kužel, či nikoli.

Určení velikosti záběrového pole je základem pro stanovení délky a pracovního rozsahu odvalovací frézy. S nimi dce souvisejí délka optimálního krekování odvalovací frézy. Záběrové pole dále slouží k nastavení frézy před obráběním, tj. slouží k stanovení taz. záběhů a přeběhů, které ovlivňují frézovanou délku a tedy i strojní čas. Záběrové pole v závislosti na modulu, počtu zubů a pozici ovlivňuje průřez třísek odebíraných suby odvalovací frézy. Znalosti velikosti průřezů třísek jsou podkladem pro analytické stanovení velikosti řezných sil i pro korrekci profilu odvalovací frézy.

Výpočet hranic záběrového pole se provádí na základě určitých předpokladů a vychází z obr. 3.1. Souřadni (osubenému kolu) je připsanou souřadnicovou soustava  $(x_s, y_s, z_s)$ , adstroji (fréze) soustava  $(x_n, y_n, z_n)$ . Záteré souřadnice jsou totožné s osmi rotace frézy a souřadni. Roviny  $y_n z_n$  a  $y_s z_s$  jsou rovnoběžné a jsou od sebe vzdáleny o hodnotu  $r_p + R_h$ . Souřadnicové soustavy jsou pravotočivé.



1 - rotační hyperboloid, 2 - ekvidistantní plocha

Obr. 3.2

Přechodový povrch PP přerušovaný jednotlivými zuby je povrch šroubový, avšak vzhledem k malému stoupání šroubovice (malému posuvu na otáčku kola) je možno tuto plochu zjednodušit dle obr. 3.2. Tato plocha je ekvidistantní plochou hyperboloidu, který vznikne rotací frézy kolem osy obrobku ve vzdálenosti  $r_p + R_h$ . Vzdálenost ekvidistanty je rovna pravé poloměru válcového povrchu frézy. U hrdla hyperboloidu se ekvidistanta přibližuje kružnici. Vzhledem k malému natočení osy frézy jako approximaci přechodového povrchu je kruhový oblouk a v meridiánu (v rovině  $y_s z_s$ ) eliptický oblouk s hlavní polosou  $d_e = R_h \cdot (\cos \delta)^{-1}$  a vedlejší polosou  $c_e = R_h$ .

Velikost přechodového povrchu se vypočte z rovnice elipsy

$$\frac{(x - R_h)^2}{c_e^2} + \frac{y^2}{d_e^2} = 1 \quad (3.1)$$

délka přechodu

$$k_p = y = \frac{\sqrt{2R_h \cdot h_z - h_z^2}}{\cos \delta} \quad (3.2)$$

Pro výpočet velikosti záběrového pole, obdobně jako pro stanovení hodnot nastavení kap. 3.1.2, je použito metody řezů. V řezech rovinami kolmými na osu kola se určí souřadnice bodů proniku. Řezy na obrobku budou při zjednodušení kružnice o poloměru  $r_i$ . Řezy na válci frézy elipsy pro kuželevou frézu proměnné velikosti.

### 3.1.1.1 Horní hranice záběrového pole (hranice O-P)

$$\text{Polomér } r_i = r_p + \Delta r_i \quad (3.3)$$

z rovnice (3.1) se určí přírůstek poloměru

$$\Delta r_i = R_h - \sqrt{R_h^2 - k_i^2 \cos^2 \delta}$$

po dosazení

$$r_i = r_p + R_h - \sqrt{R_h^2 - k_i^2 \cos^2 \delta} \quad (3.4)$$

Rovnice kružnice o poloměru  $r_i$

$$(x_i - r_p - R_h)^2 + z_i^2 = r_i^2 \quad (3.5)$$

Rovnice eliptického řezu frézou

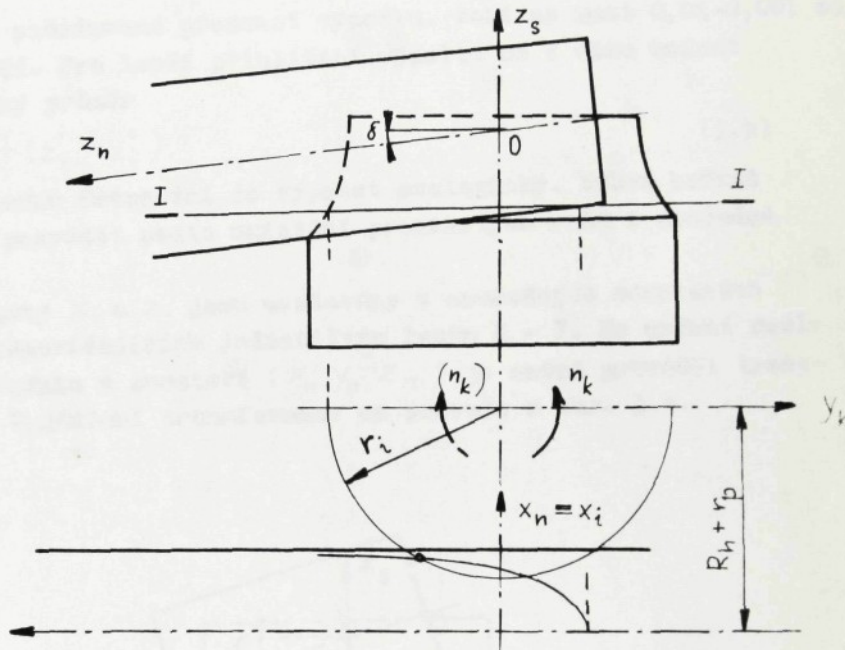
$$\frac{x_i^2}{a_e^2} + \frac{(z_i - p_i)^2}{b_e^2} = 1 \quad (3.6)$$

kde  $p_i = \left( k_i - \frac{s_0 \cdot i}{j} \right) \cot \delta$

$$a_e = R_h \quad b_e = \frac{R_h^2}{\cos \delta}$$

dosazením a po úpravě

$$x_i^2 + (z_i - p_i) \sin \delta = R_h^2 \quad (3.7)$$



Obr. 3.3

Řešením dvou kvadratických rovnic (3.5) a (3.7) dostaneme rovnici 4. stupně, která je řešitelná jenom numericky. Pro řešení je použita apoximační Newtonova metoda tečen /2/. Rovnice upravíme tak, aby neznámou bylo  $z$  a proměnnou  $x$ , za kterou se postupně dosazují přibližné hodnoty.

$$z_{i12} = \pm \sqrt{r_i^2 - (x_i - p_i - R_h)^2} \quad (3.5a)$$

$$z_{i12} = p_i \pm \frac{\sqrt{R_h^2 - x_i^2}}{\sin \delta} \quad (3.7a)$$

Pro nesousledné frézování dojde k proniku v kladné části osy  $z$  (obr. 3.3) a kořen  $z_{i1}$  z rovnice (3.5a) označme  $z'_i$ . Protože k proniku dochází ve vzdálenosti menší než  $p_i$  z rovnice (3.7a), bereme kořen  $z_{i2}$  a označme ho  $z''_i$ . Do rovnic (3.5a)

a (3.7a) se postupně dosazují hodnoty  $x_i$ . Za první approximaci  $x_0$  se volí  $R_h$ . Po výpočtu hodnot  $z'_i$  a  $z''_i$  se provádí jejich srovnání.

Musí platit

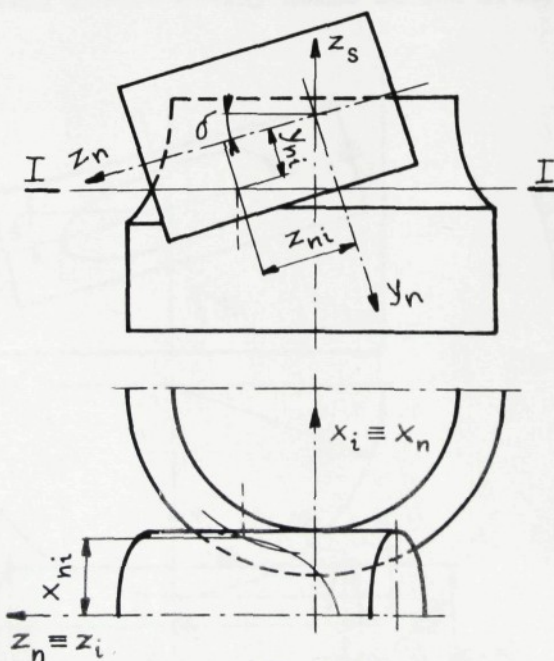
$$|z'_i - z''_i| \leq \varepsilon \quad (3.8)$$

kde  $\varepsilon$  je požadovaná přesnost výpočtu. Volí se mezi 0,01-0,001 mm, ale i větší. Pro lepší přiblížení vypočte se z obou hodnot aritmetický průměr

$$z_i = \frac{1}{2}(z'_i + z''_i) \quad (3.9)$$

Pro následné frézování je výpočet analogicky. Výběr kořenů je nutno provádět podle umístění pronikových bodů v souřadné soustavě.

Hodnoty  $x_i$  a  $z_i$  jsou uvažovány v souřadných soustavách ( $x z$ ) odpovídajících jednotlivým řezům I - I. Po určení reálných souřadnic v soustavě  $(x_n y_n z_n)$  je nutné provádět transformace. Vyjádření transformace se provede z obr. 3.4.



Obr. 3.4

$$x_{hi} = x_i$$

$$y_{hi} = \sqrt{(R_h^2 - x_i^2)} \quad (3.10)$$

$$z_{hi} = \frac{z_i + y_{hi} \sin \delta}{\cos \delta}$$

### 3.1.1.2

Spodní hranice záběrového pole ( $O-S$ )

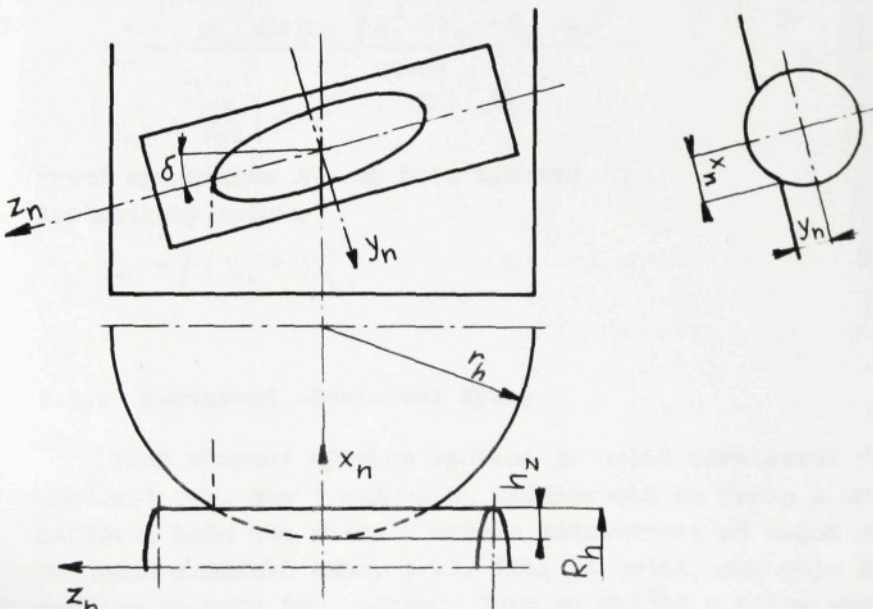
Výpočet bodů hranice se provádí stejným způsobem jako předešlé hranice. Přechodový povrch je posunut v záporném smyslu osy  $Z_S$  o velikost posuvu  $S_0$ . Řezy obrobkem a frézou jsou opět kružnice a elipsy, jiná je pouze vzdálenost středu elipsy od počátku soustavy

$$p_i = k_i \cot \delta \quad (3.11)$$

### 3.1.1.3

Hranice záběrového pole v oblasti plného válce ( $P-S$ )

Oblast  $P-S$  je částí proniku dvou válcových ploch a vychází z výsledků výpočtu hranic  $O-P$ ,  $O-S$  (obr. 3.5). V oblasti  $P-S$  se volí řezové roviny kolmé na osu frézy  $Z_h$ , tj. řežou



Obr. 3.5

frézu v kružnicích

$$x_{hi}^2 + y_{hi}^2 = R_h^2 \quad (3.12)$$

Roviny frézu jsou určeny rovnicí  $z_{hi} = \text{konst}$ , kde  $z_{hi}$  se volí v rozsahu souřadnic bodu S a P, tj.  $z_{hs}$  a  $z_{np}$ .

Řezy obrobkem jsou elipy

$$\frac{(x_{hi} - R_h - r_p)^2}{a_e^2} + \frac{(y_{hi} - z_{hi} \cot \delta)^2}{b_e^2} = 1 \quad (3.13)$$

kde hlavní poloha  $b_e = R_h / \sin \delta$  a vedlejší  $a_e = R_h$ .

Po úpravě

$$(x_{hi} - R_h - r_p)^2 + (y_{hi} \sin \delta - z_{hi} \cos \delta)^2 = R_h^2 \quad (3.14)$$

Body proniku dostaneme řešením rovnic (3.13) a (3.14) approximační metodou, přitom neznámou bude  $y$  a proměnnou  $x$ . Po řešení obdobném jako při určování horní hranice O-P obdržíme výsledné vztahy pro určení souřadnic bodů hranice P-S.

Tyto souřadnice již není třeba transformovat, protože se pracovalo v soustavě  $(x_n, y_n, z_n)$ .

Pak

$$y_{hi}' = \sqrt{(R_h^2 - x_{hi}^2)} \quad (3.15)$$

$$y_{hi}'' = \frac{z_{hi} \cos \beta - \sqrt{R_h^2 - (x_{hi} - R_h - r_p)^2}}{\sin \delta} \quad (3.16)$$

$$|y_{hi}' - y_{hi}''| \leq \epsilon \quad (3.17)$$

První approximace  $x_{hi}$  se bere hodnota  $R_h$ .

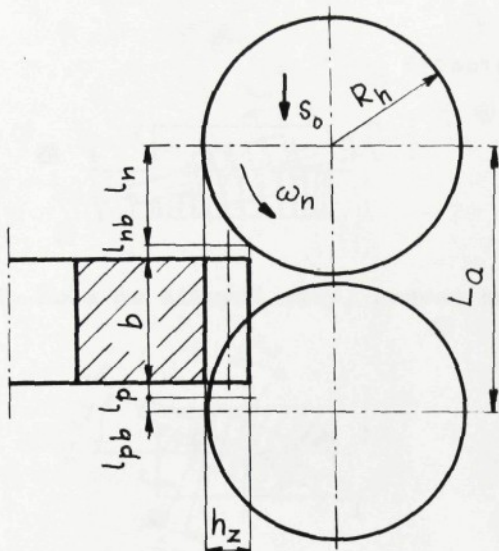
Aritmetický průměr

$$y_{hi} = \frac{1}{2} (y_{hi}' + y_{hi}'') \quad (3.18)$$

### 3.1.2 Nastavení odvalovací frézy

Před vlastní výrobou ozubení je nutné odvalovací frézu nastavit tak, aby v nejkratší vzdálenosti os frézy a obráběné součásti byla osa frézy v určité vzdálenosti od čelní roviny obráběné součásti (sbr. 3.6), čili je nutné, aby délka fréza určitou hodnotu tzv. náběhu. Tato se skládá z délky náběhu

frézy  $l_n$  a z bezpečné vzdálenosti při náběhu frézy  $l_{nb}$ . Obdobně pro úplné vyrobení zubů je nutné počítat s tzv. přeběhem, který se skládá z délky přeběhu frézy  $l_p$  a bezpečné



Obr. 3.6

vzdálenosti při přeběhu frézy  $l_{pb}$

Pak minimální délka frézování

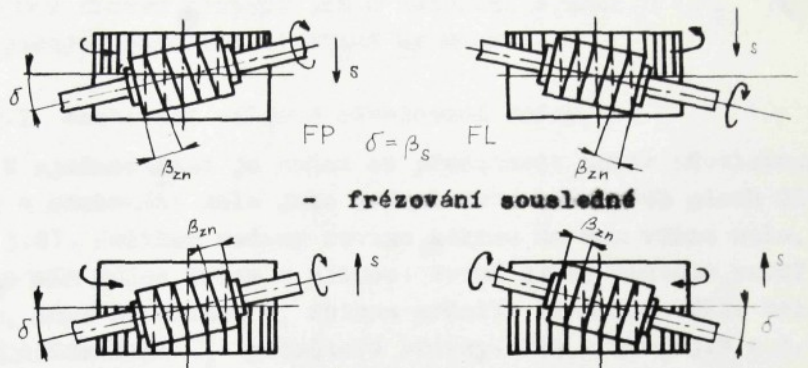
$$l_a = l_{nb} + l_n + b + l_p + l_{pb} \quad (3.19)$$

Tato délka je rozhodující i pro výpočet strojního času  $t_s$ . Jednotlivé délky se budou volit (délka  $l_{nb}$  a  $l_{pb}$ ) nebo jsou dány  $b$  nebo se vypočítají  $l_n$  a  $l_p$ . Délky  $l_n$  a  $l_p$  jsou vlastně závislé na záběrovém poli odvalovací frézy a tedy na činitelích ovlivňujících záběrové pole. Pro natočení frézy vůči osi osubeného kola existuje celkem dvacet variant (viz obr. 3.7), které lze shrnout do tří případů.

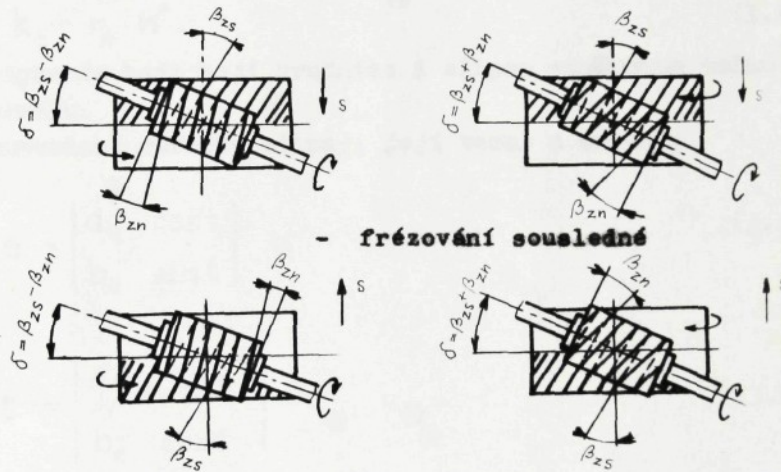
První případ je frézování čelních osubených kol s přímými zoubky, když fréza natáčíme o úhel  $\delta$  rovný úhlu stoupání šroubovice  $\beta_{zn}$  tak, aby tečna ke šroubovicí frézy byla totéž s osou zábové mazery.

Druhý případ - fréza se natáčí o úhel  $\delta = \beta_{zs} + \beta_{zn}$  při stejných smyslech sklonu zubů osubeného kola a odvalovací

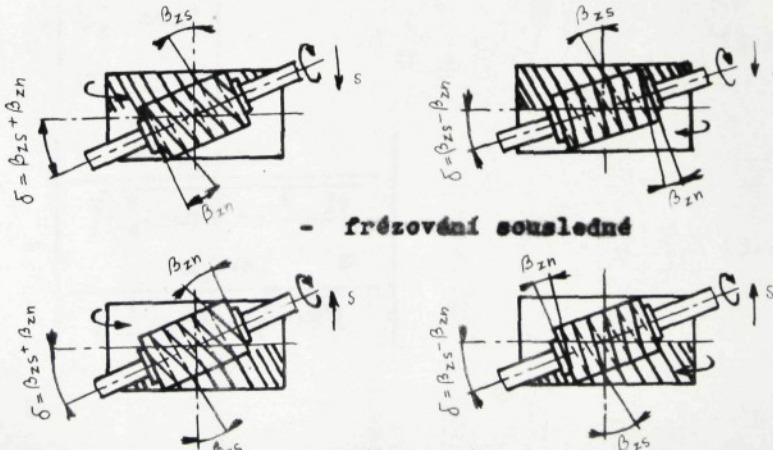
**1. Kolo s přímými zuby - frézování nesousledné  
fréza pravá**



**2. Kolo se šikmými zuby, pravou šroubevici - fr. nesousledné**



**3. Kolo se šikmými zuby, levou šroubevici - fr. nesousledné**



Obr. 3.7

frézy a v třetím případě jde o natáčení o úhel  $\delta = \beta_{zs} - \beta_{zn}$  při opačných smyslech stoupání šroubevic.

### 3.1.2.1 Nastavení válcové odvalovací frézy

V zjednodušení je možno si představit záběr odvalovací frézy a ozubeného kola jako průnik dvou válcových ploch dle obr. 3.8). Jelikož vedeme rovinu kolmou na osu válce kola, protne nám válec frézu v elipse. První záběr nastane právě tehdy, když se elipsa e, dotkne průmětu kružnice válce kola v nejnižším bodě  $T_2$  průmětové křivky. Pak z obr. 3.8 a 3.9 plyne

$$l_h = S_c \cdot \operatorname{tg} \delta \quad (3.20)$$

$$k_k = r_h \cdot n^\circ. \quad (3.21)$$

V dotykovém bodě mají kružnice i elipsa společnou tečnu i normálu.

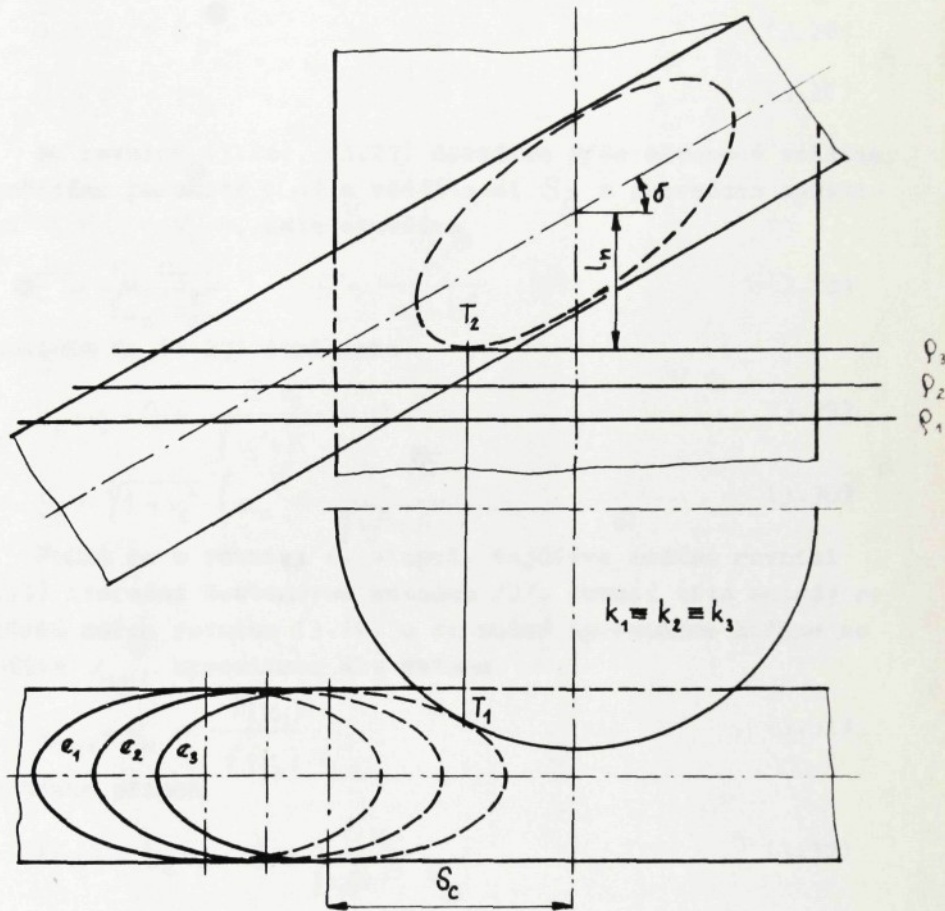
Parametrická rovnice elipsy, její tečny a normály

$$\mathbf{e} = \begin{vmatrix} a_e & \cos t \\ b_e & \sin t \end{vmatrix} \quad (3.22)$$

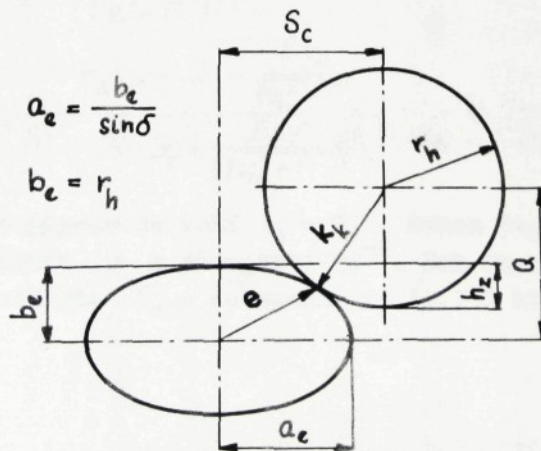
$$\mathbf{t} = \begin{vmatrix} -a_e & \sin t \\ b_e & \cos t \end{vmatrix} \quad (3.23)$$

$$\mathbf{n} = \begin{vmatrix} b_e & \cos t \\ a_e & \sin t \end{vmatrix} \quad (3.24)$$

$$\mathbf{n}^\circ = \begin{vmatrix} b_e \cos t \\ \sqrt{a_e^2 \cdot \sin^2 t + b_e^2 \cos^2 t} \\ a_e \sin t \\ \sqrt{a_e^2 \sin^2 t + b_e^2 \cos^2 t} \end{vmatrix} \quad (3.25)$$



Obr. 3.8



Obr. 3.9

pak

$$S_c = e_x + k_x \quad (3.26)$$

$$Q = e_y + k_y \quad (3.27)$$

Do rovnice (3.26), (3.27) dosadíme výše odvozené veličiny, vypočítáme parametr  $\sin t$  a vzdálenost  $S_c$  a provedeme substituci  $\sin t = v_s$ , dále označíme

$$E = \frac{r_h \cdot a_e}{\sqrt{a_e^2 + b_e^2}} \quad F = \frac{b_e^2}{a_e^2 + b_e^2} \quad (3.28)$$

dosazením do (3.27) dostaneme

$$b_e \cdot v_s - Q + \frac{E \cdot v_s}{\sqrt{v_s^2 + F}} = 0 \quad (3.29)$$

$$S_c = \sqrt{1 - v_s^2} \left( a_e + \frac{r_h \sqrt{F}}{\sqrt{v_s^2 + F}} \right) \quad (3.30)$$

Jedná se o rovnice 4. stupně. Nejdříve řešíme rovnici (3.29) iterační Newtonovou metodou /2/. Pomocí této metody se vyhledá kořen rovnice (3.29) a ze známé approximace kořene se spočítá  $v_{n+1}$  approximace dle vztahu

$$v_{n+1} = v_n - \frac{f(v_n)}{f'(v_n)} \quad (3.31)$$

Pro tento případ

$$f(v_s) = b_e v_s - Q + \frac{E v_s}{\sqrt{v_s^2 + F}} \quad (3.32)$$

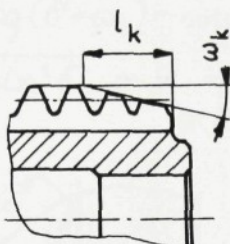
$$f'(v_s) = b_e + \frac{EF}{(\sqrt{v_s^2 + F})^3} \quad (3.33)$$

$$v_{n+1} = v_n - \frac{b_e v_n - Q - \frac{E v_n}{\sqrt{v_n^2 + F}}}{b_e + \frac{E \cdot F}{(\sqrt{v_n^2 + F})^3}} \quad (3.34)$$

Počítací approximace se volí  $v_0 = 0,5$ . Během čtyř až šesti kroků dostaneme hodnotu  $v_s$  s přesností  $10^{-6}$ . Pak dosadíme do vztahu (3.30) a vypočítáme  $S_c$  a dosazením do (3.20) hledanou hodnotu  $L_n$ .

### 3.1.2.2 Nastavení kuželové odvalovací frézy, nebo frézy s tzv. náběhovým kuželem

Postup uvedený v této kapitole se volí v těchto případech:



Obr. 3.10

- při frézování kuželovou odvalovací frézou s úhlem kužele  $10-15^\circ$  (viz kap. 2) /9/, /10/. Dále pro upravené frézy pro frézování ozubených kol se ruby ve šroubovicích o velikém sklonu ( $\beta_{zs} > 20^\circ$ ), kdy pro odlehčení prvních zubů frézy, které oddebírají veliké průřez, se fréza skosí do kužele o úhlu  $\omega_k$  (obvykle bývá  $\omega_k = 10^\circ$  na délce  $l_k = (4-5)m_n$  - viz obr. 3.10) /83/.
- obdobně při frézování kol o velkých průměrech, kdy by nedárně stoupala délka frézy, jejíž výroba by byla obtížná, je nutné provést úpravu s náběhovým kuželem o délce dvou reťazí a úhlu kužele  $\omega_k = 9-15^\circ$  /72/.

Určení náběhu fráz kuželových nebo s kuželem se provede podobným způsobem jako pro frézy válcové, jenom se bude uvažovat o pronikem kužele s válcem (viz obr. 3.11). Vede-li se kuželem frázy rovinami  $\varphi_1, \varphi_2, \dots, \varphi_n$  rovnoběžnými s čelem obrábku, pronikové elipsy  $e^1, e^2, \dots, e^n$  budou mít svou velikost. Pro řešení dotyku elipsy s kružnicí se musí stanovit parametry elipsy v závislosti na vzdálenosti vrcholu kužele od čela obráběného kola.

Z obr. 3.12 plyne:

$$0 = w \cotg(\delta + \omega_k) \quad (3.35)$$

$$P = w \cotg(\delta - \omega_k) \quad (3.36)$$

$$G = 0,5 \cdot (0 + P) = w \cdot \mu \quad (3.37)$$

$$\mu = 0,5 [\cotg(\delta + \omega_k) + \cotg(\delta - \omega_k)] \quad (3.38)$$

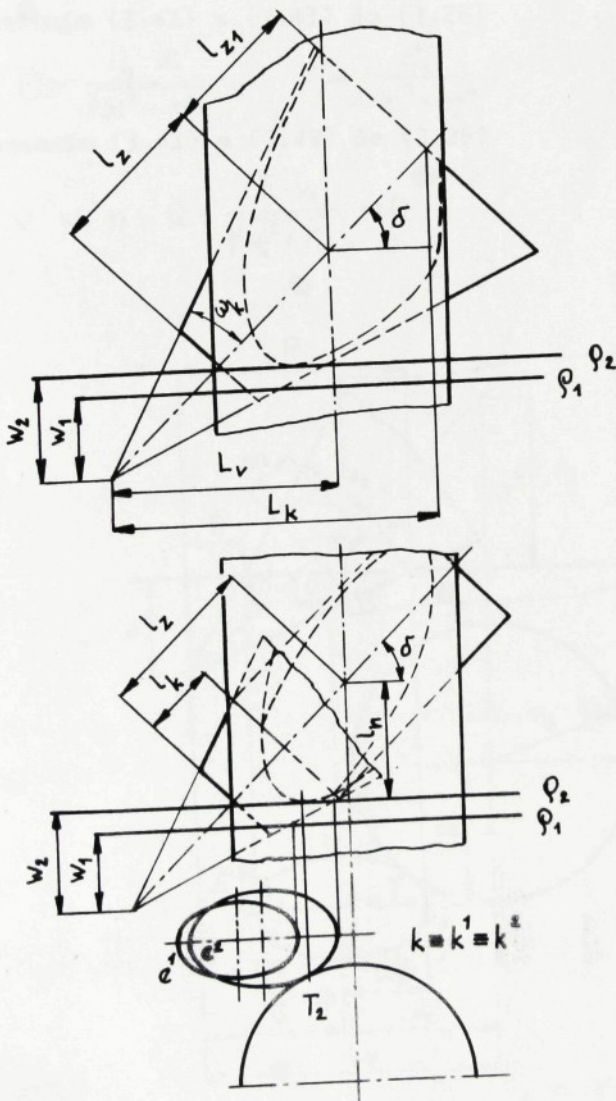
$$C = G - w \cdot \cotg \delta = w \cdot v \quad (3.39)$$

$$v = \mu - \cotg \delta \quad (3.40)$$

$$a = 0,5 \cdot (P - 0) = w \cdot x \quad (3.41)$$

$$x = 0,5 \cdot [\cotg(\delta - \omega_k) - \cotg(\delta + \omega_k)] \quad (3.42)$$

$$b = \sqrt{u^2 - c^2 \sin^2 \delta} = w \cdot \eta \quad (3.43)$$



Obr. 3.11

$$u = w \cdot \varphi \quad (3.44)$$

$$\varphi = \operatorname{tg} \omega_k (1 / \sin \delta + v \cos \delta) \quad (3.45)$$

$$\eta = \sqrt{\varphi^2 - v^2 \sin^2 \delta} \quad (3.46)$$

$$L_v - G - S_c = 0 \quad (3.47)$$

Dosazením (3.37) do (3.47)

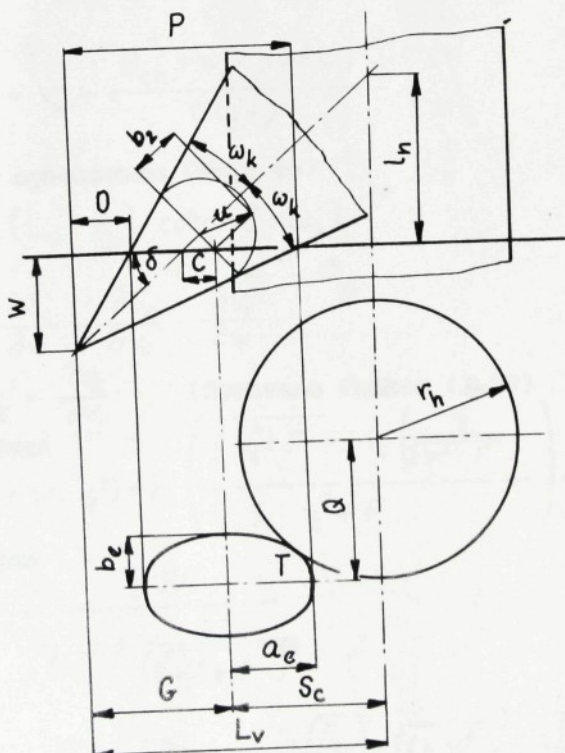
$$S_c + \mu \cdot w - L_v = 0 \quad (3.48)$$

Dosazením (3.41) a (3.43) do (3.28)

$$E = \frac{r_h \cdot x}{\sqrt{x^2 - \eta^2}}, \quad F = \frac{\eta}{x^2 - \eta^2} \quad (3.49)$$

Dosazením (3.41) a (3.49) do (3.29)

$$v \cdot w \cdot \eta - Q + \frac{E \cdot v_s}{\sqrt{v_s^2 + F}} = 0 \quad (3.50)$$



Obr. 3.12

Dosazením (3.41) a (3.49) do (3.30)

$$S_c = \sqrt{1 - v_s^2} \left( w \cdot x + \frac{r_h \sqrt{F}}{\sqrt{v_s^2 + F}} \right) \quad (3.51)$$

zádá frézy

$$L_h = (S_c + C) \cdot \operatorname{tg} \delta \quad (3.52)$$

dosazením (3.39)

$$L_h = (S_c + w \cdot v) \cdot \operatorname{tg} \delta \quad (3.53)$$

Je nutné spočítat vzdálenost středu kružnice a elipsy, které se dotýkají v bodě T a vzdálenost vrcholu kuželet od čela obrubky. Hodnota  $S_c$  je závislá na  $v_s$  a  $w$ .

Pro řešení rovnic použijeme Newtonovou metodu /2/.

Pok

$$f(w) = S_c + \mu \cdot w - L_v \quad (3.54)$$

derivace

$$f'(w) = S_c' + \mu \neq 0 \quad (3.55)$$

$$w_{n+1} = v_h - \frac{S_{cn} + w_n \cdot \mu - L_v}{S_c' + \mu} \quad (3.56)$$

Počáteční approximace (volí se)

$$w_0 = (L_v - r_h) \cdot \operatorname{cotg}(\delta - \omega_k) \quad (3.57)$$

derivace

$$S_c' = \frac{\partial S_c}{\partial w} = \frac{\partial S_c}{\partial v_s} \cdot \frac{\partial v_s}{\partial w}, \quad (3.58)$$

kde :  $v_s' = \frac{\partial v_s}{\partial w}$  (derivace funkce (3.50))

po provedení

$$\eta(v_s + w \cdot v_s') + E \left( \frac{\sqrt{v_s^2 + F} - v_s \left( \frac{v_s}{\sqrt{v_s^2 + F}} \right)}{v_s^2 + F} \right) \cdot v_s' = 0 \quad (3.59)$$

odstavplyme

$$v_s' = \frac{\eta \cdot v_s}{\eta \cdot w + \frac{EF}{(\sqrt{v_s^2 + F})^3}} \quad (3.60)$$

$$\frac{\partial S_c}{\partial v_s} = - \frac{v_s}{\sqrt{1 - v_s^2}} \left( w x + \frac{r_h \sqrt{F}}{\sqrt{v_s^2 + F}} \right) + \sqrt{1 + v_s^2} \cdot \frac{r_h \sqrt{F} \cdot v_s}{(\sqrt{v_s^2 + F})^3} \quad (3.61)$$

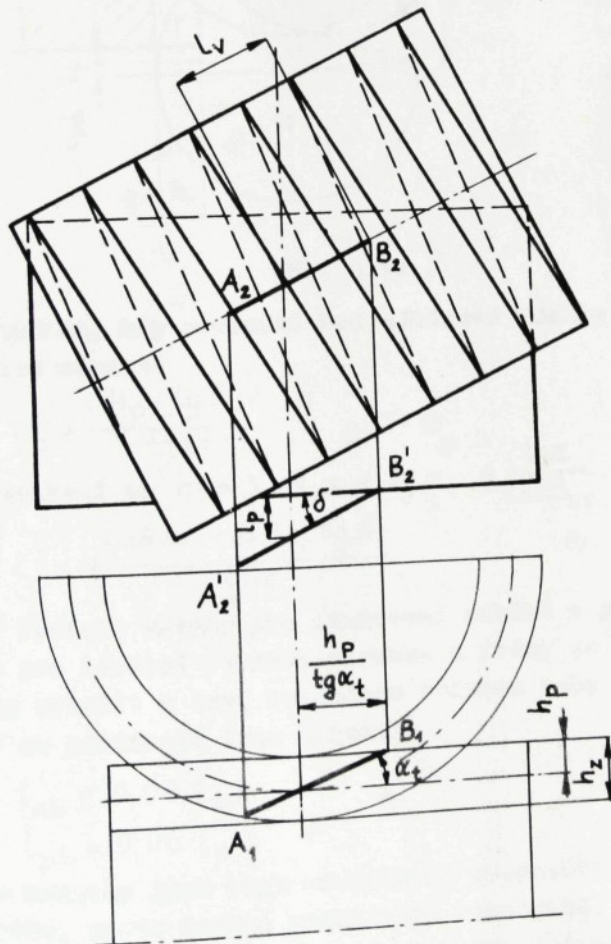
Dosazením vztahů (3.60) a (3.61) do (3.58) dostaneme konečný vztah pro derivaci  $S'_c$ . Jeou-li s dostatečnou přesností vypočteny hodnoty  $v_s$  a  $w$  a tedy i  $S_c$  dosadí se do (3.53) a vypočte hodnota náběhu.

Pro výpočet hodnoty náběhu je nezbytné spočítat hodnotu  $L_v$ , která určuje vzdálenost vrcholu kuželet od středu stroje.

$$L_v = \left( \frac{d_h}{2 \operatorname{tg} \omega_k} + l_z - l_k \right) \cos \delta \quad (3.62)$$

Pro případ kuželevých fréz je nutné znát nastavení frézy, tj. hodnotu  $l_z$  (viz obr. 3.11), pak

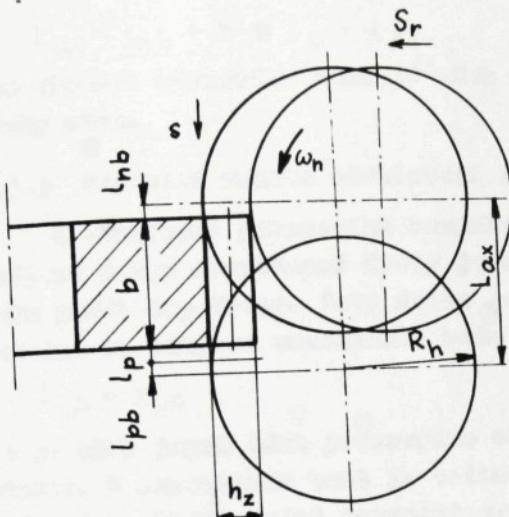
$$L_v = \left( \frac{d_{h\min}}{2 \operatorname{tg} \omega_k} + l_z \right) \cos \delta \quad (3.63)$$



Obr. 3.11

### 3.1.2.3 Stanovení přeběhů odvalovacích fréz při frézování čelních ozubených kol

Při výpočtu se vychází ze záběru hřebene základního profilu s ozubeným kolem (viz obr. 3.13 půdorys). K záběru dochází na záběrové úsečce AB. Hodnota přeběhu se počítá



Obr. 3.14

v ohodziku, kdy poslední bod záběrové úsečky je ještě v záběru.  
Pak lze napsat

$$l_p = \frac{h_p \cdot \operatorname{tg} \delta}{\operatorname{tg} \alpha t} \quad (3.64)$$

Po dosazení za  $h_p = 1,25 m$  a  $\operatorname{tg} \alpha_t = \frac{\operatorname{tg} \alpha}{\cos \beta_{zs}}$

bude

$$l_p = \frac{1,25 m \cdot \cos \beta_{zs} \operatorname{tg} \delta}{\operatorname{tg} \alpha} \quad (3.65)$$

Protože vztahy pro stanovení náběhů a přeběhů jsou uvažovány pro ideální rozměry obrobku a frézy je nutné vypočtené délky světlat o tav. bezpečnou hodnotu nebo toleranci. V praxi /1a/ se používají tyto hodnoty

(3.66)

$$l_{nb} = 0,08 l_n \quad (3.67)$$

$$l_{pb} = 0,06 l_p$$

Tyto hodnoty jsou však závislé na přesnosti výroby v tom kterém podniku, proto mají použitelné všeobecně.

V praxi existují i jiné typy pracovních cyklů než jak bylo naznačeno na obr. 3.6, např. cyklus s kombinací radiálního

a axiálního posunu (obr. 3.14), kdy osa frézy se nastaví na úroveň vrchního (nebo spodního) čela osubeného kola a nejdříve se frézuje radiálně, pak axiálně. V tomto případě je výpočet násobnou i přeběhu tetočiny a počítají se dle vztahu (3.53). Pak celková délka frézování ve směru osy kola

$$L_{ax} = l_{nb} + b + l_p + l_{pb} \quad (3.68)$$

Pro výpočet etrojního času je však nutné uvažovat i hodnotu výšky zuba.

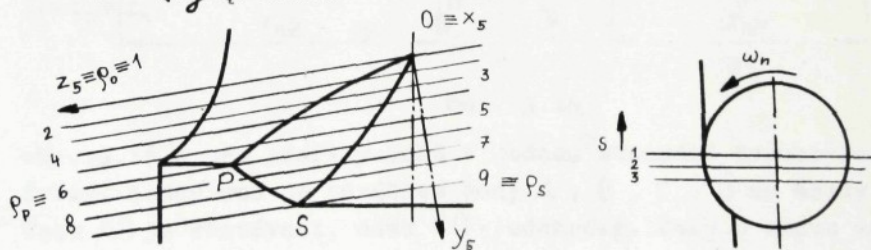
### 3.1.3 Pracovní rozsah odvalovací frézy

K stanovení pracovního rozsahu odvalovací frézy a určení osnovní délky odvalovací frézy je nutné snít délku eděrového pole podél osy frézy. Tato délka je pro frézování nasuvadné tetočiny a setovou souřadnicí bodu P

$$l_{zp} = Z_{hp} \quad (3.69)$$

To je však jenom část pracovního rozsahu a to na vloživací straně. V centrálním bodě je velká část zubové masy již odfrézována. Zbylá ještě vytvořit profil odvrácené strany zubové masy, tj. odbrat materiál zubové masy odpovídající záběru po druhé části desky (obr. 3.13). Tato část lze vyjádřit vztahem

$$l_v = \frac{h_p}{(\operatorname{tg} \alpha_t + \cos \sigma)} \quad (3.70)$$



Obr. 3.15

Celkový pracovní rozsah odvalovací frézy pak bude

$$l_c = l_{zp} + l_v \quad (3.71)$$

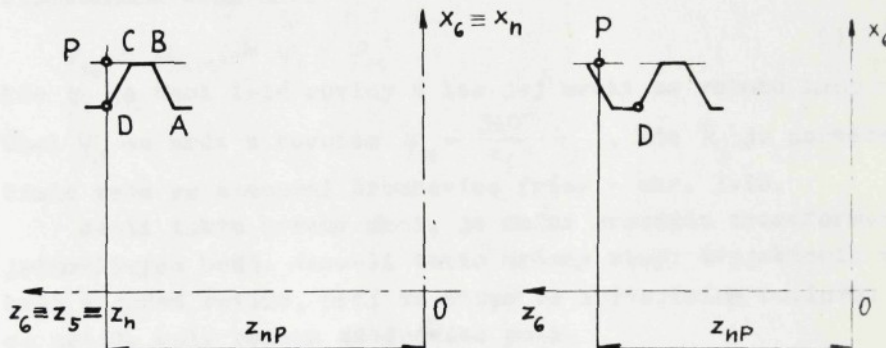
### 3.1.4 Analytické určení rozměrů třísek při odvalovacím frézování

Vzhledem k tomu, že zde bude pouze pouze metódika výpočtu aplikace bude prováděna na lichoběžníkovém profilu zuba nástroje

tj. na odvalovací fréze na evolventní ozubení. Při výpočtu průřezu třísek u jednotlivých zubů vycházíme z kinematických vztahů mezi součástí a nástrojem. Metodiku výpočtu rozměrů třísky popsal Sulzer /75/, úplné řešení však nebylo k dispozici a tak bylo doplněno autorem i podle dalších pramenů /51/, /77/.

Výpočet průřezu třísek je založen na modelování frézování jedné zubové mezery odvalovacím způsobem. Frézování dalších mezér je analogické. Tvar i velikost třísky jsou dány profilem nástroje, tvarem a rozměry záběrového pole. Výpočet je zaměřen především na nesousledné frézování.

Vyjdeme z obr. 3.15 a vzdálenost mezi body O-S rozdělíme přiměřeným počtem řezových rovin  $\beta_0, \beta_1, \dots, \beta_p, \dots, \beta_s$ . Roviny jsou vedeny rovnoběžně s osou frézy a rovina  $\beta_0$  prochází bodem O. Výpočet se dále provádí u toho profilu zuba, který je nejbliže bodu P a leží celý v záběrovém poli -

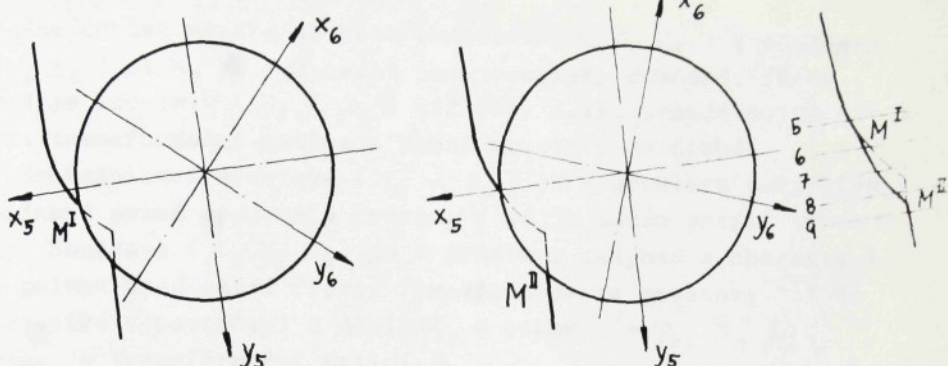


Obr. 3.16

obr. 3.16 a pro profily zubů v jednom stoupání šroubovice frézy. Každý zub je rozdělen body A, B, C, D na úseky. Úsek AB je vřezávací, úsek CD - odchodný. Boky a hlavu zuba rozdělíme na další dostatečně malé úseky (asi po 0,1 - 1 mm, nebo i jinak).

Pak sledujeme trajektorie jednotlivých takto zvolených bodů. Pro výpočet je potřeba znát stopy těchto trajektorií v jednotlivých řezových rovinách viz obr. 3.15 a 3.17.

Určíme vstupní bod  $M^I$  a výstupní bod  $M^{II}$ . Potom stačí libovolný bod  $M(x_6^i, y_6^i, z_6^i)$  transformovat do několika řezových rovin ležících mezi body  $M^I$  a  $M^{II}$  (na obr. 3.17 jsou to roviny 6, 7, 8).



Obr. 3.17

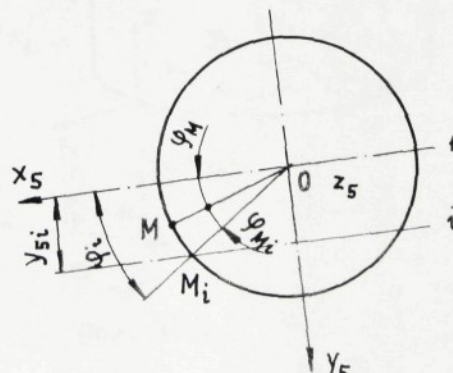
Transformují-li se souřadnice jednoho bodu do různých rovin (při jednom modelu odvalovacího frézování) mění se v transformační matici jenom hodnoty úhlu  $\varphi_{56}$  nebo hodnoty na něm závislé. Do transformačních matic se tedy dospouje kromě souřadnic sledovaného bodu úhel

$$\varphi_{56} \equiv \varphi_{56M_i} = \varphi_i - \varphi_M \quad (3.72)$$

kde  $\varphi_i$  je úhel i-té roviny a lze jej určit ze vztahu  $\sin \varphi_i = \frac{y_{5i}}{r_h}$ . Úhel  $\varphi_M$  se určí z rovnice  $\varphi_M = \frac{360^\circ}{z_f} \cdot k_j$ , kde  $k_j$  je pořadové číslo zuba ve stoupání šroubovice frézy - obr. 3.18.

Je-li takto určený úhel, je možné provést transformace jednotlivých bodů. Jsou-li takto určeny stopy trajektorií všech bodů v jedné rovině, určí se stopy ve zbývajících rovinách až se projde celý rozsah záběrového pole.

Než však budou provedeny transformace, je nutné zavedení souřadnicových soustav.



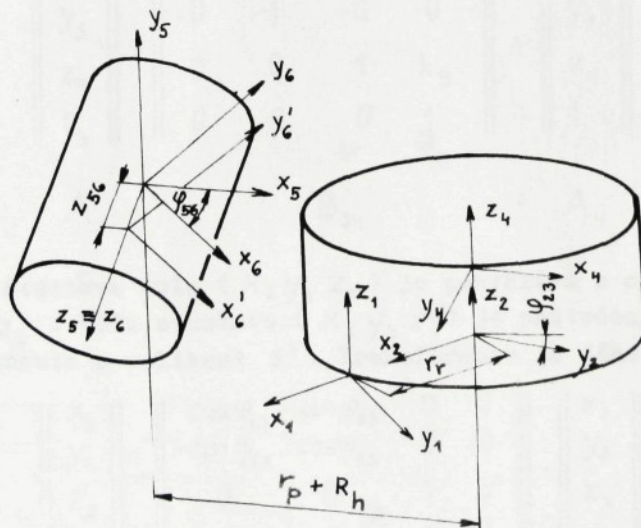
Obr. 3.18

Přiřadme zubové mezeře na kole soustavu  $(x_1, y_1, z_1)$  a soustavy  $(x_5, y_5, z_5)$ ,  $(x_6, y_6, z_6)$  nechť jsou soustavy pomocné, fréze přiřadíme soustavu  $(x_6, y_6, z_6)$  viz obr. 3.19, pak je možné vyjádřit transformační matici z jedné soustavy do druhé.

Souřadnicová soustava  $(x_6, y_6, z_6)$  je v prostoru pohyblivá a současně pevně spojená s frézou. V ní je zadán profil zuba frézy. Soustava  $(x_5, y_5, z_5)$  je v prostoru nehybná a charakterizuje polohu bodů ostří frézy. Transformace ze soustavy "6" do "5" spočívá v pootočení o úhel  $\varphi_{56}$  a posuv  $s' = \varphi_{56} \cdot R_h \cdot \operatorname{tg} \delta$ . Popsána je transformační maticí  $B_{56}$ .

$$\begin{vmatrix} x_5 \\ y_5 \\ z_5 \\ t_5 \end{vmatrix} = \begin{vmatrix} \cos \varphi_{56} & -\sin \varphi_{56} & 0 & 0 \\ \sin \varphi_{56} & \cos \varphi_{56} & 0 & 0 \\ 0 & 0 & 1 & s' \\ 0 & 0 & 0 & 1 \end{vmatrix} \cdot \begin{vmatrix} x_6 \\ y_6 \\ z_6 \\ 1 \end{vmatrix}$$

$$A_5 = B_{56} \cdot A_6 \quad (3.73)$$



Obr. 3.19

V prostoru nehybná souřadnicová soustava  $(x_4 y_4 z_4)$  je vzhledem k soustavě  $(x_5 y_5 z_5)$  posunuta o osovou vzdálenost  $R_h + r_p$  ve směru osy  $x_5$  a pootočena o úhel  $(90^\circ + \delta)$ . Transformaci vyjadřuje matici  $B_{45}$

$$\begin{vmatrix} x_4 \\ y_4 \\ z_4 \\ t_4 \end{vmatrix} = \begin{vmatrix} 1 & 0 & 0 & -(R_h + r_p) \\ 0 & -\sin\delta & \cos\delta & 0 \\ 0 & -\cos\delta & -\sin\delta & 0 \\ 0 & 0 & 0 & 1 \end{vmatrix} \cdot \begin{vmatrix} x_5 \\ y_5 \\ z_5 \\ 1 \end{vmatrix}$$

$$A_4 = B_{45} \cdot A_5 \quad (3.74)$$

Pomecená soustava kola  $(x_3 y_3 z_3)$  je vzhledem k soustavě  $(x_4 y_4 z_4)$  posunuta o velikost  $k_B$  v záporném směru osy  $z_4$  a pootočena o  $180^\circ$  kolem osy  $z_4$ . Vzdálenost  $k_B$  udává polohu počátku souřadné soustavy frézy vůči počátku souřadné soustavy kola podél jeho osy. Je závislá na daném okamžiku frézování, tzn. že závisí na šířce kola  $B$  a počtu otočení, které obrobek učinil do daného okamžiku. Transformace je popsána maticí  $B_{34}$

$$\begin{vmatrix} x_3 \\ y_3 \\ z_3 \\ t_3 \end{vmatrix} = \begin{vmatrix} -1 & 0 & 0 & 0 \\ 0 & -1 & 0 & 0 \\ 0 & 0 & 1 & k_B \\ 0 & 0 & 0 & 1 \end{vmatrix} \cdot \begin{vmatrix} x_4 \\ y_4 \\ z_4 \\ 1 \end{vmatrix}$$

$$A_3 = B_{34} \cdot A_4 \quad (3.75)$$

Soustava kola  $(x_2 y_2 z_2)$  je pohyblivá a otáčí se kolem osy  $z_2$ . Vůči soustavě  $(x_3 y_3 z_3)$  je pootočena o úhel  $\varphi_{23}$  a posunuta o velikost  $s''$ . Transformace je dáná maticí  $B_{23}$

$$\begin{vmatrix} x_2 \\ y_2 \\ z_2 \\ t_2 \end{vmatrix} = \begin{vmatrix} \cos\varphi_{23} & \sin\varphi_{23} & 0 & 0 \\ -\sin\varphi_{23} & \cos\varphi_{23} & 0 & 0 \\ 0 & 0 & 1 & s'' \\ 0 & 0 & 0 & 1 \end{vmatrix} \cdot \begin{vmatrix} x_3 \\ y_3 \\ z_3 \\ 1 \end{vmatrix}$$

$$A_2 = B_{23} \cdot A_3 \quad (3.76)$$

Úhel pootočení obrobku  $\varphi_{23}$  je závislý na úhlu natočení frézy - pohyby frézy a obrobku jsou ve stroji vzájemně spřaženy a platí pro ně převodový poměr

$$n_k / n_n = i_n / z_k$$

Vzhledem k tomu, že otáčky jsou přímo úměrné úhlové rychlosti je i úhel  $\varphi$  přímo úměrný úhlové rychlosti  $\omega$ , lze tedy psát

$$\frac{i_n}{z_k} = \frac{\varphi_k}{\varphi_n} = \frac{\varphi_{23}}{\varphi_{56}} \quad (3.77)$$

z čehož plyne závislost úhlu natočení obráběného kola  $\varphi_{23}$  na úhlu natočení frézy  $\varphi_{56}$

$$\varphi_{23} = \varphi_{56} \frac{i_n}{z_k} \quad (3.78)$$

Velikost posunutí  $S''$  je závislá na posuvu na otáčku kola  $s_0$ .

$$S'' = \frac{\varphi_{23}}{360^\circ} \cdot s_0 = \frac{i_n \cdot \varphi_{56}}{360^\circ \cdot z_k} \cdot s_0 \quad (3.79)$$

Pohyblivá souřadnicová soustava zuba kola  $(x_1, y_1, z_1)$  je vzhledem k soustavě  $(x_2, y_2, z_2)$  posunuta o velikost poloměru roztečné kružnice  $r_r$  v kladném směru osy  $x_2$ . Transformace soustav je popsána maticí  $B_{12}$ .

$$\begin{vmatrix} x_1 \\ y_1 \\ z_1 \\ t_1 \end{vmatrix} = \begin{vmatrix} 1 & 0 & 0 & -R_r \\ 0 & 1 & 0 & 0 \\ 0 & 0 & 1 & 0 \\ 0 & 0 & 0 & 1 \end{vmatrix} \cdot \begin{vmatrix} x_2 \\ y_2 \\ z_2 \\ 1 \end{vmatrix}$$

$$A_1 = B_{12} \cdot A_2 \quad (3.80)$$

Celkovou transformaci ze soustavy "6" do "1" dostaneme násobením matic typu  $B_{ij}$ . Vzhledem k tomu, že se jedná o prostorové transformace, mají matice  $B_{ij}$  čtyři sloupcové vektory. První tři vyjadřují pootočení, čtvrtý posunutí. Pro dodržení pravidla o počtu řádků a sloupců násobených matic je čtvrtý řádek dopsán řádkovým vektorom  $(0, 0, 0, 1)$ . Tím se hodnota matice nezměnila a předpoklad pro násobení matic je dodržen.

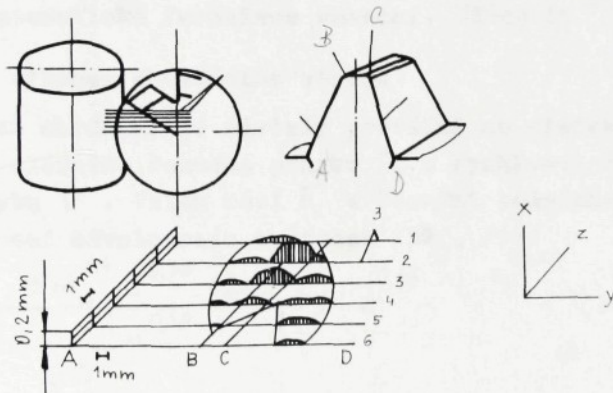
## Celková transformace

$$A_1 = B_{12} \cdot B_{23} \cdot B_{34} \cdot B_{45} \cdot B_{56} \cdot A_6 \quad (3.81)$$

### 3.1.4.1 Grafické vyhodnocování rozměrů třísek

V uvedeném výpočtu rozměrů třísek se určovaly stopy trajektorií všech bodů v jednotlivých rovinách. To však nedává představu o rozměrech třísky. Ty získáme tak, že rozdíl trajektorií dvou po sobě jdoucích zubů vyhodnotíme. Tím získáme průřez třísky pro jeden zub odvalovací frézy.

Pro ucelenou představu o vzniku a rozměrech třísky je vhodné grafické znázornění. Do soustavy souřadnic ( $x$ ,  $y$ ,  $z$ ) vynášíme odpovídající hodnoty, tj. na osu  $z$  polohu jednotlivých řezů a tedy i délky třísky, na osu  $y$  polohu zuba a tedy i šířky třísky; na osu  $x$  tloušťky třísky viz obr. 3.20. Pro každý záběr zuba lze zakreslit samostatný graf. Soubor grafů pro jednu zubovou mezeru poskytuje ucelený obraz o úběru třísky



Obr. 3.20

jednotlivými břity. Z toho lze usuzovat jednak na namáhání /75/, ale také lze úspěšně ovlivňovat profil zuba frézy a odstraňovat nepříznivé podmínky řezání v zubové mezeře např. rozdělením třísek na dvě části.

### 3.2 Optimální řezné podmínky

Řezný proces a jeho zákonitosti je možno vyjádřit matematickým modelem, tj. soustavou matematických rovnic a nerovností, které vytváří omezující podmínky tohoto procesu. Při určování možných omezení lze zařadit pouze ta, která jsou pro daný typ obrábění nezbytná. Naopak nedostatečná matematická formulace vede k zúžení oblasti přípustných řešení i k neřešitelnosti úlohy. Soustava omezujících podmínek bude zahrnovat vztahy mezi jednotlivými činiteli řezného procesu.

Jsou to zejména omezení daná :

- obráběcím strojem ( výkonem, rozsahem otáček a posuvů)
- řezným nástrojem ( jeho geometrií a materiálem)
- obráběné součásti ( druhem obráběného materiálu)
- požadavky kladenými na výsledek obráběcího procesu (rozměrová a tvarová přesnost, kvalita obrobene plochy, minimální náklady na výrobu, maximální produktivita apod.).

#### 3.2.1 Matematická formulace omezení, které je

- a) dané výkonem obráběcího stroje

Výkon obrábění je závislý převážně na složce řezné sily ve směru hlavního řezného pohybu  $F_v$  a rychlosti hlavního řezného pohybu  $v$ . Vztah mezi  $F_v$  a řeznými podmínkami pro frézování ozubení odvalovacím způsobem /52/, /55/

$$F_v = \frac{15 m_n^{1,14} \cdot s^{0,35} \cdot t_{ue}^{0,12} \cdot c_g \cdot e^{0,65 \cdot x_f \cdot z_k^{-0,35}}}{v^{0,28}} \cdot 9,81 \cdot c_w \quad (3.82)$$

$$F_v \leq \frac{P_s \cdot \eta}{60 \cdot v_{op}} ; \quad (3.83)$$

kde

$$v_{op} = \frac{\pi \cdot D_{fr} \cdot n_{op}}{1000} . \quad (3.84)$$

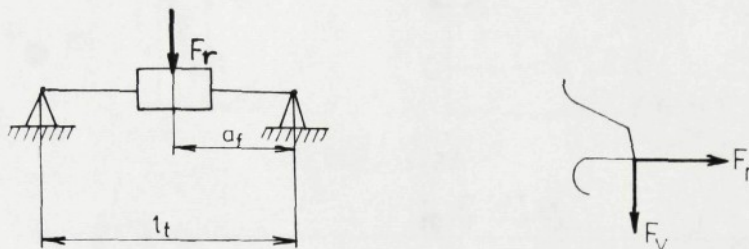
Porovnáním pravých stran rovnic (3.82) a (3.83) dostaneme omezující podmítku z hlediska výkonu obráběcího stroje :

$$S_{op}^{0,35} \cdot n_{op}^{0,72} \leq b_1 \quad (3.85)$$

kde

$$b_1 = 25,85 \frac{P_s \cdot \eta}{D_{fr}^{0,72} \cdot m_h^{1,4} \cdot t_u^{0,012} \cdot c_g \cdot e^{0,65 \cdot x_f \cdot z_k^{-0,35}} \cdot c_w} \quad (3.86)$$

$$t_u = \frac{\text{hloubka úběru}}{m_h} \cdot 10 \quad (10\%) .$$



Obr. 3.21

- b) dané tuhostí vřetene a přesnosti tloušťky zuba  
na roztečné kružnici

Upnutí odvalovací frézy na vřetenu si lze představit jako nosník o dvou podporách zatěžovaný osamělou silou (obr. 3.21). Z rozkladu sil na břitu zuba odvalovací frézy plyne, že průhyb vřetene způsobuje převážně radiální složku řezné sily  $F_r$  (obr. 3.21)

$$y_{F_r} = \frac{F_r \cdot a_f^2 (l_t - a_f)^2}{3 \cdot E \cdot I l_t} \quad (3.87)$$

Hodnota průhybu nesmí překročit toleranci tloušťky zuba.

Protože se jedná o malé průhyby můžeme při výpočtu vycházet z obr. 3.22, ve kterém je evolventa nahrazena přímkou.

Radiální složka řezné sily

$$F_r = k_F \cdot F_v = 0,5 F_v \quad (3.88)$$

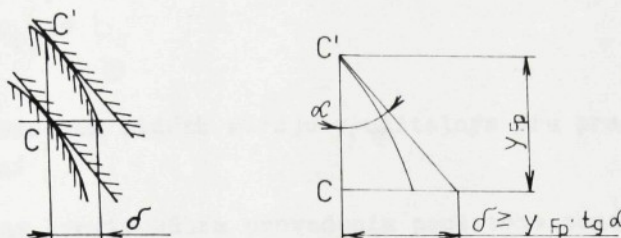
$$k_F \doteq 0,5$$

Moment setrvačnosti pro kruhový průřez

$$I = \frac{\pi d^3}{64} \quad (3.89)$$

Po dosazení a úpravě dostaneme omezující podmítku charakterizující pevnost a konstrukční uložení vřetene ve vztahu k rozměrové

$$\text{přesnosti} \quad s_{op}^{0,35} \cdot n_{op}^{-0,28} \leq b_2 \quad (3.90)$$



Obr. 3.22

$$b_2 = 83,7 - \frac{l_t \cdot \delta_s \cdot d^4 \cdot D_{fr}}{\operatorname{tg} \alpha \cdot a_F^2 \cdot (l_t - a_F)^2 \cdot m_n^{1,4} \cdot t_u e^{0,012} \cdot c_g \cdot e^{0,65 \cdot x_f \cdot z_k^{-0,35}} \cdot c_w} \quad (3.91)$$

c) dané hospodárnou řeznou rychlostí

Pro odvalovací frézování platí vztah /18/

$$T = \frac{c_T}{v_m \cdot m_n^r \cdot s^{y_r}} \quad (3.92)$$

Za řeznou rychlosť  $v$  můžeme dosadit  $v_{op}$  ze vztahu (3.84).

Použitím Tayloroveho vztahu obdržíme funkční závislost mezi řeznou rychlostí a trvanlivostí nástroje

$$v_{op} = \frac{c_v}{T_{op}^{1/m}} \quad (3.93)$$

Slečením rovnic (3.84) a (3.93) dostaneme omezení dané řeznou rychlostí

$$n_{op} = b_3 \frac{1}{T_{op}^{1/m}} \quad (3.94)$$

$$b_3 = 318,3 \cdot \frac{c_v}{D_{fr}} \quad (3.95)$$

d) dané rozsahem posuvů obráběcího stroje

$$s_{op} \geq s_{minf} = b_4 \quad (3.96)$$

Posuv není omezen horní hranicí, protože zde není uvažována dranost povrchu.

- e) dané maximální přípustnou drsností povrchu boků zubů obrobku

Omezení hodnoty posuvu z tehotě hlediska je možné provést dle vztahu

$$s_{op} \leq s_{Ra} = b_5 \quad (3.97)$$

- f) dané rozsahem otáček stroje využitelným pro proces obrábění

Je dáno konstrukčním provedením použitého obráběcího stroje a vyjadřuje spolu s výkonem a rozsahem posuvů provozní podmínky obráběcího stroje

$$n_{op} \geq n_{minf} = b_6 \quad (3.98)$$

$$n_{op} \leq n_{maxf} = b_7 \quad (3.99)$$

- g) dané velikosti obráběné součásti

Z hlediska přesnosti výrobku (ozubeného kola) není možné provádět výměnu nástroje na rozpracované operaci součásti, případně sadě součástí. Optimální trvanlivost by tedy měla být násobkem strojního času, který pro odvalovací frézování má tvar

$$t_s = \frac{z_k \cdot L_a}{i_h \cdot n \cdot s} \quad (3.100)$$

Stanovení délky  $L_a$  lze provést dle vztahu (3.19) nebo (3.68) pak

$$T_{op} = k_t \cdot t_s \quad (3.101)$$

kde  $k_t = (1, 2, \dots, n)$  celé čísla.

Vytvoření této závislosti je vhodné i z hlediska plynulosti vlastní výroby ozubených kol, což je dáno požadavkem určitého počtu výměn nástroje během pracovní směny. Přichází do úvahy hlavně u strojů v obráběcí linii.

Pak závislost trvanlivosti na strojním čase

$$T_{op} \geq t_s \frac{z_k \cdot L_a}{i_h \cdot n \cdot s} \quad (3.102)$$

Upravením dostaneme omezení dané velikosti obrobku

$$n_{op} \cdot s_{op} \geq b_g \cdot T_{op}^{-1} \quad (3.103)$$

kde

$$b_g = \frac{z_k \cdot L_a}{i_n} \quad (3.104)$$

Předchozí požadavek může vyvolat potřebu volby trvanlivosti blížící se trvanlivosti optimální, pak vztah (3.103) dostane následující podobu

$$n_{op} \cdot s_{op} \geq b_g \cdot T_v^{-1} = b_q \quad (3.105)$$

Volbou trvanlivosti je však nutné při řešení přejít od lineárního parametrického programování k lineárnímu, kde není možné zkoumat vliv změny trvanlivosti jakožto činitele zahrnutého do formulace úkolu pro dosažení optimálního řešení.

### 3.2.2 Kriterium optimálnosti

Pro stanovení nejvýhodnější varianty řezních podmínek je možné použít tato kriteria: minimální náklady, maximální produktivita, maximální zisk. Vzhledem k tomu, že je snaha, aby výrobní náklady byly co nejmenší bude nejvýhodnější použit kriterium optimálnosti z hlediska minimálních nákladů.

Vlastní náklady na jednici výroby lze vyjádřit vztahem

$$\begin{aligned} N_{cj} &= t_s \frac{M_s}{60} \left( 1 + \frac{R_s}{100} \right) + t_{pz} \frac{t_s \cdot M_s}{T \cdot 60} \left( 1 + \frac{R_s}{100} \right) + \\ &+ t_o \frac{t_s}{T} \frac{M_o}{60} \left( 1 + \frac{R_o}{100} \right) + \frac{t_s}{T} \cdot \frac{N_h}{(n_o + 1)} \end{aligned} \quad (3.106)$$

Pro cenu nástroje  $N_h$  platí vztah (4.7).

Po dosazení vztahu (3.100) a po úpravě dostaneme tzv. kriteriální nebo účelovou funkci

$$N_{cj} = \frac{K_1}{n \cdot s} + \frac{K_2}{n \cdot s \cdot T} \quad (3.107)$$

Optimální řezné podmínky jsou tedy závislé na řezné rychlosti, posuvu a trvanlivosti mezi nimiž existuje určitá vzájemná vazba.

#### 4. TVOREBA TECHNOLOGICKÉHO POSTUPU VÝROBY ODVALOVACÍCH FRÉZ POMOCÍ POČÍTAČE

##### 4.1 Současný stav navrhování technologických postupů speciálních řezných nástrojů

Sestavování technologických postupů se vyvíjelo na základě praktických zkušeností a pravidla byla formulována pouze jako všeobecné předpisy platné pro hrubě vyčleněné typy výrob - kusevou, sériovou, hromadnou apod. Pro racionalizaci práci technologů byly později vytvořeny tzv. typové a skupinové výrobní postupy /50/, /74/. Tyto metody jsou však pro dnešní stav obrábění již zastaralé. Proto byly v poslední době zavedeny metody využívající pro tyto účely číslicových počítačů /20/, /41/, /88/.

Technologický postup obsahuje tyto kroky:

- 1) Seznámení s dílenským výkresem a technickými podmínkami výroby.
- 2) Volba ustavovacích a upínacích základen při obrábění.
- 3) Sestavení postupu výroby na postupovém technologickém listě.
- 4) Stanovení mezioperačních rozměrů a tolerancí, volba druhu a rozměru polotovaru.
- 5) Sestavení postupových listů pro jednotlivé operace.
- 6) Volba stroje, nástrojů, přípravků a měřidel.
- 7) Technické normování.

Technolog při sestavování postupu výroby musí víc či méně podrobně rozpracovat uvedené body, závisí to na druhu výroby. V praxi to znamená, že postup pro řezný nástroj obsahuje popis úkonné operace, druh stroje, celkový normovaný čas a mzdou na operaci. Důkladný technologický postup by trval velmi dlouho, což by se premitlo i do ceny nástroje.

Pro většinu druhů speciálních řezných nástrojů je možné stanovit typový postup, který z hlediska posleupnosti práce bude pro tyto nástroje stejný. Obsahuje tyto práce: - příprava polotovaru, vytvoření hrubého tvaru nástroje, vytvoření zubových drážek, tepelné zpracování, broušení příslušných ploch nástroje, ostření břitů, označení typu nástroje. Odlišnosti při výrobě jednotlivých druhů nástrojů vznikají jen ze způsobu jakým se uvedené práce vykonávají, na jakém stroji a jakým nástrojem. Dokladem, že je tomu tak, je i technologický

postup výroby monolitní edvalovací frézy, který se skládá z těchto operací /65/:

- 1) Řezání poletovaru.
- 2) Kování, žihání, moření.
- 3) Hrubovací soustružnické operace (vrtání upínacích otvorů, soustružení čel, vytvoření odlehčení v upínacím otveru).
- 4) Protahování upínacího otveru frézy s přídavkem na broušení.
- 5) Dokončevací soustružnické operace (soustružení vnějšího průměru nahelovo, soustružení nákrúžků, srážení hran).
- 6) Protahování drážky pro unášecí péro.
- 7) Frézování profilu fréz nahrubo.
- 8) Frézování drážek pro odvod třísek.
- 9) Podtáčení profilu.
- 10) Odstranění neúplných zubů.
- 11) Tepelné zpracování, písčkování.
- 12) Broušení upínacího otveru načisto.
- 13) Honování upínacího otveru.
- 14) Broušení čel načisto.
- 15) Broušení nákrúžků a zubových drážek (čel břítá).
- 16) Broušení profilů zubů.
- 17) Povrchové úpravy.
- 18) Kontrola a značení.

Specifickými operacemi při výrobě edvalovacích fréz jsou operace jako frézování profiliu frézy, drážek pro odvod třísek, podtáčení (pedsoustružení, pedbroušení) a ostření fréz. Většinu těchto operací je možno provádět na jednu nasazením více poletovarů na jeden trn. V sledu operací tedy nejsou zahrnutы požadavky přesnosti (třídy AA, A, B, C), které tento sled ovlivňují a te zejména při výrobě otvorů. Obdobně i ostatní operace mají své zvláštnosti. Splnění náročných požadavků, které jsou kladeny při výrobě edvalovacích fréz, vyžaduje dleuholetní zkušeností. Zde nestačí jenom praxe, ale musí být zvládnuta i teoretická část.

#### 4.2 Využití číslicových počítačů při návrhu technologického postupu výroby odvalovacích fréz

Samočinné počítače umožňují řešit sestavení technologických postupů libovolně podlebných jak pro kusovou tak i malosériovou výrobu. Sem patří i výroba speciálních řezných nástrojů, tedy i odvalovacích fréz. Počítač se zadáných výkresových hodnot pevnětevaru a současti určí jednotlivé záběry, řezné podmínky, obráběné průměry a délky a posleupnost jednotlivých pohybů nástroje. Tyto se spolu s údaji o použitých nástrojích převedou do číselného kódu a vyděrují do pásky.

V této práci je použito systému navrhování, který vychází z technologických postupů výroby několika, dle autora, perspektivních druhů odvalovacích fréz. Jde o frézy monolitní a skládané. Pokud se týče skládaných fréz je do tzv. souhrnného technologického postupu zahrnuto pouze těleso a te z důvodů konstrukční odlišnosti vložených upínacích elementů. Souhrnný technologický postup se získá porovnáním jednotlivých technologických postupů odvalovacích fréz. Tento souhrnný nebo komplexní postup obsahuje veškeré operace a úkony, které jsou potřebné k výrobě kterékoliv ze zpracovaných odvalovacích fréz.

#### 4.3 Výběr odvalovacích fréz pro komplexní technologický postup výroby

##### 4.3.1 Monolitní odvalovací frézy

Monolitní nebo celistvé odvalovací frézy patří v současné době u nás k nejpoužívanějším typům nástrojů k výrobě ozubení evolventních i neevolventních profilů pro svoji ekonomičnost i dostatečnou produktivitu. Výkonnější celistvé frézy jsou frézy víceschodné, které svařují produktivitu 1,5 - 2,5 násobně. Protože se technologické postupy výroby pro různé velikosti modulů od sebe liší, byly rozděleny do tří skupin. Frézy s moduly do 2, od 2 do 8 a nad 8 mm.

#### 4.3.2 Skládané odvalovací frézy

Snaha po šetření kvalitní avšak drahé rychlořezné oceli a po zvyšování produktivity při výrobě ozubení vedla k novým konstrukcím, kde z vysokovýkonného řezného materiálu (rychlořezná ocel, slinutý karbid a jiné) jsou pouze břity fréz. Těleso frézy je z levnější konstrukční oceli. Břity fréz jsou vloženy do tělesa frézy a zpravidla mechanicky uchyceny.

Konstrukce skládaných odvalovacích fréz mají své zvláštnosti. Břity jsou uspořádány ve tvaru hřebenů nebo destiček, které je možno při broušení i ostření vyjmout. Mají po obvodu více hřebenů než celistvé (v důsledku toho, že není nutný výběh pro podtáčení). Hřbety nejsou vytvořeny podbrušováním, ale obvykle broušením na bruskách pro válcové broušení. Zubové drážky mohou být přímé a profilem v osové rovině.

Z množství existujících konstrukcí bylo pro komplexní postup výroby vybráno několik s určitými odlišnými charakteristickými znaky. Vybrány jsou odvalovací frézy ZTS Dubnica nad Váhom, Saazor, Semputensili, Klingelnberg a VNII (SSSR).

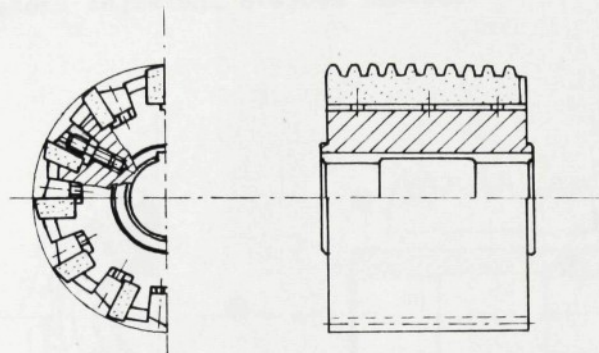
#### Konstrukce ZTS Dubnica nad Váhom

Fréza sestává z tělesa z konstrukční oceli 15240.6, v kterém jsou prefrézovány drážky pro břitev hřebeny ze slinutého karbidu, nebo vysokovýkonné rychlořezné oceli, a pro upínaci klíny utahovány třemi diferenciálními šrouby. Profil hřebenů je před vložením do tělesa předhrubován elektrochemicky a po montáži do tělesa je hřbet podtečen klasickým způsobem. Konstrukce je patrná z obr. 4.1. Zatím je fréza vyzkoušena pouze pro malé moduly v rozsahu 1 až 3 mm.

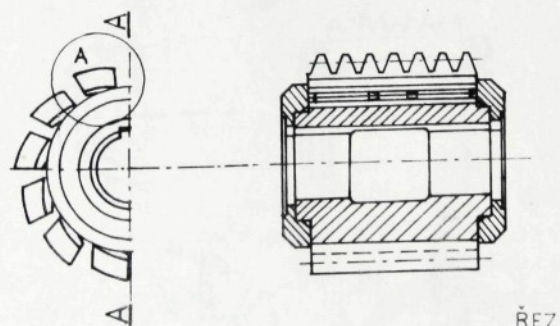
#### Konstrukce Saazer

Břitové hřebeny jsou v tuhém tělesu frézy upvněny podélními kolíky čtvercového průřezu, které lícují na dvou plochách, takže upínací síla přitlačuje hřebeny k desedacím plochám (obr. 4.2). V axiálním směru jsou hřebeny drženy přírubami, které se nasazují lisováním a za tepla. Zuby hře-

běnu se vyrábí v speciálním přípravku, který je opatřen drážkami, zrcadlově otočenými vzhledem k drážkám v tělese frézy, takže suby hřebenů vytváří šroubovou plochu, kterou lze snadno brousit. Rozsah vyráběných modulů je od 0,5 do 10 mm.



Obr. 4.1



DETAIL A

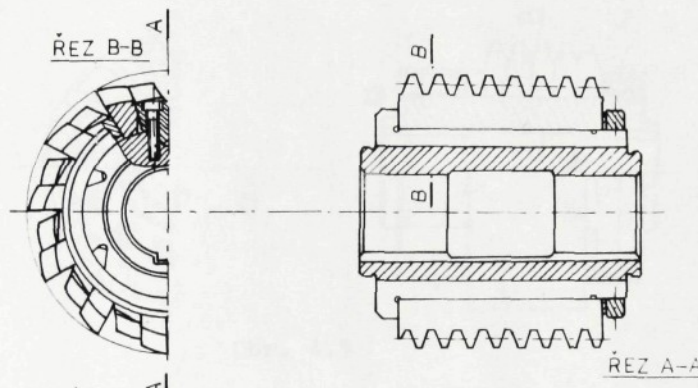
ŘEZ A-A



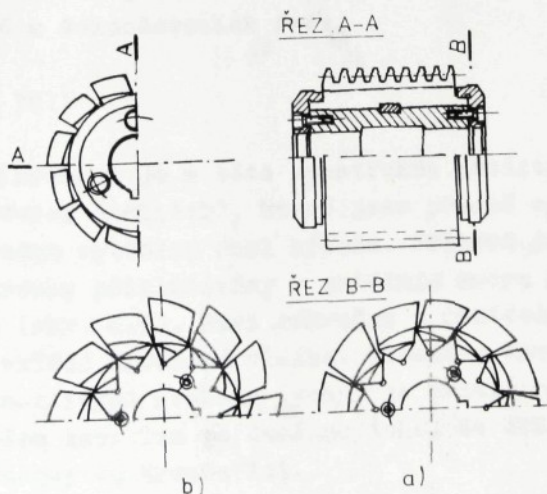
Obr. 4.2

## Konstrukce Klingelnberg

Za účelem snadné vyměnitelnosti břitových hřebenů se u této konstrukce nepoužívají k jejich uchycení příruby, ale lišty. Jedna lišta je vždycky opěrná a je uložena v drážce tělesa; druhá je upínací a působí jako klín. Břitové hřebeny jsou nejdříve axiálně upevněny mezi nákrkužkem a maticí (obr. 4.3). Opěrné lišty při výměně břitových hřebenů zůstávají pevné, protože zajišťují stejnou rozteč.



Obr. 4.3

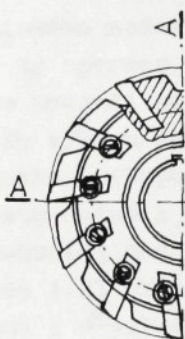


Obr. 4.4

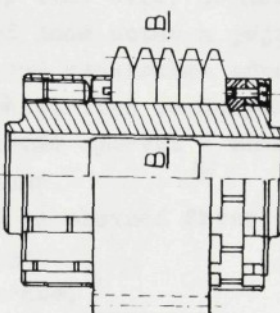
## Konstrukce Samputensili

Od konstrukce Saazor se odlišuje uložením hřebenů, jinak mají desti podobné prvky. Břitové hřebeny jsou uloženy v nesymetrických prismatických drážkách a upevněny přírubami, které jsou k tělesu pevně přišroubovány. V axiálním směru jsou jištěny kruhovými páry. Hřebeny je možno přímo brousit v těle-

ŘEZ B-B



ŘEZ A-A



Obr. 4.5

se frézy natočením o  $180^{\circ}$  (obr. 4.4). Tyto frézy se vyrábí v rozsahu modulů 0,5 až 10 mm. Počet hřebenů je 12 u hrubevacích a 16 u dokončovacích fréz.

## Konstrukce VNII

Místo hřebenů je u této konstrukce použito jednotlivých nožů (břitevých destiček), které jsou přesně vybroušeny a je na nich předem vytvořen úhel hřbetu. Břitevě destičky jsou v tělesu šrouby přitlačovány v axiálním směru na pevný nákrúžek vpravo (obr. 4.5). Mezi nákrúžek a břitevě destičky ze strany vkládá broušená vložka. Tloušťka vložek je proměnná a mezi jednotlivými hřebeny (zuby) je rozdíl rozteče připadající na jeden zub. Tím se dosáhne toho, že břitevě destičky jsou uspořádány ve šroubovici.

#### 4.4 Komplexní technologický postup výroby odvalovacích fréz

Na základě podrobného rezbaru typových výrobních postupů monolitních fréz a základního tělesa skládaných fréz byl sestaven souhrnný technologický postup. Za základ bylo použito postupu výroby monolitní odvalovací frézy na evelventní osubení sberového podniku Škoda Plzeň. Komplexní postup je spracován formou tabulky (viz příloha P), která kromě názvu operaci a úkonu obsahuje i jejich číselování a další potřebné údaje.

Po zadání konkrétní odvalovací frézy vybere počítac pomocí matematického modelu (viz přílohy tab. 4.20) pedomínek výběru operací ty operace a úkony, které jsou nutné k její výrobě. Výběr se provádí na základě zvolené konstrukce odvalovací frézy. Po výběru počítac pomocí algoritmů uvedených v tabulce komplexního postupu přiřadí ke každé operaci a úkonu konkrétní hodnoty nutné k jejich provedení.

Technologický postup výroby odvalovací frézy uvedený v příloze 4.21 obsahuje tyto údaje:

V sloupci 1 - pořadové číslo operace,

- 2 - pořadové číslo úkonu v rámci operace,
- 3 - název operace,
- 4 - průměr obrobku /mm/,
- 5 - délka úseku /mm/,
- 6 - střej,
- 7 - nástroj,
- 8 - měřidlo,
- 9 - přípravek,
- 10 - přídavek na obrábění,
- 11 - posuv /mm/zub , mm/ot/,
- 12 - hleubka řezu /mm/,
- 13 - řezná rychlosť /m/s , m/min/ ,
- 14 - otáčky obrobku /1/min/ ,
- 15 - otáčky nástroje /1/min/ ,
- 16 - počet úběrů ,
- 17 - čas hlavní /min/ ,
- 18 - čas vedlejší /min/ ,
- 19 - čas obaluhy a oddechu /min/ ,
- 20 - čas přípravy a zakončení /min/ ,
- 21 - čas celkový /min/ ,

- 22 - třída dle TKK ,  
 23 - sazba dle TKK /Kčs/ ,  
 24 - cena úkonu /Kčs/ .

#### 4.4.1 Výpočet rozměrů polotovaru

Řezná část (břity) odvalovacích fréz se vyrábí nejčastěji z rychleřezných ocelí (viz tab. 4.1). Tyto se dodávají ve tvaru válcovaných kruhových tyčí od průměru 5 mm do 60 mm a jako kované od 60 mm směrem nahoru. Průměry jsou odstupňovány po 1 mm. Pro monolitní frézy se volí jako polotovar ocel kruhového průřezu.

**Průměr polotovaru monolitní frézy**

$$D_{om} = 1,05 D_h + 1 \quad (4.1)$$

**Délka polotovaru**

$$l_{om} = l_f + 4 \quad (4.2)$$

**Hmotnost válce polotovaru monolitní frézy**

$$G_{om} = 7,85 \frac{\pi}{4} \cdot D_{om}^2 \quad (4.3)$$

**Cena materiálu polotovaru**

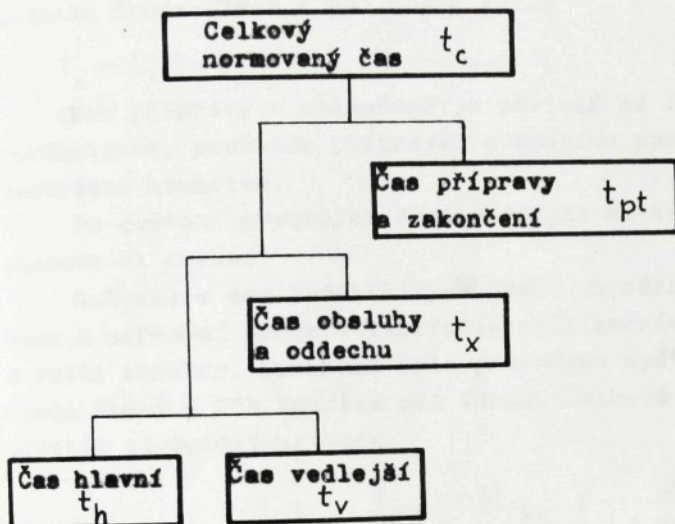
$$N_G = G_{om} \cdot N_{G_1} \quad (4.4)$$

#### 4.4.2 Volba řezných podmínek pro výrobu odvalovacích fréz

Komplexní technologický postup obsahuje více způsobů třískového obrábění, a proto je potřeba volit pro ně řezné podmínky. Základem pro stanovení řezných podmínek byly normativy pro soustružení, frézování, vrtání a broušení, používané v obor. pedijnku Škoda Plzeň. Při volbě se vycházelo z obrobitelnosti materiálů uvedených v tab. 4.1 - viz Přílohy.

Řezné podmínky pro jednotlivé způsoby obrábění byly nahány jako konstantní hodnoty do paměti počítače dle tabulek 4.2 až 4.19.

#### 4.4.3 Normy času, kalkulace cen jednotlivých operací, celková cena odvalovací frézy



Obr. 4.6

Na základě technicky zdůvodněných norm času je možno správně stanovit plné využití výrobních možností výrobního zařízení, potřebný počet pracovníků pro vykonání určitého objemu prací apod. Z toho plyně i nutnost poznat normy spotřeby pracovního času při určování výrobních postupů. Normy času jsou tedy výchozími údaji při technicko-ekonomických výpočtech, o které se opírá plánování a činnost podniku.

Technická norma času určuje nevyhnutný, ne úplně pestující čas na vykonání určité práce za normálních, dobré organizovaných podmínek výroby /87/. Pro účelné zpracování komplexního technologického postupu, se uvažují časy uvedené v grafickém členění na obr. 4.6. Toto schéma představuje upravený graf a dělí se na čtyři části:

Čas hlavní je pro každý způsob obráběcí operace vypočítáván dle vztahu, který je uveden v tabulce 4.21 viz Přílohy.

Čas vedlejší je zpracován formou vzorce a je uveden rovněž v příloze. Vztahy jsou zpracovány v závislosti na hmotnosti,

průměru nebo délky poletovaru a byly získány z grafů. Pro vrtání, vyhrubování a vystružování jsou uvedeny hodnoty přímo v tabulkách řezných podmínek příslušných operací.

Čas obaluhy a oddechu je vyjádřen procentuálně z času operačního, který sestává z času hlavního a vedlejšího. Stanovení času obaluhy a oddechu bylo provedeno dle zkušeností obor. podniku Škoda Plzeň a byl určen vztah

$$t_x = 0,12 (t_h + t_v) \quad (4.5)$$

Čas přípravy a zakončení je závislý na druhu stroje, jeho parametrech, použitém přípravku a způsobu upnutí. Je udáván konkrétní hodnotou.

Po sečtení uvedených časů obdržíme celkový čas trvání operace či úkonu.

Kalkulace cen jednotlivých úkonů je závislá na celkovém času a zařazení práce v tarifně-kvalifikačním katalogu (TKK) a režii obrubny. Zařazení bylo provedeno opět dle poznatků Škoda Plzeň a ZTS Dubnica nad Váhom. Celková cena úkonu po určitém zjednodušení bude

$$N_u = \left( t_h + t_v + t_x + \frac{t_{pz}}{p_k} \right) \cdot \frac{M_{TKK}}{60} \left( 1 + \frac{R_{ob}}{100} \right) + \\ + t_o \cdot \frac{t_h}{T} \frac{M_o}{60} \left( 1 + \frac{R_o}{100} \right) + \frac{N_{ho}}{n_o + 1} \cdot \frac{t_h}{T} \quad (4.6)$$

#### Celková cena nástroje

$$N_n = \sum N_u + N_G \quad (4.7)$$

Vztah pro určení předkalkulačních (přibližných) nákladů výroby edvalovací frézy lze získat Lagrangeovým interpolováním cen nástrojů ( $\sum N_u$ ) v závislosti na modulu, které byly vypočítány podle programu na číslicovém počítači a sestaveny do grafu

$$\sum N_u = 0,6891 m_n^3 - 13,4085 m_n^2 + 114,5694 m_n - 90,052 \quad (4.8)$$

#### 4.5 Formulace matematického modelu výskytu operací při výrobě odvalovacích fréz

V předchozí kapitole byl vypracován souhrnný technologický postup výroby komplexní odvalovací frézy. Nyní je potřebné stanovení způsobu výběru operací a úkonů pro uvažovanou odvalovací frézu. Řešení způsobu výběru bylo provedeno analytickou metodou pomocí matematického modelování. Pod pojmem matematicko-logický model bude dále uvažována taková komplexní informační sestava, v které jsou v uspořádané formě zabudovány všechny známé nebo účelně zvolené dílkové informace o soustavě, model které je sestavován /88/.

V kap. 4.3 bylo popsáno šest typů odvalovacích fréz. Výrobní postupy byly podrobeny rozboru jak z konstrukčního tak i z technologického hlediska. Z toho vyplývají jednotlivé zvláštnosti resp. odlišnosti technologie. Na základě uvedeného rozboru byl sestaven matematicko-logický model, který umožnuje jednoznačně určit potřebné operace a úkony dle zadaných vstupních údajů. Model je uveden v tabulce 4.20 v přílohách. Je zpracován formou plošného matematického pole, v kterém každý bod je definován souřadnicemi  $i$ ,  $j$ .

V svislém směru nabývá souřadnice  $i$  hodnoty od 1 do 72. Každé souřadnici  $i$  je přiřazena přesně podle číslování operací a úkonů komplexního technologického postupu jedna operační nebo úkon se všemi údaji, které k ní náleží. Ve vodorovném směru je každé souřadnici  $j$  přiřazen jeden z vybraných typů odvalovacích fréz.

Výskyt jednotlivých operací a úkonů je v modelu zaznamenán pomocí logických konstant 0, 1 (false, true), kde 0 značí, že operace se u daného typu frézy nevyskytuje tj. je nepotřebná a 1 naopak se u daného typu odvalovací frézy vyskytuje tj. musí se uskutečnit. Na základě zvoleného typu odvalovací frézy počítač vybere sloupec odpovídající vstupním údajům. Pak vykoná konjukci logických konstant ve vodorovném směru v každém řádku. Jestliže při působení ve vodorovném směru narazí počítač na nulu, to znamená, že operace či úkon jsou za daných podmínek nepotřebné a počítač je vyloučí. Po sečtení si pamatuje pouze ty operace a úkony, v kterých se vyskytly konstanty jedna. Po tomto výběru operací a úkonů,

které jsou nutné k výrobě daného typu frézy, počítač na základě souhlasného očíslování modelu a komplexního postupu výroby přifadí vybraným operacím a úkonům příslušné řádky komplexního technologického postupu.

O tom, jak jsou jednotlivé hodnoty přiřazovány, určuje program pro číselcový počítač. Program byl odhaděn pro monolitní frézy. Pro technologický postup výroby odvalemacích fréz byl rovněž odhaděn program pro jeho vytiskení. Tiskárna po ukončení výpočtu vytiskne technologický postup ve formě tabulky, který sestává z vybraných operací a úkonů (tab. 4.22 - přílohy). Tabulka obsahuje všechny údaje uvedené v komplexním technologickém postupu, kromě názvu operace či úkonu a potřebného zařízení, které počítač nezpracovává a odebírá se z tabulky. Je to z důvodů umístění na listu široké tiskárny. Technologický postup, který obdržíme z počítače je možno pro potřeby výroby přepsat do předtištěného formuláře.

## ZÁVĚR

Práce předkládá:

### 1. Obecnou teorii navrhování výchozího povrchu odvalovacích fréz.

Teorie vychází z kinematiky záběru odvalovací frézy a obráběné součásti. Pro řešení je použito tenzorového počtu a matic, jež umožňují jednodušší vyjádření daných vazeb součásti a nástroje. Při řešení obálek se vychází z poznatků diferenciální geometrie. Použití těchto disciplín umožňuje zpřesnění výpočtu a v některých případech upuštění od přibližných metod profileování ostří odvalovacích fréz.

Na základě obecné teorie byly odvozeny vztahy pro několik nejvíce se vyskytujících ploch součástí vhodných pro odvalovací frézování. Je to zejména evolventní plocha používaná u čelních ozubených kol, dále rovinná plocha, která se vyskytuje nejvíce u n-hraných a drážkových profilů a válcová plocha, která je součástí ploch drážkových hřídelů a řetězových kol. Příklady jsou zaměřeny na určení vektorů bodů součástí, a při respaktování podmínky valení na stanovení vektorů bodů výchozího povrchu nástroje jako obálky povrchu součásti. V práci nejsou uvedeny aplikace na šroubovou plochu součásti i když te obecná teorie umožňuje.

### 2. Teorii přeměny výchozího povrchu nástroje v přesný nástroj.

Je uvedena teorie výpočtu ostří pro vyskytující se variace ploch čela. Čelo je uvažováno jako rovinné nebo šroubové. Při použití této teorie je možno stanovit profil pro odvalovací frézy s kladným, záporným i nulovým úhlem čela. Tato fáze řešení představuje nalezení bodů průsečnice obálky a rovinnou nebo šroubovou plochou. To lze řešit Newtonovou iterativní metodou, která byla pro uvedené příklady použita.

### 3. Nahrazení teoretického profilu

Získaný profil ostří je možné využít pro přesné nebo přibližné stanovení povrchů zubů odvalovacích fréz. V práci je využíván pro stanovení geometrických rozměrů zubů frézy způsobem přibližný, obvykle v praxi používaný. Přesný způsob nahrazení popsaný původně Lačňářem /39/ je pouze naznačen a je peukázané

na možnost jeho výhodného použití právě pro předchozí přesnou metodu stanovení výchozího povrchu nástroje.

#### 4. Teorie výpočtu geometrie břitu odvalovacích fréz.

Při výpočtu geometrie, tj. nástrojových řezných úhlů je možno vycházet z požadavku optimální geometrie břitu během řezného procesu a zjišťovat pro výrobu řezného nástroje potřebnou nástrojovou geometrii. Je uvedena tzv. přímá a inverzní transformace řezných úhlů. Přímou lze provést přepočty ze soustav nástrojových do pracovních a inverzní, opačné přepočty. Princip transformace spočívá ve stanovení vektoru normály čela, nebo hřbetu nástroje a jeho transformaci pomocí transformačních matic do požadované soustavy. Normála se určuje jako vektorový součin dvou tečných vektorů plochy čela nebo hřbetu.

#### 5. Výpočetní vztahy pro určení geometrických parametrů tělesa válcové a kuželové odvalovací frézy.

Dosavadní vztahy pro výpočet tělesa jsou modifikovány a rozšířeny o nové poznatky v oblasti konstrukce odvalovacích fréz. Kuželové odvalovací frézy se u nás zatím nepoužívají. Zavedení těchto fréz do praxe by dle sovětských zkušeností mohlo přinést zvýšení výkonu obrábění odvalovacími frézami o 30 - 40 %.

#### 6. Vztahy pro výpočet parametrů nastavení.

Pro navrženou odvalovací frézu a vyráběnou součást jsou dále odvozeny vztahy pro výpočet hodnot ustavení na obráběcím stroji, tj. hodnot náběhů a přeběhů pro dané parametry součásti a odvalovací frézy.

#### 7. Odvození vztahů pro výpočet záběrového pole frézy.

Pedle rozměrů záběrového pole je navrhována pracovní délka odvalovací frézy, nebo pokud by vycházela příliš veliká je doporučována úprava frézy (náběhový kužel) pro stejneměrnější rozdělení průřezů odebíraných třísek. Záběrové pole slouží rovněž jako omezující faktor při určování průřezů třísek.

8. Odvození vztahů pro stanovení průřezů třísek na základě znalostí trajektorií jednotlivých bodů zubů odvalovací frézy.

Z rozdílů drah po sobě jdoucích zubů je možno určit tleuštku třísky v počítaném místě. Metoda umožnuje kontrolu záběrových poměrů pro každý případ frézování součásti. Na základě rozboru záběrových poměrů je možné provádět korekci profilu tak, aby záběr jednotlivých zubů odvalovací frézy byl plynulý a nedocházelo k nadměrnému opotřebení nejvíce namáhaných zubů. Z průřezů třísek a znalosti specifických řezných odpored je možné stanovení řezné sily.

9. Sestavení vztahů pro výpočet optimálních řezných podmínek z hlediska minimálních nákladů na výrobu.

Při řešení se vycházelo z omezujičích podmínek obrábění a metodami lineárního programování se prováděla optimalizace. Z těchto údajů je možné vycházet při výpočtech nákladů na tuto operaci obrábění. Je možné je použít při plánování výroby a výpočtech výrobních kapacit.

10. V závěru technologický postup výroby odvalovací frézy.

Postup je zpracován formou souhrnného postupu pro více typů odvalovacích fréz. Sestavení postupu pro zvolený typ frézy se provádí pomocí samočinného počítače výběrem úkonů a operací z matematicko-logickeho modelu.

Na základě uvedených teoretických podkladů byly sestaveny algoritmy výpočtů. Většina výpočtů byla naprogramována a odložena na číslicovém počítači MINSK 22 na Katedře technické kybernetiky VŠST v Liberci. Vzhledem k velikému rozsahu výsledků, byly vybrány pouze ukázky výpočtů parametrů odvalovacích fréz, parametrů výroby, optimálních řezných podmínek a technologického postupu výroby odvalovací frézy. Tyto výpočty jsou uvedeny ve výsledkové části práce jako přílohy.

Vzhledem k tomu, že v práci nebyly zatím postihnutý všechny možnosti v oblasti konstrukce odvalovacích fréz, doporučoval bych do budoucna aplikovat uvedenou teorii na další i modifikované profily včetně šroubových povrchů součásti. Pro vypracované podprogramy sestavit řídící program pro počítač s větší pamětí.

Vytvořit programy pro grafické výstupy získaných výsledků. Zejména se jedná o nakreslení výrobního výkresu odvalovací frézy, nakreslení profilů frézy ve zvětšeném měřítku, o nakreslení grafů záběrového pole, grafů rozměrů třísek pro jednotlivé body ostří zuba frézy. K tomu je nutné kreslicí zařízení.

Pro potřeby uživatelů z praxe bude nutné části výpočtu přispěsobit jejich požadavkům, případně je podrobnejší rozvést a konkretizovat pro určitý rozsah rozměrových parametrů odvalovacích fréz. Bude vhodné využít programu pro výpočet průřezů třísek k analytickému stanovení působících řezných sil na jednotlivé břity a uvažovat o pevnostním výpočtu odvalovací frézy.

Je mojí mileu povinností, závěrem poděkovat mému školičeli a vedeucímu Katedry obrábění a ekonomiky zdejší školy prof. Ing. Jerošalámu Draskému CSc., za poskytnutí cenných rad v průběhu celé aspirantury a při vypracování této práce.

Dále bych chtěl poděkovat akademiku USSR P.R. Rodinovi a doc. ing. O.N. Čkalové CSc z katedry výroby řezných nástrojů Kyjevského polytechnického institutu za odbornou i teoretickou průpravu v oblasti navrhování řezných nástrojů, rovněž tak Ing. Vladimíru Kracíkovi CSc z katedry technické kybernetiky zdejší školy za teoretickou průpravu a konsultace v oblasti matematických disciplín.

Za ochotnou pomoc při sestavování a odložování jednotlivých programů patří dík Ing. Janu Tišerovi z katedry technické kybernetiky VŠST, soudr. Daně Dejdové a Marii Gelkové za napsání čistopisu podstatné části práce jakéž i Zdence Heligarové a ostatním, kteří se podíleli na úpravě a redakci zprávy.

## LITERATURA

- /1/ ARMAREGO,E.J.A.-BROWN,R.H.: The maschining of metals.  
Prentice-Hall, Inc. 1969 (ruský překlad).
- /2/ BARTSCH,J.: Matematické vzorce II. Praha, SNTL 1961.
- /3/ BOLEK a kol.: Části strojů II. Praha, NČSAV 1963.
- /4/ BUCKINGHAM,E.: Analytical Mechanics of Gears. Cambridge-Massachusetts 1949.
- /5/ BUDA,J.-BÉKÉS,J.: Teoretické základy obrábania kovov. Bratislava, SVTL 1967.
- /6/ BUDINSKÝ,B.-KEPR,B.: Základy diferenciální geometrie s technickými aplikacemi. Praha, SNTL 1970.
- /7/ CORMAC,P.: A treatise on screws and wormgear their mills and hobs. London, 1936. <sup>zpráva</sup> <sub>jinaký převod</sub>
- /8/ CVIS,J.V.: Profilirovanije obkatnovo instrumenta. Moskva, Mašgiz 1961.
- /9/ ČKALOVA,O.N.: Koničeskiye červjačnyje frezy dlja obrabotki cilindričeskikh zubčatych koles./Kand.diss./Kijev, 1970.
- /10/ ČKALOVA,O.N.: Příspěvek k teorii stanovení profilu odvalovacích fréz pro čelní ozubená kola. Strojírenství, sv.21, 1971, č. 9.
- /11/ DICHTJAR,F.S.: Profilirovanije metalorežuščevho instrumenta. Moskva, Izd. Mašinostrojenije 1965.
- /12/ FINIKOV,S.P.: Differencialnaja geometrija. Moskva, Izd. MGU 1961.
- /13/ FRAJFELD,I.A.: Instrumenty rabotajuščije metodom obkatki. Moskva-Leningrad, Mašgiz 1948.
- /14/ GARAJ,J.: Základy vektorového počtu. Bratislava, SVTL 1957.
- /15/ GRANOVSKIJ,G.J.: Kinematika rezanija. Moskva, Mašgiz 1948.
- /16/ GRUBIN,A.N. a kol.: Nástroje na ozubení I., II. díl. Praha, Průmyslové vydavatelství 1952.
- /17/ HLAVATÝ,V.: Diferenciální geometrie křivek a ploch a tenzorový počet. Praha 1937.
- /18/ HNÍDEK,V.: Řezné podmínky při odvalovacím frézování Čelákovice, TOS 1970.
- /19/ HOSTINSKÝ,B.: Diferenciální geometrie křivek a ploch. Praha 1950.
- /20/ HRON,J.-KOŠEK,J.: Sestavování technologických postupů samočinným počítačem. Strojírenská výroba, sv.19, 1971, č. 7-8, str. 508-514.

- /21/ JANEČEK,J.-MODRLÁK,O.: Simplexová modifikovaná metoda.  
Liberec, AS - VŠST 1972.
- /22/ JOPPA,K.: Bedeutung der Dreiflakenspäne auf das Verschleissverhalten beim Wälzfräsen. Ind.-Anz. 100, 1978, N° 5, 24-25.
- /23/ KIRSANOV,G.N.: Issledovaniye konstruktivno-kinematičeskych parametrov červjačnych frez./Kand.dis./Moskva, Stankin 1967.
- /24/ KLEPAL,V. a kol.: Výroba ozubených kol. Praha, SNTL 1959.
- /25/ KOLČIN,N.J.: Analitičeskij rasčot ploskich i prostranstvenych zaceplenij. Moskva, Mašgiz 1949.
- /26/ KORDA,B. a kol.: Matematické metody v ekonomii. Praha, SNTL 1967.
- /27/ KORN,G.-KORN,T.: Mathematical Handbook. New York, Mc Graw Hill Book Company 1968 (ruský překlad).
- /28/ KUNSTETTER,S.: Narzedzia skrawajace do metalu, konstrukcja. 3.vyd., Warszawa, WNT 1973.
- /29/ KUTÍK,B.-KVAPIL,R.: Nové pohledy na geometrii řezných nástrojů. Českošov. standardizace 2, 1977, č,7 - Příloha.
- /30/ KÜNZI,H.P.-TZSCHACH,H.G.-ZEHNDER,C.A.: Numerical Methods of Mathematical Optimization. University of Maryland 1968.
- /31/ KVAPIL,R.-PATRÁK,J.: Optimální krokování odvalovací frézy na ozubení. Sborník VŠST, Liberec 1970, str. 171-180.
- /32/ KVAPIL,R.: Příspěvek sovětské vědy pro navrhování řezných nástrojů z hlediska současných požadavků. Sborník semináře. Praha-Nižbor 1974.
- /33/ KVAPIL,R. a kol.: Matematický model obrábění. - Řezné nástroje. (Výzk. zpráva), Liberec, VŠST 1974.
- /34/ KVAPIL,R.: Principy navrhování profilů odvalovacích nástrojů na ozubení./Kand.minimum/, Liberec, VŠST 1975, 68 s.
- /35/ KVAPIL,R.: Základní přepočty mezi nástrojovými a pracovními úhly. Sb.konference. Bratislava, SVŠT 1976.
- /36/ KVAPIL,R.: Geometria rezného klina reznejch nástrojov a jej vztah k reznemu procesu. Náradie sv.4,1977,č.4. s.27-33.
- /37/ KVAPIL,R.: Geometrie břitu odvalovacích fréz ve vztahu k procesu obrábění . Strojírenství sv.28,1978, č.7, s.408-411.
- /38/ KVAPIL,R.: Konstrukce skládané odvalovací frézy s břity ze selenutých karbidů. Výzk. zpráva.Liberec, VŠST 1978, 60 s.

- /39/ LAŠNĚV, S.J.: Formooobrazovaniye zubčatých detalej reječnymi i červjačnými instrumentami. Moskva, Mašinostroj. 1971.
- /40/ LIPTÁK, O.-VALČUHA, Š.: Navrhovanie a konštrukcia rezných nástrojov. Bratislava, SVŠT 1971.
- /41/ LIPTÁK, O.-VALČUHA, Š.: Možnosti a spôsob použitia samočinných počítačov pri konštrukcii rezných nástrojov. Strojírenská výroba 19, 1971, č. 12, s. 848-852.
- /42/ LITVIN, F.L.: Těoriya zubčatych zaceplenij. Vyp. 1, Moskva, Mašgiz 1960.
- /43/ LITVIN, F.L.: Těoriya zubčatych zaceplenij. Vyp. 2, Moskva, Izd. Nauka 1968.
- /44/ LJUKŠIN, V.S.: Těoriya vintovych pověrchnostěj v projektirování režučích instrumentov. Moskva, Mašinostroj. 1968.
- /45/ LONG, B.T.-KVAPIL, R.: Studium profilu součástí a nástroje při jejich vzájemném pohybu s aplikací na výrobu prostorového ozubení. Náradie sv.3, 1976, č.4, s. 7-10, 14.
- /46/ LONG, B.T.-KVAPIL, R.: Obecná teorie vytvoření povrchu součástí obráběním s aplikací na kuželová kola. Strojírenství, sv.27, 1977, č. 9, s. 524-528.
- /47/ LONG, B.T.: Obecná teorie vytváření povrchových ploch součástí obráběním s aplikací na prostorové ozubení pomocí samoč.počítače. /Kand.disertace/, Liberec, VŠST 1977.
- /48/ LONG, B.T.-KVAPIL, R.: Vzájemný vztah povrchu řezného nástroje a součásti s aplikací na ozubená kola. Strojírenská výroba 25, 1977, č. 5, s. 357-359, 367.
- /49/ MÁDL, J.: Optimalizace řezných podmínek./Výzk.zpráva/, Praha, FS ČVUT 1975.
- /50/ MITROFANOV, S.P.: Vedecké základy skupinovej technologie. Bratislava, SVTL/SNTL 1960.
- /51/ MITROVIĆ, R.: Sile rezanja pri odvalnom glodanju analogna istraživanja i računska odredjivanja. Obrada metala i tribologija, N° 3, Kragujevac 1974.
- /52/ MENTE, H.P.: Die Entwicklung des Wälzfräsen in den letzten fünf Jahren. 3.Zahnradkonferenz. Budapest 1974.
- /53/ MRKVICA, M.: Užití kinematických zákonů při podbroušení a tvorbě ostří zubů odvalovací frézy. Strojírenská výroba 25, 1977, č. 4.
- /54/ NIKOLAJEV, A.F.: Kinematičeskiye osnovy tēoriji prostranstvennyx zaceplenij./Doktor.dis./ Moskva, Mosstankin 1953.

- /55/ OLEHLA,M.-TIŠER,J.: Základy numerických metod a programování./Skripta/, Liberec, VŠST 1977.
- /56/ PACHOVÁ,Z.-FREY,T.: Vektorová a tenzorová analýza, Praha, SNTL 1964.
- /57/ PETRUCHIN,S.S.: Osnovy projektirovanija režuščej časti metalorežuščich instrumentov, kinematičeskaja teorijs. Moskva, Mašgiz 1960.
- /58/ PFAUTER,H.: Pfauter Wälzfräsen. Teil 1. Berlin, Heidelberg, New York, Springer-Verlag 1976.
- /59/ PŘIKRYL,Z.-MUSÍLKOVÁ,R.: Teorie obrábění.Praha,SNIL/ALFA 1971
- /60/ RALSTON,A.: Základy numerické matematiky.Praha,Academia 1971.
- /61/ RAMOND,P.: Research into the best strength - silence - cost in designing gears and generating tools. Trans. ASME B 96, 1974, No 1, 21-24.
- /62/ RODIN,P.R.: Osnovy těoriji projektirovanija režuščich instrumentov. Moskva, Mašgiz 1960.
- /63/ RODIN,P.R.: Voprosy těoriji režuščich instrumentov. /Doktor.dis./. Odessa 1961.
- /64/ RODIN,P.R.: Projektirovaniye i proizvodstvo režuščevno instrumenta. Moskva, Mašgiz 1962.
- /65/ RODIN,P.R.: Projektirovaniye i proizvodstvo režuščevno instrumenta. Kijev, Technika 1968.
- /66/ RODIN,P.R.: Režuščij instrument. Rasčetno-grafičeskije i laboratornyje raboty. Kijev, Technika 1966.
- /67/ Rodin,P.R.: Osnovy formoobrazovanija poverhnostej rezání. Kijev, Višča škola 1977.
- /68/ ROMANOV,V.F.: Rasčety zuboreznych instrumentov. Moskva, Mašinostrojenije 1969
- /69/ SACHAROV,G.N.: Projektirovaniye kruglych obkatočnych rezcov. /Sb. "Novoje v konstruirovaniji metalorežuščich instrumentov"/. Moskva, Mašgiz 1958.
- /70/ SEMENČENKO,D.I.: Novoje k voprosam těoriji profilirovaniya i izmerenija červjačnych frez. Moskva, ENIMS 1958.
- /71/ SEMENČENKO,I.I.: Režuščij instrument. Tom III, Moskva-Sverdlovsk, Mašgiz 1944.
- /72/ SEMENČENKO,I.I.- MATJUŠIN,V.M.- SACHAROV,G.N.: Projektirovaniye metalorežuščich instrumentov. Moskva, Mašgiz 1962.
- /73/ SIDORENKO,A.K.: Progressivnoje zubofrezerovaniye. Moskva, Mašgiz 1951.
- /74/ STUNA,M.: Technologické postupy. Liberec VŠST 1970/skripta/.

- /75/ SULZER,G.: Bestimmung der Spannungsquerschnitte beim Wälzfräsen. Ind.-Anz. 96, 1974, No 12.
- /76/ SCHMIDT,E.: Příručka řezných nástrojů. Praha, SNTL 1974.
- /77/ SCHMIDTHAMMER,A.: Die Verschleisserscheinungen am Wälzfräser und ihre Ursachen. Vorträge der 3.Zahnradkonferenz, Budapest 1974.
- /78/ ŠALAMOUN,Č.-SUCHÝ,M.: Převody./Skripta/ Praha ČVUT 1971.
- /79/ ŠALAMOUN,Č.-SUCHÝ,M.: Patní přechod čelního evelventního ozubení./Sb.II.celest.konference o ozubení/.Příbram 1973.
- /80/ ŠEJVL,M.: Teorie a výpočty ozubených kol. 1.díl, Praha SNTL 1957.
- /81/ ŠEVELEVA,G.T.: Algoritm čislennego rasčeta obrabatyvajemoj poverchnosti. Stanki i instrument 1969, № 8.
- /82/ ŠIŠKOV,V.A.: Obrazovaniye poverchnostej rezanijem po metodu obratki. Moskva, Mašgiz 1951.
- /83/ ŠVEC,S.: Konstrukce nástrojů pro výrobu čelních ozubených kol. Praha, SNTL 1956.
- /84/ ŠVEC,S.: Řezné nástroje. /Skripta/ Praha, ČVUT 1970.
- /85/ ŠVEC,S.: Komplexní výpočet konstrukce ozubení, řezných nástrojů a jejich výroby pomocí samočinného počítače. Výzk. zpráva 88, Praha, ČVUT 1972.
- /86/ TUMAŠENKO,N.N.: Sovremennyje napravlenija v konstrukciji červjačnyh frez./Výzk. zpráva KPI/ Kijev 1972.
- /87/ VALČUHA,Š.: Automatizácia konštrukcie a prípravy výroby preťahovacích a pretlačovacích nástrojov./Kand.dis./ Bratislava, SVŠT 1972.
- /88/ VALČUHA,Š.: Automatizácia navrhovania technologickeho postupu výroby preťahovacích a pretlačacích nástrojov. /Sb. konference/. Bratislava, SVŠT 1973.
- /89/ VALČUHA,Š.: Výpočet a konštrukcia odvalovacích fréz na ne-evolventné profily. Výzk.zpráva.Bratislava,SVŠT 1974.
- /90/ VELIKANOV,K.M.-NOVOŽILOV,V.I.: Ekonomičnyje režimy rezanija metallov. Leningrad, Izd.Mašinostrojenije 1972.
- /91/ WILDHABER,E.: Osnovy zaceplenija koniceskikh i giperoidních peredač. Moskva, Mašgiz 1948 /rušký překlad/.
- /92/ ZELENKA,A.: Aplikace vybraných matematických metod ve strojírenské technologii. Praha, FS-ČVUT 1970.
- /93/ Doporučení ISO R841. Názvy os a pohybů pro číslicově řízené stroje. 1968.

/94/ Doporučení ISO/DIS 3002. Geometry of the Active Part of  
Cutting Tools. 1973.

/95/ ČSN 22 00 11. Řezné nástroje. Geometrie řezných částí  
nástrojů. Připravovaná čs. norma.

## OBSAH

Anotace	1
Přehled označení a symbolů	2
ÚVOD	13
1. STANOVENÍ VÝCHOZÍHO POVRCHU ODVALOVACÍCH FRÉZ	19
1.1 Teorie výchozího povrchu	19
1.1.1 Obecná teorie obalových ploch	19
1.1.2 Tenzor otočení	21
1.1.3 Zavedení tenzoru otočení pro obalové plochy vzniklé při rotačních pohybech kolem dvou mimoběžných os	24
1.1.4 Formulace úlohy pro odvalovací frézování	25
1.1.4.1 Charakteristika	27
1.1.4.2 Normála k obalové ploše	28
1.1.4.3 Tečná rovina obalové plochy	29
1.1.4.4 Křivost křivky na povrchu nástroje	29
1.2 Výchozí povrch a tvar ostří odvalovacích fréz pro daneu rovinou plochu součásti	31
1.2.1 Stanovení výchozího povrchu	31
1.2.2 Vyjádření tvaru ostří odvalovací frézy	33
1.2.2.1 Řez obálky rovinou plochou	34
1.2.2.2 Řez obálky šroubovou plochou s tvorící přímkou	39
1.2.3 Příklad stanovení výchozího povrchu pro frézování součásti tvaru n-hranu	41
1.3 Výchozí povrh a tvar ostří pro zakrivenou válcovou plochu	44
1.3.1 Stanovení výchozího povrchu	44
1.3.2 Vyjádření tvaru ostří odvalovací frézy	47
1.3.2.1 Řez obálky rovinou plochou	47
1.3.2.2 Řez obálky šroubovou plochou s tvorící přímkou	48
1.3.3 Příklad stanovení výchozího povrhu pro frézování drážkového profilu	48
1.4 Výchozí povrh a tvar ostří pro evolventní plochu	53
1.4.1 Stanovení výchozího povrhu	53
1.4.2 Vyjádření tvaru ostří	55
1.4.2.1 Řez obálky rovinou plochou	55
1.4.2.2 Řez obálky šroubovou plochou s tvorící přímkou	56

<b>1.4.3 Příklad stanovení výchozího povrchu</b>	<b>56</b>
<b>1.4.3.1 Analytické stanovení povrchu zubu s přechodem tvaru kružnice</b>	<b>60</b>
<b>1.4.3.2 Výchozí povrch nástroje</b>	<b>62</b>
<b>2. PŘEMĚNA VÝCHOZÍHO POVRCHU ODVALOVACÍ FRÉZY V ŘEZNÝ NÁSTROJ A JEHO KONSTRUKČNÍ PARAMETRY</b>	<b>65</b>
<b>2.1 Vytvoření čela zubu odvalovací frézy</b>	<b>65</b>
<b>2.2 Vytvoření hřbetních ploch zubů odvalovací frézy</b>	<b>65</b>
<b>2.2.1 Zvláštnosti tvaru hřbetu evolventních fréz pro evolventní ozubená kola</b>	<b>68</b>
<b>2.2.1.1 Nahrazení teoreticky přesného povrchu boku zuba Archimedovou šroubovou plochou</b>	<b>69</b>
<b>2.2.1.2 Nahrazení teoreticky přesného povrchu boku zuba podle Lašněva</b>	<b>71</b>
<b>2.3 Geometrie břitu odvalovacích fréz</b>	<b>73</b>
<b>2.4 Hlavní konstrukční rozměry tělesa frézy</b>	<b>84</b>
<b>2.4.1 Válcová odvalovací fréza</b>	<b>85</b>
<b>2.4.2 Kuželevá odvalovací fréza</b>	<b>91</b>
<b>3. TECHNOLOGICKÉ PARAMETRY ODVALOVACÍHO FRÉZOVÁNÍ</b>	<b>94</b>
<b>3.1 Záběrové poměry při frézování ozubení odvalovacím způsobem</b>	<b>94</b>
<b>3.1.1 Záběrové pole odvalovací frézy</b>	<b>94</b>
<b>3.1.1.1 Horní hranice záběrového pole</b>	<b>96</b>
<b>3.1.1.2 Spodní hranice záběrového pole</b>	<b>99</b>
<b>3.1.1.3 Hranice záběrového pole v oblasti plného válce</b>	<b>99</b>
<b>3.1.2 Nastavení odvalovací frézy</b>	<b>100</b>
<b>3.1.2.1 Nastavení válcové odvalovací frézy</b>	<b>103</b>
<b>3.1.2.2 Nastavení kuželevé odvalovací frézy, nebo frézy s tzv. náběhovým kuželem</b>	<b>106</b>
<b>3.1.2.3 Stanovení přeběhů odvalovacích fréz při frézování čelních osadených kol</b>	<b>111</b>
<b>3.1.3 Pracovní resek odvalovací frézy</b>	<b>112</b>
<b>3.1.4 Analytické určení rozměrů třísek při odvalovacím frézování</b>	<b>112</b>
<b>3.1.4.1 Grafické vyhodnocování rozměrů třísek</b>	<b>118</b>

3.2 Optimální řezné podmínky	119
3.2.1 Matematická formulace omezení	119
3.2.2 Kriterium optimálnosti	123
<b>4. TVORBA TECHNOLOGICKÉHO POSTUPU VÝROBY ODVALOVACÍCH FRÉZ POMOCÍ POČÍTAČE</b>	<b>124</b>
4.1 Současný stav navrhování technologických postupů speciálních řezných nástrojů	124
4.2 Využití číslicových počítačů při návrhu techno- logického postupu výroby odvalovacích fréz	126
4.3 Výběr odvalovacích fréz pro komplexní technolo- gický postup výroby	126
4.3.1 Monolitní odvalovací frézy	126
4.3.2 Skládané odvalovací frézy	127
4.4 Komplexní technologický postup výroby odvalo- vacích fréz	131
4.4.1 Výpočet rozměrů polotovaru	132
4.4.2 Volba řezných podmínek pro výrobu odvalovacích fréz	132
4.4.3 Normy času a kalkulace cen jednotlivých operací, celková cena odvalovací frézy	133
4.5 Formulace matematického modelu výskytu operací při výrobě odvalovacích fréz	135
<b>ZÁVĚR</b>	<b>137</b>
<b>Literatura</b>	<b>141</b>
<b>Obsah</b>	<b>147</b>

Vysoká škola strojní a textilní v Liberci  
nositelka Řádu práce  
Katedra obrábění a ekonomiky

Ing. Robert KVAPIL

KONSTRUKČNÍ A TECHNOLOGICKÉ PARAMETRY ODVALOVACÍCH  
FRÉZ

Výsledková část  
kandidátské dizertace

Únor 1979

## Seznam tabulek

	str.
1. Vypočtené parametry ostrí odvalovací frézy pro frézování šestihranu; tab.1.1 - 1.4 . . . . .	1
2. Konstrukční parametry válcové odvalovací frézy, tab. 2.1 . . . . .	5
3. Konstrukční parametry kuželové odvalovací frézy, tab. 2.2 . . . . .	8
4. Tabulka konstant, tab.2.3.-2.5. . . . .	10
5. Výpočet geometrie břitu odvalovacích fréz, tab. 2.6 - 2.9 . . . . .	11
6. Diagramy záběrových polí tab. 3.1 - 3.4 . . . . .	16
7. Vypočtené hodnoty náběhů a přeběhů tab. 3.5; 3.6 . . . . .	20
8. Optimální řezné podmínky, tab.3.7 - 3.9 . . . . .	22
9. Vypočtené souřadnice záběrového pole, tab. 3.10 . . . . .	25
10. Souřadnice trajektorií bodů ostrí odvalovací frézy pro výpočet průřezu třísky (obrobitelnosti, řezných podmínek, hlavních a vedlejších časů); tab. 3.11 . . . . .	26
11. Tabulky pomocných hodnot pro stanovení technologického postupu; tab. 4.1 - 4.19 . . . . .	29
12. Matematický model výběru operací tab. 4.20 . . . . .	42
13. Technologický postup výroby monolitní frézy sestavený počítačem; tab. 4.21 . . . . .	45
14. Souhrnný technologický postup tab. 4.22 . . . . .	47

1. Příklad výpočtu výchozího povrchu a ostří odvalovací frézy pro frézování šestihranu pro čelo rovnoběžné s osou nástroje

Tab. 1.1 Vstupní a výstupní údaje výpočtu

a) Pořadí dat vstupujících do počítače přes snímač	
Označení dané veličiny v programu	Daná veličina
S2 /m m/	Poloměr vepsané kružnice N-hranu
BET /°/	Úhel sklonu nástroje
T /m m/	Nejkratší vzdálenost os nástroje součásti
VER /m m/	Poloměr navržené frézy
PH	Počet hran N-hranu
D /m m/	Vzdálenost roviny kolmé na On od počátku
JGAMAP /°/	Počáteční úhel
KGAMAP /°/	Krok úhlu
EGAMAP /°/	Konečný úhel
ETAK /°/	Krok úhlu (dán počtem zubů)
FRFI /°/	Konečný úhel

b) Data zadávaná přes dálnopis	
JFI /°/	Počáteční úhel
KFI /°/	Krok otáčení nástroje

c) Pořadí dat vystupujících z počítače	
ETA	pootočení roviny řezu o úhel $\vartheta$
GAMA	Úhel čela $\gamma_0$
FI	Parametr pootočení
OB	Souřadnice obálky s řezem rovnoběžným s osou $o_n$
OBP	Souřadnice obálky s řezem kolmým na $o_n$
POLO	Ostří vyjádřené řezem o poloměru $r$ a posu- tém podél osy $o_n$ o vzdálenost z

Tab. 1.2 Výtaž z výsledků výpočtu výchozího povrchu pro šestihran. Čelo rovinné.

Dané hodnoty:  $T = 100$ ,  $VER = 50$ ,  $PH = 6$ ,  $D = 0$ ,  $S2 = 50$ ;  
 $BET = 5; 0$ ,  $JGAMAP = -10$ ,  $KGAMA = 10$ ,  $ETA = 36$ ,  
 $FRFI = 360$ .

FI	OB			OBP			POLO		
	x	y	z	x	y	z	r	r	z
36,0	-29,35	40,38	-1,98	-29,02	40,37	0,00	49,93	-1,98	
36,8	-29,14	39,94	2,57	-29,57	39,95	0,00	49,44	-2,57	
37,6	-28,92	39,48	7,11	-30,12	39,53	0,00	98,94	7,11	
38,4	-28,69	39,02	11,61	-30,66	39,09	0,00	48,43	11,61	
39,2	-28,46	38,54	16,08	-31,20	38,65	0,00	47,91	10,08	
40,0	-28,22	38,06	20,52	-31,73	38,19	0,00	47,38	20,52	
40,4	-28,10	37,81	22,73	-31,99	37,96	0,00	47,11	22,73	

2. Příklad výpočtu výchozího povrchu a ostří odvalovací frézy pro frézování šestihranu pro čelo ve tvaru šroubové plochy

Tab. 1.3 Vstupní a výstupní údaje výpočtu

a) Pořadí dat vstupujících do počítače přes snímač

Označení dané veličiny v programu	Daná veličina
S2 /m m/	Poloměr vepsané kružnice
BET /°/	Úhel sklonu nástroje
T / m m/	Nejkratší vzdálenost os
VER /m m/	Poloměr navržené frézy
PH	Počet hran N-hranu
D /m m/	Vzdálenost roviny kolmé na osu nástroje
JGAMAP /°/	Počáteční úhel GAMA
KGAMA /°/	Krok úhlu GAMA
EGAMA /°/	Konečný úhel GAMA
ETAK /°/	Krok úhlu ETA
TT	Parametr přímky
SC /m m/	Stoupání šroubovice

b) Data zadávaná přes dálnopis

KFI /°/	Krok úhlu FI
JFI /°/	Počáteční úhel FI
MK1 (1)	Počáteční odhad parametrů
MK1 (2)	pro approximaci Newtonovou
MK1 (3)	metodou

c) Pořadí dat vystupujících z počítače

ETA	Pootočení roviny řezu o úhel $\varphi$
GAMA	Úhel čela $\gamma_0$
FI	Parametr pootočení
OBS	Souřadnice průsečíků šroubové plochy a obálky z rovnice obálky
SRP	Souřadnice průsečíků šroubové plochy a obálky z rovnice šroubové plochy
OB	Souřadnice roviny rovnoběžné s osou o <sub>n</sub>

Tab. 1.4 Výtah z výsledků výpočtu výchozího povrchu pro šestihran - čelo šroubové

Dané hodnoty:		SRPL						OB		
		OBS			x			y		
FI	x	y	z		x	y	z	x	y	z
35,60	-29,09	40,59	-2,06	-29,00	40,59	-2,06	-29,50	40,60	-4,40	
36,40	-29,24	40,16	0,32	-29,24	40,16	0,32	-29,18	40,16	0,70	
37,20	-29,39	39,73	2,73	-29,39	39,73	2,73	-28,85	39,71	5,90	
38,00	-29,52	39,28	5,15	-29,52	39,28	5,15	-28,51	39,24	11,08	
38,80	-29,64	38,82	7,58	-29,64	38,82	7,58	-28,16	38,77	16,25	
39,60	-29,75	38,36	10,02	-29,75	38,36	10,02	-27,81	38,28	21,39	

Tab. 2.1 Vypočtené hodnoty konstrukčních parametrů válcové odvalovací frézy

Označení	Vypočtené hodnoty	Název parametru
$l_f$	75,1207	Délka nástroje
$D_n$	32,0000	Průměr upínacího otvoru
$Z_f$	9,0000	Počet hřebenů
$\vartheta_d$	22° 00' 00"	Úhel rozevření drážky
$H_h$	5,0000	Výška hlavy nástroje
$H_p$	4,8000	Výška paty nástroje
$H_n$	9,8000	Výška zuba nástroje
$t_n$	12,5664	Rozteč v normální rovině frézy
$s_r$	6,2832	Tloušťka zuba na roztečné přímce
$r_f$	1,0000	Poloměr zaoblení na hlavě a patě zuba
$D_d$	48,0000	Průměr paty podélných drážek
$\vartheta_{rh}$	11° 08' 31"	Úhel hřbetu na hlavě zuba
$k$	5,5000	Zdvih vačky
$r_{pd}$	7,7297	Poloměr pomocné kružnice
$H_{pm}$	2,2000	Výška paty zuba nástroje k poč. modifikace
$o_2V$	30,2000	Vzdálenost při kontrole
$\delta_1$	14° 39' 53"	Velikost úhlu delta při kontrole
$\delta_2$	30° 00' 00"	Velikost úhlu delta 2 při kontrole
$\delta_3$	15° 20' 07"	Velikost úhlu delta 3 při kontrole
$I'L$	2,0688	Vzdálenost při kontrole
$VL$	29,1940	Vzdálenost při kontrole
$I'N$	27,1252	Vzdálenost při kontrole
$I'0_1$	47,1252	Vzdálenost při kontrole
$\delta_4$	9° 09' 54"	Vzdálenost úhlu delta 4
$\delta_5$	10° 18' 54"	Velikost úhlu delta 5
$o_20_1$	47,7549	Vzdálenost při kontrole
$R_{zn}$	5,4230	Poloměr základního válce evolventního šneku
$y_A$	39,0000	Souřadnice bodu A hlavy zuba profilu hřebene

pokračování tab. 2.1

Označení	Vypočtené hodnoty	Název parametru
$y_B$	30,0500	Souřadnice bodu B paty zuba hřebene
$\delta_A$	82° 00' 25"	Úhel záběru v bodu A
$\delta_B$	79° 36' 11"	Úhel záběru v bodu B
$\delta_{CA}$	58° 01' 00"	Úhel profilu Archimedova šneků
$\delta_C$	80° 43' 08"	Úhel profilu evolventního šneků
$l_z$	68,5467	Délka závitové části nástroje
$l_{kn}$	3,2860	Délka nákrúžku
$l_t$	150,2414	Délka upínacího trnu mezi opěrymi ložisky
$D_{kn}$	51,2000	Průměr nákrúžku nástroje
$S_u$	0,8000	Rozměr sražení hran
$k_1$	9,9000	Zdvih vačky podsoustružení základního hřbetu
$R_p$	30,2000	Poloměr patní kružnice nástroje
$D_{hl}$	84,4000	Hlavový průměr nástroje pro podsoustružení
$D_r$	70,0000	Roztečný průměr nové odvalovací frézy
$t_{cl}$	12,5887	Osová rozteč na roztečné přímce
$S_{rc}$	6,2943	Osová tloušťka zuba hřebene na roztečné přímce
$t_{cn}$	12,5798	Osová rozteč frézy před kalením
$l_z$	75,1207	Délka frézy
$S_{rl}$	5,9832	Tlušťka zuba na roztečné rovině
$F_z$	90,3401	Složka řezného odporu
$H_{hl}$	5,2000	Výška hlavy zuba hřebene pro profil l
$S_{r2}$	5,4832	Tlušťka zuba na roztečné rovině frézy pro profil 3
$F_Y$	36,1360	Složka řezného odporu
$T_u$	36136,0256	Tuhost upnutí
$H_{h2}$	5,4000	Výška hlavy zuba hřebene pro profil

pokračování tab. 2.1

Označení	Vypočtené hodnoty	Název parametru
$H_{kl}$	9,6000	Kontrola nejslabšího místa tělesa
$H_{dn}$	16,0000	Hloubka zubové drážky
$r_{fd}$	1,6755	Poloměr zaoblení paty zuba podélných drážek
$D_{nl}$	33,0000	Průměr odlehčení otvoru
$L_{nl}$	22,5362	Délka odlehčení otvoru
$D_r$	67,2500	Roztečný průměr frézy
$\beta_z$	30° 24' 36"	Úhel stoupání šroubovice
$H_d$	3545,7235	Stoupání šroubovice drážky
$\beta_d$	30° 24' 36"	Úhel stoupání šroubovice sklonu drážek
$t_{ce}$	12,5887	Osová rozteč
$R_k$	21,6916	Kontrolní průměr bodu K
$\alpha_{nb}$	100° 59' 59"	Normální úhel hřbetu na boku zuba
$H_t$	12,5887	Stoupání šroubovice zuba hřebenu
$\alpha_{pp}$	20° 07' 37"	Profilový úhel pravochodý
$\alpha_{Lp}$	19° 56' 21"	Profilový úhel pravochodý
$\alpha_{PL}$	19° 56' 21"	Profilový úhel levochodý
$\alpha_{LL}$	20° 07' 37"	Profilový úhel levochodý
RL	1,0000	Poloměr zuba východního profilu

Tab. 2.2 Vypočtené hodnoty konstrukčních parametrů kuželové odvalovací frézy

Označení	Vypočtené hodnoty	Název parametru
m	6,0	modul
$\omega_k$	15°	úhel kužele frézy
D <sub>hn</sub>	180,0	vnější průměr frézy
$z_f$	8,0	počet hřebenů
$v_d$	25°	úhel drážky
$l_z$	109,247	délka ozubeného hřebene
$l_f$	115,525	délka nástroje
k	13,0	zdvih vačky
$\delta_{rh}$	10°25'15"	úhel hřbetu na hlavě zuba
hh	7,500	výška hlavy zuba frézy
hp	6,979	výška paty zuba frézy
$h_z$	14,479	výška zuba frézy
Dd	121,99	průměr paty podélných drážek
H <sub>dn</sub>	29,005	hloubka zubové drážky
v <sub>fdn</sub>	1,524	poloměr zaoblení paty zuba drážky
t	18,849	normálná rozteč
s <sub>p</sub>	9,424	tloušťka zuba na roztečné přímce
r <sub>f</sub>	1,5	poloměr zaoblení na patě i hlavě profilu zuba
D <sub>h1</sub>	151,724	vnější průměr frézy - malý
D <sub>h2</sub>	208,275	vnější průměr frézy - velký
D <sub>dn1</sub>	93,715	malý průměr podélných drážek
D	60,000	průměr upínacího otvoru
D <sub>k1</sub>	84,000	průměr malého nákrúžku
D <sub>k2</sub>	140,550	průměr velkého nákrúžku
D	157,741	roztečný průměr frézy
$\beta_{zn}$	2°10'48"	úhel stoupání šroubovice zubů frézy
$t_c$	18,863	osová rozteč
r <sub>pd</sub>	16,279	poloměr pomocné kružnice
$\alpha_{re}$	10°25'42"	pracovní úhel hřbetu
$\alpha_c$	20° 0'48"	úhel profilu evolventního šneku
$\alpha_{bn}$	3°36'6"	normálový úhel hřbetu na boku zuba
H <sub>z</sub>	18,86	stoupání zuba
$\alpha_{cA}$	20°32'11"	úhel profilu Archimedova šneku

pokračování tab. 2.2

Označení	Vypočtené hodnoty	Název parametru
$\alpha_{PP}$	$20^{\circ}35'34''$	úhel profilu pravé strany, pravochodý šnek
$\alpha_{PL}$	$20^{\circ}28'48''$	úhel profilu pravé strany, levochodý šnek
$\alpha_{LP}$	$20^{\circ}28'48''$	úhel profilu levé strany, pravochodý šnek
$\alpha_{LL}$	$20^{\circ}35'34''$	úhel profilu levé strany, levochodý šnek

Tab. 2.3 Tabulka kódů obráběného materiálu ozubeného kola

Materiál ozubeného kola	M
Uhlíková ocel $\leq$ pt do 800 MPa	M1
Uhlíková ocel $\leq$ pt nad 800 MPa	M2
Ocel chromové	M3
Litina do HB = 1700 MPa	M4
Litina HB = 2120-2230 MPa	M5

Tab. 2.4 Tabulka hodnoty konstant pro stanovení řezné síly

M	Cz	Xz	Yz
M1	30,0	1,02	0,75
M2	31,0	0,9	0,76
M3	24,4	1,03	0,75
M4	11,7	1,13	0,8
M5	10,9	1,37	0,8

Tab. 2.5 Sada vaček dle hodnoty k pro podtáčení

0,50	3,50	7,50
0,75	4,00	11,00
1,00	4,50	12,00
1,25	5,00	13,00
1,75	5,50	14,00
2,00	6,00	15,00
2,25	6,50	16,00
2,50	7,00	17,00
2,75	8,00	18,00
3,00	9,00	19,00
1,50	10,0	20,00

Tab. 2.6 Geometrie odvalovacích fréz

## a) Vstupní data pro přímou transformaci

Označení v programu	Význam veličiny
Čelo	Druh zadání plochy čela (1,2,3,4)
Hřbet	Druh zadání plochy hřbetu (1,2,3)
I	Počet přeostření
GAMAX	Úhel $\gamma$ ve směru osy x pro zadání: $\gamma_s = 0$ pro $(x_n, y_n, z_n)$ soustavu $\gamma_s = \lambda_s$ pro $(x_o, y_o, z_o)$ soustavu $\gamma_p$ pro $(x_f, y_f, z_f)$ soustavu
GAMAZ	Úhel $\gamma$ ve směru osy z pro zadání $\gamma_n$ pro $(x_n, y_n, z_n)$ soustavu $\gamma_o$ pro $(x_o, y_o, z_o)$ soustavu $\gamma_f$ pro $(x_f, y_f, z_f)$ soustavu
LAMBDA	Nástrojový úhel sklonu ostří $\lambda_s$
KAPA	Nástrojový úhel nastavení $\alpha_r$
THETA	Úhel pro který je zadána hodnota Ka, K, Kkk
OMEGA	Úhel stoupání šroubovice zákl. šneků $\beta_z$ na poloměru R
A	Úhel nastavení frézy
B, C	Úhly polohy bodu M
VY	Řezná rychlosť na poloměru R
SX	Posuv ve směru osy x
SY	posuv ve směru osy y
ST	rychlosť otáčení obrobku v bodě M
SD	Diagonální posuv
OSTR	Délka oblouku odbroušení na poloměru R
RO	Poloměr broušení podle kružnice
H	Hodnota vyhloubení při broušení dle kružnice
R	Základní poloměr frézy
R1	Výpočtový poloměr - poloha bodu M
SA	Hodnota axiálního podtáčení
SR	Hodnota radiálního podtáčení
FI	Poloviční úhel kuželevé frézy

## Pokračování tabulky 2.6

### b) Výstupní data přímé transformace

Geometrie ostří odvalovací frézy - název

Čelo 2 LAMDA . . . . . dané hodnoty

Počet I = 3

tabulka

Souřadná soustava	GAMAX	GAMAZ	ALFAX	ALFAZ
Nástrojová normálná		$\gamma_n$		$\alpha_n$
Nástrojová ortogonální	$\lambda_s$	$\gamma_o$		$\lambda_o$
Nástrojová	$\gamma_p$	$\gamma_f$	$\lambda_p$	$\lambda_f$
Pracovní	$\gamma_{pe}$	$\gamma_{fe}$	$\lambda_{pe}$	$\lambda_{fe}$
Pracovní ortogonální	$\lambda_{se}$	$\gamma_{oe}$		$\lambda_{oe}$
Pracovní normálná	$\gamma_{ne}$			$\alpha_{ne}$

Tab. 2.7 Výsledky výpočtu řezných úhlů - transformace přímá

Dáno:	$\check{\varphi}_1 = 4^{\circ} 37'$	$\check{\varphi}_2 = 2^{\circ}$ (radiální podtáčení)
GAMAX = 6,0; GAMAZ = 3,0; LAMDA = 0,00; KAPA = 70, THETA = 36; OMEGA = 3		
A = 0,0; B = 0,0; C = 0,0		
VY = 1,0; SX = 0,00; SY = 0,001	ST = 0,0524	SD = 0,00
R = 45,0	R1 = 45,0	SA = 0,00
		SR = 10,0
		FI = 0,00

Soustava	GAMAX	GAMAZ	ALFAZ	ALFAZ
Nástrojová normálná		4°51'		4°14'
Nástrojová ortogonální	4°37'	4°52'		4°13'
Nástrojová	6°0'	3°0'	11°59'	4°30'
Pracovní	6°0'	0°0'	19°27'	7°30'
Pracovní ortogonální	5°38'	2°2'		7°2'
Pracovní normálná		2°1'		7°4'

Tab. 2.8 Geometrie odvalovacích fréz

a) Vstupní data pro inversní transformaci

Pro vstupní data platí stejné zásady a označení jako byly uvedeny v tab. 2.6

Označení v programu	Význam veličiny
TYP	Druh zadání
GAMAX	Úhel $\gamma$ ve směru osy x pro jednotlivá zadání $\gamma_{se} = 0$ pro soustavu $(x_{ne}, y_{ne}, z_{ne})$ $\gamma_{se} = \lambda_{se}$ pro soustavu $(x_{oe}, y_{oe}, z_{oe})$ $\gamma_{pe}$ pro $x_{fe}, y_{fe}, z_{fe}$
GAMAZ	Úhel $\gamma$ ve směru osy z pro jednotlivá zadání: $\gamma_{ne}$ pro $(x_{ne}, y_{ne}, z_{ne})$ $\gamma_{oe}$ pro $(x_{oe}, y_{oe}, z_{oe})$ $\gamma_{fe}$ pro $(x_{fe}, y_{fe}, z_{fe})$
ALFAX	úhel $\alpha$ ve směru osy x pro jednotlivá zadání: $\alpha_e = 90^\circ$ pro $(x_{ne}, y_{me}, z_{ne})$ $\alpha_e = 90^\circ - \lambda_{se}$ pro $(x_{oe}, y_{oe}, z_{oe})$ $\alpha_{pe}$ pro $(x_{fe}, y_{fe}, z_{fe})$
ALFAZ	Úhel $\alpha$ ve směru osy z pro jednotlivá zadání: $\alpha_{ne}$ pro $(x_{ne}, y_{ne}, z_{ne})$ $\alpha_{oe}$ pro $(x_{oe}, y_{oe}, z_{oe})$ $\alpha_{fe}$ pro $(x_{fe}, y_{fe}, z_{fe})$
KAPAE	Pracovní úhel nastavení $K_{re}$

Dále jako pro přímou transformaci viz tab. 2.6

b) Výstupní data inversní transformace

Pořadí dat

Geometrie ostří odvalovací frézy

Zadáno: inversní transformace

Typ: = GAMAX =

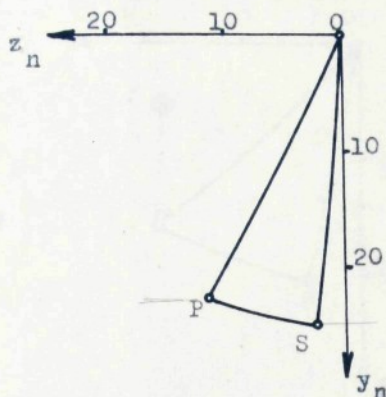
Tabulka úhlů v jednotlivých soustavách v opačném pořadí než v tab. 2.6

Tab. 2.9 Výsledky výpočtu řezných úhlů - inverzní transformace

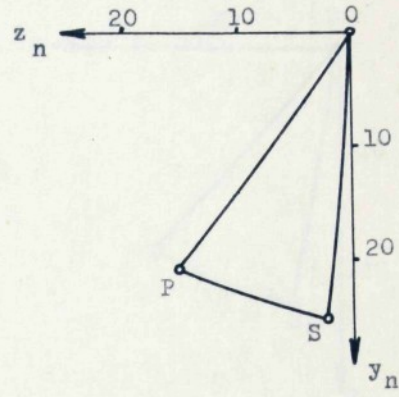
Zadáno: Inversní transformace				
Typ 1				
GAMAX = 0,0	GAMAZ = 2,024;	ALFAZ 90,0	ALFAZ 7,064	
LAMDAE = 5,641,	KAPAE = 70,253;	THETA = 36,0;	OMEGA = 3,0	
A = 0,0	B = 0,0	C = 0,0		
VY = 1,0 ;	SX = 0,0 ;	SY = 0,001 ;	ST = 0,0524 ;	SD = 0,0
R = 45,0	R1 = 45 ;	FI = 0,0		
Soustava	GAMAX	GAMAZ	ALFAZ	ALFAZ
Pracovní normálná		2°1'		7°4'
Pracovní ortogonální	5°30'	2°2'		7°2'
Pracovní	6°0'	0°0'	19°27'	7°30'
Nástrojová	6°0'	3°0'	11°59'	4°30'
Nástrojová ortogonální	4°37'	4°52'		4°13'
Nástrojová normálná		4°51'		4°14'
SA = 3,707			SR = 10,0	

Tab. 3. 1 Záběrové pole frézy

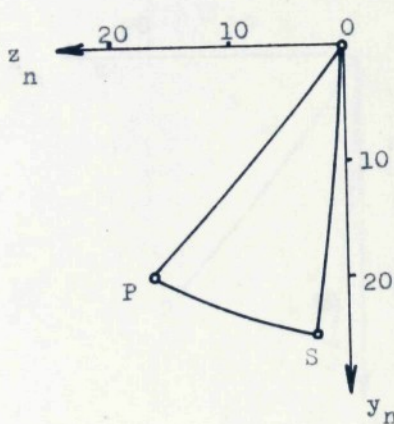
a/ Vliv posuvu  $s_0$  na velikost a tvar záběrového pole



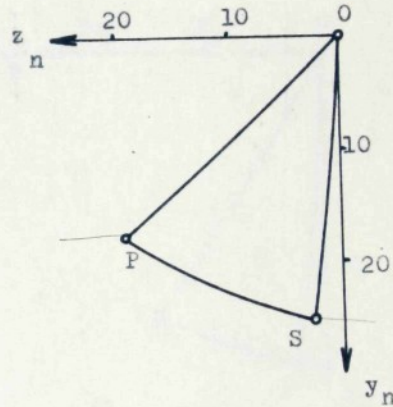
Graf 1 -  $m = 3$ ,  $z_k = 30$   
 $R_h = 50$ ,  $s_0 = 2$



Graf 2 -  $m = 3$ ,  $z_k = 30$   
 $R_h = 50$ ,  $s_0 = 4$



Graf 3 -  $m = 3$ ,  $z_k = 30$   
 $R_h = 50$ ,  $s_0 = 5$

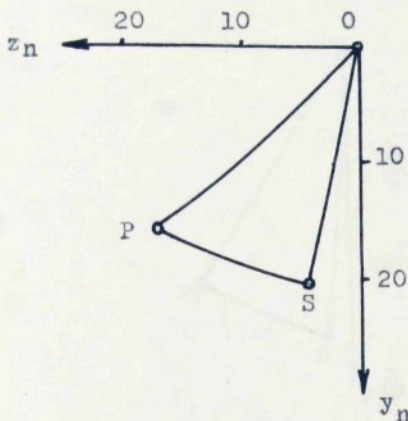


Graf 4 -  $m = 3$ ,  $z_k = 30$   
 $R_h = 50$ ,  $s_0 = 7$

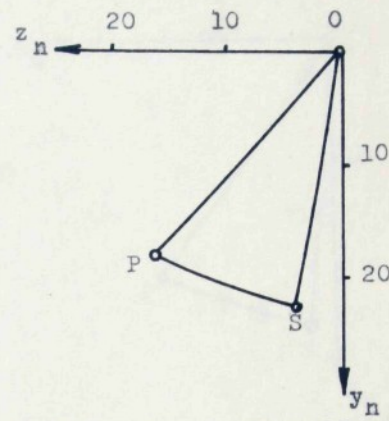
Z grafů 1, 2, 3 a 4 je vidět, že vlivem rostoucího posuvu se zvětšuje šířka záběrového pole, zatímco jeho délka zůstává nezměněna.

Tab. 3. 2 Záběrové pole frézy

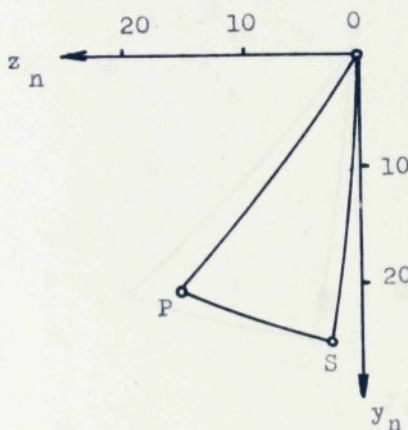
b/ Vliv poloměru  $R_h$  na velikost a tvar záběrového pole



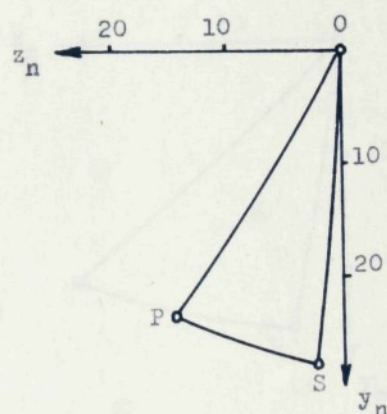
Graf 5 -  $m = 3$ ,  $z_k = 30$   
 $R_h = 35$ ,  $s_0 = 4$



Graf 6 -  $m = 3$ ,  $z_k = 30$   
 $R_h = 40$ ,  $s_0 = 4$



Graf 7 -  $m = 3$ ,  $z_k = 30$   
 $R_h = 50$ ,  $s_0 = 4$

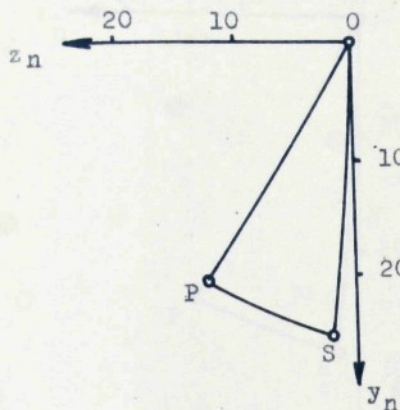


Graf 8 -  $m = 3$ ,  $z_k = 30$   
 $R_h = 60$ ,  $s_0 = 4$

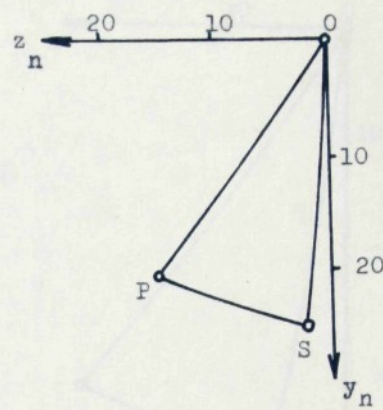
S rostoucím poloměrem nástroje  $R_h$  roste délka záběrového pole, jeho šířka zůstává v podstatě konstantní a záběrové pole se přikláání blíž k ose  $y_n$  - jak je vidět z grafů 5, 6, 7 a 8.

Tab. 3. 3 Záběrové pole frézy

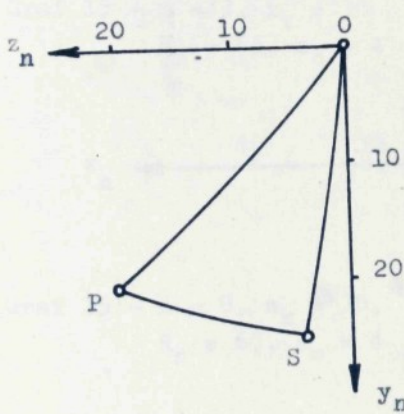
c/ Vliv počtu zubů  $z_k$  na velikost a tvar záběrového pole



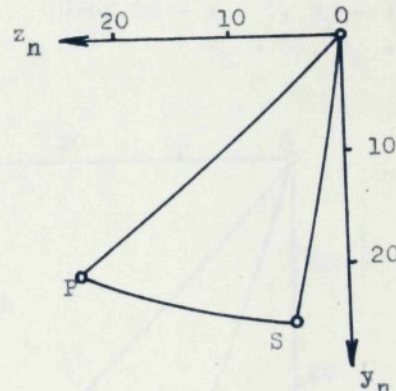
Graf 9 -  $m = 3$ ,  $z_k = 20$   
 $R_h = 50$ ,  $s_0 = 4$



Graf 10 -  $m = 3$ ,  $z_k = 30$   
 $R_h = 50$ ,  $s_0 = 4$



Graf 11 -  $m = 3$ ,  $z_k = 50$   
 $R_h = 50$ ,  $s_0 = 4$

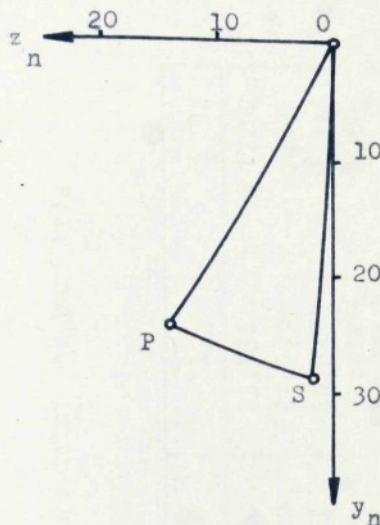


Graf 12 -  $m = 3$ ,  $z_k = 70$   
 $R_h = 50$ ,  $s_0 = 4$

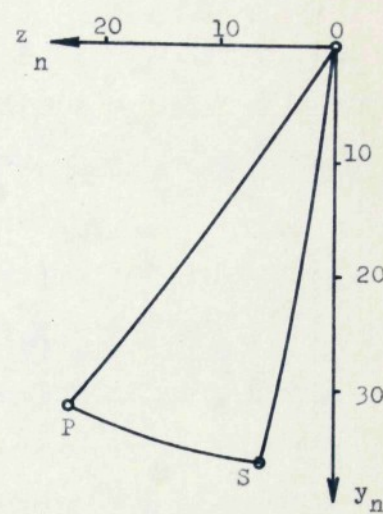
Grafy 9, 10, 11 a 12 naznačují, že při zvětšujícím se počtu zubů roste šířka záběrového pole, délka záběrového pole zůstává přibližně stejná a záběrové pole se odklání od osy  $y_n$ .

Tab. 3. 4 Záběrové pole frézy

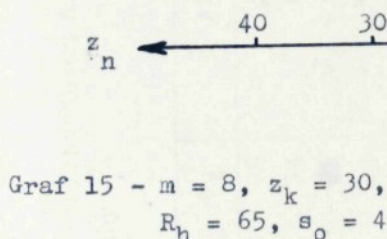
d) Vliv modulu na tvar a velikost záběrového pole



Graf 13 -  $m = 3$ ,  $z_k = 30$   
 $R_h = 65$ ,  $s_0 = 4$



Graf 14 -  $m = 5$ ,  $z_k = 30$   
 $R_h = 65$ ,  $s_0 = 4$



Graf 15 -  $m = 8$ ,  $z_k = 30$ ,  
 $R_h = 65$ ,  $s_0 = 4$

Z grafů 13, 14 a 15 je vidět, že s rostoucím modulem se zvětšuje šířka i délka záběrového pole, přičemž délka roste rychleji. Kromě toho se pole odkládí prudce od osy y.

Tab. 3.5 Tabulka vypočtených náběhů a přeběhu pro čelní ozubená kola  
se šikmými zuby

m	$z_k$	$\alpha^\circ$	$\beta_z^\circ$	$\phi_{D_h}$	$\delta^\circ$	$l_a$	lp
1	40	20	26	50	30	13,254	1,762
2	40	20	34	63	30	21,963	3,288
3	40	20	26	80	30	30,927	5,346
4	40	20	34	90	30	38,776	6,575
5	40	20	25	100	30	46,535	8,911
5	10	20	26	100	30	39,687	8,911
5	20	20	34	100	30	42,119	8,219
5	30	15	25	100	30	44,392	12,104
5	40	15	34	100	30	46,535	11,165
5	50	15	25	100	30	4,8,572	12,104
5	50	20	26	100	30	48,572	8,911
5	50	15	20	100	35	54,615	14,144
5	50	15	35	100	40	61,874	16,033
5	50	15	50	100	45	70,675	14,993
5	50	15	55	100	50	81,537	15,944

Tab. 3.6 Tabulka náběhu a přeběhu odvalovacích fréz s náběhovým kuželem

$m$	$z_k$	$\alpha^{\circ}$	$\beta_{z_s}^{\circ}$	$\phi D_h$	$\delta^{\circ}$	$\omega_k$	$l_z^{\circ}$	$l_{sn}$	$l_n$	$l_p$
2	60	20	35	63	33	18	30	10	50	3,7
5	40	20	30	100	27,6	18	52	25	65,1	7,8
10	30	15	40	150	35,3	18	105	50	123,5	25,3

Zadávání vstupních a tisk výstupních hodnot  
při výpočtu optimálních řezných podmínek

Nutným předpokladem pro správné zadání vstupních dat je shromáždění potřebných informací o podmínkách, za kterých se uskutečňuje daný proces obrábění.

Tyto vstupní údaje zapisujeme do formuláře vstupních dat, který se skládá ze tří částí:

1. část - podává informace o typu obráběcího stroje, nástroje s označením materiálu obrobku, čísla dílenského výkresu a čísla pracoviště.
2. část - vytvořená konstantními daty, která nám charakterizují na vstupu do samočinného počítače obrobek, způsob obrábění (hrubování nebo dokončovací), provozní podmínky stroje, konstanty obrobiteľnosti a řezivosti, krovkování frézy a nákladové polohy.
3. část - zde se vypisují vypočtené hodnoty, které se vytiskly na široké tiskárně; tyto hodnoty zpravidla budeme muset upravit tak, aby vyhovovaly hodnotám nastaviteľným na obráběcím stroji.

Vstupní data děrujeme na pásku tak, že čtení probíhá po řádku a udává tak pořadí přečtených údajů.

Vlastní vypracování formuláře vstupních dat je provedeno v tab. 3.7

Tab. 3.9 Výsledky výpočtu optimalizovaných veličin

Příklad 1: NO = 1033 SO = 1,78 TCYKL = 2,93 NCJ = 4,98	Příklad 2: NO = 477 SO = 5,11 TCYKL = 1,00 NCJ = 10,69
Příklad 3: NO = 1033 SO = 1,78 TCYKL = 2,93 NCJ = 4,978	Příklad 4: NO = 1600 SO = 12,0 TCYKL = 12,3 NCJ = 0,133

Tab. 3.7 Formulář vstupních a výstupních údajů

Typ obráběcího stroje				Číslo dílenského výkresu:			
Nástroj				Číslo pracoviště:			
Materiál obrobku							
DF.	HL.	BT.	CP.	TOLER.	AL		
HR.	TV.	TW.	PRES.				
HZ.	DK.	SRA.	STNMIN.	STNMAX			
WSUZ.	ETA.	ATR.	LTR.	DV.			
CG.	CW.	CV.	RM.				
KROK.	KOR.	KY.	LUZ.	LA.	LB.	LF.	
MN.	CN.	KZ.	KF.	ZO.	MS.	MOS.	
RD.	RS.	TOS.	T102.	LK.			
IT							
Optimalizované veličiny				Vypočtené hodnoty			
NO /1/s/ (1/min.)							
SO /mm/ot./							
TCYKL /s/ (min)							
NCJ /Kčs/J/							

Tab. 3.8 Vstupní data kontrolních příkladů

- Příklad č.1: 200. 3. 0. 0. 0.05 0.615  
0.0 0.0 0.0 2 0.001  
3.38 47. 5.2 25. 2500.  
3.500. 0.75 75. 170. 30.  
1.2 1.3 650. 0.35  
1. 1. 0.4 75. 0. 0. 0.  
1.5 1260. 45. 1. 20. 7.3 8.5  
254. 150. 40. 10. 8.2
- Příklad č.2: 200. 3. 0. 0. 0.05 0.615  
0.0 0.0 0.0 2 0.001  
3.38 47. 5.2 25. 2500.  
3.500 0.75 75. 170. 30.  
1.2 1.3 300. 0.35  
1. 1. 0.4 75. 0. 0. 0.  
1.5 1260. 45. 1. 20. 7.3 8.5  
254. 150. 40. 10. 8.2
- Příklad č.3: 200. 3. 0. 0. 0.05 0.615  
1. 0.0 0.0 2 0.001  
3.38 47. 5.2 25. 2500.  
3.500. 0.75 75. 170. 30.  
1.2 1.3 650. 0.35  
1. 1. 0.4 75. 0. 0. 0.  
1.5 1260. 45. 1. 20. 7.3 8.5  
254. 150. 40. 10. 8.2
- Příklad č.4: 150. 5. 0. 0. 0.01 0.716  
0.0 0.0 0.0 2 0.001  
3.38 47. 150. 45. 5600.  
8500. 0.75 75. 170. 30.  
1. 1. 798. 0.425  
1. 1. 0.4 80. 0. 0. 0.  
1.5 1260. 45. 1. 10. 8.5 9.6  
254. 30. 40. 10. 6.

Tab. 3.10 Výpočet hranic záběrového pole

Výpočet hranice O - P

$m = 3$ ,  $z_i = 30$ ,  $i_n = 1$ ;  $j = 10$ ,  $\varepsilon = 0,001$ ,

$s_0 = 2,0 \text{ mm/ot}$ ;  $x = 50$ ,  $R_n = 50$ ,  $r_r = 45$ ,

$\beta = 0,032\ 42$ ,  $r_p = 41,25$ ;  $r_h = 48,00$

ID	XN	YN	ZN
1	50,00	0,00	0,00
2	49,94	2,27	1,030
3	49,76	4,55	2,06
4	49,53	6,83	3,12
5	49,16	9,10	4,20
6	48,68	11,38	5,31
7	48,09	13,65	6,46
8	47,39	15,65	7,67
9	46,56	18,20	8,95
10	45,61	20,46	10,31
11	44,53	22,73	11,76

Výpočet hranice O - S

ID	XN	YN	ZN
1	50,	0,00	0,00
2	49,93	2,50	0,21
3	49,74	5,00	1,43
4	49,43	7,51	0,65
5	48,98	10,01	0,88
6	48,40	12,52	1,12
7	47,68	15,02	1,37
8	46,82	17,52	1,64
9	45,81	20,02	1,94
10	44,63	22,53	2,25
11	43,28	25,03	2,61

Výpočet hranice P - S

$$z_{nP} = 11,76978 \quad z_{nS} = 2,61308$$

	XN	YN	ZN
1	43,28	25,03	2,61
2	43,32	24,95	3,52
3	43,38	24,84	4,44
4	43,46	24,71	5,36
5	43,56	24,54	6,27
6	43,67	24,33	7,19
7	43,81	24,09	8,10
8	43,96	23,81	9,02
9	44,13	23,49	9,93
10	44,32	23,13	10,85
11	44,53	22,73	11,76

Tab. 3.11

## Souřadnice trajektorií bodů ostří odvalovací frézy

Souřadnice základních bodů A,B,C,D ve výchozí poloze  
(počátku souřadné soustavy  $x_n$ ,  $y_n$ ,  $z_n$ )

$$ZA = 1,012; ZB = 3,721; ZC = 5,704; ZD = 8,413; K = 0,943$$

Číslo zubu	Číslo bodu	Číslo roviny	Souřadnice řezových rovin	Souřadnice trajektorií bodů			
				$y_5$	x	y	z
1	2	3	4	5	6	7	
1	16	6	22,732	-1,979	-8,973	-12,712	
		7	23,498	-1,955	-8,976	-12,802	
	15	5	18,186	-3,095	-8,349	-7,357	
		6	22,732	-2,223	-8,474	-11,799	
		7	23,498	-2,201	-8,477	-11,890	
		8	24,264	-2,180	-8,479	-11,976	
		9	25,030	-2,160	-8,482	-12,058	
	14	5	dtto	-3,240	-7,851	-6,407	
		6		-2,453	-7,976	-10,866	
		7		-2,433	-7,978	-10,957	
		8		-2,413	-7,981	-11,044	
		9		-2,395	-7,983	-11,125	
	13	5	dtto	-3,367	-7,353	-5,434	
		6		-2,669	-7,478	-9,908	
		7		-2,650	-7,480	-10,000	
		8		-2,632	-7,483	-10,087	
		9		-2,615	-7,485	-10,169	
	12	5	dtto	-3,476	-6,856	-4,440	
		6		-2,868	-6,980	-8,928	
		7		-2,851	-6,983	-9,021	
		8		-2,836	-6,986	-9,108	
		9		-2,819	-6,988	-9,190	

pokračování tab. 3.11

1	2	3	4	5	6	7
	11	5	dtto	-3,566	-6,360	-3,428
		6		-3,049	-6,484	-7,928
		7		-3,034	-6,486	-8,020
		8		-3,020	-6,489	-8,108
		9		-3,006	-6,491	-8,191
	16	5	dtto	10,126	-9,131	-34,367
		6		13,392	-9,398	-37,480
		7		13,462	-9,404	-37,541
		8		13,529	-9,409	-37,599
		9		13,592	-9,414	-37,653
	15	5	dtto	9,451	-8,615	-33,659
		6		12,655	-8,877	-76,840
		7		12,724	-8,882	-36,902
		8		12,790	-8,888	-36,962
		9		12,852	-8,893	-37,017
	14	5	dtto	8,777	-8,100	-32,926
		6		11,918	-8,356	-36,172
		7		11,986	-8,362	-36,236
		8		12,050	-8,367	-36,296
		9		12,111	-8,372	-26,354
	13	5	dtto	8,107	-7,586	-32,167
		6		11,182	-7,837	-35,477
		7		11,249	-7,842	-35,542
		8		11,312	-7,848	-35,604
		9		11,372	-7,853	-35,662
	12	4	dtto	4,696	-6,852	-27,657
		5		7,444	-7,073	-31,381
		6		10,450	-7,318	-34,755
		7		10,516	-7,324	-34,822
		8		10,577	-7,329	-34,885
		9		10,636	-7,334	-34,945

pokračování tab. 3.11

	2	3	4	5	6	7
11	4	dtto	4,118	-6,345	-26,787	
	5		6,787	-6,560	-30,570	
	6		9,722	-6,801	-34,507	
	7		9,787	-6,806	-34,076	
	8		9,847	-6,811	-34,140	
	9		9,905	-6,816	-34,201	
10	4	dtto	3,413	-5,714	-25,669	
	5		5,982	-5,924	-29,523	
	6		8,826	-6,158	-33,038	
	7		8,888	-6,163	-33,108	
	8		8,947	-6,168	-33,174	
	9		9,003	-6,172	-33,237	

Tab. 4.1 - MATERIÁL. Třídy obrobitelnosti ocelí používaných na odvalovací frézy

Materiál	Soustružení	Frézování	Vrtání	Broušení
19802.3	10b	10b	10b	III.
19810.3	9b	9b	9b	III.
19824.3	10b	10b	10b	III.
19826.3	10b	10b	10b	III.
19854.3	9b	8b	8b	III.
19855.3	8b	7b	7b	III.
19856.3	8b	7b	7b	III.
19857.3	8b	7b	7b	III.
15230.3	12b	12b	12b	IV.
15240.3	13b	13b	13b	IV.
14260.3	10b	10b	10b	IV.
12031.3	14b	14b	14b	IV.

Tab. 4.2 - Tabulka řezných podmínek pro broušení čel na brusce BK 5/1500.

d <sub>n</sub>	$L_s = /d_{hn} - d_k//2; 0,3 d_n$							
	6,3	10	16	20	25	40	63	80
	S <sub>p</sub>							
20	1,8	1,6	1,4	-	-	-	-	-
32	1,6	1,3	0,9	0,7	-	-	-	-
50	1,3	0,9	0,7	0,6	0,4	0,3	-	-
80	0,9	0,7	0,6	0,4	0,2	0,14	-	-
125	0,7	0,6	0,4	0,2	0,14	0,1	0,07	-
200	0,6	0,4	0,2	0,14	0,1	0,07	0,05	0,04
300	0,4	0,2	0,14	0,1	0,07	0,05	0,04	0,03

S<sub>p</sub> - příslušný /mm/min/

Tab. 4.3 - Tabulka řezných podmínek a vedlejšího času pro vrtání upínacího otvoru.

$d$	8b	9b	10b	12b	13b	14b	8b	9b	10b	12b	13b	14b	60	80	100	200	300	400
20	145	174	208	291	349	415	0,17	0,18	0,20	0,22	0,23	0,25	1,7	1,8	2,0	4,4	8,5	9,2
25	105	126	150	210	252	300	0,19	0,20	0,21	0,24	0,25	0,27	1,6	1,7	1,9	3,6	7,2	8,1
30	88	105	125	175	210	250	0,19	0,20	0,22	0,25	0,26	0,28	1,6	1,7	1,8	3,4	7,0	7,6
35	68	82	98	137	164	195	0,21	0,22	0,23	0,27	0,28	0,30	1,6	1,6	1,7	3,3	6,9	7,0
45	58	69	83	116	139	165	0,23	0,24	0,26	0,29	0,31	0,33	1,5	1,6	1,7	3,3	6,5	6,8
55	46	55	65	91	109	130	0,24	0,26	0,27	0,31	0,33	0,35	-	1,5	1,6	3,9	5,9	6,2
60	37	44	53	74	88	105	0,25	0,27	0,28	0,32	0,34	0,36	--	1,7	1,6	4,1	4,9	5,4
70	30	36	43	60	71	85	0,26	0,27	0,29	0,33	0,35	0,37	-	-	-	-	-	-

$d$  - průměr vrtáku

$n$  - otáčky nástroje /1/min/

$t_v$  - vedlejší čas /min/

$l$  - délka vrtaného úseku

Tab. 4.4 - Tabulka řezných podmínek a vědlejšího času pro výhrubování upínacího otvoru

d	8b	9b	10b	12b	13b	14b	8b	9b	10b	12b	13b	14b	30	60	90	140	200	250	330
20	156	182	208	234	247	260	0,18	0,19	0,21	0,26	0,29	0,32							
25	120	140	160	180	190	200	0,20	0,22	0,24	0,30	0,33	0,37	1,3	1,6	1,8	2,1	2,5	2,9	3,6
30	93	109	124	140	147	155	0,23	0,25	0,27	0,34	0,38	0,42							
40	60	70	80	90	95	100	0,28	0,30	0,33	0,4	0,45	0,50							
50	45	53	60	68	71	75	0,31	0,34	0,37	0,46	0,51	0,57	1,4	1,7	1,9	2,2	2,6	3,0	3,7
60	33	30	44	50	52	55	0,36	0,39	0,42	0,52	0,59	0,65							
70	27	32	36	41	43	45	0,41	0,44	0,48	0,59	0,67	0,74	1,5	1,8	2,0	2,3	2,7	3,1	3,8

d - průměr výhrubníku

Tab. 4.5 - Tabulka řezných podmínek a vědlejšího času pro vystružování upevnacího otvoru

$a_3$	d	8b	9b	10b	12b	13b	14b	8b	9b	10b	12b	13b	14b	30	60	90	140	200	250	330
0,25	20	54	63	72	81	86	90	0,26	0,29	0,31	0,38	0,43	0,48							
0,25	25	44	51	58	66	69	73	0,32	0,35	0,38	0,46	0,52	0,58	1,3	1,5	1,7	2,0	2,3	2,8	3,4
0,30	30	36	42	48	54	57	60	0,37	0,40	0,44	0,54	0,60	0,67							
0,35	40	25	29	34	38	40	42	0,44	0,48	0,52	0,64	0,72	0,80							
0,40	50	19	22	26	29	30	32	0,52	0,57	0,62	0,76	0,86	0,95	1,5	1,7	1,9	2,2	2,6	3,2	3,8
0,40	60	15	18	20	23	24	25	0,59	0,64	0,70	0,86	0,96	1,07							
0,50	70	12	14	16	18	19	20	0,66	0,72	0,78	0,96	1,08	1,2	1,8	2,0	2,2	2,5	3,0	3,5	4,2

d - průměr výstříleníku /mm/

$a_3$  - přídavek na vystřuhování /mm/

Tab. 4.6 - Tabulka hlavního času pro soustružení zápichů

$t_h$	Průměr obrubku											
	do 60			do 100			do 150			do 200		
	b/h	14b 12b	13b 10b	11b	14b 12b	13b 10b	11b	14b 12b	13b 10b	11b	14b 12b	13b 10b
2,5/ 1,2	0,25	0,3	0,4	0,3	0,4	0,5	0,4	0,5	0,7	0,5	0,7	0,9
4,5/ 2,4	0,35	0,5	0,6	0,4	0,5	0,7	0,6	0,8	1,0	0,7	0,9	1,2

b - šířka zápichu /mm/

h - hloubka zápichu /mm/

Tab. 4.7 - Tabulka řezných podmínek pro soustružení

v	vnější						vnitřní					
	8b	9b	10b	12b	13b	14b	8b	9b	10b	12b	13b	14b
v	29	35	44	72	88	110	8,5	10,3	13,0	21	26	32
s	0,3						0,4					

Tab. 4.8 - Tabulka vedlejšího času pro soustružení čela

Lisovat na trn	$t_{v1} = 0,05/d_n - 2a_3/-0,5$
Upnout mezi hroty	G obrubku /kg/
	5 10 15 20 30 100
Zarovnat čela	$t_{v3} = 0,63 + 0,003/D-d/$

$$t_v = \sum_{i=1}^k t_i$$

D - max. průměr /mm

d - min. průměr /mm

$d_n$  - průměr upínacího otvoru

$a_3$  - přídavek na vystružování /mm/

Tab. 4.9 - Tabulka řezných podmínek pro frézování řezných drážek

$\varnothing_d = 300$	$D_f$	h	s						v						
			7b	8b	9b	10b	12b	13b	14b	7b	8b	9b	10b	12b	13b
d <sub>o</sub> m5	63	0,5	66	82	99	118	170	204	257	12	13	15	18	26	31
		5	54	66	80	96	138	165	208	9	11	14	16	23	28
		10	18	22	27	32	46	55	69	5	8	12	15	21	25
d <sub>o</sub> m10	90	10	19	23	28	34	39	45	56	7	9	11	13	17	21
		15	13	16	19	22	29	38	49	7	8	9	11	18	20
		20	12	13	14	16	19	27	38	6	7	9	10	11	15
d <sub>o</sub> m14	120	20	13	14	16	20	28	36	41	5	7	8	10	12	14
		25	12	13	15	18	21	28	37	4	5	7	8	9	11
		28	12	12	14	16	19	25	30	4	5	6	7	8	10
d <sub>o</sub> m20	160	30	14	16	18	20	24	30	33	4	5	6	7	8	9
		35	12	14	16	18	20	24	29	3	4	5	6	6	7
		40	10	12	14	16	19	23	28	2	3	4	5	6	7

$D_f$  - průměr frézy /mm/

h - hloubka frézování /mm/

s - posuv /mm/min/

v - řezná rychlosť /m/min/

Tab. 4.10 - Tabulka řezných podmínek pro frézování drážek řezných hřebenů

$\varnothing = 90^\circ$	$D_f$	z	h	b	s						v			
					8b	9b	10b	12b	13b	14b	8b	9b	10b	12b
56	16	4	12,5	58	70	84	120	144	181	10	12	14	20	24
					32	39	46	67	80	101	8	10	12	18
70	18	5	15,7	52	62	74	107	128	161	8	10	12	18	21
					27	33	39	57	68	86	7	9	10	15
90	20	8	25,0	38	46	54	78	94	118	7	8	10	14	17
					16	19	23	33	40	50	6	8	9	13
					15	29,5	16	19	23	33	40	50	6	8
													16	20

$D_f$  - průměr frézy /mm/

z - počet zubů frézy

h - hloubka frézování /mm/

b - šířka frézování /mm/

s - posuv /mm/min/

v - řezná rychlosť /m/min/

Tab. 4.11 - Tabulka řezných podmínek pro frézování kotoučovou frézou

$D_f$	h = m	s						v							
		7b	8b	9b	10b	12b	13b	14b	7b	8b	9b	10b	12b	13b	14b
d <sub>o</sub> m6	3	91	104	125	149	215	257	324	9	11	13	16	23	27	34
	5	64	79	95	114	164	196	247	8	10	12	15	21	25	32
	10	51	57	68	82	118	141	178	7	9	11	13	19	23	29
d <sub>o</sub> m10	5	48	62	74	89	128	153	193	8	9	11	13	19	23	29
	10	31	42	50	60	86	103	130	7	8	10	12	18	21	26
d <sub>o</sub> m14	10	32	40	48	57	83	99	125	8	9	11	13	18	22	28
	20	17	20	24	28	41	49	62	7	8	10	12	17	20	25
d <sub>o</sub> m20	10	29	35	42	52	73	87	110	7	9	11	13	18	22	28
	20	18	21	25	30	43	52	66	6	8	9	10	15	18	23
	40	8	10	12	15	21	25	32	6	7	8	10	14	17	21

$D_f$  - průměr frézy /mm/

h - hloubka frézování /mm/

Tab.4.12 - Tabulka řezných podmínek pro broušení upínacího otvoru

Délka "Ln" /mm/	Průměr otvoru obrobku							
	10	15	25	30	40	50	65	100
i	s	i	s	i	s	i	s	i
25	47	1,2	42	5,2	38	7,8	47	8,4
40	45	2,0	43	6,0	43	10,0	48	10,2
65	-	-	45	6,8	45	11,5	50	12,0
100	-	-	47	7,4	47	13,4	55	13,8
160	-	-	-	-	49	14,8	59	15,8
220	-	-	-	-	51	16,3	61	16,7
280	-	-	-	-	-	-	66	17,6
320	-	-	-	-	-	-	69	19,2
							78	21,3

i - počet záběru

s - podélný posuv /mm/otv/

Tab. 4.13 - Tabulka řezných podmínek pro tvarové frézování

$D_f$	$b$	$h$	10b	12b	13b	14b	10b	12b	13b	14b
45	3, 2-4	0,2 1,6	93 122	119 138	131 149	150 171	16 16	22 20	28 26	34 30
63	8 - 10	0,4 4,0	64 87	79 112	95 130	122 148	16 15	20 19	29 26	38 33
80	16	0,5 4,0 8,0	44 98 58	58 110 69	71 128 83	92 145 106	15 14 13	20 19 16	29 25 23	38 36 31
	100	28	0,5 7,0 14,0	29 64 29	39 79 38	50 94 49	72 115 67	15 12 10	19 18 14	28 26 20

$D_f$  - průměr frézy /mm/

$z$  - počet zubů frézy

$b$  - šířka frézované drážky /mm/

$h$  - hloubka řezu /mm/

$s$  - posuv /mm/min/

Tab. 4.14 - Tabulka řezných podmínek pro broušení vnějšího průměru

Délka úseku "l"/mm/	Průměr obrobku											
	10		25		40		65		100		160	
	i	s	i	s	i	s	i	s	i	s	i	s
65	38	4	20	8	17	10	18	12	19	15	-	-
100	38	4	27	10	25	15	23	16	25	19	37	20
160	-	-	31	14	26	16	27	18	30	21	41	22
250	-	-	34	15	28	17	30	19	33	23	43	24
320	-	-	37	16	31	20	34	22	36	27	46	26

i - počet záběrů

s - podélný posuv /mm/ot/ obrobku

Tab.4.15 - Tabulka řezných podmínek pro broušení obvodem

šířka plochy	a	n <sub>z</sub>	i
20 mm	0,25	18	3
50 mm	0,30	18	3

a - přídavek na broušení /mm/

n<sub>z</sub> - počet zdvihů stolu /l/min/

i - počet záběrů

Tab. 4.16 - Tabulka řezných podmínek pro vrtání a upínání otvorů

D	s		n			
	14b	13b, 12b, 10b	14b	13b	12b	10b
4	0,06	0,08	1540	1280	1060	740
6	0,09	0,09	1030	855	710	500
8	0,11	0,11	780	640	540	370
10	0,13	0,13	610	500	420	290
12	0,14	0,14	500	415	350	240
15	0,17	0,17	380	315	260	182
20	0,20	0,20	260	216	180	125

D - průměr vrtáku /mm/

s - posuv /mm/ot/

n - otáčky nástroje /ot/min/

Tab. 4.17 - Tabulka řezných podmínek pro řezání vnitřních závitů

D	s		n			
	14b, 13b, 12b 10b		14b	13b	12b	10b
M 6		0,75	245	195	155	98
M 8		0,75	210	170	135	84
M 10		0,75	180	145	110	72
M 12		1,30	155	125	100	62
M 16		1,00	135	110	85	54
M 20		1,00	120	95	75	48

D - průměr závitníku /mm/

s - posuv /mm/

n - otáčky nástroje /l/min/

Tab. 4.18 - Tabulka hlavního času pro řezání vnitřních závitů

Hloubka	M 5	M 6	M 8	M 10	M 12	M 16	M 20
10	2,2	2,1	2,0	2,0	1,9	2,0	1,9
20	3,5	3,3	3,1	3,2	3,0	3,1	3,0
30	-	-	4,3	4,4	4,1	4,2	4,1
40	-	-	5,4	5,4	5,1	5,4	5,1

Tab. 4.19

m	D <sub>h</sub>	L <sub>n</sub>	D <sub>n</sub>	l <sub>k</sub>	z <sub>f</sub>	G
1	50	32	22		14	0,5
1,25	50	40	22		14	0,6
1,5	63	45	27		12	0,8
1,75	63	50	27		12	0,9
2	63	50	27	3	12	1,0
2,25	71	56	27		12	1,2
2,5	71	63	27		12	1,3
2,75	71	63	27		12	1,4
3	80	71	32		12	1,6
3,25	80	71	32		12	1,8
3,5	80	71	32		12	2,0
3,75	90	80	32		12	2,6
4	90	80	32		12	2,8
4,5	90	90	32		10	3,5
5	100	100	32		10	4,4
5,5	112	112	40		10	4,4
6	112	112	40	4	10	6,5
6,5	112	118	40		10	7,0
7	118	125	40		10	7,9
8	125	140	40		10	8,6
9	140	150	40		10	11,3
10	150	170	40		10	13,0
11	160	180	50		9	14,5
12	170	200	50		9	16,5
14	190	224	50	5	9	27,0
16	212	250	60		9	38,5
18	236	280	60		9	48,0
20	250	300	60	6	9	55,0

m - modul

D<sub>h</sub> - vnější průměr /mm/

L<sub>n</sub> - celková délka /mm/

D<sub>n</sub> - průměr upínacího otvoru

l<sub>k</sub> - délka nákrúžku /mm/

z<sub>f</sub> - počet zubových drážek

G - hmotnost 1 ks v kg

Tab. 4.20 - Matematický model výběru operací

1 Pořadové číslo	2 Číslo operace	3 Číslo úkonu	4 $m \leq 2$	5 $m \leq 8$	6 $m > 8$	7 Saazor	8 Samputensili	9 Klingelnberg	10 VN II	11 SMZ
monolitné						skládané				
1	1	1	1	1	1	0	0	0	0	0
2	2	2	0	0	0	1	1	1	1	1
3	2	1	1	1	1	1	1	1	1	1
4	3	1	0	0	0	1	1	1	1	1
5	4	1	0	0	0	1	1	1	1	1
6	5	1	1	1	1	1	1	1	1	1
7		2	1	1	1	1	1	1	1	1
8		3	1	1	1	1	1	1	1	1
9		4	1	1	1	1	0	0	0	0
10		5	0	0	0	0	1	1	1	1
11		6	0	0	0	0	0	0	1	0
12		7	0	0	0	0	0	1	0	0
13		8	0	0	0	0	0	0	1	0
14		9	1	1	1	1	1	1	1	1
15		10	0	0	0	0	0	0	0	0
16		11	0	0	0	0	0	0	1	0
17		12	1	1	1	0	0	0	1	1
18		13	1	1	1	1	1	1	1	1
19		14	1	1	1	1	0	0	1	1
20		15	0	0	0	0	0	0	0	0
21		16	0	0	0	0	0	0	1	0
22	6	1	1	1	1	1	1	1	1	1
23	7	1	1	1	1	1	1	1	1	1
24		2	1	1	1	1	1	1	1	1
25	8	1	0	0	0	0	0	1	0	0
26		2	0	0	0	0	0	0	0	0
27		3	0	0	0	0	1	0	1	1

pokračování tab. 4.20

1	2	3	4	5	6	7	8	9	10	11
28	9	1	0	1	1	0	0	0	1	0
29	10	1	0	1	0	0	0	0	0	0
30		2	1	0	1	0	0	0	0	0
31	11	1	1	1	1	1	1	1	1	1
32	12	1	1	1	1	1	1	1	1	1
33		2	1	1	1	1	1	1	1	1
34	13	1	1	0	0	0	0	0	0	1
35		2	0	1	1	0	0	0	0	0
36	14	1	0	0	0	0	0	1	0	0
37		2	0	0	0	0	1	0	0	0
38		3	0	0	0	1	0	0	1	1
39	15	1	1	1	1	0	0	0	0	0
40	16	1	1	1	1	0	0	0	1	1
41	17	1	1	1	1	0	0	0	1	1
42	18	1	0	0	0	0	1	0	0	0
43		2	0	0	0	1	0	0	0	0
44	19	1	1	1	1	0	0	0	0	0
45	20	1	1	1	1	0	0	0	0	0
46	21	1	1	1	1	0	0	0	0	0
47	22	1	1	1	1	1	1	1	1	1
48	23	1	1	1	1	1	1	1	1	1
49		2	1	1	1	1	1	1	1	1
50		3	0	0	0	1	1	1	1	0
51		4	0	0	0	0	1	1	1	0
52	24	1	0	0	0	0	0	1	0	0
53		2	0	0	0	0	1	0	0	0
54		3	0	0	0	1	0	0	1	1
55	25	1	0	0	0	1	0	0	0	0
56	26	1	1	0	0	0	0	0	0	0
57	27	1	1	1	1	0	0	0	1	0
58	28	1	1	1	1	0	0	0	0	0
59	29	1	1	1	1	0	0	0	0	0
60	30	1	0	0	0	0	0	0	1	0
61		2	0	0	0	0	0	1	0	0
62		3	0	0	0	0	0	0	0	0
63		4	0	0	0	0	0	0	1	0

pokračování tab. 4.20

1	2	3	4	5	6	7	8	9	10	11
64		5	0	0	0	0	0	0	1	0
65	31	1	0	0	0	0	0	1	0	0
66	32	1	0	0	0	0	0	1	0	0
67		2	0	0	0	0	0	1	0	1
68		3	0	0	0	0	1	0	0	0
69		4	0	0	0	0	0	0	1	0
70	33	1	1	1	1	1	1	1	1	1
71	34	1	1	1	1	0	0	0	0	0
72	35	1	0	0	0	1	1	1	1	1

Tab. 4.21 Technologický postup výroby monolitní frézy  
modul m = 12  
materiál ČSN 19854.3

Poločovář: průměr  
délka,  
hmotnost = 179,5  
= 204,0  
= 40,5

Kroklovače alespoň 4.22										Gena /Kčs/								
1	2	3	4	5	6	7	8	9	10	11	12	13	14	15	16	17	18	
1	179,5	179,50	179,50	0,10	0,0	0,0	0,0	0,0	0,0	15.	1.	119,6	3,9	14,8	20.	158,4	5	9,4
3	47,0	204,00	23,50	0,24	0,0	26.	46.	0.	1.	19,4	8,5	3,3	35.	66,2	6	10,5	24,80	
6	49,8	204,00	2,90	0,34	0,0	30.	53.	0.	1.	17,0	3,6	2,5	0.	23,1	6	10,6	11,70	
7	49,2	204,00	0,40	0,57	0,0	12.	0.	0.	1.	24,4	3,4	3,3	0.	31,1	6	10,6	4,10	
8	0,0	64,35	1,50	0,30	1,5	35.	62.	0.	0.	3,5	6,9	1,2	0.	11,6	6	10,6	5,50	
9	171,0	201,00	4,25	0,30	2,0	35.	62.	0.	2.	23,7	1,1	3,0	0.	27,8	6	10,6	2,10	
14	80,3	4,50	44,85	0,30	2,0	35.	65.	0.	22.	104,7	6,9	13,4	0.	125,0	6	10,6	4,90	
17	80,3	2,00	0,00	ručně	0,0	35.	65.	0.	0.	0,6	0,4	0,1	0.	1,1	6	10,6	22,10	
18	52,0	60,00	1,25	0,40	1,50	10.	19.	0.	1.	6,5	0,9	0,9	0.	8,3	6	10,6	0,20	
19	49,5	2,00	0,00	ručně	0,0	35.	65.	0.	0.	0,8	0,4	0,1	0.	1,3	6	10,6	1,50	
22	0,0	201,00	0,00	0,00	0,0	2.	0.	0.	4.	0,5	24,6	3,0	20.	48,1	5	9,4	0,20	
23	0,0	191,00	0,15	0,05	0,15	35.	782.	1967.	1.	6,0	3,8	1,2	15.	26,0	5	9,4	7,50	
24	0,0	201,00	0,15	0,60	0,15	35.	782.	1967.	1.	0,5	1,7	0,3	0.	2,5	5	9,4	4,10	
28	0,0	190,70	12,00	36,00	12,0	9.	0.	23.	1.	1108,7	15,5	134,9	30.	1289,0	6	10,6	0,40	
30	0,0	190,70	30,00	12,00	30,086	5.	0.	13.	1.	13,3	20,7	4,1	40.	78,1	6	10,6	227,70	
31	49,5	200,70	0,12	16,70	0,002	35.	782.	26752.	61.	1,0	6,4	0,9	20.	28,3	6	10,6	13,80	
32	0,0	190,70	0,20	0,05	0,2	35.	782.	1967.	1.	8,0	1,9	1,2	15.	26,1	5	9,4	4,10	
33	0,0	200,70	0,20	0,50	0,2	35.	782.	1967.	1.	0,0	1,7	0,2	0.	1,9	5	9,4	0,30	
35	0,0	2691,67	16,29	0,44	0,5	4.	8.	0.	33.	264,3	5,4	32,4	50.	352,1	7	12,0	70,40	

1	2	3	4	5	6	7	8	9	10	11	12	13	14	15	16	17	18
39	0.0	190.30	0.20	12.00	0.02	35.	0.	1967.	10.	10.3	5.1	1.8	30.	47.2	6	10.6	8.30
40	0.0	0.00	0.00	ručně	0.00	81.	0.	150.	1.	15.3	2.0	2.1	20.	39.3	5	9.4	6.20
41	0.0	0.00	0.00	0.00	0.00	0.	0.	0.	0.	7.3	1.2	0.8	8.	17.3	5	9.4	2.70
44	0.0	0.00	0.00	0.00	0.00	0.	0.	0.	0.	0.0	0.0	0.0	0.	170.3	6	10.6	30.10
45	0.0	0.00	0.00	0.00	0.00	0.	0.	0.	0.	0.0	0.0	0.0	0.	9.8	5	9.4	1.50
46	0.0	0.00	0.00	0.00	0.00	0.	0.	0.	0.	0.0	0.0	0.0	0.	11.5	5	9.4	1.80
47	50.0	200.30	0.13	16.70	0.002	35.	782.	26732.	61.	1.0	6.4	0.9	20.	28.3	6	10.6	5.00
48	0.0	190.00	0.15	0.05	0.15	35.	782.	1967.	1.	6.0	1.9	1.0	15.	23.9	5	9.4	3.70
49	0.0	200.00	0.15	0.60	0.15	35.	782.	1967.	1.	0.5	1.7	0.3	0.	2.5	5	9.4	0.40
57	0.0	2691.67	0.10	0.12	0.00	EF1.	6.	16000.	85.	23.6	24.0	5.7	50.	103.3	8	13.6	23.40
58.	0.0	190.00	0.10	12.00	0.02	35.	0.	2623.	5.	3.8	5.1	1.1	30.	40.0	5	9.4	6.30
59	170.0	190.00	0.10	ručná	0.03	35.	0.	2623.	3.	40.2	5.7	5.5	35.	86.4	7	12.0	17.30
70	0.0	0.00	0.00	0.00	0.00	0.	0.	0.	0.	0.0	0.0	0.0	0.	5.0	5	9.4	0.80
71	0.0	0.00	0.00	0.00	0.00	0.	0.	0.	0.	63.3	46.6	0.0	30.	139.2	10	12.0	26.00

卷之三

2	3	4	5	6	7	8	9	10	11	12	13	14	15	16	17	18	19	20	21	22	23
11	Straít hraný na dřt.	-	Soustruh SD 50	NM ČSN 223716	Pouzovka ČSN 251280	urn	-	ručně	-	tab.	1000v D	-	0,6	0,4	0,12(1 <sub>b</sub> +t <sub>v</sub> )	-	t <sub>4</sub>	6	10,40		
12	Straít hraný na ráckovitých	d <sub>4</sub> +0,3	--	"	"	"	-	"	-	"	"	"	"	"	"	"	-	z t <sub>1</sub>	6	10,50	
13	Soustruh vylehlí	d <sub>ln</sub>	Náš ČSN 223724	Dutinář	-	<u>d<sub>ln</sub>+0,5</u> 2	0,4	1,5	tab.	Li/t <sub>r</sub>	Li/en	0,6+	+0,0032 L	-	-	z t <sub>1</sub>	6	10,60			
14	Straít hraný v upínacím otvoru	d <sub>n</sub> -0,5	-	"	Pouzovka ČSN 251230	-	"	"	ručně	-	"	-	1,6	C,4	"	-	z t <sub>1</sub>	6	10,60		
15	Soustruh zápicich typu G	d <sub>z</sub> +a	-	Náš ČSN 223730	"	-	0,2	1	"	"	"	-	zgb. 4,6	1,5	"	-	z t <sub>1</sub>	6	10,60		
16	Soustruh zápicich typu B	d <sub>z</sub> +a	-	"	"	"	"	"	"	"	"	"	"	"	"	-	z t <sub>1</sub>	6	10,60		
5	1	Prezovat klinovou drátku	L <sub>z</sub> +1	Protahovavátkový ČSN 221612	"	svérák	-	-	5	-	4	4k 1000v	16,5+ +0,2 G <sub>CM</sub>	"	20	z t <sub>1</sub>	5	9,40			
7	1	Broušit čela subářebnáho náhrubo	L <sub>z</sub> +1	Broušák Kotouč ČSN 5/1500	224510	tra	0,15	tab.	0,25	12000 TD	1 p <sub>d</sub> /s <sub>p</sub>	0,6+ +0,08 G	"	15	z t <sub>1</sub>	5	9,40				
2	Broušit čela nákrúžek náhrubo	L <sub>z</sub> +1	"	"	"	"	"	"	"	"	"	"	1,7	"	-	z t <sub>1</sub>	5	9,40			
8	1	Frézovat pilovité dřátky náhrubo	L <sub>z</sub> +a	Frézka ČSN 222240	F A-40	dél.pří- svoj	d <sub>dz</sub> -d <sub>f</sub> 2	tab.	4,9	tab.	Li/en	2,5+0,07G+	"	40	z t <sub>1</sub>	6	10,60				
2	Frézovat uhlcové dřátky pro fasádního náhrubo	L <sub>z</sub> +a	"	Frézka ČSN 222244	"	d <sub>dz</sub> -d <sub>f</sub> 2	4,10	tab.	4,10	tab.	12L/en	2,5+0,07G+ +0,12G	"	40	z t <sub>1</sub>	6	10,60				
3	Frézovat dřátky pro fenzí hřebeny náhrubo	L <sub>z</sub> +a	"	Frézka ČSN 222161	"	d <sub>dz</sub> -d <sub>f</sub> 2	4,11	tab.	-	tab.	1,8/en	2,5+0,07G+ +0,01 D <sub>s</sub>	"	40	z t <sub>1</sub>	5	10,60				
9	1	Frézovat protíl	L <sub>z</sub> ,L <sub>r</sub>	Frézka ČSN 222250	Tablova	urn	"	"	"	e/d <sub>ns</sub>	Li/en <sub>e</sub>	0,65+0,1G+ +0,0004 1	"	30	z t <sub>1</sub>	6	10,60				
10	1	Frézovat fenzí dřátky a nehrubo	L <sub>z</sub> +0,7	Frézka Spec. vln. frézka	P-AJU	dél.pří- stroj	d <sub>dz</sub> -d <sub>f</sub> -0,6 Tab. stroj	tab.	-	Li/en	2,5+0,07G+ +0,01 D <sub>s</sub>	"	40	z t <sub>1</sub>	6	10,60					
2	Frézovat ženkó	-	"	Frézka ČSN 222240	"	d <sub>dz</sub> -d <sub>f</sub> -0,6 Tab. stroj	4,9	tab.	4,9	"	"	"	40	z t <sub>1</sub>	6	10,60					
11	1	Broušit upínací otvory náhrubo	L <sub>z</sub> -0,5	Brouška Kčsou Kaličor ČSN 283264	72 A	Li+0,7	0,12	tab.	0,12	Li/en	5,6+0,05G	"	20	z t <sub>1</sub>	6	10,60					
12	1	Broušit čela tab. náhrubo	L <sub>z</sub> +0,7	Brouška Kotouč ČSN 251210	EK/1500/224510	"	"	"	0,2	12000v TD	6000v TD	0,6+0,06G	"	15	z t <sub>1</sub>	5	9,40				
2	Broušit čela nákrúžek náhrubo	L <sub>z</sub> +0,7	-	Soustruh Předáše- cí náhrubo	DB 3	d <sub>dz</sub> -d <sub>f</sub> -0,2	0,44	0,5 Tab. stroj	0,44	2p <sub>d</sub> /s <sub>p</sub>	180- 150	5,8	"	-	z t <sub>1</sub>	5	9,40				
2	2	Předávat profil K broušení	-	-	-	-	-	-	-	-	-	-	-	30	z t <sub>1</sub>	7	12,30				

	3	4	5	6	7	8	9	10	11	12	13	14	15	16	17	18	19	20	21	22	23
2	Přesněst profil k brusené	-	-	Soustrojní říz říz	Počítací říz	tablovní říz	turn	h=+0,1	0,44	0,5	1000	1000	-	-	195+	4,6 + +4,6G +0,5G	0,12( $t_h+t_v$ )	30	$\Sigma t_1$	7	10,50
1	Přesnář profil- vité drážky	-	L+e	Frakta FA+U	Friza ČSN 222240	Pouzívka ČSN 251230	dél.přídrážek stroj	-d- 2	-0,02	tab.	P	tab.	-	-	2,5+0,07- +0,06 D	"	45	$\Sigma t_1$	6	Kč 15,00	
2	Přesnář uhlíkové drážky pro řez. hrubé k brusení	-	-	"	"	Friza ČSN 222244	"	"	"	"	"	"	"	"	2,5+0,07- +0,12 D	"	45	$\Sigma t_1$	6	10,65	
3	Přesnář drážky pro řezník. k brusení	-	-	"	"	Friza fréza	"	"	d- 2	-0,2	tab.	"	"	"	2,5+0,07- +0,01 D	"	45	$\Sigma t_1$	6	10,60	
.5	1	Broušit porušené če- ká prot. po počátku řezání	-	L <sub>2</sub> +0,3	Bruska říz 102	Kotoučová říz 224580	šablona	"	0,2	0,02	35	-	60000 rD	Lei/n říz	3,6+0,09G	"	30	$\Sigma t_1$	6	10,60	
.6	1	Rugálné konce zubů odřezávat	-	-	Friza říz V	Friza ČSN 222239	opáka	-	-	-	-	150	1	7 + 0,50 0,5+0,07G	"	20	$\Sigma t_1$	5	9,40		
.7	1	Neplán konce zubů zarevnat	-	-	Friza říz	Plnák	-	svěrák	-	-	-	-	-	(6+0,08G +0,023G)	0,75+ 0,10( $t_h+t_v$ )	8	$\Sigma t_1$	5	9,40		
.8	1	Přetahovat zipidy v drahlech typ II	-	L <sub>2</sub> +0,6	Bruska říz HO 63	Grafická říz 251230	Tvarový nář.	dél.pří- stroj	b	ručně	p/i	5	-	2 $\frac{2L}{1000}$	4,5+0,07G+ 0,12( $t_h+t_v$ )	30	$\Sigma t_1$	5	9,40		
2	Přetahovat drážky pro kvality k brusení	-	-	L <sub>2</sub> +0,6	-	-	c=0,1	"	2	-	-	-	-	5,0+0,07G+ 0,01 D	"	30	$\Sigma t_1$	5	9,40		
19	1	Topné správce na říz 62-64 Hrc	-	-	elektro- pec	-	-	-	-	-	-	-	-	-	-	-	-	-	10,50	6	
20	1	Přesnář	-	-	-	-	-	-	-	-	-	-	-	-	-	-	-	-	65+0,20G	9,40	
21	1	Ondřesovávání	-	-	-	-	-	-	-	-	-	-	-	-	-	-	-	-	65+0,20G	9,40	
22	1	Broušit upínací ot- vor na číslo	L <sub>n</sub> +0,3	Bruska říz 72 A	Kotoučová říz 224590	Kotoučová říz 251284	"	-	0,13	tab.	p/i	35	12000- rD	65000 ad. a	5,6 + 0,05G	0,12( $t_h+t_v$ )	20	$\Sigma t_1$	6	10,60	
23	1	Broušit řáda sub- vého infuze načeště	L <sub>z</sub>	Bruska říz 5/1500	Kotoučová říz 224510	Pouzívka říz 251230	trn	0,15	tab.	0,15	"	"	"	1 2p/p	0,6 + 0,08G	"	15	$\Sigma t_1$	5	9,40	
2	Broušit řáda nákrúž- ků načeště	-	L <sub>n</sub>	"	"	"	"	"	"	"	"	"	"	1,7	"	-	$\Sigma t_1$	5	9,40		
3	Broušit vzdálení průměr zak. tříška načeště	d <sub>n</sub>	L <sub>z</sub>	"	"	"	"	"	tab.	0,5/1	"	"	"	tab. 4,14	0,6 + 0,09G	"	20	$\Sigma t_1$	5	9,40	
4	Broušit průměr pro up. elementy a strany nače- ště	d <sub>n</sub>	d <sub>z</sub> d <sub>z</sub> d <sub>z</sub>	p <sub>1</sub> , p <sub>2</sub> , p <sub>3</sub>	"	"	"	"	"	"	"	"	"	"	"	"	20	$\Sigma t_1$	5	9,40	
24	1	Broušit pilovité drážky načeště	-	L	Bruska říz 300/1000	Kotouč	Mikrom. říz 251420	dél.pří- stroj	12	4,15	4,15	"	"	tab. 4,15	2,5+0,07G + 0,06D	"	50	$\Sigma t_1$	7	12,00	
2	Broušit uhlíkové dráž- ky pro řezník načeště	-	L <sub>2</sub>	"	"	"	"	"	"	"	"	"	"	2,5+0,07G + 0,12 D	"	50	$\Sigma t_1$	7	12,00		
3	Broušit drážky pro řezník načeště	-	"	"	"	"	"	"	"	"	"	"	"	2,5+0,07G + 0,01 D	"	50	$\Sigma t_1$	7	12,00		
25	1	Broušit drážky pro ke- lity načeště	"	"	Bruska říz 300/1000	"	"	"	"	"	"	"	"	2,5+0,07G + 0,12 D	"	70	$\Sigma t_1$	6	10,60		
26	1	Zhotovit rolnu pro radiusy profilu	-	-	-	-	-	-	-	-	-	-	-	-	-	-	120	6	12,60		

2.	3	4	5	6	7	8	9	10	11	12	13	14	15	16	17	18	19	20	21	
1	Pochrouosit botky a rva-	-	$\tau_2$	Bruška GN 30	Tvarový kotouč	Sablona	trn	0,1	0,12	0,002	1Dn	6	16000	85	$\frac{22,5+0,09G}{\pi D}$	$0,12(t_n+t_v)$	50	$\Sigma t_i$	8	
2.	Geometrické profily načisto	-	"	Bruška EN 102	Kotouč	Sablona	délka, řízka	"	12	0,02	35	-	$\frac{6000\pi}{\pi D}$	5	$\frac{3,6+0,19G}{\pi D}$	"	10	$\Sigma t_i$	5	
3	Geometrické profily načisto	-	"	Bruška EN 102	Kotouč	Sablona	střej	"	"	"	"	"	"	"	$\frac{1,3+4,2+0,59G}{\pi D}$	"	35	$\Sigma t_i$	7	
4	Pochrouosit hřbet pro-	dln	$\tau_2$	Bruška Rektifikovaný nechecer	Sablona	trn	"	"	"	"	"	"	"	"	$\frac{1,1+0,03G}{\pi D}$	"	15	$\Sigma t_i$	6	
5	filu načisto	"	"	Vrtáčka FE uveva	délka, pří- širok	tab.	"	"	"	"	"	"	"	"	$0,064+0,01G$	"	15	$\Sigma t_i$	6	
6	filu načisto	"	"	Vrtáčka FE uveva	25x1230	4,16	"	"	"	"	"	"	"	"	$+0,12 \pi$	"	13	$\Sigma t_i$	6	
7	Vrtat otvory na vnitř-	d, dt	$\tau_u$	Vrtáčka VN 63	"	"	"	"	"	"	"	"	"	"	$1,13+0,03G$	"	13	$\Sigma t_i$	6	
8	šířku průsek. a šířku	d, dt	$\tau_u$	Vrtáčka VN 63	"	"	"	"	"	"	"	"	"	"	$1,28+0,06G$	"	16	$\Sigma t_i$	6	
9	Vrtat otvory na vnitř-	d, a	"	Vrtáčka VN 63	"	"	"	"	"	"	"	"	"	"	$1,27+0,06G$	"	16	$\Sigma t_i$	6	
10	kach zákl. telesa	d, a	"	Vrtáčka VN 63	"	"	"	"	"	"	"	"	"	"	$1,54+0,06G$	"	16	$\Sigma t_i$	6	
11	Vrtat otvory pro upnu-	d, g	"	Vrtáčka VN 63	"	"	"	"	"	"	"	"	"	"	$1,21+0,06G$	"	16	$\Sigma t_i$	6	
12	ti pínky	d, g	"	Vrtáčka VN 63	"	"	"	"	"	"	"	"	"	"	$+0,2 \pi$	"	16	$\Sigma t_i$	6	
13	Vrtat otvory pro upnu-	d, u	"	Základník	"	"	"	"	"	"	"	"	"	"	$1,27+0,06G$	"	16	$\Sigma t_i$	6	
14	naci elementy	d, u	"	Základník	"	"	"	"	"	"	"	"	"	"	$1,28+0,06G$	"	16	$\Sigma t_i$	6	
15	Zbloudit otvory pro	"	"	Základník	"	"	"	"	"	"	"	"	"	"	$1,27+0,06G$	"	16	$\Sigma t_i$	6	
16	upfnací črepub	"	"	Základník	"	"	"	"	"	"	"	"	"	"	$1,27+0,06G$	"	16	$\Sigma t_i$	6	
17	Hlazat závit pro upnu-	d, dt	$\tau_u$	Smečka, ruh	Nú 50	22370	"	"	"	0,15	-	60	$\frac{1000\pi}{\pi D}$	"	"	"	-	$\Sigma t_i$	6	
18	naci matici	d, dt	$\tau_u$	Smečka, ruh	Nú 50	22370	délka, pří- širok	4,17	-	tab.	"	"	$\frac{1,17+0,01G}{4,17}$	"	$1,57+0,03G$	"	-	$\Sigma t_i$	6	
19	Hlazat závit v otvoru	d, dt	"	Vrtáčka VN 63	Závitník	223010	délka, pří- širok	4,17	-	tab.	"	"	$\frac{0,34+0,03G}{4,17}$	"	$0,71+0,03G$	"	-	$\Sigma t_i$	6	
20	rech zakleštěního telesa	"	"	Vrtáčka VN 63	Závitník	223010	délka, pří- širok	4,17	-	tab.	"	"	$\frac{0,34+0,03G}{4,17}$	"	$0,71+0,03G$	"	-	$\Sigma t_i$	6	
21	Hlazat závit v dráž-	d, n	-	"	"	"	"	"	"	"	"	"	"	"	$0,34+0,03G$	"	-	$\Sigma t_i$	6	
22	hach zákl. telesa	d, n	-	"	"	"	"	"	"	"	"	"	"	"	$0,34+0,03G$	"	-	$\Sigma t_i$	6	
23	Resat závit v otvoru	d, g	-	"	"	"	"	"	"	"	"	"	"	"	$0,34+0,03G$	"	-	$\Sigma t_i$	6	
24	Resat závit v otvoru	d, g	-	"	"	"	"	"	"	"	"	"	"	"	$0,44+0,06G$	"	-	$\Sigma t_i$	6	
25	rech pro upfnací eleme-	d, u	-	"	"	"	"	"	"	"	"	"	"	"	$+0,2 \pi$	"	-	$\Sigma t_i$	6	
26	nty	d, u	-	"	"	"	"	"	"	"	"	"	"	"	$0,44+0,06G$	"	-	$\Sigma t_i$	6	
27	Obrácení druhu odvalo-	-	-	"	"	"	"	"	"	"	"	"	"	"	-	-	-	$\Sigma t_i$	5	
28	vaci frézy	-	-	"	"	"	"	"	"	"	"	"	"	"	-	-	-	$\Sigma t_i$	5	
29	1 Knirolaďalovací fré-	-	-	"	"	"	"	"	"	"	"	"	"	"	-	-	-	$\Sigma t_i$	5	
30	zy dle EGN 222501	-	-	"	"	"	"	"	"	"	"	"	"	"	-	-	-	$\Sigma t_i$	5	
31	Výsupní kontrola	zák.	-	-	-	-	-	-	-	-	-	-	-	-	-	-	-	$\Sigma t_i$	5	
32	telesa	-	-	-	-	-	-	-	-	-	-	-	-	-	-	-	-	$\Sigma t_i$	5	